

**REGIONE
PUGLIA**



CUP: E75G19000040005

**PIANO DEGLI INTERVENTI AIP 2020-2023 DI CUI ALLA DELIBERA N.6 DEL 22/02/2021
CON COPERTURA FINANZIARIA " FONDI DERIVANTI DA PROVENTI TARIFFARI"**

**PROGETTO DEFINITIVO
POTENZIAMENTO DELL'IMPIANTO DI DEPURAZIONE E DEL RECAPITO FINALE
A SERVIZIO DELL'AGGLOMERATO DEL COMUNE DI SQUINZANO (LE)**

**Acquedotto Pugliese S.p.A.
Direzione Ingegneria**

**Il Responsabile del Procedimento
Ing. Matteo MORELLO**

**Il Direttore
Ing. Gaetano BARBONE**



Ingegneria Ambientale s.r.l.
www.ingegneriambientale.com
info@ingegneriambientale.com

Ing. Franco NACCI

Ing. Stefano SANSONE



Geotek plus s.r.l.
www.geotek-rilievi.com
info@geotek-rilievi.com

PROGETTAZIONE

**Il Progettista
Prof. Ing. Matteo Ranieri**

**Il Coordinatore della Sicurezza in
fase di progettazione
Prof. Ing. Matteo Ranieri**



UNING s.r.l.
info@uning.it



Ingegneria s.r.l.
ingegneria@uning.it

Elaborato

R.37.1

**TABULATI DI CALCOLO STRUTTURALE
- PRE-ISPESSITORE DINAMICO -**

Codice Intervento P1370

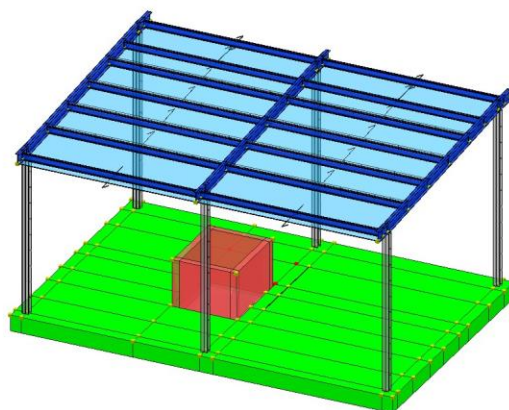
**Codice SAP
210000023391**

**Prot. N. 27346
Data 23/04/2021**

Scala:

00	MAG.2021	Emesso per Progetto DEFINITIVO			
N. Rev.	Data	Descrizione	Disegnato	Controllato	Approvato





Vita nominale, classi d'uso e periodo di riferimento

La costruzione in oggetto è definita dalla seguente tipologia (p.to 2.4 delle NT):

Vita della struttura	
Tipo	Opere ordinarie (50-100)
Vita nominale VN [anni]	50.0
Classe d'uso	III
Coefficiente d'uso CU	1.500
Periodo di riferimento VR [anni]	75.000
Probabilità di superamento PVR allo Stato limite di esercizio - SLD	63.0%
Probabilità di superamento PVR allo Stato limite ultimo - SLV	10.0%
Periodo di ritorno TR SLD [anni]	75.4
Periodo di ritorno TR SLV [anni]	711.8


Per maggiori dettagli riguardo l'azione sismica si veda la definizione degli spettri di risposta

Materiali impiegati e resistenze di calcolo

Per la realizzazione dell'opera in oggetto saranno impiegati i seguenti materiali, di cui si riportano nell'ordine le proprietà meccaniche adottate nel calcolo elastico e le resistenze di calcolo per le verifiche di sicurezza:

Materiali		
C35/45		
Peso specifico	kN/m ³	25.00
Modulo di Young E	MPa	34100.00
Modulo di Poisson v		0.13
Coefficiente di dilatazione termica λ	1/°C	1e-05
Acciaio		
Peso specifico	kN/m ³	78.50
Modulo di Young E	MPa	210000.00
Modulo di Poisson v		0.30
Coefficiente di dilatazione termica λ	1/°C	1.2e-05

Caratteristiche dei materiali delle parti in calcestruzzo armato		
Classe calcestruzzo		Cl _s C35/45
Resistenza cubica R _{ck}	MPa	45.0
Resistenza di calcolo f _{cd}	MPa	21.2
Resistenza a trazione di calcolo f _{ctd}	MPa	1.6
Resistenza cilindrica f _{ck}	MPa	37.4

	POTENZIAMENTO DELL'IMPIANTO DEPURATIVO E DEL RECAPITO FINALE DEL COMUNE DI SQUINZANO (LE) PROGETTO DEFINITIVO <u>Tabulati di calcolo strutturale- Pre-Ispessitore dinamico</u>	R.37.1
		Maggio 2021
		Pagina 2 di 81

Resistenza a trazione media f_{ctm}	MPa	3.4
Classe acciaio barre longitudinali		Acciaio barre B450C
Resistenza allo snervamento f_{yk}	MPa	≥ 450.0
Resistenza alla rottura barre f_{tk}	MPa	≥ 540.0
Classe acciaio staffe		Acciaio barre B450C
Resistenza allo snervamento f_{yk}	MPa	≥ 450.0
Resistenza alla rottura barre f_{tk}	MPa	≥ 540.0
Caratteristiche dei materiali delle parti in acciaio		
Acciaio Pressflessione		
Classe acciaio		S355
f_{yd} ($t < 40mm$)	MPa	355.0
f_{yd} ($t > 40mm$)	MPa	335.0
f_t ($t < 40mm$)	MPa	510.0
f_t ($t > 40mm$)	MPa	470.0

Spettri di risposta

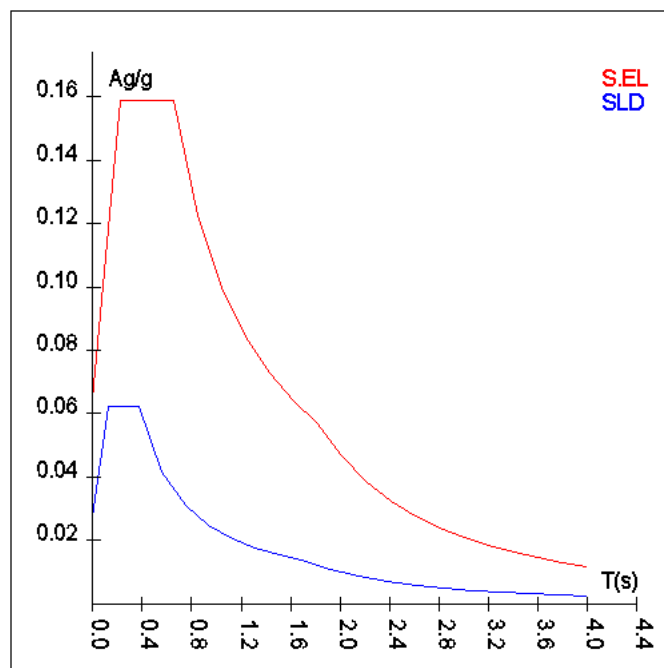
Spettro: **SpettroNT_2018**

Il calcolo degli spettri e del fattore di comportamento sono stati calcolati per la seguente tipologia di terreno e struttura.

Vita della struttura	
Tipo	Opere ordinarie (50-100)
Vita nominale VN [anni]	50.0
Classe d'uso	III
Coefficiente d'uso CU	1.500
Periodo di riferimento VR [anni]	75.000
Probabilità di superamento PVR allo Stato limite di esercizio - SLD	63.0%
Probabilità di superamento PVR allo Stato limite ultimo - SLV	10.0%
Periodo di ritorno TR SLD [anni]	75.4
Periodo di ritorno TR SLV [anni]	711.8
Parametri del sito	
Comune	Squinzano (LE)
Longitudine	18.0458
Latitudine	40.4344
Id reticolo del sito	34590-34591-34812-34813
Valori di riferimento del sito	
Accelerazione orizzontale massima del sito A_g/g - SLD (TR=75.4)	0.0225
Fattore di amplificazione dello spettro F_0 - SLD (TR=75.4)	2.2984
Periodo di riferimento di inizio del tratto a velocità costante T^*C [s] - SLD (TR=75.4)	0.259
Accelerazione orizzontale massima del sito A_g/g - SLV (TR=711.8)	0.0536
Fattore di amplificazione dello spettro F_0 - SLV (TR=711.8)	2.4663
Periodo di riferimento di inizio del tratto a velocità costante T^*C [s] - SLV (TR=711.8)	0.523
Coefficiente Amplificazione Topografica S_t	1.000
Categoria terreno	B
Stato limite SLV	
Coefficiente di amplificazione stratigrafica S_s	1.20
Periodo di inizio del tratto ad accelerazione costante dello spettro TB [s]	0.22
Periodo di inizio del tratto a velocità costante dello spettro TC [s]	0.65
Periodo di inizio del tratto a spostamento costante dello spettro TD [s]	1.81
Stato limite SLD	
Coefficiente di amplificazione stratigrafica S_s	1.20
Periodo di inizio del tratto ad accelerazione costante dello spettro TB [s]	0.12
Periodo di inizio del tratto a velocità costante dello spettro TC [s]	0.37
Periodo di inizio del tratto a spostamento costante dello spettro TD [s]	1.69
Spettro Elastico	
Smorzamento viscoso %	5.0

T El. [s]	Sd El. [a/g]	T SLD [s]	Sd SLD [a/g]
0.00000	0.06437	0.00000	0.02706
0.21825	0.15877	0.12459	0.06219
0.65475	0.15877	0.37377	0.06219
0.84805	0.12258	0.56183	0.04137
1.04136	0.09982	0.74989	0.03100
1.23466	0.08419	0.93795	0.02478
1.42797	0.07280	1.12601	0.02064
1.62128	0.06412	1.31407	0.01769
1.81458	0.05729	1.50213	0.01547
2.01326	0.04654	1.69019	0.01375

T El. [s]	Sd El. [a/g]	T SLD [s]	Sd SLD [a/g]
2.21193	0.03855	1.92117	0.01064
2.41061	0.03246	2.15215	0.00848
2.60928	0.02771	2.38313	0.00692
2.80795	0.02392	2.61411	0.00575
3.00663	0.02087	2.84509	0.00485
3.20530	0.01836	3.07608	0.00415
3.40398	0.01628	3.30706	0.00359
3.60265	0.01453	3.53804	0.00314
3.80133	0.01305	3.76902	0.00277
4.00000	0.01179	4.00000	0.00246



Percentuali Spostamento masse impalcanti

Posizione	% Spostamento direzione X	% Spostamento direzione Y
1	0	-5
2	5	0
3	0	5
4	-5	0

Combinazioni del Sisma in X e Y e Verticale

Comb.	Pos. SismaX	Pos. SismaY	Fx	Fy	Fz
1	1	2	1	0.3	0
2	1	2	0.3	1	0
3	1	4	1	0.3	0
4	1	4	0.3	1	0
5	3	2	1	0.3	0
6	3	2	0.3	1	0
7	3	4	1	0.3	0
8	3	4	0.3	1	0

Comb. Numero di combinazione dei sismi
 Pos. SismaX Posizione in cui viene scelto il sisma in direzione X
 Pos. SismaY Posizione in cui viene scelto il sisma in direzione Y
 Fx Fattore con cui il sisma X partecipa
 Fy Fattore con cui il sisma Y partecipa
 Fz Fattore con cui il sisma Verticale partecipa (quando richiesto)

Ogni combinazione genera al massimo 8 sotto-combinazioni in base a tutte le combinazioni possibili dei segni di Fx ed Fy ed Fz.

	POTENZIAMENTO DELL'IMPIANTO DEPURATIVO E DEL RECAPITO FINALE DEL COMUNE DI SQUINZANO (LE) PROGETTO DEFINITIVO <u>Tabulati di calcolo strutturale- Pre-Ispessitore dinamico</u>	R.37.1
		Maggio 2021
		Pagina 4 di 81

Si è considerato un numero di modi di vibrazione sufficiente ad eccitare almeno l'85% della massa sismica in ogni posizione delle masse, di seguito si riportano i risultati salienti dell'analisi modale sia per il calcolo allo Stato Limite Ultimo che per quello di Esercizio.

Azioni sulla struttura

Descrizione	Tipo
Peso Proprio	Automatica
QP Solai	Automatica
Neve	Utente
Vento X	Utente
Apparecchiature	Utente
accidentali	Utente
attrezzature idrauliche	Utente

Scenario di calcolo

Scenario : ScenarioNT_ 2018 A2_SLV_SLD_STR_GEO

Combinazione n° 1: Solo Permanenti

Tipo: STR

Spettro: n.a.

Fattore sisma: n.a.

Angolo ingresso sisma [°]: n.a.

Kmod: 0.60

Condizione di carico	Fattore di combinazione	Attiva	Massa	Fattore massa
Peso Proprio	1.3	Si	n.a.	n.a.
QP Solai	1.3	Si	n.a.	n.a.
Neve	1.5	No	n.a.	n.a.
Vento X	1	No	n.a.	n.a.
Apparecchiature	1.5	Si	n.a.	n.a.
accidentali	1	No	n.a.	n.a.
attrezzature idrauliche	1.5	Si	n.a.	n.a.

Combinazione n° 2: AD 1

Tipo: STR+GEO

Spettro: n.a.

Fattore sisma: n.a.

Angolo ingresso sisma [°]: n.a.

Kmod: 0.90

Condizione di carico	Fattore di combinazione	Attiva	Massa	Fattore massa
Peso Proprio	1.3	Si	n.a.	n.a.
QP Solai	1.3	Si	n.a.	n.a.
Neve	1.5	Si	n.a.	n.a.
Vento X	0.9	Si	n.a.	n.a.
Apparecchiature	1.5	Si	n.a.	n.a.
accidentali	1.5	Si	n.a.	n.a.
attrezzature idrauliche	1.5	Si	n.a.	n.a.

Combinazione n° 3: AD 2

Tipo: STR+GEO

Spettro: n.a.

Fattore sisma: n.a.

Angolo ingresso sisma [°]: n.a.

Kmod: 1.00

Condizione di carico	Fattore di combinazione	Attiva	Massa	Fattore massa
Peso Proprio	1.3	Si	n.a.	n.a.
QP Solai	1.3	Si	n.a.	n.a.
Neve	0.75	Si	n.a.	n.a.
Vento X	1.5	Si	n.a.	n.a.
Apparecchiature	1.5	Si	n.a.	n.a.
accidentali	1.5	Si	n.a.	n.a.
attrezzature idrauliche	1.5	Si	n.a.	n.a.

Combinazione n° 4: SISMAX1_SLV

Tipo: Modale STR+GEO

Spettro: SpettroNT_ 2018

Fattore sisma: 1.00

POTENZIAMENTO DELL'IMPIANTO DEPURATIVO E DEL RECAPITO FINALE DEL COMUNE DI SQUINZANO (LE) PROGETTO DEFINITIVO

Tabulati di calcolo strutturale- Pre-Ispessitore dinamico

R.37.1

Maggio 2021

Pagina 5 di 81

Angolo ingresso sisma [°]: 0
Kmod: 1.00

Condizione di carico	Fattore di combinazione	Attiva	Massa	Fattore massa
Peso Proprio	1	Si	Si	1
QP Solai	1	Si	Si	1
Neve	1	No	No	1
Vento X	0.2	No	No	1
Apparecchiature	1	Si	Si	1
accidentali	1	Si	Si	1
attrezzature idrauliche	1	Si	Si	1

Combinazione n° 5: SISMAY1 SLV
Tipo: Modale STR+GEO
Spettro: SpettroNT_2018
Fattore sisma: 1.00
Angolo ingresso sisma [°]: 90
Kmod: 1.00

Condizione di carico	Fattore di combinazione	Attiva	Massa	Fattore massa
Peso Proprio	1	Si	Si	1
QP Solai	1	Si	Si	1
Neve	1	No	No	1
Vento X	1	No	No	1
Apparecchiature	1	Si	Si	1
accidentali	1	Si	Si	1
attrezzature idrauliche	1	Si	Si	1

Combinazione n° 6: AD1
Tipo: SLE Rara
Spettro: n.a.
Fattore sisma: n.a.
Angolo ingresso sisma [°]: n.a.
Kmod: 1.00


Condizione di carico	Fattore di combinazione	Attiva	Massa	Fattore massa
Peso Proprio	1	Si	n.a.	n.a.
QP Solai	1	Si	n.a.	n.a.
Neve	1	Si	n.a.	n.a.
Vento X	0.2	Si	n.a.	n.a.
Apparecchiature	1	Si	n.a.	n.a.
accidentali	1	Si	n.a.	n.a.
attrezzature idrauliche	1	Si	n.a.	n.a.

Combinazione n° 7: AD1
Tipo: SLE Rara
Spettro: n.a.
Fattore sisma: n.a.
Angolo ingresso sisma [°]: n.a.
Kmod: 1.00

Condizione di carico	Fattore di combinazione	Attiva	Massa	Fattore massa
Peso Proprio	1	Si	n.a.	n.a.
QP Solai	1	Si	n.a.	n.a.
Neve	0.2	Si	n.a.	n.a.
Vento X	1	No	n.a.	n.a.
Apparecchiature	1	No	n.a.	n.a.
accidentali	1	Si	n.a.	n.a.
attrezzature idrauliche	1	Si	n.a.	n.a.

Combinazione n° 8: AD QVSolai
Tipo: SLE Freq.
Spettro: n.a.
Fattore sisma: n.a.
Angolo ingresso sisma [°]: n.a.
Kmod: 1.00

Condizione di carico	Fattore di combinazione	Attiva	Massa	Fattore massa
Peso Proprio	1	Si	n.a.	n.a.
QP Solai	1	Si	n.a.	n.a.
Neve	0.2	No	n.a.	n.a.
Vento X	1	No	n.a.	n.a.
Apparecchiature	1	Si	n.a.	n.a.
accidentali	1	Si	n.a.	n.a.

	POTENZIAMENTO DELL'IMPIANTO DEPURATIVO E DEL RECAPITO FINALE DEL COMUNE DI SQUINZANO (LE) PROGETTO DEFINITIVO <u>Tabulati di calcolo strutturale- Pre-Ispessitore dinamico</u>	R.37.1
		Maggio 2021
		Pagina 6 di 81

Condizione di carico	Fattore di combinazione	Attiva	Massa	Fattore massa
attrezzature idrauliche	1	Si	n.a.	n.a.

Combinazione n° 9: Quasi P1
 Tipo: SLE Q.Perm.
 Spettro: n.a.
 Fattore sisma: n.a.
 Angolo ingresso sisma [°]: n.a.
 Kmod: 1.00

Condizione di carico	Fattore di combinazione	Attiva	Massa	Fattore massa
Peso Proprio	1	Si	n.a.	n.a.
QP Solai	1	Si	n.a.	n.a.
Neve	1	No	n.a.	n.a.
Vento X	1	No	n.a.	n.a.
Apparecchiature	1	Si	n.a.	n.a.
accidentali	1	Si	n.a.	n.a.
attrezzature idrauliche	1	Si	n.a.	n.a.

Combinazione n° 10: SISMAX_SLD
 Tipo: Modale SLE
 Spettro: SpettroNT_ 2018
 Fattore sisma: 1.00
 Angolo ingresso sisma [°]: 0
 Kmod: 1.00

Condizione di carico	Fattore di combinazione	Attiva	Massa	Fattore massa
Peso Proprio	1	Si	Si	1
QP Solai	1	Si	Si	1
Neve	1	No	No	1
Vento X	1	No	No	1
Apparecchiature	1	Si	Si	1
accidentali	1	Si	Si	1
attrezzature idrauliche	1	Si	Si	1

Combinazione n° 11: SISMAX_SLD
 Tipo: Modale SLE
 Spettro: SpettroNT_ 2018
 Fattore sisma: 1.00
 Angolo ingresso sisma [°]: 90
 Kmod: 1.00

Condizione di carico	Fattore di combinazione	Attiva	Massa	Fattore massa
Peso Proprio	1	Si	Si	1
QP Solai	1	Si	Si	1
Neve	1	No	No	1
Vento X	1	No	No	1
Apparecchiature	1	Si	Si	1
accidentali	1	Si	Si	1
attrezzature idrauliche	1	Si	Si	1

Criteri di verifica

CLS Muri ND		
Generici		
Resistenza caratteristica Rck	MPa	45.0
Tensione caratteristica snervamento acciaio barre fyk	MPa	450.0
Tensione caratteristica snervamento acciaio staffe fyk	MPa	450.0
Deformazione unitaria ϵ_{c0}		0.002
Deformazione ultima ϵ_{cu}		0.0035
ϵ_{fu} (solo incrudimento)		0.002
Modulo elastico E acciaio	MPa	210000.00
Copriferro di calcolo	mm	46
Copriferro di disegno	mm	30
Coefficiente di sicurezza γ_{Cl}		1.5
Coefficiente di sicurezza γ_{Acc}		1.15
Riduzione fcd calcestruzzo		0.85
Usa staffe minime di normativa in assenza di sisma		Si
Usa staffe minime di normativa in presenza di sisma		No
Generici N.T.		
Inclinazione bielle compresse $\cotg(\theta)$		1.00
Modello acciaio		Incrudente

POTENZIAMENTO DELL'IMPIANTO DEPURATIVO E DEL RECAPITO FINALE DEL COMUNE DI SQUINZANO (LE) PROGETTO DEFINITIVO

Tabulati di calcolo strutturale- Pre-Ispessitore dinamico


R.37.1

Maggio 2021

Pagina 7 di 81

Incrudimento Ey/E0		0.000
Elemento esistente		No
Generici D.M. 96 T.A.		
Tensione ammissibile σ_c	MPa	13.5
Tensione ammissibile σ_c in trazione	MPa	4.0
Tensione ammissibile σ_c acciaio	MPa	260.0
Tensione tangenziale ammissibile τ_{c0}	MPa	0.8
Tensione tangenziale massima τ_{c1}	MPa	2.3
Coefficiente di omogeneizzazione n		15
Coefficiente di omogeneizzazione n in trazione		0.5
Sezione interamente reagente		No
Fessurazioni		
Verifica a decompressione		No
Verifica formazione fessure		No
Verifica aperture fessure		Si
Classe di esposizione		XA2
Tipo armatura		Poco sensibile
Combinazione Rara		No
Combinazione QP		Si
W ammissibile Combinazione QP	mm	0.200
Combinazione Freq.		Si
W ammissibile Combinazione Freq.	mm	0.300
Valore caratteristico apertura fessure $w_k(*w_m)$		1
Resistenza media a trazione f_{ctm}	MPa	3.4
Coefficiente di breve o lunga durata k_t		0.40
Coefficiente di aderenza k_l		0.80
Tensioni ammissibili di esercizio		
Verifica Combinazione Rara		Si
Tensione ammissibile σ_{Cl}	MPa	22.4
Tensione ammissibile $\sigma_{Acciaio}$	MPa	360.0
Verifica Combinazione QP		Si
Tensione ammissibile σ_{Cl}	MPa	16.8
Tensione ammissibile $\sigma_{Acciaio}$	MPa	360.0
Verifica Combinazione Freq.		No
Coefficienti di omogeneizzazione		
Acciaio - Cls compresso		15
Cls teso - Cls compresso		0.5
Armatura muri		
Minima percentuale armatura rispetto al Cls in direzione X	%	0.1
Minima percentuale armatura rispetto al Cls in direzione Y	%	0.1
Massima percentuale armatura rispetto al Cls in direzione X	%	2
Massima percentuale armatura rispetto al Cls in direzione Y	%	2
Verifica muri		
Step incremento armatura	cmq	0.01
Verifica muri come pareti		No

Acciaio Pressflessione		
Verifiche		
Tipo di acciaio		S355
σ_{amm} (T<40mm)	MPa	240.0
σ_{amm} (T>40mm)	MPa	220.0
F_y (T<40mm)	MPa	355.0
F_y (T>40mm)	MPa	335.0
F_t (T<40mm)	MPa	510.0
F_t (T>40mm)	MPa	470.0
Piano di verifica		η
Tipo di instabilità		Pressoflessione senza svergolamento
λ_{Max}		200
Coefficiente di sicurezza γ_s		1.5
Coefficiente di adattamento plastico Ψ_x		1
Coefficiente di adattamento plastico Ψ_y		1
Costante di ingobbamento J_w		1
Usa β		No
Escludi momento flettente trasversale M_z		No
Verifica come pendolo		No
Carichi estradossati		No
Verifiche N.T. SLU		
Coefficiente di sicurezza γ_M		1.05
Usa CNR 10011		No
Stampe		
Combinazioni di verifica		Più gravosa

	POTENZIAMENTO DELL'IMPIANTO DEPURATIVO E DEL RECAPITO FINALE DEL COMUNE DI SQUINZANO (LE) PROGETTO DEFINITIVO <u>Tabulati di calcolo strutturale- Pre-Ispessitore dinamico</u>	R.37.1
		Maggio 2021
		Pagina 8 di 81

Verifiche N.T. SLE		
Verifica degli spostamenti verticali		Si
Monta iniziale della trave δc	mm	0
Limite spostamento nello stato finale	mm	L/250.00
Limite spostamento nello stato finale (mensola)	mm	L/125.00
Limite spostamento dovuto ai soli carichi variabili	mm	L/300.00
Limite spostamento dovuto ai soli carichi variabili (mensola)	mm	L/150.00

Acciaio FlessTors		
Verifiche		
Tipo di acciaio		S355
σ_{amm} (T<40mm)	MPa	240.0
σ_{amm} (T>40mm)	MPa	220.0
F_y (T<40mm)	MPa	355.0
F_y (T>40mm)	MPa	335.0
F_t (T<40mm)	MPa	510.0
F_t (T>40mm)	MPa	470.0
Piano di verifica		η
Tipo di instabilità		Flessotorsione
λ_{Max}		250
Coefficiente di sicurezza γ_s		1.5
Coefficiente di adattamento plastico Ψ_x		1
Coefficiente di adattamento plastico Ψ_y		1
Costante di ingobbamento J_w		1
Usa β		No
Escludi momento flettente trasversale M_z		No
Verifica come pendolo		No
Carichi estradossati		No
Verifiche N.T. SLU		
Coefficiente di sicurezza γ_M		1.05
Usa CNR 10011		No
Stampe		
Combinazioni di verifica		Più gravosa
Verifiche N.T. SLE		
Verifica degli spostamenti verticali		Si
Monta iniziale della trave δc	mm	0
Limite spostamento nello stato finale	mm	L/250.00
Limite spostamento nello stato finale (mensola)	mm	L/125.00
Limite spostamento dovuto ai soli carichi variabili	mm	L/300.00
Limite spostamento dovuto ai soli carichi variabili (mensola)	mm	L/150.00

Risultati Analisi Dinamica - Statistiche matrice di rigidità
Scenario di calcolo: ScenarioNT_2018 A2_SLV_SLD_STR_GEO

Minimo della diagonale	3.656014e+05
Massimo della diagonale	3.807895e+13
Rapporto Max/Min	1.041543e+08
Media della diagonale	2.612182e+11
Densità	1.125505e+00

Dati generali

Nome struttura	
Fattore rigidità assiale pilastri	1
Numero di frequenze	15
% Filtro masse libere	0.1
% Coefficiente di smorzamento viscoso	5
Spostamenti modali con segno	Si
Deformabilità a taglio delle aste	Si
Spostamento ammissibile impalcato	0.0050*h

Impalcato

N°	Quota mm	Rigido mm	Incr.Soll.Pil	Inc.Soll.Par.
0	0	No	1.000	1.000
1	5000	Si	1.000	1.000
2	5550	Si	1.000	1.000

POTENZIAMENTO DELL'IMPIANTO DEPURATIVO E DEL RECAPITO FINALE DEL COMUNE DI SQUINZANO (LE) PROGETTO DEFINITIVO

Tabulati di calcolo strutturale- Pre-Ispessitore dinamico

R.37.1

Maggio 2021

Pagina 9 di 81

Percentuali Spostamento masse impalcanti

Posizione	% Spostamento direzione X	% Spostamento direzione Y
1	0	-5
2	5	0
3	0	5
4	-5	0

Combinazioni del Sisma in X e Y e Verticale

Comb.	Pos. SismaX	Pos. SismaY	Fx	Fy	Fz
1	1	2	1	0.3	0
2	1	2	0.3	1	0
3	1	4	1	0.3	0
4	1	4	0.3	1	0
5	3	2	1	0.3	0
6	3	2	0.3	1	0
7	3	4	1	0.3	0
8	3	4	0.3	1	0

Comb. Numero di combinazione dei sismi
 Pos. SismaX Posizione in cui viene scelto il sisma in direzione X
 Pos. SismaY Posizione in cui viene scelto il sisma in direzione Y
 Fx Fattore con cui il sisma X partecipa
 Fy Fattore con cui il sisma Y partecipa
 Fz Fattore con cui il sisma Verticale partecipa (quando richiesto)

Ogni combinazione genera al massimo 8 sotto-combinazioni in base a tutte le combinazioni possibili dei segni di Fx ed Fy ed Fz.

Nodi - Geometria e vincoli

Nodo	X	Y	Z	Tx	Ty	Tz	Rx	Ry	Rz	Impalcato
Coordinate [mm]				Vincoli						
0	0	6412	5475	0	0	0	0	0	0	-1
0	3540	4570	-250	1	1	0	0	0	1	-1
0	5540	4570	-250	1	1	0	0	0	1	-1
0	5540	2170	-250	1	1	0	0	0	1	-1
0	3540	2170	-250	1	1	0	0	0	1	-1
0	5600	6412	5475	0	0	0	0	0	0	-1
1	0	0	0	1	1	0	0	0	1	0
2	5600	0	0	1	1	0	0	0	1	0
3	11300	0	0	1	1	0	0	0	1	0
4	0	7300	0	1	1	0	0	0	1	0
5	5600	7300	0	1	1	0	0	0	1	0
6	11300	7300	0	1	1	0	0	0	1	0
10	-350	-350	0	1	1	0	0	0	1	0
11	0	-350	0	1	1	0	0	0	1	0
12	3500	-350	0	1	1	0	0	0	1	0
13	5600	-350	0	1	1	0	0	0	1	0
14	6000	-350	0	1	1	0	0	0	1	0
15	11300	-350	0	1	1	0	0	0	1	0
16	11650	-350	0	1	1	0	0	0	1	0
20	-350	0	0	1	1	0	0	0	1	0
21	3500	0	0	1	1	0	0	0	1	0
23	6000	0	0	1	1	0	0	0	1	0
24	11650	0	0	1	1	0	0	0	1	0
25	-350	1000	0	1	1	0	0	0	1	0
26	0	1000	0	1	1	0	0	0	1	0
27	3500	1000	0	1	1	0	0	0	1	0
28	5600	1000	0	1	1	0	0	0	1	0
29	6000	1000	0	1	1	0	0	0	1	0
30	11300	1000	0	1	1	0	0	0	1	0
31	11650	1000	0	1	1	0	0	0	1	0
32	-350	2120	0	1	1	0	0	0	1	0
33	0	2120	0	1	1	0	0	0	1	0
34	3500	2120	0	1	1	0	0	0	1	0
35	5600	2120	0	1	1	0	0	0	1	0
36	6000	2120	0	1	1	0	0	0	1	0
37	11300	2120	0	1	1	0	0	0	1	0
38	11650	2120	0	1	1	0	0	0	1	0
39	-350	3000	0	1	1	0	0	0	1	0
40	0	3000	0	1	1	0	0	0	1	0
41	3500	3000	0	1	1	0	0	0	1	0
42	5600	3000	0	1	1	0	0	0	1	0
43	6000	3000	0	1	1	0	0	0	1	0

**POTENZIAMENTO DELL'IMPIANTO DEPURATIVO E DEL
RECAPITO FINALE DEL COMUNE DI SQUINZANO (LE)
PROGETTO DEFINITIVO**

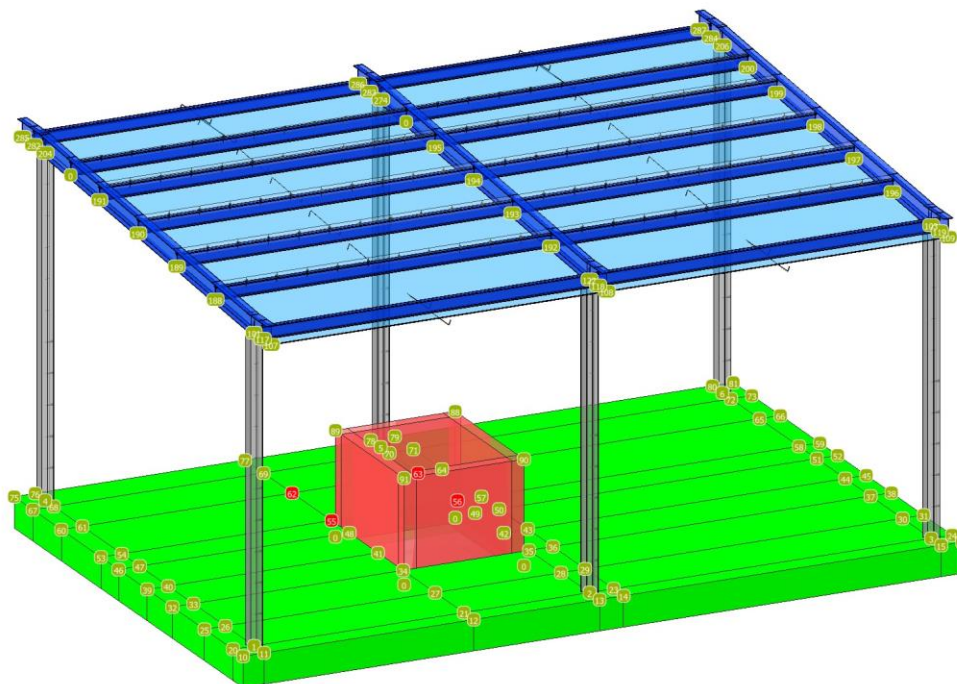
Tabulati di calcolo strutturale- Pre-Ispessitore dinamico

R.37.1

Maggio 2021

Pagina 10 di 81

Nodo	X	Y	Z	Tx	Ty	Tz	Rx	Ry	Rz	Impalcato
44	11300	3000	0	1	1	0	0	0	1	0
45	11650	3000	0	1	1	0	0	0	1	0
46	-350	4000	0	1	1	0	0	0	1	0
47	0	4000	0	1	1	0	0	0	1	0
48	3500	4000	0	1	1	0	0	0	1	0
49	5600	4000	0	1	1	0	0	0	1	0
50	6000	4000	0	1	1	0	0	0	1	0
51	11300	4000	0	1	1	0	0	0	1	0
52	11650	4000	0	1	1	0	0	0	1	0
53	-350	4620	0	1	1	0	0	0	1	0
54	0	4620	0	1	1	0	0	0	1	0
55	3500	4620	0	1	1	0	0	0	1	0
56	5600	4620	0	1	1	0	0	0	1	0
57	6000	4620	0	1	1	0	0	0	1	0
58	11300	4620	0	1	1	0	0	0	1	0
59	11650	4620	0	1	1	0	0	0	1	0
60	-350	6000	0	1	1	0	0	0	1	0
61	0	6000	0	1	1	0	0	0	1	0
62	3500	6000	0	1	1	0	0	0	1	0
63	5600	6000	0	1	1	0	0	0	1	0
64	6000	6000	0	1	1	0	0	0	1	0
65	11300	6000	0	1	1	0	0	0	1	0
66	11650	6000	0	1	1	0	0	0	1	0
67	-350	7000	0	1	1	0	0	0	1	0
68	0	7000	0	1	1	0	0	0	1	0
69	3500	7000	0	1	1	0	0	0	1	0
70	5600	7000	0	1	1	0	0	0	1	0
71	6000	7000	0	1	1	0	0	0	1	0
72	11300	7000	0	1	1	0	0	0	1	0
73	11650	7000	0	1	1	0	0	0	1	0
75	-350	7650	0	1	1	0	0	0	1	0
76	0	7650	0	1	1	0	0	0	1	0
77	3500	7650	0	1	1	0	0	0	1	0
78	5600	7650	0	1	1	0	0	0	1	0
79	6000	7650	0	1	1	0	0	0	1	0
80	11300	7650	0	1	1	0	0	0	1	0
81	11650	7650	0	1	1	0	0	0	1	0
88	5540	4570	1450	0	0	0	0	0	0	-1
89	3540	4570	1450	0	0	0	0	0	0	-1
90	5540	2170	1450	0	0	0	0	0	0	-1
91	3540	2170	1450	0	0	0	0	0	0	-1
101	0	0	5000	0	0	0	0	0	0	1
103	11300	0	5000	0	0	0	0	0	0	1
107	0	-600	5000	0	0	0	0	0	0	1
108	5600	-600	5000	0	0	0	0	0	0	1
109	11300	-600	5000	0	0	0	0	0	0	1
117	0	-300	5000	0	0	0	0	0	0	1
118	5600	-300	5000	0	0	0	0	0	0	1
119	11300	-300	5000	0	0	0	0	0	0	1
122	5600	0	5000	0	0	0	0	0	0	1
188	0	1350	5100	0	0	0	0	0	0	-1
189	0	2700	5200	0	0	0	0	0	0	-1
190	0	4050	5300	0	0	0	0	0	0	-1
191	0	5400	5400	0	0	0	0	0	0	-1
192	5600	1350	5100	0	0	0	0	0	0	-1
193	5600	2700	5200	0	0	0	0	0	0	-1
194	5600	4050	5300	0	0	0	0	0	0	-1
195	5600	5400	5400	0	0	0	0	0	0	-1
196	11300	1350	5100	0	0	0	0	0	0	-1
197	11300	2700	5200	0	0	0	0	0	0	-1
198	11300	4050	5300	0	0	0	0	0	0	-1
199	11300	5400	5400	0	0	0	0	0	0	-1
200	11300	6412	5475	0	0	0	0	0	0	-1
204	0	7300	5550	0	0	0	0	0	0	2
206	11300	7300	5550	0	0	0	0	0	0	2
274	5600	7300	5550	0	0	0	0	0	0	2
282	0	7700	5550	0	0	0	0	0	0	2
283	5600	7700	5550	0	0	0	0	0	0	2
284	11300	7700	5550	0	0	0	0	0	0	2
285	0	8100	5550	0	0	0	0	0	0	2
286	5600	8100	5550	0	0	0	0	0	0	2
287	11300	8100	5550	0	0	0	0	0	0	2



Nodi - Carichi

N°	Cond.	Fx	Fy	Fz	Mx	My	Mz	Tx	Ty	Tz	Rx	Ry	Rz	Δt
		kN			kN*m			mm			°			°C
88	Apparecchiatur	0.00	0.00	10.00	0.00	0.00	0.00							
89	Apparecchiatur	0.00	0.00	10.00	0.00	0.00	0.00							
90	Apparecchiatur	0.00	0.00	10.00	0.00	0.00	0.00							
91	Apparecchiatur	0.00	0.00	10.00	0.00	0.00	0.00							

Input - Aste - Tabella sezioni tipo

Tipo	Nome	Area	Ix	Iy	It	Fx	Fy	Lx	Lx
G		cmq	cm ⁴	cm ⁴	cm ⁴			mm	mm
	HE 200 A	53.8	3692.15	1335.51	20.98	1.000	1.000	200	190
	IPE 300	53.8	8362.53	603.82	19.84	1.830	2.593	150	300
	IPE 200	28.5	1944.91	142.38	6.88	1.794	2.599	100	200

Aste - Geometria e vincoli

Ni	Nf	Vin C.	Sez.	Mat.	Crit.pr	Rot	f.f.	xi	yi	zi	xf	yf	zf	Tipo	L2	L3
						°		mm							mm	
123	2	122	I-I	HE 200 A	Acciaio	Acciaio_Pressf lessione	0.0	5050	0	0	0	0	0	Pila	5000	5000
124	1	101	I-I	HE 200 A	Acciaio	Acciaio_Pressf lessione	0.0	5050	0	0	0	0	0	Pila	5000	5000
125	3	103	I-I	HE 200 A	Acciaio	Acciaio_Pressf lessione	0.0	5050	0	0	0	0	0	Pila	5000	5000
126	4	204	I-I	HE 200 A	Acciaio	Acciaio_Pressf lessione	0.0	5050	0	0	0	0	0	Pila	5550	5550

**POTENZIAMENTO DELL'IMPIANTO DEPURATIVO E DEL
RECAPITO FINALE DEL COMUNE DI SQUINZANO (LE)
PROGETTO DEFINITIVO**

Tabulati di calcolo strutturale- Pre-Ispessitore dinamico

R.37.1

Maggio 2021

Pagina 12 di 81

	Ni	Nf	Vin C.	Sez.	Mat.	Crit.pr .	Rot .	f.f.	xi	yi	zi	xf	yf	zf	Tipo	L2	L3
127	5	274	I-I	HE 200 A	Acciaio	Acciaio _Pressf _lession e	0.0	5050	0	0	0	0	0	0	Pila .	5550	5550
128	6	206	I-I	HE 200 A	Acciaio	Acciaio _Pressf _lession e	0.0	5050	0	0	0	0	0	0	Pila .	5550	5550
113	107	117	I-I	IPE 300	Acciaio	Acciaio _FlessT ors	0.0	2020	0	0	0	0	0	0	Trav e	300	300
113	117	101	I-I	IPE 300	Acciaio	Acciaio _FlessT ors	0.0	2028	0	0	0	0	0	0	Trav e	300	300
113	101	188	I-I	IPE 300	Acciaio	Acciaio _FlessT ors	0.0	2028	0	0	0	0	0	0	Trav e	1354	1354
113	188	189	I-I	IPE 300	Acciaio	Acciaio _FlessT ors	0.0	2028	0	0	0	0	0	0	Trav e	1354	1354
113	189	190	I-I	IPE 300	Acciaio	Acciaio _FlessT ors	0.0	2028	0	0	0	0	0	0	Trav e	1354	1354
113	190	191	I-I	IPE 300	Acciaio	Acciaio _FlessT ors	0.0	2028	0	0	0	0	0	0	Trav e	1354	1354
113	191	0	I-I	IPE 300	Acciaio	Acciaio _FlessT ors	0.0	2028	0	0	0	0	0	0	Trav e	1015	1015
113	0	204	I-I	IPE 300	Acciaio	Acciaio _FlessT ors	0.0	2028	0	0	0	0	0	0	Trav e	891	891
113	204	282	I-I	IPE 300	Acciaio	Acciaio _FlessT ors	0.0	2020	0	0	0	0	0	0	Trav e	400	400
113	282	285	I-I	IPE 300	Acciaio	Acciaio _FlessT ors	0.0	2028	0	0	0	0	0	0	Trav e	400	400
114	108	118	I-I	IPE 300	Acciaio	Acciaio _FlessT ors	0.0	2020	0	0	0	0	0	0	Trav e	300	300
114	118	122	I-I	IPE 300	Acciaio	Acciaio _FlessT ors	0.0	2028	0	0	0	0	0	0	Trav e	300	300
114	122	192	I-I	IPE 300	Acciaio	Acciaio _FlessT ors	0.0	2028	0	0	0	0	0	0	Trav e	1354	1354
114	192	193	I-I	IPE 300	Acciaio	Acciaio _FlessT ors	0.0	2028	0	0	0	0	0	0	Trav e	1354	1354
114	193	194	I-I	IPE 300	Acciaio	Acciaio _FlessT ors	0.0	2028	0	0	0	0	0	0	Trav e	1354	1354
114	194	195	I-I	IPE 300	Acciaio	Acciaio _FlessT ors	0.0	2028	0	0	0	0	0	0	Trav e	1354	1354
114	195	0	I-I	IPE 300	Acciaio	Acciaio _FlessT ors	0.0	2028	0	0	0	0	0	0	Trav e	1015	1015
114	0	274	I-I	IPE 300	Acciaio	Acciaio _FlessT ors	0.0	2028	0	0	0	0	0	0	Trav e	891	891
114	274	283	I-I	IPE 300	Acciaio	Acciaio _FlessT ors	0.0	2020	0	0	0	0	0	0	Trav e	400	400
114	283	286	I-I	IPE 300	Acciaio	Acciaio _FlessT ors	0.0	2028	0	0	0	0	0	0	Trav e	400	400
115	191	195	I-I	IPE 200	Acciaio	Acciaio _FlessT ors	0.0	2020	0	0	0	0	0	0	Trav e	5600	5600
115	195	199	I-I	IPE 200	Acciaio	Acciaio _FlessT ors	0.0	2020	0	0	0	0	0	0	Trav e	5700	5700
116	190	194	I-I	IPE 200	Acciaio	Acciaio _FlessT ors	0.0	2020	0	0	0	0	0	0	Trav e	5600	5600

**POTENZIAMENTO DELL'IMPIANTO DEPURATIVO E DEL
RECAPITO FINALE DEL COMUNE DI SQUINZANO (LE)
PROGETTO DEFINITIVO**

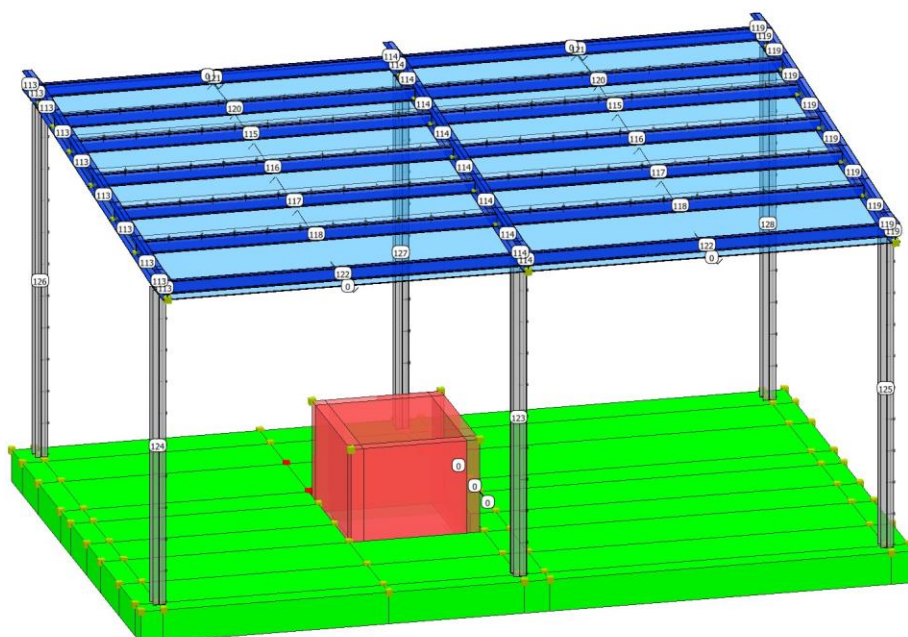
Tabulati di calcolo strutturale- Pre-Ispessitore dinamico

R.37.1

Maggio 2021

Pagina 13 di 81

	Ni	Nf	Vin C.	Sez.	Mat.	Crit.pr .	Rot .	f.f.	xi	yi	zi	xf	yf	zf	Tipo	L2	L3
116	194	198	I-I	IPE 200	Acciaio	Acciaio_FlessTors	0.0	2020	0	0	0	0	0	0	Trave	5700	5700
117	189	193	I-I	IPE 200	Acciaio	Acciaio_FlessTors	0.0	2020	0	0	0	0	0	0	Trave	5600	5600
117	193	197	I-I	IPE 200	Acciaio	Acciaio_FlessTors	0.0	2020	0	0	0	0	0	0	Trave	5700	5700
118	188	192	I-I	IPE 200	Acciaio	Acciaio_FlessTors	0.0	2020	0	0	0	0	0	0	Trave	5600	5600
118	192	196	I-I	IPE 200	Acciaio	Acciaio_FlessTors	0.0	2020	0	0	0	0	0	0	Trave	5700	5700
119	109	119	I-I	IPE 300	Acciaio	Acciaio_FlessTors	0.0	2020	0	0	0	0	0	0	Trave	300	300
119	119	103	I-I	IPE 300	Acciaio	Acciaio_FlessTors	0.0	2028	0	0	0	0	0	0	Trave	300	300
119	103	196	I-I	IPE 300	Acciaio	Acciaio_FlessTors	0.0	2028	0	0	0	0	0	0	Trave	1354	1354
119	196	197	I-I	IPE 300	Acciaio	Acciaio_FlessTors	0.0	2028	0	0	0	0	0	0	Trave	1354	1354
119	197	198	I-I	IPE 300	Acciaio	Acciaio_FlessTors	0.0	2028	0	0	0	0	0	0	Trave	1354	1354
119	198	199	I-I	IPE 300	Acciaio	Acciaio_FlessTors	0.0	2028	0	0	0	0	0	0	Trave	1354	1354
119	199	200	I-I	IPE 300	Acciaio	Acciaio_FlessTors	0.0	2028	0	0	0	0	0	0	Trave	1015	1015
119	200	206	I-I	IPE 300	Acciaio	Acciaio_FlessTors	0.0	2028	0	0	0	0	0	0	Trave	891	891
119	206	284	I-I	IPE 300	Acciaio	Acciaio_FlessTors	0.0	2020	0	0	0	0	0	0	Trave	400	400
119	284	287	I-I	IPE 300	Acciaio	Acciaio_FlessTors	0.0	2028	0	0	0	0	0	0	Trave	400	400
120	0	0	I-I	IPE 200	Acciaio	Acciaio_FlessTors	0.0	2020	0	0	0	0	0	0	Trave	5600	5600
120	0	200	I-I	IPE 200	Acciaio	Acciaio_FlessTors	0.0	2020	0	0	0	0	0	0	Trave	5700	5700
121	282	283	I-I	IPE 200	Acciaio	Acciaio_FlessTors	0.0	2020	0	-0	0	0	-0	0	Trave	5600	5600
121	283	284	I-I	IPE 200	Acciaio	Acciaio_FlessTors	0.0	2020	0	-0	0	-4	-0	11	Trave	5700	5700
122	117	118	I-I	IPE 200	Acciaio	Acciaio_FlessTors	0.0	2020	0	0	0	0	0	0	Trave	5600	5600
122	118	119	I-I	IPE 200	Acciaio	Acciaio_FlessTors	0.0	2020	0	0	0	-4	0	11	Trave	5700	5700



Aste - Carichi

Descrizione carichi aste

UnifG Uniforme globale
UnifL Uniforme locale
VarG Variabile lineare globale
VarL Variabile lineare locale
PolG Poligonale globale
Termico Distorsione termica
Torcente Carico torcente
Precomp. Carico da precompressione
PolL Poligonale locale

Sezione	Ni	Nf	Cond.	Tipo c.	Xi	QXi	QYi	QZi	Xf	QXf	QYf	QZf
					mm	car. dist. kN/m coppie torc. kN			mm	car. dist. kN/m coppie torc. kN		
Pilastro 123												
HE 200 A	2	122	Peso Proprio	UnifG	0	0.00	0.00	0.42	5000	0.00	0.00	0.42
HE 200 A	2	122	Vento X	UnifG	0	0.15	0.00	0.00	5000	0.15	0.00	0.00
Pilastro 124												
HE 200 A	1	101	Peso Proprio	UnifG	0	0.00	0.00	0.42	5000	0.00	0.00	0.42
HE 200 A	1	101	Vento X	UnifG	0	0.15	0.00	0.00	5000	0.15	0.00	0.00
Pilastro 125												
HE 200 A	3	103	Peso Proprio	UnifG	0	0.00	0.00	0.42	5000	0.00	0.00	0.42
HE 200 A	3	103	Vento X	UnifG	0	0.15	0.00	0.00	5000	0.15	0.00	0.00
Pilastro 126												
HE 200 A	4	204	Peso Proprio	UnifG	0	0.00	0.00	0.42	5550	0.00	0.00	0.42
HE 200 A	4	204	Vento X	UnifG	0	0.15	0.00	0.00	5550	0.15	0.00	0.00
Pilastro 127												
HE 200 A	5	274	Peso Proprio	UnifG	0	0.00	0.00	0.42	5550	0.00	0.00	0.42
HE 200 A	5	274	Vento X	UnifG	0	0.15	0.00	0.00	5550	0.15	0.00	0.00
Pilastro 128												
HE 200 A	6	206	Peso Proprio	UnifG	0	0.00	0.00	0.42	5550	0.00	0.00	0.42
HE 200 A	6	206	Vento X	UnifG	0	0.15	0.00	0.00	5550	0.15	0.00	0.00
Trave 0												
Sezione Nulla	43	50	Apparecchiature	UnifG	0	0.00	0.00	10.00	1000	0.00	0.00	10.00
Sezione Nulla	50	57	Apparecchiature	UnifG	0	0.00	0.00	10.00	620	0.00	0.00	10.00
Sezione Nulla	57	64	Apparecchiature	UnifG	0	0.00	0.00	10.00	1380	0.00	0.00	10.00
Sezione Nulla	107	108	QP Solai	PolG	0	0.00	0.00	0.04	5600	0.00	0.00	0.04
Sezione Nulla	107	108	Neve	PolL	0	0.00	0.00	0.07	5600	0.00	0.00	0.07

POTENZIAMENTO DELL'IMPIANTO DEPURATIVO E DEL RECAPITO FINALE DEL COMUNE DI SQUINZANO (LE) PROGETTO DEFINITIVO

Tabulati di calcolo strutturale- Pre-Ispessitore dinamico

R.37.1

Maggio 2021

Pagina 15 di 81

Sezione	Ni	Nf	Cond.	Tipo c.	Xi	QXi	QYi	QZi	Xf	QXf	QYf	QZf
Sezione Nulla	108	109	QP Solai	PolG	0	0.00	0.00	0.04	5700	0.00	0.00	0.04
Sezione Nulla	108	109	Neve	PolL	0	0.00	0.00	0.07	5700	0.00	0.00	0.07
Sezione Nulla	285	286	QP Solai	PolG	0	0.00	0.00	0.06	5600	0.00	0.00	0.06
Sezione Nulla	285	286	Neve	PolL	0	0.00	0.00	0.10	5600	0.00	0.00	0.10
Sezione Nulla	286	287	QP Solai	PolG	0	0.00	0.00	0.06	5700	0.00	0.00	0.06
Sezione Nulla	286	287	Neve	PolL	0	0.00	0.00	0.10	5700	0.00	0.00	0.10
Trave 113												
IPE 300	0	204	Peso Proprio	UnifG	0	0.00	0.00	0.42	985	0.00	0.00	0.42
IPE 300	101	188	Peso Proprio	UnifG	0	0.00	0.00	0.42	1354	0.00	0.00	0.42
IPE 300	101	188	QP Solai	PolG	0	0.00	0.00	0.00	1354	0.00	0.00	0.00
IPE 300	101	188	Neve	PolL	0	0.00	0.00	0.00	1354	0.00	0.00	0.00
IPE 300	107	117	Peso Proprio	UnifG	0	0.00	0.00	0.42	300	0.00	0.00	0.42
IPE 300	117	101	Peso Proprio	UnifG	0	0.00	0.00	0.42	395	0.00	0.00	0.42
IPE 300	188	189	Peso Proprio	UnifG	0	0.00	0.00	0.42	1354	0.00	0.00	0.42
IPE 300	189	190	Peso Proprio	UnifG	0	0.00	0.00	0.42	1354	0.00	0.00	0.42
IPE 300	190	191	Peso Proprio	UnifG	0	0.00	0.00	0.42	1354	0.00	0.00	0.42
IPE 300	191	0	Peso Proprio	UnifG	0	0.00	0.00	0.42	1015	0.00	0.00	0.42
IPE 300	204	282	Peso Proprio	UnifG	0	0.00	0.00	0.42	400	0.00	0.00	0.42
IPE 300	282	285	Peso Proprio	UnifG	0	0.00	0.00	0.42	400	0.00	0.00	0.42
Trave 114												
IPE 300	0	274	Peso Proprio	UnifG	0	0.00	0.00	0.42	985	0.00	0.00	0.42
IPE 300	108	118	Peso Proprio	UnifG	0	0.00	0.00	0.42	300	0.00	0.00	0.42
IPE 300	118	122	Peso Proprio	UnifG	0	0.00	0.00	0.42	395	0.00	0.00	0.42
IPE 300	122	192	Peso Proprio	UnifG	0	0.00	0.00	0.42	1354	0.00	0.00	0.42
IPE 300	122	192	QP Solai	PolG	0	0.00	0.00	0.00	102	0.00	0.00	0.00
					102	0.00	0.00	0.00	1354	0.00	0.00	0.00
IPE 300	122	192	Neve	PolL	102	0.00	0.00	0.00	1354	0.00	0.00	0.00
IPE 300	122	192	Neve	PolL	0	0.00	0.00	0.00	1354	0.00	0.00	0.00
IPE 300	192	193	Peso Proprio	UnifG	0	0.00	0.00	0.42	1354	0.00	0.00	0.42
IPE 300	193	194	Peso Proprio	UnifG	0	0.00	0.00	0.42	1354	0.00	0.00	0.42
IPE 300	194	195	Peso Proprio	UnifG	0	0.00	0.00	0.42	1354	0.00	0.00	0.42
IPE 300	195	0	Peso Proprio	UnifG	0	0.00	0.00	0.42	1015	0.00	0.00	0.42
IPE 300	274	283	Peso Proprio	UnifG	0	0.00	0.00	0.42	400	0.00	0.00	0.42
IPE 300	283	286	Peso Proprio	UnifG	0	0.00	0.00	0.42	400	0.00	0.00	0.42
Trave 115												
IPE 200	191	195	Peso Proprio	UnifG	0	0.00	0.00	0.22	5600	0.00	0.00	0.22
IPE 200	191	195	QP Solai	PolG	0	0.00	0.00	0.36	5600	0.00	0.00	0.36
IPE 200	191	195	Neve	PolL	0	0.00	-0.03	0.34	5600	0.00	-0.03	0.34
IPE 200	191	195	Neve	PolL	0	0.00	-0.02	0.25	5600	0.00	-0.02	0.25
IPE 200	191	195	Vento X	PolL	0	0.00	-0.02	0.28	5600	0.00	-0.02	0.28
IPE 200	191	195	Vento X	PolL	0	0.00	-0.03	0.37	5600	0.00	-0.03	0.37
IPE 200	195	199	Peso Proprio	UnifG	0	0.00	0.00	0.22	5700	0.00	0.00	0.22
IPE 200	195	199	QP Solai	PolG	0	0.00	0.00	0.36	5700	0.00	0.00	0.36
IPE 200	195	199	Neve	PolL	0	0.00	-0.03	0.34	5700	0.00	-0.03	0.34
IPE 200	195	199	Neve	PolL	0	0.00	-0.02	0.25	5700	0.00	-0.02	0.25
IPE 200	195	199	Vento X	PolL	0	0.00	-0.03	0.37	5700	0.00	-0.03	0.37
IPE 200	195	199	Vento X	PolL	0	0.00	-0.02	0.28	5700	0.00	-0.02	0.28
Trave 116												
IPE 200	190	194	Peso Proprio	UnifG	0	0.00	0.00	0.22	5600	0.00	0.00	0.22
IPE 200	190	194	QP Solai	PolG	0	0.00	0.00	0.41	5600	0.00	0.00	0.41
IPE 200	190	194	Neve	PolL	0	0.00	-0.03	0.34	5600	0.00	-0.03	0.34
IPE 200	190	194	Neve	PolL	0	0.00	-0.02	0.34	5600	0.00	-0.02	0.34
IPE 200	190	194	Vento X	PolL	0	0.00	-0.03	0.37	5600	0.00	-0.03	0.37
IPE 200	190	194	Vento X	PolL	0	0.00	-0.03	0.37	5600	0.00	-0.03	0.37
IPE 200	194	198	Peso Proprio	UnifG	0	0.00	0.00	0.22	5700	0.00	0.00	0.22
IPE 200	194	198	QP Solai	PolG	0	0.00	0.00	0.41	5700	0.00	0.00	0.41
IPE 200	194	198	Neve	PolL	0	0.00	-0.03	0.34	5700	0.00	-0.03	0.34
IPE 200	194	198	Neve	PolL	0	0.00	-0.02	0.34	5700	0.00	-0.02	0.34
IPE 200	194	198	Vento X	PolL	0	0.00	-0.03	0.37	5700	0.00	-0.03	0.37
IPE 200	194	198	Vento X	PolL	0	0.00	-0.03	0.37	5700	0.00	-0.03	0.37
Trave 117												
IPE 200	189	193	Peso Proprio	UnifG	0	0.00	0.00	0.22	5600	0.00	0.00	0.22
IPE 200	189	193	QP Solai	PolG	0	0.00	0.00	0.41	5600	0.00	0.00	0.41
IPE 200	189	193	Neve	PolL	0	0.00	-0.02	0.34	5600	0.00	-0.02	0.34
IPE 200	189	193	Neve	PolL	0	0.00	-0.03	0.34	5600	0.00	-0.03	0.34
IPE 200	189	193	Vento X	PolL	0	0.00	-0.03	0.37	5600	0.00	-0.03	0.37
IPE 200	189	193	Vento X	PolL	0	0.00	-0.03	0.37	5600	0.00	-0.03	0.37
IPE 200	193	197	Peso Proprio	UnifG	0	0.00	0.00	0.22	5700	0.00	0.00	0.22
IPE 200	193	197	QP Solai	PolG	0	0.00	0.00	0.41	5700	0.00	0.00	0.41
IPE 200	193	197	Neve	PolL	0	0.00	-0.02	0.34	5700	0.00	-0.02	0.34

POTENZIAMENTO DELL'IMPIANTO DEPURATIVO E DEL RECAPITO FINALE DEL COMUNE DI SQUINZANO (LE) PROGETTO DEFINITIVO

Tabulati di calcolo strutturale- Pre-Ispessitore dinamico

R.37.1

Maggio 2021

Pagina 16 di 81

Sezione	Ni	Nf	Cond.	Tipo c.	Xi	QXi	QYi	QZi	Xf	QXf	QYf	QZf
IPE 200	193	197	Neve	PolL	0	0.00	-0.03	0.34	5700	0.00	-0.03	0.34
IPE 200	193	197	Vento X	PolL	0	0.00	-0.03	0.37	5700	0.00	-0.03	0.37
IPE 200	193	197	Vento X	PolL	0	0.00	-0.03	0.37	5700	0.00	-0.03	0.37
Trave 118												
IPE 200	188	192	Peso Proprio	UnifG	0	0.00	0.00	0.22	5600	0.00	0.00	0.22
IPE 200	188	192	QP Solai	PolG	0	0.00	0.00	0.45	5600	0.00	0.00	0.45
IPE 200	188	192	Neve	PolL	0	-0.01	0.00	0.41	5600	-0.01	0.00	0.41
IPE 200	188	192	Neve	PolL	0	0.00	-0.03	0.34	5600	0.00	-0.03	0.34
IPE 200	188	192	Vento X	PolL	0	0.00	-0.03	0.37	5600	0.00	-0.03	0.37
IPE 200	192	196	Peso Proprio	UnifG	0	0.00	0.00	0.22	5700	0.00	0.00	0.22
IPE 200	192	196	QP Solai	PolG	0	0.00	0.00	0.45	5700	0.00	0.00	0.45
IPE 200	192	196	Neve	PolL	0	-0.01	0.00	0.41	5700	-0.01	0.00	0.41
IPE 200	192	196	Neve	PolL	0	0.00	-0.03	0.34	5700	0.00	-0.03	0.34
IPE 200	192	196	Vento X	PolL	0	0.00	-0.03	0.37	5700	0.00	-0.03	0.37
Trave 119												
IPE 300	103	196	Peso Proprio	UnifG	0	0.00	0.00	0.42	1354	0.00	0.00	0.42
IPE 300	103	196	QP Solai	PolG	102	0.00	0.00	0.00	1354	0.00	0.00	0.00
IPE 300	103	196	Neve	PolL	102	0.00	0.00	0.00	1354	0.00	0.00	0.00
IPE 300	109	119	Peso Proprio	UnifG	0	0.00	0.00	0.42	300	0.00	0.00	0.42
IPE 300	119	103	Peso Proprio	UnifG	0	0.00	0.00	0.42	395	0.00	0.00	0.42
IPE 300	196	197	Peso Proprio	UnifG	0	0.00	0.00	0.42	1354	0.00	0.00	0.42
IPE 300	197	198	Peso Proprio	UnifG	0	0.00	0.00	0.42	1354	0.00	0.00	0.42
IPE 300	198	199	Peso Proprio	UnifG	0	0.00	0.00	0.42	1354	0.00	0.00	0.42
IPE 300	199	200	Peso Proprio	UnifG	0	0.00	0.00	0.42	1015	0.00	0.00	0.42
IPE 300	200	206	Peso Proprio	UnifG	0	0.00	0.00	0.42	985	0.00	0.00	0.42
IPE 300	206	284	Peso Proprio	UnifG	0	0.00	0.00	0.42	400	0.00	0.00	0.42
IPE 300	284	287	Peso Proprio	UnifG	0	0.00	0.00	0.42	400	0.00	0.00	0.42
Trave 120												
IPE 200	0	200	Peso Proprio	UnifG	0	0.00	0.00	0.22	5700	0.00	0.00	0.22
IPE 200	0	0	Peso Proprio	UnifG	0	0.00	0.00	0.22	5600	0.00	0.00	0.22
IPE 200	0	0	QP Solai	PolG	0	0.00	0.00	0.35	5600	0.00	0.00	0.35
IPE 200	0	200	QP Solai	PolG	0	0.00	0.00	0.35	5700	0.00	0.00	0.35
IPE 200	0	0	Neve	PolL	0	0.00	0.00	0.32	5600	0.00	0.00	0.32
IPE 200	0	0	Neve	PolL	0	0.00	-0.02	0.25	5600	0.00	-0.02	0.25
IPE 200	0	200	Neve	PolL	0	0.00	-0.02	0.25	5700	0.00	-0.02	0.25
IPE 200	0	200	Neve	PolL	0	0.00	0.00	0.32	5700	0.00	0.00	0.32
IPE 200	0	0	Vento X	PolL	0	0.00	-0.02	0.28	5600	0.00	-0.02	0.28
IPE 200	0	200	Vento X	PolL	0	0.00	-0.02	0.28	5700	0.00	-0.02	0.28
Trave 121												
IPE 200	282	283	Peso Proprio	UnifG	0	0.00	0.00	0.22	5600	0.00	0.00	0.22
IPE 200	282	283	QP Solai	PolG	0	0.00	0.00	0.25	5600	0.00	0.00	0.25
IPE 200	282	283	Neve	PolL	0	0.00	0.00	0.32	5600	0.00	-0.00	0.32
IPE 200	282	283	Neve	PolL	0	0.00	0.00	0.10	5600	0.00	0.00	0.10
IPE 200	283	284	Peso Proprio	UnifG	0	0.00	0.00	0.22	5696	0.00	0.00	0.22
IPE 200	283	284	QP Solai	PolG	0	0.00	0.00	0.25	5696	0.00	0.00	0.25
IPE 200	283	284	Neve	PolL	0	0.00	0.00	0.32	5696	0.00	0.00	0.32
IPE 200	283	284	Neve	PolL	0	0.00	0.00	0.10	5696	0.00	0.00	0.10
Trave 122												
IPE 200	117	118	Peso Proprio	UnifG	0	0.00	0.00	0.22	5600	0.00	0.00	0.22
IPE 200	117	118	QP Solai	PolG	0	0.00	0.00	0.29	5600	0.00	0.00	0.29
IPE 200	117	118	Neve	PolL	0	0.00	0.00	0.07	5600	0.00	0.00	0.07
IPE 200	117	118	Neve	PolL	0	-0.01	0.00	0.41	5600	-0.01	0.00	0.41
IPE 200	118	119	Peso Proprio	UnifG	0	0.00	0.00	0.22	5696	0.00	0.00	0.22
IPE 200	118	119	QP Solai	PolG	0	0.00	0.00	0.29	5696	0.00	0.00	0.29
IPE 200	118	119	Neve	PolL	0	-0.01	0.00	0.41	5696	-0.01	0.00	0.41
IPE 200	118	119	Neve	PolL	0	0.00	0.00	0.07	5696	0.00	0.00	0.07

Pareti - geometria e vincoli

Parete	Nodi	Tipo	Materiale	Criterio	N.P.	N.P.X	N.P.Y	Spess. mm
1	10-20-1-11	Platea	C35/45	CLS Muri ND	4			500
2	11-1-21-12	Platea	C35/45	CLS Muri ND	16			500
3	12-21-2-13	Platea	C35/45	CLS Muri ND	8			500
4	13-2-23-14	Platea	C35/45	CLS Muri ND	4			500
5	14-23-3-15	Platea	C35/45	CLS Muri ND	20			500
6	1-26-27-21	Platea	C35/45	CLS Muri ND	16			500
7	21-27-28-2	Platea	C35/45	CLS Muri ND	8			500
8	2-28-29-23	Platea	C35/45	CLS Muri ND	4			500
9	23-29-30-3	Platea	C35/45	CLS Muri ND	20			500
10	20-25-26-1	Platea	C35/45	CLS Muri ND	4			500
11	26-33-34-27	Platea	C35/45	CLS Muri ND	16			500
12	28-35-36-29	Platea	C35/45	CLS Muri ND	4			500
13	29-36-37-30	Platea	C35/45	CLS Muri ND	20			500
14	27-34-35-28	Platea	C35/45	CLS Muri ND	8			500

**POTENZIAMENTO DELL'IMPIANTO DEPURATIVO E DEL
RECAPITO FINALE DEL COMUNE DI SQUINZANO (LE)
PROGETTO DEFINITIVO**

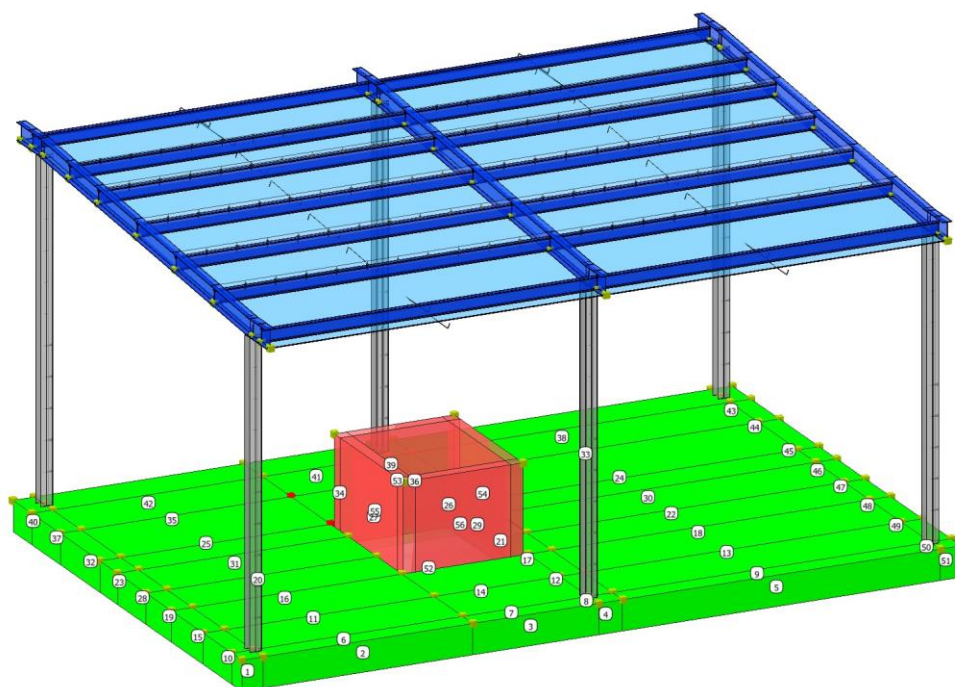
Tabulati di calcolo strutturale- Pre-Ispessitore dinamico

R.37.1

Maggio 2021

Pagina 17 di 81

Parete	Nodi	Tipo	Materiale	Criterio	N.P.	N.P.X	N.P.Y	Spess.
15	25-32-33-26	Platea	C35/45	CLS Muri ND	4			500
16	33-40-41-34	Platea	C35/45	CLS Muri ND	16			500
17	35-42-43-36	Platea	C35/45	CLS Muri ND	4			500
18	36-43-44-37	Platea	C35/45	CLS Muri ND	20			500
19	32-39-40-33	Platea	C35/45	CLS Muri ND	4			500
20	40-47-48-41	Platea	C35/45	CLS Muri ND	16			500
21	42-49-50-43	Platea	C35/45	CLS Muri ND	4			500
22	43-50-51-44	Platea	C35/45	CLS Muri ND	20			500
23	46-53-54-47	Platea	C35/45	CLS Muri ND	4			500
24	57-64-65-58	Platea	C35/45	CLS Muri ND	20			500
25	54-61-62-55	Platea	C35/45	CLS Muri ND	16			500
26	56-63-64-57	Platea	C35/45	CLS Muri ND	4			500
27	55-62-63-56	Platea	C35/45	CLS Muri ND	8			500
28	39-46-47-40	Platea	C35/45	CLS Muri ND	4			500
29	49-56-57-50	Platea	C35/45	CLS Muri ND	4			500
30	50-57-58-51	Platea	C35/45	CLS Muri ND	20			500
31	47-54-55-48	Platea	C35/45	CLS Muri ND	16			500
32	53-60-61-54	Platea	C35/45	CLS Muri ND	4			500
33	64-71-72-65	Platea	C35/45	CLS Muri ND	20			500
34	62-69-70-63	Platea	C35/45	CLS Muri ND	8			500
35	61-68-69-62	Platea	C35/45	CLS Muri ND	16			500
36	63-70-71-64	Platea	C35/45	CLS Muri ND	4			500
37	60-67-68-61	Platea	C35/45	CLS Muri ND	4			500
38	71-79-80-6-72	Platea	C35/45	CLS Muri ND	23			500
39	70-5-78-79-71	Platea	C35/45	CLS Muri ND	9			500
40	67-75-76-4-68	Platea	C35/45	CLS Muri ND	9			500
41	69-77-78-5-70	Platea	C35/45	CLS Muri ND	11			500
42	68-4-76-77-69	Platea	C35/45	CLS Muri ND	19			500
43	72-6-80-81-73	Platea	C35/45	CLS Muri ND	9			500
44	65-72-73-66	Platea	C35/45	CLS Muri ND	4			500
45	58-65-66-59	Platea	C35/45	CLS Muri ND	4			500
46	51-58-59-52	Platea	C35/45	CLS Muri ND	4			500
47	44-51-52-45	Platea	C35/45	CLS Muri ND	4			500
48	37-44-45-38	Platea	C35/45	CLS Muri ND	4			500
49	30-37-38-31	Platea	C35/45	CLS Muri ND	4			500
50	3-30-31-24	Platea	C35/45	CLS Muri ND	4			500
51	15-3-24-16	Platea	C35/45	CLS Muri ND	4			500
52	0-0-0-0	Platea	C35/45	CLS Muri ND	4			400
53	0-0-88-89	Discreto	C35/45	CLS Muri ND	4			200
54	0-0-90-88	Discreto	C35/45	CLS Muri ND	4			200
55	0-0-89-91	Discreto	C35/45	CLS Muri ND	4			200
56	0-0-91-90	Discreto	C35/45	CLS Muri ND	4			200



Muri - Carichi

Shell Indice dello shell
 Cond. Condizione di carico
 Tipo Tipologia di spinta
 γ Peso specifico: terreno o acqua
 Q Valore del carico uniforme
 Vert.1 Valore del carico nel primo vertice⁽¹⁾
 Vert.2 Valore del carico nel secondo vertice⁽¹⁾
 Vert.3 Valore del carico nel terzo vertice⁽¹⁾
 Vert.4 Valore del carico nel quarto vertice⁽¹⁾
 Hw Altezza del pelo libero dell'acqua

⁽¹⁾: Per shell con numero di vertici maggiori 4, per carichi trapezoidali, il valore del carico nei vertici e' stampato a gruppi di 4 secondo l'ordine con cui i vertici sono stati definiti

Shell	Cond.	Tipo	Q	Vert.1	Vert.2	Vert.3	Vert.4	Hw	γ
			kN/m ²	kN/m ²	kN/m ²	kN/m ²	kN/m ²	mm	kN/m ³
1	Peso Proprio	Peso Proprio kN	1.53						
1	accidentali	Uniforme_GLOBZ	20.00						
1	attrezzature idrauliche	Uniforme_GLOBZ	3.00						
2	Peso Proprio	Peso Proprio kN	15.31						
2	accidentali	Uniforme_GLOBZ	20.00						
2	attrezzature idrauliche	Uniforme_GLOBZ	3.00						
3	Peso Proprio	Peso Proprio kN	9.19						
3	accidentali	Uniforme_GLOBZ	20.00						
3	attrezzature idrauliche	Uniforme_GLOBZ	3.00						
4	Peso Proprio	Peso Proprio kN	1.75						
4	accidentali	Uniforme_GLOBZ	20.00						
4	attrezzature idrauliche	Uniforme_GLOBZ	3.00						
5	Peso Proprio	Peso Proprio kN	23.19						
5	accidentali	Uniforme_GLOBZ	20.00						
5	attrezzature idrauliche	Uniforme_GLOBZ	3.00						
6	Peso Proprio	Peso Proprio kN	43.75						
6	accidentali	Uniforme_GLOBZ	20.00						
6	attrezzature idrauliche	Uniforme_GLOBZ	3.00						
7	Peso Proprio	Peso Proprio kN	26.25						
7	accidentali	Uniforme_GLOBZ	20.00						
7	attrezzature idrauliche	Uniforme_GLOBZ	3.00						
8	Peso Proprio	Peso Proprio kN	5.00						
8	accidentali	Uniforme_GLOBZ	20.00						
8	attrezzature idrauliche	Uniforme_GLOBZ	3.00						
9	Peso Proprio	Peso Proprio kN	66.25						
9	accidentali	Uniforme_GLOBZ	20.00						
9	attrezzature idrauliche	Uniforme_GLOBZ	3.00						
10	Peso Proprio	Peso Proprio kN	4.38						
10	accidentali	Uniforme_GLOBZ	20.00						
10	attrezzature idrauliche	Uniforme_GLOBZ	3.00						
11	Peso Proprio	Peso Proprio kN	49.00						
11	accidentali	Uniforme_GLOBZ	20.00						
11	attrezzature idrauliche	Uniforme_GLOBZ	3.00						
12	Peso Proprio	Peso Proprio kN	5.60						
12	accidentali	Uniforme_GLOBZ	20.00						
12	attrezzature idrauliche	Uniforme_GLOBZ	3.00						
13	Peso Proprio	Peso Proprio kN	74.20						
13	accidentali	Uniforme_GLOBZ	20.00						
13	attrezzature idrauliche	Uniforme_GLOBZ	3.00						
14	Peso Proprio	Peso Proprio kN	29.40						
14	accidentali	Uniforme_GLOBZ	20.00						
14	attrezzature idrauliche	Uniforme_GLOBZ	3.00						
15	Peso Proprio	Peso Proprio kN	4.90						
15	accidentali	Uniforme_GLOBZ	20.00						
15	attrezzature idrauliche	Uniforme_GLOBZ	3.00						

**POTENZIAMENTO DELL'IMPIANTO DEPURATIVO E DEL
RECAPITO FINALE DEL COMUNE DI SQUINZANO (LE)
PROGETTO DEFINITIVO**

Tabulati di calcolo strutturale- Pre-Ispessitore dinamico

R.37.1

Maggio 2021

Pagina 19 di 81

She ll	Cond.	Tipo	Q	Vert.1	Vert.2	Vert.3	Vert.4	Hw	γ
16	Peso Proprio	Peso Proprio kN	38.50						
16	accidentali	Uniforme_GLOBZ	20.00						
16	attrezzature idrauliche	Uniforme_GLOBZ	3.00						
17	Peso Proprio	Peso Proprio kN	4.40						
17	accidentali	Uniforme_GLOBZ	20.00						
17	attrezzature idrauliche	Uniforme_GLOBZ	3.00						
18	Peso Proprio	Peso Proprio kN	58.30						
18	Apparecchiatur e	Uniforme_GLOBZ	30.00						
18	accidentali	Uniforme_GLOBZ	20.00						
18	attrezzature idrauliche	Uniforme_GLOBZ	3.00						
19	Peso Proprio	Peso Proprio kN	3.85						
19	accidentali	Uniforme_GLOBZ	20.00						
19	attrezzature idrauliche	Uniforme_GLOBZ	3.00						
20	Peso Proprio	Peso Proprio kN	43.75						
20	accidentali	Uniforme_GLOBZ	20.00						
20	attrezzature idrauliche	Uniforme_GLOBZ	3.00						
21	Peso Proprio	Peso Proprio kN	5.00						
21	accidentali	Uniforme_GLOBZ	20.00						
21	attrezzature idrauliche	Uniforme_GLOBZ	3.00						
22	Peso Proprio	Peso Proprio kN	66.25						
22	Apparecchiatur e	Uniforme_GLOBZ	30.00						
22	attrezzature idrauliche	Uniforme_GLOBZ	3.00						
23	Peso Proprio	Peso Proprio kN	2.71						
23	accidentali	Uniforme_GLOBZ	20.00						
23	attrezzature idrauliche	Uniforme_GLOBZ	3.00						
24	Peso Proprio	Peso Proprio kN	91.43						
24	attrezzature idrauliche	Uniforme_GLOBZ	3.00						
25	Peso Proprio	Peso Proprio kN	60.38						
25	accidentali	Uniforme_GLOBZ	20.00						
25	attrezzature idrauliche	Uniforme_GLOBZ	3.00						
26	Peso Proprio	Peso Proprio kN	6.90						
26	accidentali	Uniforme_GLOBZ	20.00						
26	attrezzature idrauliche	Uniforme_GLOBZ	3.00						
27	Peso Proprio	Peso Proprio kN	36.22						
27	accidentali	Uniforme_GLOBZ	20.00						
27	attrezzature idrauliche	Uniforme_GLOBZ	3.00						
28	Peso Proprio	Peso Proprio kN	4.38						
28	accidentali	Uniforme_GLOBZ	20.00						
28	attrezzature idrauliche	Uniforme_GLOBZ	3.00						
29	Peso Proprio	Peso Proprio kN	3.10						
29	accidentali	Uniforme_GLOBZ	20.00						
29	attrezzature idrauliche	Uniforme_GLOBZ	3.00						
30	Peso Proprio	Peso Proprio kN	41.08						
30	Apparecchiatur e	Uniforme_GLOBZ	30.00						
30	attrezzature idrauliche	Uniforme_GLOBZ	3.00						
31	Peso Proprio	Peso Proprio kN	27.13						
31	accidentali	Uniforme_GLOBZ	20.00						
31	attrezzature idrauliche	Uniforme_GLOBZ	3.00						
32	Peso Proprio	Peso Proprio kN	6.04						
32	accidentali	Uniforme_GLOBZ	20.00						
32	attrezzature idrauliche	Uniforme_GLOBZ	3.00						
33	Peso Proprio	Peso Proprio kN	66.25						
33	accidentali	Uniforme_GLOBZ	20.00						
33	attrezzature idrauliche	Uniforme_GLOBZ	3.00						
34	Peso Proprio	Peso Proprio kN	26.25						

**POTENZIAMENTO DELL'IMPIANTO DEPURATIVO E DEL
RECAPITO FINALE DEL COMUNE DI SQUINZANO (LE)
PROGETTO DEFINITIVO**

Tabulati di calcolo strutturale- Pre-Ispessitore dinamico

R.37.1

Maggio 2021

Pagina 20 di 81

She 11	Cond.	Tipo	Q	Vert.1	Vert.2	Vert.3	Vert.4	Hw	γ
34	accidentali	Uniforme_GLOBZ	20.00						
34	attrezzature idrauliche	Uniforme_GLOBZ	3.00						
35	Peso Proprio	Peso Proprio kN	43.75						
35	accidentali	Uniforme_GLOBZ	20.00						
35	attrezzature idrauliche	Uniforme_GLOBZ	3.00						
36	Peso Proprio	Peso Proprio kN	5.00						
36	accidentali	Uniforme_GLOBZ	20.00						
36	attrezzature idrauliche	Uniforme_GLOBZ	3.00						
37	Peso Proprio	Peso Proprio kN	4.38						
37	accidentali	Uniforme_GLOBZ	20.00						
37	attrezzature idrauliche	Uniforme_GLOBZ	3.00						
38	Peso Proprio	Peso Proprio kN	43.06						
38	accidentali	Uniforme_GLOBZ	20.00						
38	attrezzature idrauliche	Uniforme_GLOBZ	3.00						
39	Peso Proprio	Peso Proprio kN	3.25						
39	accidentali	Uniforme_GLOBZ	20.00						
39	attrezzature idrauliche	Uniforme_GLOBZ	3.00						
40	Peso Proprio	Peso Proprio kN	2.84						
40	accidentali	Uniforme_GLOBZ	20.00						
40	attrezzature idrauliche	Uniforme_GLOBZ	3.00						
41	Peso Proprio	Peso Proprio kN	17.06						
41	accidentali	Uniforme_GLOBZ	20.00						
41	attrezzature idrauliche	Uniforme_GLOBZ	3.00						
42	Peso Proprio	Peso Proprio kN	28.44						
42	accidentali	Uniforme_GLOBZ	20.00						
42	attrezzature idrauliche	Uniforme_GLOBZ	3.00						
43	Peso Proprio	Peso Proprio kN	2.84						
43	accidentali	Uniforme_GLOBZ	20.00						
43	attrezzature idrauliche	Uniforme_GLOBZ	3.00						
44	Peso Proprio	Peso Proprio kN	4.37						
44	accidentali	Uniforme_GLOBZ	20.00						
44	attrezzature idrauliche	Uniforme_GLOBZ	3.00						
45	Peso Proprio	Peso Proprio kN	6.04						
45	accidentali	Uniforme_GLOBZ	20.00						
45	attrezzature idrauliche	Uniforme_GLOBZ	3.00						
46	Peso Proprio	Peso Proprio kN	2.71						
46	accidentali	Uniforme_GLOBZ	20.00						
46	attrezzature idrauliche	Uniforme_GLOBZ	3.00						
47	Peso Proprio	Peso Proprio kN	4.37						
47	accidentali	Uniforme_GLOBZ	20.00						
47	attrezzature idrauliche	Uniforme_GLOBZ	3.00						
48	Peso Proprio	Peso Proprio kN	3.85						
48	accidentali	Uniforme_GLOBZ	20.00						
48	attrezzature idrauliche	Uniforme_GLOBZ	3.00						
49	Peso Proprio	Peso Proprio kN	4.90						
49	accidentali	Uniforme_GLOBZ	20.00						
49	attrezzature idrauliche	Uniforme_GLOBZ	3.00						
50	Peso Proprio	Peso Proprio kN	4.37						
50	accidentali	Uniforme_GLOBZ	20.00						
50	attrezzature idrauliche	Uniforme_GLOBZ	3.00						
51	Peso Proprio	Peso Proprio kN	1.53						
51	accidentali	Uniforme_GLOBZ	20.00						
51	attrezzature idrauliche	Uniforme_GLOBZ	3.00						
52	Peso Proprio	Peso Proprio kN	48.00						
53	Peso Proprio	Peso Proprio kN	17.00						
54	Peso Proprio	Peso Proprio kN	20.40						
55	Peso Proprio	Peso Proprio kN	20.40						
56	Peso Proprio	Peso Proprio kN	17.00						


	POTENZIAMENTO DELL'IMPIANTO DEPURATIVO E DEL RECAPITO FINALE DEL COMUNE DI SQUINZANO (LE) PROGETTO DEFINITIVO <u>Tabulati di calcolo strutturale- Pre-Ispessitore dinamico</u>	R.37.1
		Maggio 2021
		Pagina 21 di 81

Tabella solai tipo

Sol.N°	Descrizione	Spessore	QP	QF	QVar.	ψ0	ψ1	ψ2	Luce netta	Def	%QX	%QY
		mm	kN/m^2	kN/m^2	kN/m^2							
1	Coperture Acciaio	60	0.30	0.00	0.00	0.00	0.00	0.00	No	No	100	0

Dati solai

Solaio n°	Nodi	Tipo
1	189-188-192-193	Coperture Acciaio
1	190-189-193-194	Coperture Acciaio
1	191-190-194-195	Coperture Acciaio
1	117-107-108-118	Coperture Acciaio
1	285-282-283-286	Coperture Acciaio
1	282-204-0-0-274-283	Coperture Acciaio
1	0-191-195-0	Coperture Acciaio
1	101-117-118-122-192-188	Coperture Acciaio
2	195-194-198-199	Coperture Acciaio
2	194-193-197-198	Coperture Acciaio
2	286-283-284-287	Coperture Acciaio
2	193-192-196-197	Coperture Acciaio
2	118-108-109-119	Coperture Acciaio
2	122-118-119-103-196-192	Coperture Acciaio
2	283-274-0-200-206-284	Coperture Acciaio
2	0-195-199-200	Coperture Acciaio

Risultati Analisi Dinamica - Baricentri masse e masse

Scenario di calcolo: **ScenarioNT_ 2018 A2_SLV_SLD_STR_GEO**

Piano	Rigido	Massa	X	Y	Z
		kN	mm	mm	mm
0	No	0.00	0	0	0
1	Si	11.13	5642	-236	5000
2	Si	11.11	5642	7539	5550

Piano	Rigido	Massa	X	Y	Z
		kN	mm	mm	mm
0	No	0.00	0	0	0
1	Si	11.13	6207	-206	5000
2	Si	11.11	6207	7579	5550

Piano	Rigido	Massa	X	Y	Z
		kN	mm	mm	mm
0	No	0.00	0	0	0
1	Si	11.13	5642	-176	5000
2	Si	11.11	5642	7619	5550

Piano	Rigido	Massa	X	Y	Z
		kN	mm	mm	mm
0	No	0.00	0	0	0
1	Si	11.13	5077	-206	5000
2	Si	11.11	5077	7579	5550

Verifica Degli Spostamenti Relativi

Scenario di calcolo: **ScenarioNT_ 2018 A2_SLV_SLD_STR_GEO**

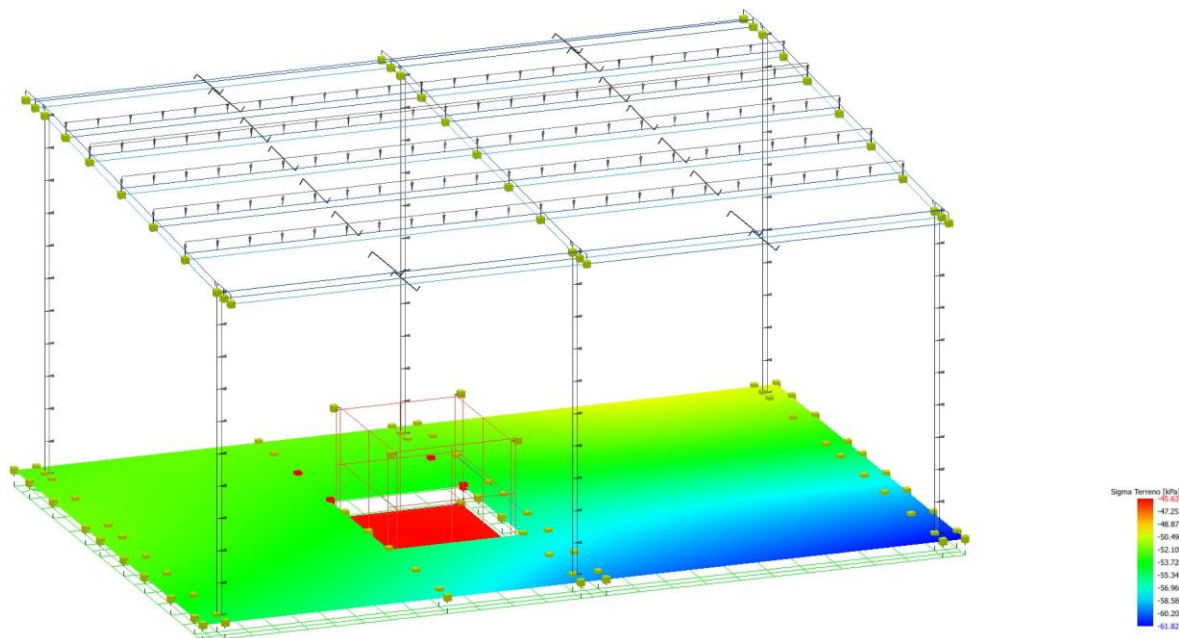
Interp	Comb.	ηXv	ηXh	ηYv	ηYh	Nodo1	Nodo2	η	ηAmm	Cs
		mm	mm	mm	mm			mm	mm	
0-1	(10+11)-I-3	0.1	4.4	0.1	0.3	1	101	4.5	25.0	5.6
0-1	(10+11)-I-3	0.0	4.4	0.0	0.4	2	122	4.4	25.0	5.6
0-1	(10+11)-I-3	0.0	4.4	0.1	0.5	3	103	4.4	25.0	5.6
0-2	(10+11)-V-4	0.1	5.3	0.3	0.5	4	204	5.5	27.8	5.1
0-2	(10+11)-V-4	0.1	5.3	0.2	0.4	5	274	5.4	27.8	5.1
0-2	(10+11)-V-4	0.0	5.3	0.1	0.3	6	206	5.3	27.8	5.2
Minimo										

Interp.	Comb.	η_{Xv}	η_{Xh}	η_{Yv}	η_{Yh}	Nodo1	Nodo2	η	η_{Amm}	Cs
0-2	(10+11)-V-4	0.1	5.3	0.3	0.5	4	204	5.5	27.8	5.1


Risultati Analisi Dinamica - Sollecitazioni massime per combinazione - Sigma terreno platea
Scenario di calcolo: ScenarioNT_ 2018 A2_SLV_SLD_STR_GEO

Combinazione	Muro	Nodi	SigmaMax kPa	SigmaMin kPa
2	51	15-3-24-16	61.8	45.6
3	51	15-3-24-16	61.5	45.6
4-I-1	52	0-0-0-0	46.1	21.8
4-II-1	52	0-0-0-0	46.1	21.8
4-I-2	52	0-0-0-0	46.1	21.8
4-II-2	52	0-0-0-0	46.1	21.8
4-I-3	52	0-0-0-0	46.1	21.8
4-II-3	52	0-0-0-0	46.1	21.8
4-I-4	52	0-0-0-0	46.1	21.8
4-II-4	52	0-0-0-0	46.1	21.8
5-I-1	52	0-0-0-0	43.5	24.5
5-II-1	52	0-0-0-0	43.5	24.5
5-I-2	52	0-0-0-0	43.5	24.5
5-II-2	52	0-0-0-0	43.5	24.5
5-I-3	52	0-0-0-0	43.5	24.5
5-II-3	52	0-0-0-0	43.5	24.5
5-I-4	52	0-0-0-0	43.5	24.5
5-II-4	52	0-0-0-0	43.5	24.5
Assoluti				
2	51	15-3-24-16	61.8	
4-I-3	52	0-0-0-0		21.8

Tipo diagramma: Tensioni medie terreno
Combinazione corrente : Scenario ScenarioNT_ 2018 A2_SLV_SLD_STR_GEO - C 2
Tensioni medie terreno aste
Tensioni medie terreno platee



Risultati Analisi Dinamica - Spostamenti massimi - Nodi
Scenario di calcolo: ScenarioNT_ 2018 A2_SLV_SLD_STR_GEO

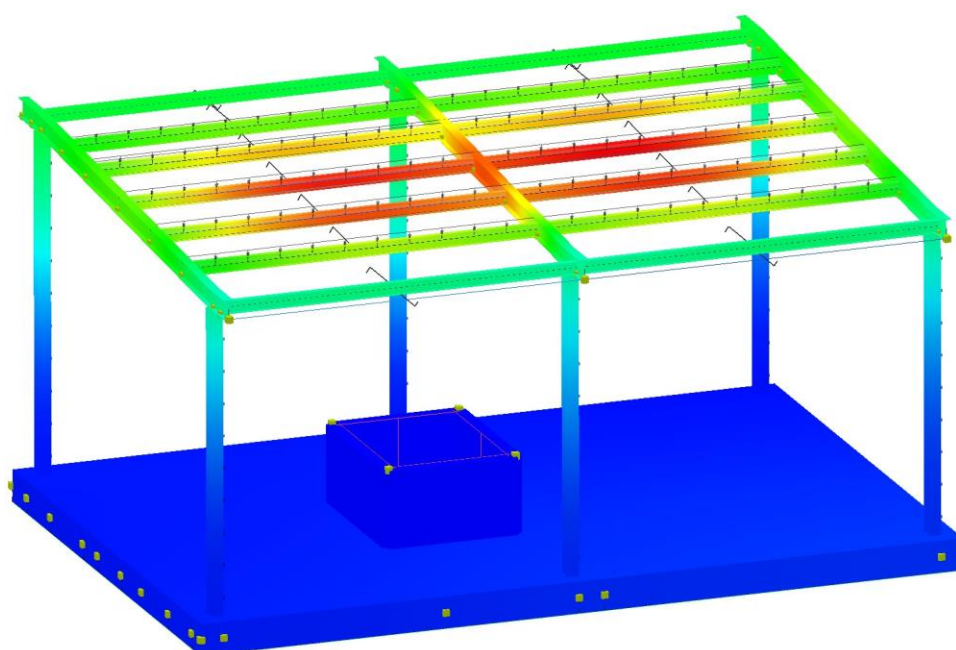
	POTENZIAMENTO DELL'IMPIANTO DEPURATIVO E DEL RECAPITO FINALE DEL COMUNE DI SQUINZANO (LE) PROGETTO DEFINITIVO <u>Tabulati di calcolo strutturale- Pre-Ispessitore dinamico</u>	R.37.1
		Maggio 2021
		Pagina 23 di 81

la tripletta (Cb [-SubC-Cbm]) indica la Combinazione - SottoCombinazione sismica - Posizione Masse, nel caso non sismico mancano SubC-Cbm

Nodo	Trasl. X	Trasl. Y	Trasl. Z	Rotaz. X	Rotaz. Y	Rotaz. Z
	mm	mm	mm	°	°	°
0	24.4 (4-I-3)	4.0 (5-I-3)	-7.4 (2)	0.3 (2)	0.0 (1)	0.0 (3)
0	0.0 (1)	0.0 (1)	-2.3 (4-I-3)	-0.0 (5-II-4)	-0.0 (4-I-3)	0.0 (1)
0	0.0 (1)	0.0 (1)	-2.3 (4-II-3)	-0.0 (5-II-4)	0.0 (4-II-3)	0.0 (1)
0	0.0 (1)	0.0 (1)	-2.3 (4-II-3)	0.0 (5-I-4)	0.0 (4-II-3)	0.0 (1)
0	0.0 (1)	0.0 (1)	-2.3 (4-I-3)	0.0 (5-I-4)	-0.0 (4-I-3)	0.0 (1)
0	-24.4 (4-II-3)	4.2 (5-I-4)	-4.7 (2)	0.1 (2)	0.1 (2)	0.0 (3)
1	0.0 (1)	0.0 (1)	-2.7 (2)	0.0 (2)	0.0 (1)	0.0 (1)
2	0.0 (1)	0.0 (1)	-3.0 (2)	0.0 (2)	0.0 (1)	0.0 (1)
3	0.0 (1)	0.0 (1)	-3.1 (2)	0.0 (2)	0.0 (1)	0.0 (1)
4	0.0 (1)	0.0 (1)	-2.6 (2)	0.0 (5-II-4)	0.0 (1)	0.0 (1)
5	0.0 (1)	0.0 (1)	-2.6 (2)	0.0 (1)	0.0 (1)	0.0 (1)
6	0.0 (1)	0.0 (1)	-2.5 (2)	0.0 (1)	0.0 (1)	0.0 (1)
10	0.0 (1)	0.0 (1)	-2.7 (2)	0.0 (2)	0.0 (1)	0.0 (1)
11	0.0 (1)	0.0 (1)	-2.7 (2)	0.0 (2)	0.0 (1)	0.0 (1)
12	0.0 (1)	0.0 (1)	-2.9 (2)	0.0 (2)	0.0 (1)	0.0 (1)
13	0.0 (1)	0.0 (1)	-3.0 (2)	0.0 (2)	0.0 (1)	0.0 (1)
14	0.0 (1)	0.0 (1)	-3.0 (2)	0.0 (2)	0.0 (1)	0.0 (1)
15	0.0 (1)	0.0 (1)	-3.1 (2)	0.0 (2)	0.0 (1)	0.0 (1)
16	0.0 (1)	0.0 (1)	-3.1 (2)	0.0 (2)	0.0 (1)	0.0 (1)
20	0.0 (1)	0.0 (1)	-2.7 (2)	0.0 (2)	0.0 (1)	0.0 (1)
21	0.0 (1)	0.0 (1)	-2.8 (2)	0.0 (2)	0.0 (1)	0.0 (1)
23	0.0 (1)	0.0 (1)	-3.0 (2)	0.0 (2)	0.0 (1)	0.0 (1)
24	0.0 (1)	0.0 (1)	-3.1 (2)	0.0 (2)	0.0 (1)	0.0 (1)
25	0.0 (1)	0.0 (1)	-2.7 (2)	0.0 (2)	0.0 (1)	0.0 (1)
26	0.0 (1)	0.0 (1)	-2.7 (2)	0.0 (2)	0.0 (1)	0.0 (1)
27	0.0 (1)	0.0 (1)	-2.8 (2)	0.0 (2)	0.0 (1)	0.0 (1)
28	0.0 (1)	0.0 (1)	-2.9 (2)	0.0 (2)	0.0 (1)	0.0 (1)
29	0.0 (1)	0.0 (1)	-2.9 (2)	0.0 (2)	0.0 (1)	0.0 (1)
30	0.0 (1)	0.0 (1)	-3.0 (2)	0.0 (2)	0.0 (1)	0.0 (1)
31	0.0 (1)	0.0 (1)	-3.0 (2)	0.0 (2)	0.0 (1)	0.0 (1)
32	0.0 (1)	0.0 (1)	-2.6 (2)	0.0 (2)	0.0 (1)	0.0 (1)
33	0.0 (1)	0.0 (1)	-2.6 (2)	0.0 (2)	0.0 (1)	0.0 (1)
34	0.0 (1)	0.0 (1)	-2.7 (2)	0.0 (2)	0.0 (1)	0.0 (1)
35	0.0 (1)	0.0 (1)	-2.8 (2)	0.0 (2)	0.0 (1)	0.0 (1)
36	0.0 (1)	0.0 (1)	-2.9 (2)	0.0 (2)	0.0 (1)	0.0 (1)
37	0.0 (1)	0.0 (1)	-2.9 (2)	0.0 (2)	0.0 (1)	0.0 (1)
38	0.0 (1)	0.0 (1)	-2.9 (2)	0.0 (2)	0.0 (1)	0.0 (1)
39	0.0 (1)	0.0 (1)	-2.6 (2)	0.0 (2)	0.0 (1)	0.0 (1)
40	0.0 (1)	0.0 (1)	-2.6 (2)	0.0 (2)	0.0 (1)	0.0 (1)
41	0.0 (1)	0.0 (1)	-2.7 (2)	0.0 (2)	0.0 (1)	0.0 (1)
42	0.0 (1)	0.0 (1)	-2.8 (2)	0.0 (2)	0.0 (1)	0.0 (1)
43	0.0 (1)	0.0 (1)	-2.8 (2)	0.0 (2)	0.0 (1)	0.0 (1)
44	0.0 (1)	0.0 (1)	-2.9 (2)	0.0 (2)	0.0 (1)	0.0 (1)
45	0.0 (1)	0.0 (1)	-2.9 (2)	0.0 (2)	0.0 (1)	0.0 (1)
46	0.0 (1)	0.0 (1)	-2.6 (2)	0.0 (5-II-4)	0.0 (1)	0.0 (1)
47	0.0 (1)	0.0 (1)	-2.6 (2)	0.0 (5-II-4)	0.0 (1)	0.0 (1)
48	0.0 (1)	0.0 (1)	-2.7 (2)	0.0 (5-II-4)	0.0 (1)	0.0 (1)
49	0.0 (1)	0.0 (1)	-2.7 (2)	0.0 (3)	0.0 (1)	0.0 (1)
50	0.0 (1)	0.0 (1)	-2.8 (2)	0.0 (3)	0.0 (1)	0.0 (1)
51	0.0 (1)	0.0 (1)	-2.8 (2)	0.0 (3)	0.0 (1)	0.0 (1)
52	0.0 (1)	0.0 (1)	-2.8 (2)	0.0 (3)	0.0 (1)	0.0 (1)
53	0.0 (1)	0.0 (1)	-2.6 (2)	0.0 (5-II-4)	0.0 (1)	0.0 (1)
54	0.0 (1)	0.0 (1)	-2.6 (2)	0.0 (5-II-4)	0.0 (1)	0.0 (1)
55	0.0 (1)	0.0 (1)	-2.7 (2)	0.0 (5-II-4)	0.0 (1)	0.0 (1)
56	0.0 (1)	0.0 (1)	-2.7 (2)	0.0 (3)	0.0 (1)	0.0 (1)
57	0.0 (1)	0.0 (1)	-2.7 (2)	0.0 (3)	0.0 (1)	0.0 (1)
58	0.0 (1)	0.0 (1)	-2.7 (2)	0.0 (3)	0.0 (1)	0.0 (1)
59	0.0 (1)	0.0 (1)	-2.7 (2)	0.0 (3)	0.0 (1)	0.0 (1)
60	0.0 (1)	0.0 (1)	-2.6 (2)	0.0 (5-II-4)	0.0 (1)	0.0 (1)
61	0.0 (1)	0.0 (1)	-2.6 (2)	0.0 (5-II-4)	0.0 (1)	0.0 (1)
62	0.0 (1)	0.0 (1)	-2.6 (2)	0.0 (5-II-4)	0.0 (1)	0.0 (1)
63	0.0 (1)	0.0 (1)	-2.6 (2)	0.0 (1)	0.0 (1)	0.0 (1)
64	0.0 (1)	0.0 (1)	-2.6 (2)	0.0 (1)	0.0 (1)	0.0 (1)
65	0.0 (1)	0.0 (1)	-2.6 (2)	0.0 (3)	0.0 (1)	0.0 (1)
66	0.0 (1)	0.0 (1)	-2.6 (2)	0.0 (3)	0.0 (1)	0.0 (1)
67	0.0 (1)	0.0 (1)	-2.6 (2)	0.0 (5-II-4)	0.0 (1)	0.0 (1)
68	0.0 (1)	0.0 (1)	-2.6 (2)	0.0 (5-II-4)	0.0 (1)	0.0 (1)
69	0.0 (1)	0.0 (1)	-2.6 (2)	0.0 (5-II-4)	0.0 (1)	0.0 (1)
70	0.0 (1)	0.0 (1)	-2.6 (2)	0.0 (1)	0.0 (1)	0.0 (1)
71	0.0 (1)	0.0 (1)	-2.6 (2)	0.0 (1)	0.0 (1)	0.0 (1)
72	0.0 (1)	0.0 (1)	-2.5 (2)	0.0 (1)	0.0 (1)	0.0 (1)
73	0.0 (1)	0.0 (1)	-2.5 (2)	0.0 (1)	0.0 (1)	0.0 (1)
75	0.0 (1)	0.0 (1)	-2.6 (2)	0.0 (5-II-4)	0.0 (1)	0.0 (1)

Nodo	Trasl. X	Trasl. Y	Trasl. Z	Rotaz. X	Rotaz. Y	Rotaz. Z
76	0.0(1)	0.0(1)	-2.6(2)	0.0(5-II-4)	0.0(1)	0.0(1)
77	0.0(1)	0.0(1)	-2.6(2)	0.0(5-II-4)	0.0(1)	0.0(1)
78	0.0(1)	0.0(1)	-2.6(2)	0.0(1)	0.0(1)	0.0(1)
79	0.0(1)	0.0(1)	-2.6(2)	0.0(1)	0.0(1)	0.0(1)
80	0.0(1)	0.0(1)	-2.5(2)	0.0(1)	0.0(1)	0.0(1)
81	0.0(1)	0.0(1)	-2.5(2)	0.0(1)	0.0(1)	0.0(1)
88	1.0(4-II-3)	0.7(5-II-4)	-2.3(4-II-3)	-0.0(5-II-4)	0.0(4-II-3)	0.0(5-I-3)
89	-1.0(4-II-3)	0.7(5-II-4)	-2.3(4-I-3)	-0.0(5-II-4)	-0.0(4-I-3)	-0.0(5-II-4)
90	1.0(4-II-3)	-0.7(5-I-4)	-2.3(4-II-3)	0.0(5-I-4)	0.0(4-II-3)	-0.0(5-II-3)
91	-1.0(4-I-3)	-0.7(5-I-4)	-2.3(4-I-3)	0.0(5-I-4)	-0.0(4-I-3)	0.0(5-II-3)
101	19.5(4-I-1)	3.8(5-I-4)	-2.8(2)	-0.1(2)	0.3(4-I-1)	0.0(4-II-3)
103	-19.4(4-II-3)	-3.8(5-II-2)	-3.1(2)	-0.1(2)	-0.3(4-II-1)	-0.0(4-I-3)
107	20.2(4-I-1)	3.8(5-I-4)	-1.8(5-II-4)	-0.1(2)	0.1(2)	-0.0(4-I-3)
108	20.2(4-I-1)	3.6(5-I-3)	-1.7(5-II-1)	-0.2(2)	0.0(1)	-0.0(4-I-3)
109	20.2(4-I-1)	-3.8(5-II-2)	-2.0(5-II-2)	-0.1(2)	-0.1(2)	-0.0(4-I-3)
117	20.2(4-I-1)	3.8(5-I-4)	-2.2(2)	-0.1(2)	0.1(2)	-0.0(4-I-3)
118	20.2(4-I-1)	3.6(5-I-3)	-2.0(2)	-0.2(2)	0.0(1)	-0.0(4-I-3)
119	20.2(4-I-1)	-3.8(5-II-2)	-2.5(2)	-0.1(2)	-0.1(2)	-0.0(4-I-3)
122	19.4(4-I-1)	3.6(5-I-3)	-3.2(2)	-0.2(2)	-0.3(4-II-1)	-0.0(4-I-3)
188	-21.8(4-II-1)	4.0(5-I-4)	-5.9(2)	-0.1(2)	0.2(2)	0.1(4-II-3)
189	-23.3(4-II-1)	4.1(5-I-4)	-8.2(2)	-0.1(2)	0.2(2)	0.1(4-II-3)
190	-24.2(4-II-1)	4.2(5-I-4)	-8.5(2)	0.0(2)	0.2(2)	0.0(2)
191	-24.5(4-II-3)	4.2(5-I-4)	-6.9(2)	0.1(2)	0.2(2)	0.0(2)
192	21.8(4-I-1)	3.7(5-I-3)	-10.0(2)	-0.3(2)	0.0(2)	-0.1(4-I-3)
193	23.2(4-I-1)	3.9(5-I-3)	-15.4(2)	-0.1(2)	0.0(2)	-0.1(4-I-3)
194	24.2(4-I-1)	4.1(5-I-3)	-16.3(2)	0.1(2)	0.0(2)	-0.0(4-I-3)
195	24.5(4-I-3)	4.1(5-I-3)	-12.4(2)	0.2(2)	0.0(2)	0.0(2)
196	21.8(4-I-1)	3.9(5-I-2)	-6.3(2)	-0.1(2)	-0.2(2)	-0.1(4-I-3)
197	23.4(4-I-1)	4.0(5-I-2)	-8.5(2)	-0.1(2)	-0.2(2)	-0.1(4-I-3)
198	24.3(4-I-1)	4.1(5-I-2)	-8.7(2)	0.0(2)	-0.3(2)	-0.0(4-I-3)
199	24.6(4-I-3)	4.1(5-I-2)	-6.9(2)	0.1(2)	-0.2(2)	-0.0(4-I-3)
200	24.5(4-I-3)	4.0(5-I-2)	-4.7(2)	0.1(2)	-0.1(2)	-0.0(4-II-1)
204	23.7(4-I-3)	4.1(5-I-4)	-2.7(2)	0.1(2)	0.4(4-I-3)	-0.0(4-II-1)
206	23.6(4-I-3)	3.9(5-I-2)	-2.6(2)	0.1(2)	-0.4(4-II-3)	0.0(4-I-1)
274	23.6(4-I-3)	3.8(5-I-3)	-2.9(2)	0.2(2)	0.4(4-I-3)	-0.0(4-II-1)
282	24.5(4-I-3)	4.1(5-I-4)	-2.0(2)	0.1(2)	0.1(2)	-0.0(4-I-3)
283	24.5(4-I-3)	3.8(5-I-3)	-1.5(5-I-3)	0.2(2)	0.0(1)	-0.0(4-I-3)
284	24.5(4-I-3)	3.9(5-I-2)	-1.9(2)	0.1(2)	-0.1(2)	-0.0(4-I-3)
285	24.6(4-I-3)	4.1(5-I-4)	-1.6(5-I-4)	0.1(2)	0.1(2)	-0.0(4-I-3)
286	24.6(4-I-3)	3.8(5-I-3)	-1.2(5-I-3)	0.2(2)	0.0(1)	-0.0(4-I-3)
287	24.6(4-I-3)	3.9(5-I-2)	-1.5(5-I-2)	0.1(2)	-0.1(2)	-0.0(4-I-3)

Tipo diagramma: Deformata
Combinazione corrente : Scenario ScenarioNT_2018 A2_SLV_SLD_STR_GEO - C 3



POTENZIAMENTO DELL'IMPIANTO DEPURATIVO E DEL RECAPITO FINALE DEL COMUNE DI SQUINZANO (LE) PROGETTO DEFINITIVO

Tabulati di calcolo strutturale- Pre-Ispessitore dinamico

R.37.1

Maggio 2021

Pagina 25 di 81

Risultati Analisi Dinamica - Reazioni massime - Nodi
Scenario di calcolo: ScenarioNT_ 2018 A2_SLV_SLD_STR_GEO

Nodo	Rx kN	Ry kN	Rz kN	Mx kN*m	My kN*m	Mz kN*m
0	-3.20 (4-II-3)	1.49 (5-II-3)	0	0	0	-0.62 (4-II-4)
0	-3.20 (4-II-4)	-1.49 (5-II-4)	0	0	0	0.62 (4-II-4)
0	3.20 (4-I-4)	-1.49 (5-I-1)	0	0	0	-0.62 (4-I-4)
0	3.20 (4-I-3)	1.49 (5-I-4)	0	0	0	0.62 (4-I-3)
1	21.87 (4-II-1)	25.57 (5-II-4)	0	0	0	0.75 (4-I-1)
2	-24.86 (4-I-1)	42.15 (2)	0	0	0	-1.09 (3)
3	-21.43 (4-I-1)	24.62 (5-II-2)	0	0	0	-0.74 (5-II-2)
4	21.12 (4-II-4)	-29.56 (2)	0	0	0	-0.43 (2)
5	21.16 (4-II-3)	-51.02 (2)	0	0	0	0.73 (2)
6	-21.36 (4-I-2)	-32.33 (2)	0	0	0	0.63 (2)
10	-0.06 (2)	-0.06 (2)	0	0	0	0
11	1.29 (2)	-0.18 (5-II-4)	0	0	0	-0.03 (5-II-4)
12	-4.26 (2)	-0.11 (1)	0	0	0	0.03 (1)
13	-3.06 (2)	-0.48 (2)	0	0	0	0.10 (2)
14	3.75 (1)	-0.14 (5-I-4)	0	0	0	0.03 (1)
15	-1.55 (2)	-0.32 (5-II-2)	0	0	0	0.05 (5-II-2)
16	0.08 (2)	-0.07 (2)	0	0	0	0
20	0.19 (4-I-1)	1.30 (2)	0	0	0	0.04 (4-II-4)
21	-9.06 (2)	1.52 (2)	0	0	0	0.36 (2)
23	7.14 (2)	2.37 (2)	0	0	0	-0.14 (2)
24	0.26 (4-I-1)	0.82 (4-I-1)	0	0	0	-0.04 (4-I-2)
25	0.20 (4-II-1)	1.41 (2)	0	0	0	0.04 (4-II-1)
26	2.58 (2)	3.30 (2)	0	0	0	0.13 (2)
27	-9.44 (2)	3.88 (2)	0	0	0	0.25 (1)
28	-10.56 (1)	-3.86 (1)	0	0	0	0.53 (1)
29	-5.31 (1)	-8.83 (1)	0	0	0	-0.18 (1)
30	1.69 (1)	-10.52 (1)	0	0	0	0.53 (1)
31	0.36 (1)	-1.79 (1)	0	0	0	0.06 (4-II-1)
32	0.04 (1)	-1.02 (4-I-3)	0	0	0	0.01 (2)
33	1.44 (2)	-1.38 (5-II-3)	0	0	0	0.09 (2)
34	-15.61 (1)	8.57 (2)	0	0	0	0.71 (1)
35	-21.63 (1)	-16.94 (1)	0	0	0	-0.64 (1)
36	-12.28 (1)	-23.78 (1)	0	0	0	-1.27 (1)
37	5.26 (1)	-17.39 (1)	0	0	0	1.06 (1)
38	0.30 (1)	-3.11 (1)	0	0	0	0.05 (1)
39	0.04 (1)	-1.72 (3)	0	0	0	0.01 (2)
40	0.96 (1)	-2.56 (3)	0	0	0	-0.05 (5-II-4)
41	-1.41 (1)	5.56 (2)	0	0	0	0.05 (5-II-3)
42	-0.94 (1)	-5.59 (1)	0	0	0	0.02 (2)
43	-10.40 (1)	-12.59 (1)	0	0	0	0.66 (2)
44	8.06 (1)	8.50 (2)	0	0	0	-0.39 (2)
45	0.35 (1)	2.79 (2)	0	0	0	0
46	0.07 (2)	-2.22 (2)	0	0	0	0.02 (2)
47	0.80 (1)	-3.37 (2)	0	0	0	-0.04 (5-II-4)
48	-1.73 (1)	-3.38 (1)	0	0	0	0.14 (1)
49	-1.02 (1)	3.70 (1)	0	0	0	0.06 (2)
50	-7.79 (1)	8.87 (2)	0	0	0	1.05 (3)
51	6.62 (1)	13.04 (3)	0	0	0	-0.65 (2)
52	0.39 (1)	3.57 (3)	0	0	0	-0.02 (2)
53	-0.10 (2)	-3.37 (2)	0	0	0	0.03 (2)
54	0.99 (1)	-5.04 (2)	0	0	0	-0.10 (2)
55	-20.82 (1)	-8.55 (1)	0	0	0	0.81 (2)
56	-26.23 (1)	15.41 (1)	0	0	0	1.65 (1)
57	-9.52 (1)	20.32 (1)	0	0	0	1.52 (1)
58	4.48 (1)	18.80 (1)	0	0	0	-1.22 (1)
59	-0.14 (3)	4.04 (1)	0	0	0	-0.06 (1)
60	0.06 (1)	-4.70 (2)	0	0	0	0.07 (2)
61	1.16 (1)	-6.82 (2)	0	0	0	-0.08 (2)
62	-5.58 (2)	0.78 (5-I-4)	0	0	0	-0.49 (1)
63	-12.51 (1)	6.20 (1)	0	0	0	-1.12 (1)
64	11.87 (2)	12.66 (1)	0	0	0	0.33 (1)
65	-4.41 (2)	12.12 (1)	0	0	0	-0.43 (1)
66	0.42 (1)	2.55 (1)	0	0	0	-0.01 (2)
67	0.21 (4-I-3)	-3.19 (2)	0	0	0	0.08 (4-II-3)
68	1.67 (2)	-4.53 (2)	0	0	0	-0.12 (4-I-1)
69	1.98 (4-I-3)	-2.03 (2)	0	0	0	-0.17 (2)
70	2.27 (4-I-3)	-8.03 (2)	0	0	0	0.36 (2)
71	14.56 (2)	-7.84 (2)	0	0	0	-0.22 (2)
72	-3.82 (2)	-7.47 (2)	0	0	0	0.27 (2)
73	0.20 (1)	-2.53 (4-I-3)	0	0	0	0.15 (4-II-3)
75	-0.44 (2)	0.11 (3)	0	0	0	-0.06 (4-II-4)

POTENZIAMENTO DELL'IMPIANTO DEPURATIVO E DEL RECAPITO FINALE DEL COMUNE DI SQUINZANO (LE) PROGETTO DEFINITIVO

Tabulati di calcolo strutturale- Pre-Ispessitore dinamico

R.37.1

Maggio 2021

Pagina 26 di 81

Nodo	Rx	Ry	Rz	Mx	My	Mz
76	2.98(2)	-0.28(2)	0	0	0	0.02(4-II-3)
77	5.18(1)	-0.18(2)	0	0	0	-0.08(2)
78	2.42(1)	0.20(5-I-4)	0	0	0	-0.05(2)
79	14.71(2)	-1.91(2)	0	0	0	0.12(2)
80	-3.23(2)	-0.72(2)	0	0	0	0.05(3)
81	0.31(4-I-1)	-0.15(2)	0	0	0	0.02(4-I-1)

Risultati Analisi Dinamica - Spostamenti massimi - Impalcati

Scenario di calcolo: ScenarioNT_ 2018 A2_SLV_SLD_STR_GEO

la tripletta (Cb [-SubC-Cbm]) indica la Combinazione - SottoCombinazione sismica - Posizione Masse, nel caso non sismico mancano SubC-Cbm

Piano	Trasl. X	Trasl. Y	Trasl. Z	Rotaz. X	Rotaz. Y	Rotaz. Z
	mm	mm	mm	°	°	°
1	20.0(4-II-1)	3.6(5-I-3)	-1.8(2-1)	0.0(1-1)	0.0(1-1)	-0.0(4-II-3)
2	24.3(4-II-3)	3.8(5-I-3)	-1.4(2-1)	0.0(1-1)	0.0(1-1)	-0.0(4-II-3)

Risultati Analisi Dinamica - Spostamenti massimi - Impalcati (SLD)

Scenario di calcolo: ScenarioNT_ 2018 A2_SLV_SLD_STR_GEO

la tripletta (Cb [-SubC-Cbm]) indica la Combinazione - SottoCombinazione sismica - Posizione Masse, nel caso non sismico mancano SubC-Cbm

Piano	Trasl. X	Trasl. Y	Trasl. Z	Rotaz. X	Rotaz. Y	Rotaz. Z
	mm	mm	mm	°	°	°
1	4.5(10-II-1)	1.4(11-I-3)	-1.5(11-II-1)	0.0(6-1)	0.0(6-1)	-0.0(10-II-3)
2	5.5(10-II-3)	1.6(11-I-3)	-1.3(11-I-3)	0.0(6-1)	0.0(6-1)	-0.0(10-II-3)

Risultati Analisi Dinamica - Sollecitazioni massime - Involuppi - Travi

Scenario di calcolo: ScenarioNT_ 2018 A2_SLV_SLD_STR_GEO

Asta	N.in.	N	Ty	Tz	Mt	My	Mz
	N.fin.	kN	kN	kN	kN*m	kN*m	kN*m
113	0	19.27(2)	-0.88(4-II-2)	15.62(2)	-0.11(4-II-3)	-3.81(5-II-4)	-0.25(2)
	204	19.31(2)	-0.88(4-II-2)	16.16(2)	-0.11(4-II-3)	14.33(2)	0.89(4-II-2)
113	101	18.21(2)	0.97(4-II-2)	-13.57(2)	0.08(4-II-1)	8.66(2)	1.02(4-II-3)
	188	18.27(2)	0.97(4-II-2)	-12.82(2)	0.08(4-II-1)	-9.21(2)	-0.30(4-II-1)
113	107	0	4.26(2)	0.69(2)	0	0	0.64(2)
	117	0	4.26(2)	0.85(2)	0	0.23(2)	-0.64(2)
113	117	21.83(2)	0.38(4-I-1)	3.62(2)	-0.25(4-II-1)	-3.04(2)	0.96(4-II-3)
	101	21.83(2)	0.38(4-I-1)	3.84(2)	-0.25(4-II-1)	-1.94(3)	1.03(4-II-2)
113	188	18.51(2)	-0.55(4-I-3)	-7.67(2)	0.01(3)	-9.26(2)	-0.17(4-I-3)
	189	18.56(2)	-0.55(4-I-3)	-6.93(2)	0.01(3)	-19.14(2)	0.59(4-I-1)
113	189	18.67(2)	0.22(4-II-3)	-1.85(5-II-4)	0	-19.19(2)	0.34(4-I-1)
	190	18.73(2)	0.22(4-II-3)	-1.28(5-II-4)	0	-20.34(2)	0.59(4-I-3)
113	190	18.84(2)	0.15(4-I-1)	5.28(2)	0	-20.39(2)	0.49(4-I-1)
	191	18.89(2)	0.15(4-I-1)	6.02(2)	0	-12.74(2)	0.31(4-I-3)
113	191	19.00(2)	0.54(4-I-1)	11.05(2)	-0.02(3)	-12.78(2)	0.33(4-I-4)
	0	19.04(2)	0.54(4-I-1)	11.61(2)	-0.02(3)	-3.74(5-II-4)	-0.23(4-I-4)
113	204	22.05(2)	-0.45(4-I-3)	-3.71(2)	0.26(4-II-3)	-1.90(3)	0.81(4-II-2)
	282	22.05(2)	-0.45(4-I-3)	-3.49(2)	0.26(4-II-3)	-2.98(3)	0.75(4-II-1)
113	282	0	-5.37(2)	-1.09(2)	0	0.39(2)	-1.07(2)
	285	0	-5.37(2)	-0.87(2)	0	0	1.07(2)
114	0	-49.32(2)	-0.81(4-II-1)	42.78(2)	0.10(4-I-3)	-3.67(5-II-3)	-0.08(4-I-3)
	274	-49.28(2)	-0.81(4-II-1)	43.32(2)	0.10(4-I-3)	42.00(2)	-0.87(4-I-1)
114	108	0	0.15(2)	1.39(2)	0	0	0.02(2)
	118	0	0.15(2)	1.55(2)	0	0.44(2)	-0.02(2)
114	118	-43.37(2)	0.18(4-I-1)	11.80(2)	-0.24(4-II-1)	6.95(2)	0.98(4-II-3)
	122	-43.37(2)	0.18(4-I-1)	12.02(2)	-0.24(4-II-1)	11.66(2)	1.02(4-II-1)
114	122	-52.64(2)	1.04(4-II-3)	-37.77(2)	0.07(4-II-1)	34.29(2)	1.02(4-II-3)
	192	-52.59(2)	1.04(4-II-3)	-37.03(2)	0.07(4-II-1)	-16.34(2)	-0.39(4-II-1)
114	192	-51.78(2)	0.77(4-II-3)	-21.09(2)	0	-16.49(2)	0.32(4-II-3)
	193	-51.72(2)	0.77(4-II-3)	-20.35(2)	0	-44.54(2)	-0.74(4-II-3)
114	193	-51.21(2)	0.36(4-II-3)	-3.72(3)	0	-44.69(2)	0.23(4-I-1)
	194	-51.15(2)	0.36(4-II-3)	-2.98(3)	0	-49.12(2)	-0.67(4-II-3)
114	194	-50.65(2)	0.13(5-II-2)	13.71(2)	0	-49.27(2)	0.44(4-I-1)
	195	-50.59(2)	0.13(5-II-2)	14.45(2)	0	-30.21(2)	-0.32(4-II-3)
114	195	-50.12(2)	0.49(4-I-1)	29.40(2)	0	-30.35(2)	0.34(4-I-1)
	0	-50.08(2)	0.49(4-I-1)	29.96(2)	0	-3.52(5-II-3)	-0.17(4-I-1)
114	274	-45.17(2)	-0.30(4-I-3)	-11.50(2)	-0.25(4-I-3)	12.08(2)	-0.79(4-I-1)
	283	-45.17(2)	-0.30(4-I-3)	-11.28(2)	-0.25(4-I-3)	7.53(2)	-0.70(4-I-1)
114	283	0	-0.19(2)	-1.98(2)	0	0.75(2)	-0.04(2)

**POTENZIAMENTO DELL'IMPIANTO DEPURATIVO E DEL
RECAPITO FINALE DEL COMUNE DI SQUINZANO (LE)
PROGETTO DEFINITIVO**

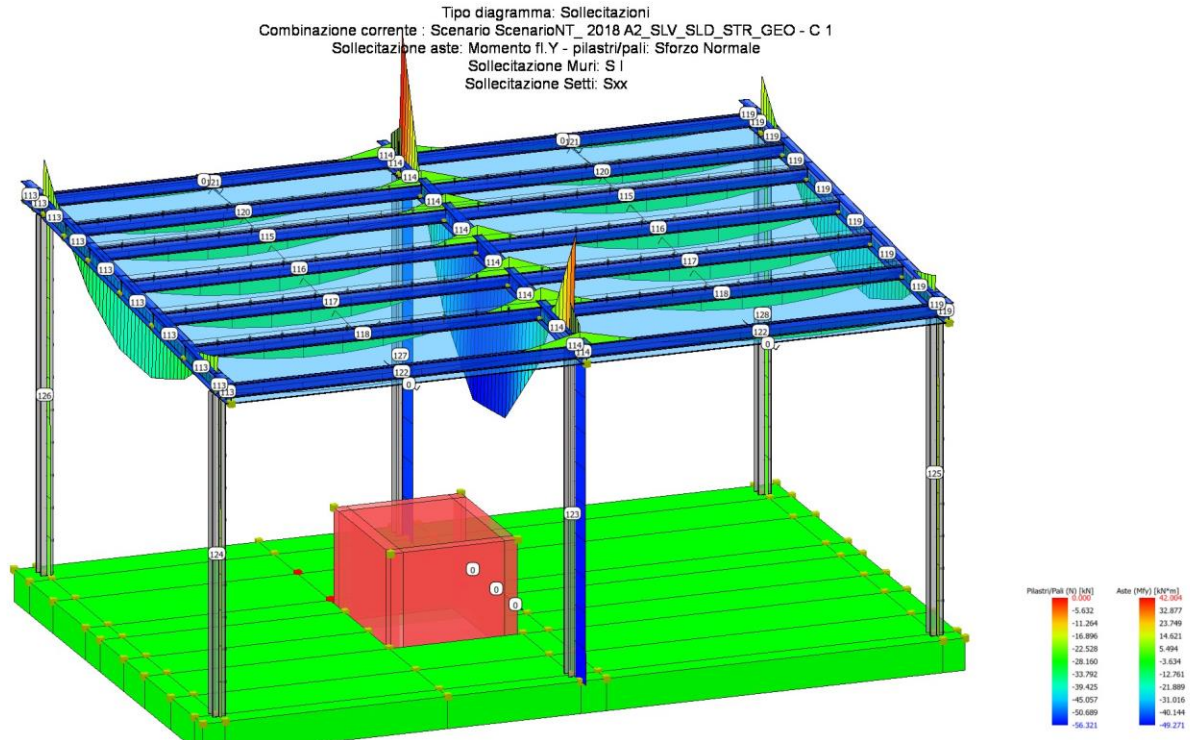
Tabulati di calcolo strutturale- Pre-Ispessitore dinamico

R.37.1

Maggio 2021

Pagina 27 di 81

Asta	N.in.	N	Ty	Tz	Mt	My	Mz
	286	0	-0.19 (2)	-1.76 (2)	0	0	0.04 (2)
115	191	0.30 (2)	0.27 (2)	-5.03 (2)	0	0.05 (4-I-1)	0.16 (2)
	195	0.30 (2)	-0.34 (2)	7.43 (2)	0	6.73 (2)	0.37 (2)
115	195	0.33 (2)	0.30 (2)	-7.52 (2)	0	6.74 (2)	0.24 (2)
	199	0.33 (2)	-0.32 (2)	5.15 (2)	0	0.05 (4-II-1)	0.32 (2)
116	190	-0.05 (4-II-2)	0.31 (2)	-5.75 (2)	0	0.04 (4-I-1)	0.20 (2)
	194	-0.05 (4-II-2)	-0.39 (2)	8.25 (2)	0	7.00 (2)	0.41 (2)
116	194	-0.04 (4-I-4)	0.34 (2)	-8.36 (2)	0	7.01 (2)	0.27 (2)
	198	-0.04 (4-I-4)	-0.37 (2)	5.89 (2)	0	0.04 (4-II-1)	0.37 (2)
117	189	0.10 (2)	0.31 (2)	-5.70 (2)	0	0.03 (4-I-1)	-0.28 (4-II-3)
	193	0.10 (2)	-0.38 (2)	8.29 (2)	0	7.25 (2)	0.41 (2)
117	193	0.11 (2)	0.34 (2)	-8.40 (2)	0	7.26 (2)	-0.27 (4-II-3)
	197	0.11 (2)	-0.37 (2)	5.85 (2)	0	0.03 (4-II-1)	0.37 (2)
118	188	-0.39 (2)	0.14 (2)	-5.16 (2)	0	0.05 (4-II-4)	-0.36 (4-II-3)
	192	-0.45 (2)	-0.21 (2)	7.92 (2)	0	7.77 (2)	0.35 (4-II-3)
118	192	-0.42 (2)	0.16 (2)	-8.03 (2)	0	7.80 (2)	0.34 (4-I-3)
	196	-0.48 (2)	-0.19 (2)	5.28 (2)	0	0.05 (4-I-2)	-0.35 (4-I-3)
119	103	17.94 (2)	-0.96 (4-I-4)	-13.75 (2)	-0.08 (4-I-1)	8.47 (2)	-1.01 (4-I-3)
	196	17.99 (2)	-0.96 (4-I-4)	-13.01 (2)	-0.08 (4-I-1)	-9.64 (2)	0.30 (4-I-1)
119	109	0	-4.41 (2)	0.70 (2)	0	0	-0.66 (2)
	119	0	-4.41 (2)	0.87 (2)	0	0.24 (2)	0.66 (2)
119	119	21.44 (2)	-0.39 (4-II-1)	3.69 (2)	0.25 (4-I-1)	-2.98 (2)	-0.94 (4-I-3)
	103	21.44 (2)	-0.39 (4-II-1)	3.91 (2)	0.25 (4-I-1)	-1.86 (3)	-1.02 (4-I-4)
119	196	18.19 (2)	0.55 (4-II-3)	-7.72 (2)	-0.01 (3)	-9.69 (2)	0.32 (2)
	197	18.25 (2)	0.55 (4-II-3)	-6.98 (2)	-0.01 (3)	-19.65 (2)	-0.59 (4-II-1)
119	197	18.31 (2)	0.28 (2)	-1.85 (5-II-2)	0	-19.69 (2)	-0.34 (4-II-1)
	198	18.36 (2)	0.28 (2)	-1.28 (5-II-2)	0	-20.71 (2)	-0.59 (4-II-3)
119	198	18.43 (2)	0.30 (2)	5.52 (2)	0	-20.76 (2)	-0.49 (4-II-1)
	199	18.48 (2)	0.30 (2)	6.26 (2)	0	-12.78 (2)	-0.32 (4-II-3)
119	199	18.54 (2)	-0.54 (4-II-1)	11.43 (2)	0.02 (3)	-12.82 (2)	-0.34 (4-II-2)
	200	18.58 (2)	-0.54 (4-II-1)	11.98 (2)	0.02 (3)	-3.72 (5-II-2)	0.22 (4-II-2)
119	200	18.78 (2)	0.90 (4-I-4)	16.10 (2)	0.11 (4-I-3)	-3.79 (5-II-2)	0.26 (2)
	206	18.82 (2)	0.90 (4-I-4)	16.64 (2)	0.11 (4-I-3)	15.13 (2)	-0.91 (4-I-4)
119	206	21.75 (2)	0.55 (2)	-3.78 (2)	-0.27 (4-I-3)	-1.84 (3)	-0.82 (4-I-4)
	284	21.75 (2)	0.55 (2)	-3.56 (2)	-0.27 (4-I-3)	-2.93 (3)	-0.77 (4-I-1)
119	284	0	5.56 (2)	-1.11 (2)	0	0.40 (2)	1.11 (2)
	287	0	5.56 (2)	-0.89 (2)	0	0	-1.11 (2)
120	0	-0.53 (2)	0.12 (2)	-6.41 (2)	0	6.37 (2)	0.08 (2)
	200	-0.49 (2)	-0.15 (2)	4.16 (2)	0	-0.06 (4-II-2)	0.16 (2)
120	0	-0.46 (2)	0.10 (2)	-4.06 (2)	0	-0.06 (4-I-4)	-0.05 (4-I-1)
	0	-0.43 (2)	-0.16 (2)	6.32 (2)	0	6.34 (2)	0.19 (2)
121	282	-0.02 (2)	0	-2.40 (2)	0	-0.67 (2)	-0.01 (2)
	283	0.02 (2)	0	4.62 (2)	0	5.54 (2)	0.01 (2)
121	283	-0.02 (2)	0	-4.68 (2)	0	5.57 (2)	0.01 (2)
	284	0.02 (2)	0	2.45 (2)	0	-0.80 (2)	-0.01 (2)
122	117	0.03 (2)	0	-2.77 (2)	0	-0.53 (2)	0.01 (2)
	118	-0.03 (2)	0	5.09 (2)	0	5.96 (2)	0
122	118	0.02 (2)	0	-5.16 (2)	0	5.99 (2)	-0.01 (2)
	119	-0.02 (2)	0	2.83 (2)	0	-0.65 (2)	0.01 (2)



Risultati Analisi Dinamica - Sollecitazioni massime - Involuppi - Pilastri
Scenario di calcolo: ScenarioNT_ 2018 A2_SLV_SLD_STR_GEO

Asta	N.in. N.fin.	N kN	Ty kN	Tz kN	Mt kN*m	My kN*m	Mz kN*m
123	2	-56.32 (2)	-1.32 (4-II-1)	-6.34 (2)	0	9.30 (2)	-6.57 (4-II-1)
	122	-53.57 (2)	-1.32 (4-II-1)	-6.34 (2)	0	-22.38 (2)	0.09 (3)
124	1	-18.77 (2)	-1.32 (4-II-4)	-3.05 (5-II-4)	0	7.23 (5-II-4)	-6.54 (4-II-1)
	101	-16.02 (2)	-1.32 (4-II-4)	-3.05 (5-II-4)	0	-10.05 (2)	0.15 (3)
125	3	-19.04 (2)	1.32 (4-I-2)	-3.09 (5-II-2)	0	7.34 (5-II-2)	-6.55 (4-II-1)
	103	-16.30 (2)	1.32 (4-I-2)	-3.09 (5-II-2)	0	-9.80 (2)	-0.08 (4-I-3)
126	4	-24.35 (2)	-1.28 (3)	4.02 (2)	0	-8.57 (2)	6.55 (4-I-3)
	204	-21.30 (2)	-1.23 (4-II-4)	4.02 (2)	0	13.74 (2)	0.29 (4-II-1)
127	5	-53.99 (2)	-1.27 (3)	7.26 (2)	0	-14.69 (2)	6.58 (4-I-3)
	274	-50.94 (2)	1.23 (4-I-1)	7.26 (2)	0	25.61 (2)	-0.26 (4-I-1)
128	6	-24.85 (2)	-1.26 (3)	4.26 (2)	0	-9.24 (2)	6.55 (4-I-3)
	206	-21.80 (2)	1.23 (4-I-2)	4.26 (2)	0	14.40 (2)	-0.29 (4-I-1)

Risultati Analisi Dinamica - Sollecitazioni Massime - Muri discretizzati
Scenario di calcolo: ScenarioNT_ 2018 A2_SLV_SLD_STR_GEO

Muro	Pann.	Sxx MPa	Syy MPa	Sxy MPa	Mxx kN	Myy kN	Mxy kN
1	1	-0.0 (5-II-4)	0.0 (4-I-1)	0.0 (4-II-3)	-0.20 (5-II-4)	-0.20 (4-II-3)	-0.15 (4-I-3)
1	2	0.0 (5-II-4)	-0.0 (4-II-3)	0.0 (5-II-4)	-0.06 (4-I-1)	-0.49 (4-II-3)	0.23 (5-II-4)
1	3	-0.0 (4-II-3)	0.0 (4-II-1)	0.0 (4-II-3)	0.41 (4-I-3)	0.04 (5-II-4)	-0.31 (4-I-4)
1	4	0.0 (5-II-4)	0.0 (4-II-3)	0.0 (4-II-3)	0.92 (5-II-4)	0.77 (4-II-4)	0.71 (4-II-3)
2	1	0.0 (5-II-4)	-0.0 (4-II-1)	-0.0 (5-II-4)	0.06 (2)	1.24 (4-I-1)	0.31 (5-I-4)
2	2	-0.0 (5-II-4)	-0.0 (3)	-0.0 (1)	-0.04 (1)	-1.93 (3)	0.50 (2)
2	3	-0.0 (2)	-0.1 (2)	-0.0 (1)	0.08 (2)	-2.54 (2)	0.40 (1)
2	4	-0.0 (2)	-0.1 (2)	-0.0 (1)	0.04 (2)	-3.02 (2)	0.38 (1)
2	5	-0.0 (2)	-0.1 (2)	-0.0 (1)	0.05 (2)	-3.31 (2)	0.34 (1)
2	6	-0.0 (2)	-0.1 (2)	-0.0 (1)	0.03 (2)	-3.39 (2)	0.30 (1)
2	7	-0.0 (2)	-0.1 (2)	0.0 (2)	0.04 (2)	-3.24 (2)	-0.33 (2)
2	8	-0.0 (2)	-0.1 (2)	0.0 (2)	0.10 (2)	-2.46 (1)	-0.10 (1)
2	9	0.0 (5-II-4)	-0.0 (4-II-1)	-0.0 (5-II-4)	0.72 (5-II-4)	1.91 (4-I-1)	-1.40 (5-II-4)
2	10	-0.0 (5-II-4)	-0.0 (3)	-0.0 (1)	-0.40 (5-II-4)	-2.03 (3)	-1.40 (1)
2	11	-0.0 (2)	-0.1 (2)	-0.0 (1)	-0.30 (2)	-2.63 (2)	-1.40 (1)
2	12	-0.0 (2)	-0.1 (2)	-0.0 (1)	-0.27 (2)	-3.09 (2)	-1.40 (1)

POTENZIAMENTO DELL'IMPIANTO DEPURATIVO E DEL RECAPITO FINALE DEL COMUNE DI SQUINZANO (LE) PROGETTO DEFINITIVO

Tabulati di calcolo strutturale- Pre-Ispessitore dinamico

R.37.1

Maggio 2021

Pagina 29 di 81

Muro	Pann.	Sxx	Syy	Sxy	Mxx	Myy	Mxy
2	13	-0.0(2)	-0.1(2)	-0.0(1)	-0.25(2)	-3.37(2)	-1.42(1)
2	14	-0.0(2)	-0.1(2)	-0.0(1)	-0.23(2)	-3.46(2)	-1.43(1)
2	15	-0.0(2)	-0.1(2)	-0.0(1)	-0.22(2)	-3.29(2)	1.45(2)
2	16	-0.0(2)	-0.1(2)	0.0(2)	-0.12(2)	-2.41(1)	1.40(2)
3	1	-0.0(2)	-0.0(1)	0.0(2)	-0.05(2)	-2.52(2)	-0.30(2)
3	2	-0.0(2)	-0.0(1)	0.0(2)	0.12(2)	-1.05(1)	-1.25(2)
3	3	-0.0(2)	0.1(2)	0.0(2)	-0.12(2)	2.08(2)	-1.65(2)
3	4	0.0(2)	0.1(2)	0.0(2)	0.10(2)	6.68(2)	-0.62(2)
3	5	-0.0(1)	-0.0(1)	-0.0(1)	-0.23(2)	-2.53(2)	1.84(2)
3	6	0.0(2)	-0.0(1)	-0.0(1)	-0.24(2)	-1.05(1)	2.87(2)
3	7	-0.0(1)	0.1(2)	-0.0(1)	-0.35(2)	2.02(2)	3.53(2)
3	8	0.0(2)	0.1(2)	0.0(2)	1.85(2)	7.06(2)	3.07(2)
4	1	0.0(2)	0.1(2)	-0.0(1)	-0.20(2)	6.98(2)	-0.39(1)
4	2	0.0(5-I-4)	0.1(2)	-0.0(1)	-0.53(2)	4.64(2)	0.32(5-I-4)
4	3	0.0(2)	0.2(2)	-0.0(1)	2.59(2)	7.94(2)	-2.27(1)
4	4	-0.0(5-II-2)	0.1(2)	-0.0(1)	0.42(2)	4.68(2)	-1.84(1)
5	1	-0.0(5-II-3)	0.1(2)	-0.0(1)	0.11(2)	4.62(2)	0.23(2)
5	2	-0.0(2)	0.1(2)	-0.0(1)	-0.04(5-I-1)	2.64(2)	0.59(2)
5	3	0.0(5-II-2)	0.1(1)	-0.0(1)	-0.06(1)	2.35(1)	0.38(2)
5	4	0.0(5-II-3)	0.1(1)	-0.0(1)	-0.07(1)	2.10(1)	0.28(1)
5	5	0.0(4-II-3)	0.0(1)	-0.0(1)	-0.08(1)	1.72(1)	0.29(1)
5	6	0.0(4-II-3)	0.0(1)	0.0(5-II-2)	-0.09(1)	1.23(1)	0.28(1)
5	7	0.0(5-I-2)	0.0(4-II-1)	0.0(2)	-0.09(1)	0.76(4-II-2)	0.24(1)
5	8	-0.0(5-II-2)	0.0(4-II-1)	0.0(2)	-0.08(5-I-2)	0.73(4-II-1)	-0.16(2)
5	9	-0.0(5-II-2)	0.0(4-II-1)	0.0(2)	-0.12(1)	-1.02(4-I-1)	-0.35(2)
5	10	0.0(5-II-2)	0.0(4-II-1)	0.0(5-II-2)	-0.04(5-I-2)	1.48(4-II-1)	0.25(5-II-2)
5	11	-0.0(1)	0.1(2)	-0.0(1)	-0.21(5-II-3)	4.45(2)	-1.92(1)
5	12	-0.0(2)	0.1(2)	-0.0(1)	-0.19(2)	2.57(2)	-2.05(1)
5	13	-0.0(2)	0.1(1)	-0.0(1)	-0.09(2)	2.31(1)	-1.58(1)
5	14	-0.0(2)	0.1(1)	-0.0(1)	0.08(5-I-2)	2.07(1)	-1.20(1)
5	15	-0.0(2)	0.0(1)	0.0(5-II-2)	0.09(5-I-2)	1.70(1)	-0.85(1)
5	16	0.0(5-I-2)	0.0(1)	0.0(3)	0.11(5-I-2)	1.21(1)	0.74(5-II-2)
5	17	0.0(5-I-2)	0.0(4-II-2)	0.0(2)	0.12(5-I-2)	0.78(4-II-2)	0.94(2)
5	18	0.0(5-II-2)	0.0(4-II-1)	0.0(2)	0.14(5-I-2)	0.73(4-II-1)	1.28(2)
5	19	0.0(5-I-2)	0.0(4-II-1)	0.0(5-II-2)	0.30(5-I-2)	-0.96(4-I-1)	1.64(2)
5	20	0.0(5-II-2)	0.0(4-II-1)	0.0(5-II-2)	0.80(5-II-2)	2.08(4-II-1)	1.58(5-II-2)
6	1	-0.0(5-II-4)	-0.0(4-II-1)	-0.0(2)	-1.57(5-II-4)	1.54(4-I-1)	-0.96(4-II-3)
6	2	-0.0(2)	-0.0(3)	-0.0(1)	-0.39(5-II-4)	-1.66(3)	-0.78(1)
6	3	-0.0(2)	-0.1(2)	-0.0(1)	-0.26(4-II-3)	-2.42(2)	-0.74(1)
6	4	-0.0(2)	-0.1(2)	-0.0(1)	-0.22(4-II-4)	-2.95(2)	-0.77(1)
6	5	-0.0(2)	-0.1(2)	-0.0(1)	-0.18(3)	-3.28(2)	-0.84(1)
6	6	-0.0(2)	-0.1(2)	-0.0(1)	-0.12(3)	-3.40(2)	-0.95(1)
6	7	-0.0(2)	-0.1(2)	-0.0(1)	-0.07(5-II-4)	-3.18(2)	-1.10(1)
6	8	-0.0(2)	-0.1(2)	0.0(2)	-0.12(2)	-2.33(1)	-1.27(1)
6	9	-0.0(2)	-0.0(3)	-0.0(1)	-2.25(2)	0.41(4-I-1)	-0.87(1)
6	10	-0.0(2)	-0.0(2)	-0.0(1)	-2.37(2)	-1.49(2)	-1.23(1)
6	11	-0.0(2)	-0.0(2)	-0.0(1)	-2.02(2)	-2.25(2)	-1.27(1)
6	12	-0.0(2)	-0.1(2)	-0.0(1)	-1.81(2)	-2.77(2)	-1.29(1)
6	13	-0.0(2)	-0.1(2)	-0.0(1)	-1.67(2)	-3.12(2)	-1.30(1)
6	14	-0.0(2)	-0.1(2)	0.0(2)	-1.56(2)	-3.31(2)	-1.35(1)
6	15	-0.0(2)	-0.1(2)	-0.0(1)	-1.43(2)	-3.13(2)	1.55(2)
6	16	-0.0(2)	-0.1(2)	-0.0(1)	-1.02(2)	-2.41(1)	-1.53(1)
7	1	-0.0(2)	-0.0(1)	0.0(2)	-0.34(2)	-3.01(2)	-1.65(1)
7	2	-0.0(2)	-0.0(1)	0.1(2)	-0.14(4-I-1)	-1.25(1)	-2.04(1)
7	3	-0.0(2)	0.0(2)	0.1(2)	0.48(2)	2.27(2)	-2.16(1)
7	4	-0.0(2)	0.1(2)	0.0(2)	-1.24(5-II-3)	6.70(2)	-1.76(1)
7	5	-0.0(2)	-0.0(1)	-0.0(1)	-1.21(2)	-3.05(2)	1.86(2)
7	6	-0.0(2)	-0.0(1)	-0.1(1)	-1.39(2)	-1.38(1)	2.30(2)
7	7	-0.0(2)	0.0(2)	-0.1(1)	-1.89(2)	1.69(2)	2.39(2)
7	8	-0.0(2)	0.1(2)	-0.1(1)	-1.90(2)	5.55(2)	-2.06(1)
8	1	-0.0(2)	0.1(2)	-0.1(1)	-1.71(5-II-3)	6.13(2)	-2.20(1)
8	2	-0.0(2)	0.1(2)	-0.1(1)	-0.84(5-II-3)	4.77(2)	-2.35(1)
8	3	-0.0(2)	0.1(2)	-0.1(1)	-2.16(2)	4.81(2)	-2.18(1)
8	4	-0.0(2)	0.1(2)	-0.1(1)	-1.96(2)	4.33(2)	-2.17(1)
9	1	-0.0(2)	0.1(2)	-0.0(1)	-0.71(1)	4.43(2)	-2.30(1)
9	2	0.0(5-I-1)	0.1(2)	-0.0(1)	-1.08(1)	2.78(2)	-1.79(1)
9	3	0.0(1)	0.1(1)	-0.0(1)	-1.30(1)	2.43(1)	-1.28(1)
9	4	0.0(1)	0.1(1)	-0.0(1)	-1.43(1)	2.15(1)	-0.79(1)
9	5	0.0(1)	0.0(1)	-0.0(1)	-1.49(1)	1.74(1)	0.67(5-II-2)
9	6	0.0(1)	0.0(1)	0.0(5-II-2)	-1.51(1)	1.22(1)	0.83(3)
9	7	0.0(1)	0.0(1)	0.0(2)	-1.48(1)	0.71(4-II-2)	1.03(2)
9	8	0.0(1)	0.0(4-II-1)	0.0(2)	-1.37(1)	0.65(4-II-1)	1.22(2)
9	9	0.0(5-I-2)	0.0(4-II-1)	0.0(2)	-1.13(1)	-0.88(4-I-1)	1.35(2)
9	10	0.0(5-I-2)	0.0(4-II-1)	0.0(4-I-3)	-1.40(5-II-2)	1.49(4-II-1)	1.58(4-I-3)
9	11	-0.0(2)	0.1(2)	-0.0(1)	-0.95(2)	4.45(2)	-2.24(1)
9	12	-0.0(2)	0.1(2)	-0.0(1)	1.21(1)	3.25(1)	-1.90(1)

**POTENZIAMENTO DELL'IMPIANTO DEPURATIVO E DEL
RECAPITO FINALE DEL COMUNE DI SQUINZANO (LE)
PROGETTO DEFINITIVO**

Tabulati di calcolo strutturale- Pre-Ispessitore dinamico

R.37.1

Maggio 2021

Pagina 30 di 81

Muro	Pann.	Sxx	Syy	Sxy	Mxx	Myy	Mxy
9	13	0.0(5-I-1)	0.1(1)	-0.0(1)	1.87(1)	3.19(1)	-1.50(1)
9	14	0.0(5-I-2)	0.1(1)	0.0(4-I-3)	2.29(1)	2.96(1)	-1.08(1)
9	15	0.0(5-I-2)	0.1(1)	0.0(3)	2.53(1)	2.57(1)	0.74(5-II-2)
9	16	0.0(5-I-2)	0.0(1)	0.0(3)	2.65(1)	2.05(1)	0.88(5-II-2)
9	17	0.0(5-I-2)	0.0(1)	0.0(2)	2.68(1)	1.44(1)	1.13(2)
9	18	0.0(5-I-2)	0.0(4-II-2)	0.0(2)	2.60(1)	0.83(4-II-1)	1.45(2)
9	19	0.0(5-I-2)	0.0(4-II-2)	0.0(2)	2.30(1)	0.67(4-II-1)	1.67(2)
9	20	0.0(5-I-2)	0.0(4-II-1)	0.0(2)	1.48(5-I-2)	0.58(4-II-1)	1.37(2)
10	1	-0.0(5-II-4)	0.0(4-II-1)	-0.0(4-II-1)	-1.38(5-II-4)	0.07(3)	0.41(4-I-1)
10	2	-0.1(5-II-4)	0.0(4-II-4)	0.0(4-I-1)	-2.04(5-II-4)	0.55(4-II-1)	-1.04(4-II-1)
10	3	-0.0(2)	-0.0(4-II-1)	-0.0(2)	-2.33(2)	0.02(5-II-4)	0.24(2)
10	4	-0.0(2)	-0.0(5-I-4)	-0.0(1)	-2.38(2)	-0.40(4-II-1)	-0.71(2)
11	1	-0.1(2)	-0.0(2)	-0.0(1)	-2.34(2)	-0.18(4-II-3)	-0.60(1)
11	2	-0.1(2)	-0.0(2)	-0.0(1)	-2.04(2)	-1.03(2)	-0.67(1)
11	3	-0.1(2)	-0.0(2)	-0.0(1)	-1.88(2)	-1.72(2)	-0.71(1)
11	4	-0.0(2)	-0.1(2)	-0.0(1)	-1.75(2)	-2.21(2)	0.80(2)
11	5	-0.0(2)	-0.1(2)	0.0(2)	-1.58(2)	-2.58(2)	1.11(2)
11	6	-0.0(2)	-0.1(2)	0.0(2)	-1.33(2)	-2.82(2)	1.41(2)
11	7	-0.0(2)	-0.1(2)	0.0(2)	-0.99(2)	-2.91(2)	1.57(2)
11	8	-0.0(2)	-0.1(1)	0.0(2)	-1.01(2)	-2.43(1)	-1.55(1)
11	9	-0.1(2)	-0.0(2)	0.0(4-I-3)	-2.99(2)	-0.11(2)	-0.51(1)
11	10	-0.1(2)	-0.0(2)	0.0(3)	-2.97(2)	-0.90(2)	-0.68(1)
11	11	-0.1(2)	-0.0(2)	0.0(2)	-2.78(2)	-1.46(2)	-0.73(1)
11	12	-0.1(2)	-0.0(2)	0.0(2)	-2.62(2)	-1.89(2)	0.78(2)
11	13	-0.1(2)	-0.0(2)	0.0(2)	-2.53(2)	-2.22(2)	1.16(2)
11	14	-0.0(2)	-0.1(2)	0.0(2)	-2.55(2)	-2.51(2)	1.59(2)
11	15	-0.0(2)	-0.1(2)	0.0(2)	-2.69(2)	-2.88(2)	2.00(2)
11	16	-0.1(2)	-0.1(2)	0.0(2)	-2.55(2)	-3.00(2)	1.71(2)
12	1	-0.0(2)	0.1(2)	-0.0(1)	-1.51(2)	3.77(2)	-2.85(1)
12	2	-0.0(2)	0.1(2)	-0.0(1)	-1.38(2)	4.87(2)	-1.35(1)
12	3	0.0(5-I-4)	0.1(2)	0.0(3)	1.85(5-I-4)	4.56(2)	-1.34(1)
12	4	0.0(1)	0.1(2)	0.0(3)	2.86(1)	4.85(2)	1.84(3)
13	1	0.0(1)	0.1(2)	-0.0(1)	-1.64(2)	3.91(2)	-2.50(1)
13	2	0.1(1)	0.1(1)	-0.0(1)	-2.65(1)	3.35(1)	-1.91(1)
13	3	0.1(1)	0.1(1)	0.0(5-I-4)	-2.54(1)	3.28(1)	-1.33(1)
13	4	0.1(1)	0.1(1)	0.0(5-II-2)	-2.48(1)	2.95(1)	0.81(5-II-2)
13	5	0.1(1)	0.1(1)	0.0(5-II-2)	-2.41(1)	2.48(1)	0.96(3)
13	6	0.1(1)	0.1(1)	0.0(3)	-2.33(1)	1.93(1)	1.15(3)
13	7	0.1(1)	0.0(1)	0.0(2)	-2.21(1)	1.31(1)	1.35(2)
13	8	0.1(1)	0.0(1)	0.0(2)	-1.97(1)	0.68(4-II-1)	1.59(2)
13	9	0.1(1)	0.0(1)	0.0(2)	-1.50(1)	0.42(4-II-1)	1.80(2)
13	10	0.1(1)	0.0(4-II-1)	0.0(2)	1.18(5-I-2)	-0.50(1)	1.78(2)
13	11	0.1(1)	0.1(1)	0.0(3)	5.09(1)	4.09(2)	1.13(3)
13	12	0.1(1)	0.1(1)	0.0(3)	8.55(1)	4.98(1)	1.22(3)
13	13	0.1(1)	0.1(1)	0.0(3)	9.85(1)	5.15(1)	1.06(3)
13	14	0.1(1)	0.1(1)	0.0(3)	10.62(1)	4.94(1)	1.01(3)
13	15	0.1(1)	0.1(1)	0.0(3)	11.03(1)	4.53(1)	1.01(3)
13	16	0.1(1)	0.1(1)	0.0(3)	11.18(1)	3.99(1)	1.05(3)
13	17	0.1(1)	0.1(1)	0.0(2)	11.12(1)	3.36(1)	1.13(3)
13	18	0.1(1)	0.0(1)	0.0(2)	10.80(1)	2.62(1)	1.28(2)
13	19	0.1(1)	0.0(1)	0.0(2)	10.17(1)	1.75(1)	1.47(2)
13	20	0.1(1)	0.0(1)	0.0(2)	7.85(1)	0.29(1)	1.73(2)
14	1	-0.0(2)	-0.0(1)	-0.0(1)	-1.09(2)	-3.79(1)	-2.51(1)
14	2	-0.0(2)	-0.0(1)	0.0(2)	-0.82(2)	-1.79(1)	-3.68(1)
14	3	-0.0(2)	0.0(2)	0.0(2)	-1.38(2)	-1.49(2)	-4.14(1)
14	4	-0.0(2)	0.1(2)	-0.0(1)	-1.23(2)	4.97(2)	-3.12(1)
14	5	-0.0(2)	-0.1(2)	-0.1(1)	-1.77(2)	-4.41(2)	-2.28(1)
14	6	-0.0(2)	-0.0(1)	-0.1(1)	-0.42(1)	-2.17(1)	1.32(2)
14	7	-0.0(2)	0.0(2)	-0.1(1)	0.51(3)	1.71(2)	-1.21(1)
14	8	0.0(5-I-4)	0.1(2)	-0.0(1)	1.30(1)	6.08(2)	-1.85(1)
15	1	-0.1(2)	-0.0(2)	-0.0(1)	-2.52(2)	0.10(4-II-1)	-0.11(1)
15	2	-0.1(2)	-0.0(2)	-0.0(1)	-2.58(2)	-0.24(3)	-0.51(1)
15	3	-0.1(2)	-0.0(4-I-1)	0.0(4-I-3)	-2.99(2)	0.03(4-I-3)	0.14(2)
15	4	-0.1(2)	-0.0(3)	0.0(4-I-3)	-3.04(2)	-0.18(2)	0.40(4-I-3)
16	1	-0.1(2)	-0.0(2)	0.0(3)	-3.17(2)	-0.18(2)	0.57(3)
16	2	-0.1(2)	-0.0(2)	0.0(3)	-3.11(2)	-0.77(2)	0.80(2)
16	3	-0.1(2)	-0.0(2)	0.0(2)	-2.96(2)	-1.20(2)	0.95(2)
16	4	-0.1(2)	-0.0(2)	0.0(2)	-2.89(2)	-1.53(2)	1.14(2)
16	5	-0.1(2)	-0.0(2)	0.0(2)	-2.84(2)	-1.76(2)	1.39(2)
16	6	-0.1(2)	-0.0(2)	0.0(2)	-2.77(2)	-1.91(2)	1.73(2)
16	7	-0.1(2)	-0.0(2)	0.0(2)	-2.26(2)	-1.99(2)	2.34(2)
16	8	-0.1(2)	-0.0(2)	0.1(2)	-3.35(2)	-1.86(2)	2.77(2)
16	9	-0.1(2)	-0.0(2)	0.0(3)	-3.01(2)	-0.11(2)	0.65(2)
16	10	-0.1(2)	-0.0(2)	0.0(2)	-2.84(2)	-0.62(2)	0.77(3)
16	11	-0.1(2)	-0.0(2)	0.0(2)	-2.71(2)	-1.01(1)	0.88(3)
16	12	-0.1(2)	-0.0(2)	0.0(2)	-2.56(2)	-1.33(1)	1.08(2)

**POTENZIAMENTO DELL'IMPIANTO DEPURATIVO E DEL
RECAPITO FINALE DEL COMUNE DI SQUINZANO (LE)
PROGETTO DEFINITIVO**

Tabulati di calcolo strutturale- Pre-Ispessitore dinamico

R.37.1

Maggio 2021

Pagina 31 di 81

Muro	Pann.	Sxx	Syy	Sxy	Mxx	Myy	Mxy
16	13	-0.1(2)	-0.0(2)	0.0(2)	-2.48(2)	-1.50(1)	1.34(2)
16	14	-0.1(2)	-0.0(2)	0.0(2)	-2.55(2)	-1.45(1)	1.67(2)
16	15	-0.1(2)	-0.0(2)	0.0(2)	-3.37(2)	-1.16(2)	2.17(2)
16	16	-0.1(2)	-0.0(1)	0.0(2)	-3.45(2)	0.47(1)	1.35(2)
17	1	0.2(1)	0.1(2)	0.1(3)	5.53(1)	1.93(2)	2.01(3)
17	2	0.2(1)	0.1(2)	0.1(3)	5.29(1)	3.11(2)	4.14(3)
17	3	0.2(1)	0.0(3)	0.0(3)	11.68(1)	-0.70(2)	-0.93(1)
17	4	0.2(1)	0.0(1)	0.0(3)	12.32(1)	1.90(1)	3.48(3)
18	1	0.2(1)	0.1(1)	0.1(3)	5.26(1)	2.68(2)	2.64(3)
18	2	0.2(1)	0.1(1)	0.1(3)	4.50(1)	4.32(1)	1.96(3)
18	3	0.2(1)	0.1(1)	0.0(3)	5.19(1)	4.68(1)	1.64(3)
18	4	0.2(1)	0.1(1)	0.0(3)	5.56(1)	4.52(1)	1.50(3)
18	5	0.3(1)	0.1(1)	0.0(3)	5.81(1)	4.14(1)	1.41(3)
18	6	0.3(1)	0.1(1)	0.0(3)	5.94(1)	3.63(1)	1.36(3)
18	7	0.3(1)	0.1(1)	0.0(3)	5.98(1)	3.04(1)	1.34(3)
18	8	0.3(1)	0.1(1)	0.0(2)	6.00(1)	2.40(1)	1.39(2)
18	9	0.2(1)	0.1(1)	0.0(2)	6.07(1)	1.57(1)	1.46(2)
18	10	0.2(1)	0.0(1)	0.0(2)	7.42(1)	0.17(3)	1.43(1)
18	11	0.2(1)	0.1(1)	0.1(3)	12.48(1)	2.04(1)	2.95(3)
18	12	0.2(1)	0.1(1)	0.1(3)	14.57(1)	5.15(1)	2.89(3)
18	13	0.2(1)	0.1(1)	0.0(3)	14.88(1)	5.79(1)	2.21(3)
18	14	0.2(1)	0.1(1)	0.0(3)	15.28(1)	5.77(1)	1.76(3)
18	15	0.3(1)	0.1(1)	0.0(3)	15.52(1)	5.45(1)	1.43(3)
18	16	0.3(1)	0.1(1)	0.0(3)	15.60(1)	4.96(1)	1.17(3)
18	17	0.3(1)	0.1(1)	0.0(3)	15.51(1)	4.36(1)	0.96(3)
18	18	0.3(1)	0.1(1)	0.0(2)	15.19(1)	3.69(1)	0.79(2)
18	19	0.3(1)	0.1(1)	0.0(2)	14.68(1)	2.78(1)	0.72(2)
18	20	0.3(1)	0.0(1)	0.0(2)	12.74(1)	0.58(1)	0.73(1)
19	1	-0.1(2)	-0.0(2)	0.0(3)	-3.27(2)	0.03(1)	-0.05(1)
19	2	-0.1(2)	-0.0(2)	0.0(3)	-3.32(2)	-0.15(2)	0.52(3)
19	3	-0.1(2)	-0.0(2)	0.0(3)	-3.00(2)	0.05(3)	0.06(2)
19	4	-0.1(2)	-0.0(2)	0.0(2)	-3.05(2)	-0.11(1)	0.66(3)
20	1	-0.1(2)	-0.0(1)	0.0(2)	-3.31(2)	-0.19(2)	0.86(2)
20	2	-0.1(2)	-0.0(1)	0.0(3)	-3.39(2)	-0.64(2)	1.11(2)
20	3	-0.1(2)	-0.0(1)	0.0(2)	-3.25(2)	-1.05(1)	1.16(2)
20	4	-0.1(2)	-0.0(1)	0.0(2)	-3.20(2)	-1.35(1)	1.23(2)
20	5	-0.1(2)	-0.0(1)	0.0(2)	-3.19(2)	-1.47(1)	1.33(2)
20	6	-0.1(2)	-0.0(1)	0.0(2)	-3.16(2)	-1.27(1)	1.49(2)
20	7	-0.1(2)	-0.0(1)	0.0(2)	-2.81(2)	-0.61(1)	1.64(2)
20	8	-0.1(2)	-0.0(1)	0.0(2)	-2.56(2)	0.29(1)	1.05(2)
20	9	-0.1(2)	-0.0(1)	0.0(2)	-2.65(2)	-0.12(1)	1.00(2)
20	10	-0.1(2)	-0.0(1)	0.0(2)	-2.36(2)	-0.61(1)	1.20(2)
20	11	-0.1(2)	-0.0(1)	0.0(2)	-2.25(2)	-1.03(1)	1.26(3)
20	12	-0.1(2)	-0.0(1)	0.0(2)	-2.09(2)	-1.33(1)	1.35(3)
20	13	-0.1(2)	-0.0(1)	0.0(2)	-1.96(2)	-1.46(1)	1.48(3)
20	14	-0.1(2)	-0.0(1)	0.0(2)	-1.97(2)	-1.27(1)	1.62(3)
20	15	-0.1(2)	-0.0(1)	0.0(3)	-2.35(2)	-0.58(1)	1.70(3)
20	16	-0.1(2)	-0.0(1)	0.0(3)	-2.47(2)	0.33(1)	0.98(3)
21	1	0.3(1)	0.0(1)	0.0(3)	12.24(1)	-0.57(1)	0.89(3)
21	2	0.3(1)	0.0(1)	0.0(3)	12.68(1)	1.61(1)	2.20(3)
21	3	0.3(1)	0.0(3)	0.0(3)	12.22(1)	-0.49(1)	0.84(2)
21	4	0.3(1)	0.0(1)	0.0(2)	12.62(1)	1.75(1)	1.95(3)
22	1	0.3(1)	0.1(1)	0.1(3)	12.49(1)	1.76(1)	3.43(3)
22	2	0.3(1)	0.1(1)	0.1(3)	12.62(1)	4.48(1)	2.92(3)
22	3	0.3(1)	0.1(1)	0.1(3)	13.00(1)	5.41(1)	2.46(3)
22	4	0.3(1)	0.1(1)	0.0(3)	13.34(1)	5.50(1)	2.07(3)
22	5	0.3(1)	0.1(1)	0.0(3)	13.58(1)	5.22(1)	1.72(3)
22	6	0.3(1)	0.1(1)	0.0(3)	13.66(1)	4.76(1)	1.41(3)
22	7	0.3(1)	0.1(1)	0.0(3)	13.59(1)	4.19(1)	1.12(3)
22	8	0.3(1)	0.1(1)	0.0(2)	13.36(1)	3.54(1)	0.87(3)
22	9	0.3(1)	0.1(1)	0.0(2)	13.00(1)	2.64(1)	0.86(1)
22	10	0.3(1)	0.0(1)	0.0(2)	12.36(1)	0.35(3)	0.45(1)
22	11	0.3(1)	0.1(1)	0.1(3)	12.27(1)	1.96(1)	3.01(2)
22	12	0.3(1)	0.1(1)	0.1(3)	12.12(1)	4.46(1)	3.14(2)
22	13	0.3(1)	0.1(1)	0.1(2)	12.03(1)	5.26(1)	2.73(2)
22	14	0.3(1)	0.1(1)	0.1(2)	12.11(1)	5.28(1)	2.20(3)
22	15	0.3(1)	0.1(1)	0.0(3)	12.19(1)	4.98(1)	1.71(3)
22	16	0.3(1)	0.1(1)	0.0(3)	12.20(1)	4.51(1)	1.26(3)
22	17	0.3(1)	0.1(1)	0.0(3)	12.11(1)	3.95(1)	0.85(3)
22	18	0.3(1)	0.1(1)	0.0(3)	11.94(1)	3.30(1)	0.45(3)
22	19	0.3(1)	0.1(1)	0.0(1)	11.68(1)	2.39(1)	-0.39(1)
22	20	0.3(1)	0.0(1)	0.0(3)	11.54(1)	0.26(1)	-0.22(2)
23	1	-0.1(2)	-0.0(1)	0.0(2)	-3.22(2)	-0.04(2)	0.09(3)
23	2	-0.1(2)	-0.0(1)	0.0(2)	-3.25(2)	-0.14(2)	1.19(2)
23	3	-0.1(2)	-0.0(2)	0.0(2)	-2.22(2)	0.07(2)	0.08(3)
23	4	-0.1(2)	-0.0(2)	0.0(2)	-2.27(2)	-0.09(1)	1.29(2)

**POTENZIAMENTO DELL'IMPIANTO DEPURATIVO E DEL
RECAPITO FINALE DEL COMUNE DI SQUINZANO (LE)
PROGETTO DEFINITIVO**

Tabulati di calcolo strutturale- Pre-Ispessitore dinamico

R.37.1

Maggio 2021

Pagina 32 di 81

Muro	Pann.	Sxx	Syy	Sxy	Mxx	Myy	Mxy
24	1	-0.1(2)	0.1(1)	0.1(2)	6.25(1)	4.27(1)	3.46(2)
24	2	-0.1(2)	0.1(1)	0.1(2)	9.58(1)	4.91(1)	3.79(2)
24	3	-0.1(2)	0.1(1)	0.1(2)	10.89(1)	4.95(1)	3.34(2)
24	4	-0.1(2)	0.1(1)	0.0(2)	11.59(1)	4.70(1)	2.73(2)
24	5	-0.1(2)	0.1(1)	0.0(2)	11.93(1)	4.28(1)	2.07(2)
24	6	-0.1(2)	0.1(1)	0.0(2)	11.99(1)	3.76(1)	1.42(2)
24	7	-0.1(2)	0.1(1)	0.0(3)	11.81(1)	3.17(1)	0.81(3)
24	8	-0.1(2)	0.0(1)	0.0(5-II-2)	11.33(1)	2.49(1)	0.34(5-II-2)
24	9	-0.1(2)	-0.0(2)	-0.0(1)	10.45(1)	1.68(1)	-0.56(1)
24	10	0.1(1)	-0.0(2)	0.0(4-II-1)	7.93(1)	0.22(1)	-1.27(1)
24	11	-0.1(2)	0.1(1)	0.1(2)	-5.16(2)	3.41(1)	3.26(1)
24	12	-0.1(2)	0.1(1)	0.1(2)	-6.30(2)	3.10(1)	2.98(2)
24	13	-0.1(2)	0.1(1)	0.1(2)	-6.93(2)	2.70(1)	2.74(2)
24	14	-0.1(2)	0.1(1)	0.1(2)	-7.36(2)	2.24(1)	2.32(2)
24	15	-0.1(2)	0.1(1)	0.0(2)	-7.62(2)	-2.55(2)	1.80(2)
24	16	-0.1(2)	0.0(1)	0.0(2)	-7.73(2)	-2.72(2)	1.25(2)
24	17	-0.1(2)	-0.0(2)	0.0(3)	-7.75(2)	-2.69(2)	0.74(3)
24	18	-0.1(2)	-0.0(2)	0.0(5-II-2)	-7.65(2)	-2.46(2)	-0.60(1)
24	19	-0.1(2)	-0.0(2)	0.0(4-II-1)	-7.43(2)	-1.96(2)	-0.94(1)
24	20	-0.1(2)	-0.0(2)	0.0(1)	-6.53(2)	-0.67(1)	-1.29(1)
25	1	-0.1(2)	-0.0(1)	0.0(2)	-2.80(2)	-0.27(2)	1.41(3)
25	2	-0.0(2)	-0.0(1)	0.0(2)	-2.94(2)	-0.60(2)	1.72(2)
25	3	-0.0(2)	-0.0(1)	0.0(3)	-2.70(2)	-0.97(1)	1.71(2)
25	4	-0.0(2)	-0.0(1)	0.0(3)	-2.46(2)	-1.35(1)	1.68(3)
25	5	-0.0(2)	-0.0(1)	0.0(3)	-2.19(2)	-1.66(1)	1.65(3)
25	6	0.0(1)	-0.0(1)	0.0(3)	2.17(1)	-1.88(1)	1.60(3)
25	7	0.1(1)	-0.0(1)	0.0(3)	2.85(1)	-1.96(1)	1.57(3)
25	8	0.1(1)	-0.1(1)	0.0(1)	3.10(1)	-1.80(1)	1.69(1)
25	9	-0.1(2)	-0.0(1)	0.0(2)	-1.74(2)	-0.18(3)	1.67(2)
25	10	-0.1(2)	-0.0(1)	0.0(2)	-1.28(2)	-0.49(1)	2.07(2)
25	11	-0.0(2)	-0.0(1)	0.0(2)	-1.13(2)	-0.95(1)	2.12(2)
25	12	-0.0(2)	-0.0(1)	0.0(2)	-0.96(2)	-1.37(1)	2.16(3)
25	13	-0.0(2)	-0.0(1)	0.0(3)	-0.83(2)	-1.75(1)	2.23(3)
25	14	0.0(1)	-0.0(1)	0.0(3)	-0.74(2)	-2.06(1)	2.32(3)
25	15	0.0(1)	-0.0(1)	0.0(1)	0.86(1)	-2.24(1)	2.40(3)
25	16	0.0(1)	-0.1(1)	0.1(1)	1.04(1)	-1.79(1)	2.40(1)
26	1	-0.1(2)	0.1(1)	0.1(2)	-4.85(2)	2.73(1)	3.61(2)
26	2	-0.1(2)	0.1(1)	0.1(2)	-4.83(2)	5.35(1)	2.82(2)
26	3	-0.1(2)	0.1(1)	0.1(2)	-4.13(2)	3.06(2)	3.80(1)
26	4	-0.1(2)	0.1(1)	0.1(2)	-4.53(2)	4.96(1)	3.47(2)
27	1	0.0(1)	0.0(2)	0.1(1)	0.98(1)	-4.00(1)	3.68(1)
27	2	-0.0(2)	0.0(2)	0.1(1)	-0.33(1)	-2.00(1)	2.46(1)
27	3	-0.0(2)	0.0(2)	0.1(1)	0.49(1)	2.20(2)	2.81(3)
27	4	-0.1(2)	0.0(2)	0.1(2)	-2.31(2)	5.56(1)	4.85(2)
27	5	0.0(1)	0.0(2)	0.1(1)	-1.29(2)	-3.52(1)	3.27(1)
27	6	-0.0(2)	0.0(2)	0.1(1)	-1.82(2)	-1.47(1)	4.52(1)
27	7	-0.0(2)	0.0(2)	0.1(3)	-2.60(2)	2.20(2)	5.03(1)
27	8	-0.1(2)	0.1(2)	0.1(2)	-3.42(2)	5.10(1)	4.02(1)
28	1	-0.1(2)	-0.0(1)	0.0(2)	-3.36(2)	-0.02(4-I-3)	-0.05(5-II-4)
28	2	-0.1(2)	-0.0(1)	0.0(3)	-3.40(2)	-0.14(2)	0.93(2)
28	3	-0.1(2)	-0.0(2)	0.0(2)	-2.66(2)	0.05(2)	0.05(2)
28	4	-0.1(2)	-0.0(2)	0.0(2)	-2.69(2)	-0.11(1)	1.05(2)
29	1	0.2(1)	0.0(1)	0.0(2)	11.73(1)	-0.67(2)	1.24(2)
29	2	0.3(1)	0.0(1)	0.1(2)	12.47(1)	2.59(1)	-2.11(1)
29	3	0.2(1)	0.1(1)	-0.1(1)	-7.19(2)	1.17(1)	2.06(2)
29	4	0.2(1)	0.1(1)	0.0(2)	6.34(1)	3.76(1)	-1.98(1)
30	1	0.2(1)	0.1(1)	0.1(2)	12.07(1)	3.01(1)	2.70(2)
30	2	0.2(1)	0.1(1)	0.1(2)	13.45(1)	4.89(1)	2.91(2)
30	3	0.2(1)	0.1(1)	0.1(2)	13.63(1)	5.38(1)	2.83(2)
30	4	0.2(1)	0.1(1)	0.1(2)	13.98(1)	5.35(1)	2.42(2)
30	5	0.2(1)	0.1(1)	0.0(2)	14.19(1)	5.04(1)	1.95(2)
30	6	0.2(1)	0.1(1)	0.0(2)	14.25(1)	4.57(1)	1.46(2)
30	7	0.2(1)	0.1(1)	0.0(3)	14.16(1)	4.01(1)	1.01(3)
30	8	0.2(1)	0.1(1)	0.0(3)	13.90(1)	3.37(1)	0.66(1)
30	9	0.2(1)	0.0(1)	0.0(3)	13.67(1)	2.53(1)	0.61(1)
30	10	0.2(1)	0.0(1)	0.0(3)	12.16(1)	0.74(1)	0.11(5-II-2)
30	11	0.2(1)	0.1(1)	0.1(2)	6.78(1)	3.35(1)	2.66(2)
30	12	0.2(1)	0.1(1)	0.1(2)	5.98(1)	4.28(1)	2.76(2)
30	13	0.2(1)	0.1(1)	0.1(2)	6.26(1)	4.52(1)	2.54(2)
30	14	0.2(1)	0.1(1)	0.1(2)	6.39(1)	4.32(1)	2.14(2)
30	15	0.2(1)	0.1(1)	0.0(2)	6.50(1)	3.95(1)	1.70(2)
30	16	0.3(1)	0.1(1)	0.0(2)	6.53(1)	3.47(1)	1.26(2)
30	17	0.2(1)	0.1(1)	0.0(3)	6.49(1)	2.92(1)	0.85(3)
30	18	0.2(1)	0.1(1)	0.0(3)	6.45(1)	2.33(1)	-0.55(1)
30	19	0.2(1)	0.0(1)	0.0(5-II-2)	6.37(1)	1.59(1)	-0.64(1)
30	20	0.2(1)	0.0(1)	0.0(4-II-1)	7.54(1)	-0.41(2)	-0.70(1)

POTENZIAMENTO DELL'IMPIANTO DEPURATIVO E DEL RECAPITO FINALE DEL COMUNE DI SQUINZANO (LE) PROGETTO DEFINITIVO

Tabulati di calcolo strutturale- Pre-Ispessitore dinamico

R.37.1

Maggio 2021

Pagina 33 di 81

Muro	Pann.	Sxx	Syy	Sxy	Mxx	Myy	Mxy
31	1	-0.1(2)	-0.0(1)	0.0(2)	-3.01(2)	-0.23(2)	1.22(2)
31	2	-0.1(2)	-0.0(1)	0.0(2)	-3.00(2)	-0.62(1)	1.45(2)
31	3	-0.1(2)	-0.0(1)	0.0(2)	-2.74(2)	-1.01(1)	1.41(2)
31	4	-0.1(2)	-0.0(1)	0.0(3)	-2.62(2)	-1.33(1)	1.36(2)
31	5	-0.0(2)	-0.0(1)	0.0(3)	-2.54(2)	-1.51(1)	1.28(3)
31	6	-0.0(2)	-0.0(1)	0.0(3)	-2.48(2)	-1.49(1)	1.17(3)
31	7	0.1(1)	-0.0(1)	0.0(3)	-2.23(2)	-1.22(1)	1.09(3)
31	8	0.1(1)	-0.0(1)	0.0(3)	2.32(1)	0.41(1)	0.79(3)
31	9	-0.1(2)	-0.0(1)	0.0(2)	-2.36(2)	-0.15(1)	1.29(2)
31	10	-0.1(2)	-0.0(1)	0.0(2)	-2.11(2)	-0.62(1)	1.56(2)
31	11	-0.1(2)	-0.0(1)	0.0(2)	-2.02(2)	-1.03(1)	1.60(3)
31	12	-0.1(2)	-0.0(1)	0.0(3)	-1.83(2)	-1.37(1)	1.70(3)
31	13	-0.0(2)	-0.0(1)	0.0(3)	-1.62(2)	-1.62(1)	1.80(3)
31	14	-0.0(2)	-0.0(1)	0.0(3)	1.73(1)	-1.72(1)	1.86(3)
31	15	0.1(1)	-0.0(1)	0.0(3)	2.76(1)	-1.56(1)	1.89(3)
31	16	0.1(1)	-0.0(1)	0.0(3)	4.92(1)	1.03(3)	1.53(3)
32	1	-0.1(2)	-0.0(1)	0.0(2)	-2.81(2)	-0.04(2)	0.05(1)
32	2	-0.1(2)	-0.0(1)	0.0(2)	-2.82(2)	-0.12(1)	1.56(2)
32	3	-0.1(2)	-0.0(2)	0.0(2)	-1.84(2)	0.05(2)	0.13(1)
32	4	-0.1(2)	-0.0(2)	0.0(2)	-1.86(2)	-0.08(1)	1.75(2)
33	1	-0.1(2)	0.1(1)	0.1(2)	-4.55(2)	3.65(1)	3.29(2)
33	2	-0.1(2)	0.1(1)	0.1(2)	-5.41(2)	3.15(1)	3.73(2)
33	3	-0.1(2)	0.1(1)	0.1(2)	-5.42(2)	2.67(1)	3.41(2)
33	4	-0.1(2)	0.0(1)	0.0(2)	-5.44(2)	-2.63(2)	2.81(2)
33	5	-0.1(2)	-0.1(2)	0.0(2)	-5.48(2)	-3.06(2)	2.10(2)
33	6	-0.1(2)	-0.1(2)	0.0(2)	-5.55(2)	-3.23(2)	1.35(2)
33	7	-0.1(2)	-0.1(2)	0.0(5-II-2)	-5.69(2)	-3.14(2)	0.72(5-II-2)
33	8	-0.1(2)	-0.1(2)	0.0(5-II-2)	-5.89(2)	-2.77(2)	0.46(5-II-2)
33	9	-0.1(2)	-0.0(2)	0.0(5-II-2)	-6.24(2)	-1.97(2)	0.31(4-II-1)
33	10	-0.1(2)	-0.0(2)	0.0(4-II-1)	-5.71(2)	-0.45(4-II-1)	0.62(4-II-1)
33	11	-0.1(2)	0.1(1)	0.1(2)	-1.47(2)	3.19(2)	3.01(1)
33	12	-0.1(2)	0.1(1)	0.1(2)	-1.41(1)	2.42(1)	2.47(2)
33	13	-0.1(2)	0.0(1)	0.1(2)	-1.46(1)	1.86(1)	2.08(2)
33	14	-0.1(2)	-0.1(2)	0.1(2)	-1.52(1)	-2.43(2)	1.79(2)
33	15	-0.1(2)	-0.1(2)	0.0(2)	-1.56(1)	-2.94(2)	1.42(2)
33	16	-0.1(2)	-0.1(2)	0.0(2)	-1.56(1)	-3.11(2)	1.01(2)
33	17	-0.1(2)	-0.1(2)	0.0(5-II-2)	-1.51(1)	-2.96(2)	0.72(5-II-2)
33	18	-0.1(2)	-0.1(2)	0.0(5-II-2)	-1.41(1)	-2.45(2)	0.63(5-II-2)
33	19	-0.1(2)	-0.0(2)	-0.0(2)	-1.32(1)	-1.54(4-I-2)	0.55(5-II-2)
33	20	-0.1(2)	-0.0(4-I-3)	-0.0(2)	-2.26(2)	-0.62(4-I-2)	-0.64(1)
34	1	-0.0(2)	-0.0(1)	0.1(1)	-1.25(2)	-1.72(1)	2.52(1)
34	2	-0.0(2)	0.0(2)	0.1(1)	-2.06(2)	1.62(2)	2.76(1)
34	3	-0.0(2)	0.1(2)	0.1(1)	-3.29(2)	2.66(2)	2.95(1)
34	4	-0.1(2)	0.1(2)	0.1(1)	-3.93(2)	3.22(2)	3.08(1)
34	5	-0.0(2)	0.0(2)	0.1(1)	-0.41(2)	-1.48(1)	2.48(1)
34	6	-0.0(2)	0.0(2)	0.1(1)	-0.30(2)	1.90(2)	2.96(1)
34	7	-0.0(2)	0.1(2)	0.1(1)	-0.58(3)	3.16(2)	3.08(1)
34	8	-0.1(2)	0.1(2)	0.1(1)	-2.29(2)	4.29(2)	2.79(1)
35	1	-0.0(2)	-0.0(1)	0.0(2)	-2.30(2)	0.19(4-I-1)	1.98(2)
35	2	-0.0(2)	-0.0(1)	0.1(2)	-2.27(2)	-0.49(2)	2.48(2)
35	3	-0.0(2)	-0.0(1)	0.1(2)	-1.80(2)	-0.77(1)	2.38(2)
35	4	-0.0(2)	-0.0(1)	0.1(3)	-1.49(2)	-1.15(1)	2.23(2)
35	5	-0.0(2)	-0.0(1)	0.1(3)	-1.28(2)	-1.47(1)	2.08(3)
35	6	-0.0(2)	-0.0(1)	0.1(3)	-1.11(2)	-1.74(1)	2.03(1)
35	7	-0.0(2)	-0.0(1)	0.0(3)	-1.04(2)	-1.88(1)	2.18(1)
35	8	-0.0(2)	-0.0(1)	0.1(1)	-0.92(2)	-1.72(1)	2.29(1)
35	9	-0.0(2)	0.0(4-I-3)	0.1(2)	-1.35(2)	0.70(4-I-4)	2.32(3)
35	10	-0.0(2)	0.0(4-I-4)	0.1(2)	0.57(5-II-4)	0.80(4-I-4)	2.63(2)
35	11	-0.0(2)	-0.0(1)	0.1(2)	0.33(5-II-4)	-0.74(1)	2.38(2)
35	12	-0.0(2)	-0.0(1)	0.1(2)	0.22(5-II-4)	-1.11(1)	2.24(2)
35	13	-0.0(2)	-0.0(1)	0.0(3)	-0.18(2)	-1.41(1)	2.15(3)
35	14	-0.0(2)	-0.0(1)	0.0(1)	-0.19(2)	-1.63(1)	2.08(3)
35	15	-0.0(2)	-0.0(1)	0.0(1)	-0.20(2)	-1.72(1)	1.97(3)
35	16	-0.0(2)	-0.0(1)	0.1(1)	-0.33(2)	-1.59(1)	2.08(1)
36	1	-0.1(2)	0.1(2)	0.1(2)	-4.16(2)	3.68(2)	3.12(1)
36	2	-0.1(2)	0.1(1)	0.1(2)	-4.38(2)	3.54(1)	3.52(2)
36	3	-0.1(2)	0.1(2)	0.1(2)	-3.23(2)	4.74(2)	3.02(1)
36	4	-0.1(2)	0.1(2)	0.1(2)	-2.88(2)	3.33(1)	3.80(2)
37	1	-0.0(2)	-0.0(1)	0.0(2)	-2.59(2)	-0.06(4-I-3)	0.14(5-I-4)
37	2	-0.0(2)	0.0(4-I-3)	0.0(2)	-2.53(2)	-0.13(4-II-3)	2.00(2)
37	3	-0.1(2)	0.0(4-I-3)	0.0(3)	-1.56(2)	0.11(2)	0.14(4-II-1)
37	4	-0.1(2)	0.0(4-I-3)	0.0(3)	-1.68(2)	0.39(4-I-3)	1.90(2)
38	1	-0.0(2)	0.0(1)	0.0(2)	0.36(2)	-1.82(2)	-0.29(2)
38	2	-0.0(2)	-0.1(2)	0.0(2)	0.37(2)	-2.78(2)	-0.14(2)
38	3	-0.0(2)	-0.1(2)	0.0(2)	0.36(2)	-3.34(2)	-0.11(1)
38	4	-0.0(2)	-0.1(2)	0.0(2)	0.38(2)	-3.53(2)	-0.16(1)

POTENZIAMENTO DELL'IMPIANTO DEPURATIVO E DEL RECAPITO FINALE DEL COMUNE DI SQUINZANO (LE) PROGETTO DEFINITIVO

Tabulati di calcolo strutturale- Pre-Ispessitore dinamico

R.37.1

Maggio 2021

Pagina 34 di 81

Muro	Pann.	Sxx	Syy	Sxy	Mxx	Myy	Mxy
38	5	-0.0(2)	-0.1(2)	0.0(5-II-2)	0.37(2)	-3.36(2)	0.24(3)
38	6	-0.0(2)	-0.1(2)	-0.0(2)	0.48(2)	-2.81(2)	0.34(3)
38	7	-0.0(2)	-0.0(4-I-3)	-0.0(2)	0.39(2)	-2.03(2)	0.74(2)
38	8	0.0(2)	-0.0(4-I-2)	-0.0(2)	0.60(2)	1.51(4-II-3)	0.50(2)
38	9	0.0(2)	-0.1(4-I-2)	-0.1(3)	1.74(2)	3.60(3)	-1.86(3)
38	10	-0.1(3)	-0.1(4-I-2)	-0.0(2)	-2.37(3)	3.24(4-II-3)	-1.91(2)
38	11	-0.1(2)	-0.0(4-I-3)	-0.0(4-I-1)	-3.27(2)	-1.31(4-I-3)	-2.18(2)
38	12	-0.0(2)	-0.0(4-I-2)	0.0(4-II-1)	-2.29(2)	-2.13(2)	-1.84(2)
38	13	-0.0(2)	-0.1(2)	0.0(5-II-2)	-1.70(2)	-3.09(2)	-0.67(2)
38	14	-0.0(2)	-0.1(2)	0.0(5-II-2)	-1.43(2)	-3.58(2)	0.78(5-II-2)
38	15	-0.0(2)	-0.1(2)	0.0(2)	-1.39(2)	-3.73(2)	1.36(2)
38	16	-0.0(2)	-0.1(2)	0.0(2)	-1.36(2)	-3.53(2)	2.29(2)
38	17	-0.0(2)	-0.1(2)	0.0(2)	-1.36(2)	-2.98(2)	3.20(2)
38	18	-0.0(2)	0.0(1)	0.0(2)	-1.41(2)	-2.04(2)	4.11(2)
38	19	-0.0(2)	0.1(1)	0.0(2)	-1.62(2)	2.07(1)	5.01(2)
38	20	-0.0(2)	0.1(1)	0.1(2)	-1.16(2)	3.83(2)	4.47(2)
38	21	-0.0(2)	0.1(1)	0.1(2)	0.52(2)	4.15(2)	0.96(1)
38	22	-0.0(2)	0.1(1)	0.1(2)	0.59(2)	2.06(1)	-0.29(2)
38	23	-0.0(3)	-0.0(4-I-2)	-0.0(2)	-0.55(3)	-1.99(4-I-3)	-1.11(2)
39	1	-0.1(3)	0.1(4-I-3)	0.1(3)	-1.46(3)	10.21(2)	5.11(3)
39	2	0.0(2)	0.1(2)	0.1(2)	1.04(2)	6.77(2)	1.73(3)
39	3	-0.0(3)	0.1(2)	0.1(2)	0.20(5-II-1)	2.40(1)	1.97(2)
39	4	-0.0(3)	0.1(2)	0.1(2)	-2.31(2)	1.28(1)	5.22(2)
39	5	-0.1(2)	0.1(2)	0.1(3)	-3.99(2)	7.32(2)	4.67(2)
39	6	0.1(2)	0.1(4-I-3)	0.2(2)	5.94(2)	13.38(2)	6.74(2)
39	7	0.1(2)	0.1(4-I-3)	0.1(2)	3.84(2)	8.51(2)	3.59(2)
39	8	-0.1(3)	0.1(2)	0.1(3)	-3.44(3)	10.00(2)	5.66(3)
39	9	-0.2(3)	0.1(2)	0.1(3)	-5.09(3)	13.96(2)	6.12(3)
40	1	0.0(3)	0.1(4-II-4)	-0.0(3)	1.38(2)	3.09(3)	-1.02(3)
40	2	-0.0(2)	0.0(2)	0.0(4-II-3)	-1.56(3)	1.22(3)	0.87(4-II-3)
40	3	-0.0(3)	0.0(4-II-3)	0.0(4-II-3)	-1.19(3)	-0.34(4-II-3)	0.44(4-II-3)
40	4	-0.0(3)	0.0(4-I-3)	-0.0(3)	-0.46(3)	-0.59(2)	0.26(4-I-1)
40	5	0.0(5-I-4)	-0.0(3)	-0.0(3)	0.38(2)	1.17(4-I-1)	0.29(4-I-1)
40	6	-0.1(5-I-4)	0.1(4-II-4)	-0.1(5-I-4)	-2.59(5-I-4)	7.23(4-II-3)	-3.34(5-I-4)
40	7	-0.0(3)	0.1(3)	-0.0(3)	-1.64(5-I-4)	4.48(4-I-3)	-1.41(4-I-3)
40	8	0.0(3)	0.0(4-I-3)	0.0(4-I-4)	1.73(3)	1.44(2)	0.77(5-II-4)
40	9	0.1(3)	-0.0(4-I-3)	-0.0(3)	3.75(3)	3.10(3)	-2.35(3)
41	1	-0.0(2)	0.0(2)	0.0(1)	-0.97(2)	1.59(2)	2.31(1)
41	2	-0.0(2)	-0.0(1)	0.0(1)	-0.42(2)	1.23(5-II-2)	2.08(1)
41	3	-0.0(2)	-0.0(1)	0.0(1)	0.11(1)	1.25(5-II-2)	0.94(1)
41	4	-0.0(2)	0.1(2)	0.0(1)	0.37(3)	1.82(2)	0.89(1)
41	5	-0.0(2)	0.1(2)	0.0(1)	0.22(5-II-2)	3.03(2)	0.88(2)
41	6	0.0(2)	0.1(2)	-0.0(2)	0.74(2)	5.92(2)	0.69(2)
41	7	0.0(2)	0.1(2)	-0.0(3)	3.19(2)	8.07(2)	1.21(5-II-1)
41	8	-0.1(3)	0.1(2)	0.0(4-II-4)	-2.72(3)	7.40(2)	1.40(4-II-4)
41	9	-0.1(2)	0.1(2)	0.0(1)	-3.41(2)	5.47(2)	1.51(1)
41	10	-0.0(2)	0.1(2)	0.0(1)	-1.70(2)	2.64(2)	1.96(1)
41	11	-0.0(3)	0.1(2)	0.0(1)	0.28(5-II-1)	3.61(2)	1.87(1)
42	1	-0.0(2)	0.0(4-I-3)	0.0(2)	-0.10(1)	-1.02(2)	0.35(3)
42	2	-0.0(2)	-0.0(1)	0.0(2)	-0.08(1)	-1.02(1)	0.37(3)
42	3	-0.0(2)	-0.0(1)	0.0(2)	0.07(2)	-1.29(1)	0.40(3)
42	4	-0.0(2)	-0.0(1)	0.0(1)	0.07(2)	-1.47(1)	0.44(3)
42	5	-0.0(2)	-0.0(1)	0.0(1)	-0.08(1)	-1.59(1)	0.48(2)
42	6	-0.0(2)	-0.0(1)	0.0(1)	-0.13(1)	-2.05(1)	0.70(1)
42	7	-0.0(2)	-0.0(1)	0.0(1)	-0.35(2)	-2.03(1)	2.07(1)
42	8	-0.0(2)	-0.0(1)	0.0(1)	-0.38(2)	-1.60(1)	2.37(1)
42	9	-0.0(2)	-0.0(1)	0.0(3)	-0.36(2)	-1.47(1)	2.34(1)
42	10	-0.0(2)	-0.0(1)	0.0(3)	-0.40(2)	-1.27(1)	2.36(2)
42	11	-0.0(2)	-0.0(1)	0.0(3)	-0.45(2)	-1.00(1)	2.64(2)
42	12	-0.0(2)	0.0(4-I-4)	0.0(3)	-0.63(2)	-1.09(2)	3.05(2)
42	13	-0.0(2)	0.0(4-I-4)	0.0(3)	-0.87(2)	-1.00(3)	3.51(2)
42	14	-0.0(2)	0.0(4-I-3)	0.1(3)	-1.98(2)	1.82(4-I-3)	3.58(2)
42	15	-0.1(3)	-0.1(4-II-4)	0.1(3)	-1.40(5-I-4)	4.26(4-I-3)	3.85(3)
42	16	0.0(2)	-0.1(4-II-4)	0.1(2)	2.10(2)	4.34(4-I-3)	2.22(2)
42	17	0.0(3)	-0.0(4-II-4)	0.0(2)	0.25(2)	1.89(4-I-3)	-0.33(5-II-4)
42	18	-0.0(2)	0.0(4-I-3)	0.0(2)	-0.16(1)	-1.52(3)	-0.28(1)
42	19	-0.0(5-I-4)	0.0(4-I-4)	0.0(2)	0.43(5-II-4)	1.71(4-I-3)	2.35(2)
43	1	-0.1(3)	-0.1(4-II-3)	0.1(3)	-2.02(3)	3.03(4-I-3)	1.75(3)
43	2	0.0(1)	-0.0(4-I-1)	0.0(5-II-2)	0.45(2)	0.81(2)	-0.39(5-II-2)
43	3	-0.0(5-I-2)	0.0(4-I-1)	0.0(5-I-2)	0.32(5-II-2)	-0.49(4-I-1)	0.26(4-I-1)
43	4	-0.0(2)	-0.0(3)	-0.0(4-I-3)	-2.19(2)	-0.58(4-II-2)	0.89(3)
43	5	-0.1(2)	0.0(3)	0.0(4-II-3)	-3.88(2)	0.76(3)	-1.03(4-I-3)
43	6	0.1(2)	0.1(4-I-2)	0.1(2)	2.68(2)	5.95(4-I-2)	2.79(5-I-2)
43	7	0.0(2)	-0.1(4-II-3)	0.0(3)	1.64(2)	3.91(4-I-2)	1.21(5-I-2)
43	8	-0.1(3)	0.0(4-I-1)	0.0(4-II-3)	-3.46(3)	0.50(5-II-2)	1.61(4-II-3)
43	9	-0.1(3)	0.1(4-I-1)	0.1(3)	-4.63(3)	2.81(4-I-2)	2.27(3)

POTENZIAMENTO DELL'IMPIANTO DEPURATIVO E DEL RECAPITO FINALE DEL COMUNE DI SQUINZANO (LE) PROGETTO DEFINITIVO

Tabulati di calcolo strutturale- Pre-Ispessitore dinamico

R.37.1

Maggio 2021

Pagina 35 di 81

Muro	Pann.	Sxx	Syy	Sxy	Mxx	Myy	Mxy
44	1	-0.1(2)	-0.0(4-I-2)	0.0(4-II-1)	-5.52(2)	-0.28(4-I-3)	-0.52(2)
44	2	-0.1(2)	-0.0(2)	-0.0(2)	-5.62(2)	0.04(4-I-3)	0.34(2)
44	3	-0.1(2)	-0.0(4-I-3)	0.0(4-II-1)	-3.55(2)	-0.38(4-I-3)	-0.77(4-I-1)
44	4	-0.1(2)	0.0(4-II-3)	-0.0(4-I-2)	-3.51(2)	0.26(3)	0.43(3)
45	1	0.1(1)	-0.0(2)	-0.0(1)	6.47(1)	-0.33(2)	0.45(4-II-1)
45	2	0.1(1)	-0.0(2)	0.0(4-II-1)	6.47(1)	0.18(3)	-0.91(1)
45	3	-0.1(2)	-0.0(2)	-0.0(1)	-6.10(2)	-0.43(2)	0.56(1)
45	4	-0.1(2)	-0.0(2)	0.0(1)	-6.04(2)	-0.13(1)	-0.85(1)
46	1	0.3(1)	0.0(1)	-0.0(1)	11.42(1)	0.57(1)	0.84(3)
46	2	0.3(1)	0.0(1)	0.0(3)	11.34(1)	-0.13(1)	-0.47(3)
46	3	0.2(1)	0.0(1)	-0.0(1)	8.47(1)	0.32(1)	0.74(3)
46	4	0.2(1)	0.0(1)	0.0(3)	8.60(1)	-0.27(1)	-0.59(1)
47	1	0.3(1)	0.0(1)	0.0(5-II-2)	12.31(1)	0.64(1)	0.95(2)
47	2	0.3(1)	0.0(1)	0.0(2)	12.24(1)	-0.24(1)	-0.50(3)
47	3	0.3(1)	0.0(1)	0.0(1)	11.72(1)	0.61(1)	0.89(3)
47	4	0.3(1)	0.0(1)	0.0(3)	11.64(1)	-0.27(1)	-0.55(2)
48	1	0.2(1)	0.0(1)	0.0(2)	8.61(1)	0.43(1)	0.92(2)
48	2	0.2(1)	0.0(1)	0.0(2)	8.61(1)	-0.29(1)	0.72(1)
48	3	0.3(1)	0.0(1)	0.0(1)	11.68(1)	0.60(1)	0.70(2)
48	4	0.3(1)	0.0(1)	0.0(2)	11.59(1)	-0.21(3)	0.53(1)
49	1	0.1(1)	0.0(1)	0.0(2)	2.09(1)	0.14(4-II-1)	0.74(2)
49	2	0.1(1)	0.0(1)	0.0(2)	2.07(1)	-0.12(1)	0.82(1)
49	3	0.1(1)	0.0(4-II-1)	0.0(2)	6.41(1)	0.26(1)	0.80(2)
49	4	0.1(1)	0.0(1)	0.0(2)	6.36(1)	-0.03(4-I-3)	0.87(1)
50	1	-0.0(5-II-2)	0.0(4-I-2)	0.0(4-I-1)	-1.57(5-II-2)	0.67(4-I-1)	1.19(4-I-1)
50	2	-0.0(5-II-2)	0.0(4-I-1)	0.0(4-I-1)	1.09(5-I-2)	-0.05(4-II-2)	0.33(4-I-1)
50	3	0.0(5-I-2)	0.0(2)	0.0(4-I-3)	1.24(5-I-2)	0.37(4-II-1)	0.97(4-I-2)
50	4	0.0(5-I-2)	-0.0(4-I-1)	0.0(4-I-2)	1.17(5-I-2)	-0.04(2)	0.23(5-II-2)
51	1	0.0(5-II-2)	-0.0(4-I-3)	-0.0(5-II-2)	-0.09(3)	0.47(4-II-3)	-0.24(5-II-2)
51	2	0.0(5-I-2)	0.0(4-II-2)	-0.0(4-I-3)	-0.21(5-II-2)	-0.20(4-I-3)	0.15(4-II-3)
51	3	0.0(5-II-2)	0.0(4-I-3)	0.0(4-II-3)	0.97(5-II-2)	0.88(4-I-2)	-0.56(4-I-3)
51	4	-0.0(4-I-3)	0.0(4-I-1)	0.0(4-II-3)	0.46(4-II-3)	0.03(5-II-2)	0.31(4-II-2)
52	1	-0.0(1)	-0.0(1)	0.0(1)	-0.74(4-I-3)	-0.72(1)	1.10(1)
52	2	-0.0(1)	-0.0(1)	-0.0(1)	-0.74(4-I-3)	-0.72(1)	-1.10(1)
52	3	-0.0(1)	-0.0(1)	-0.0(1)	-0.74(4-II-3)	-0.72(1)	-1.10(1)
52	4	-0.0(1)	-0.0(1)	0.0(1)	-0.74(4-II-3)	-0.72(1)	1.10(1)
53	1	0.0(1)	-0.1(1)	0.0(4-II-3)	-0.02(1)	-0.14(1)	-0.02(1)
53	2	-0.0(1)	-0.0(4-II-4)	0.0(4-II-4)	0.05(5-II-4)	0.30(1)	-0.07(1)
53	3	0.0(1)	-0.1(1)	-0.0(4-I-4)	-0.02(1)	-0.14(1)	0.02(1)
53	4	-0.0(1)	-0.0(4-I-4)	-0.0(4-I-4)	0.05(5-I-3)	0.30(1)	0.07(1)
54	1	0.0(1)	-0.1(1)	0.0(1)	-0.02(1)	-0.12(4-I-3)	-0.01(4-I-4)
54	2	0.0(5-II-4)	-0.0(5-II-3)	0.0(5-II-3)	0.03(5-II-3)	0.26(1)	-0.07(4-II-1)
54	3	0.0(1)	-0.1(1)	-0.0(1)	-0.02(1)	-0.12(4-I-3)	0.01(4-I-4)
54	4	0.0(5-II-3)	-0.0(5-I-3)	-0.0(5-II-4)	0.03(5-I-3)	0.26(1)	0.07(4-II-1)
55	1	0.0(1)	-0.1(1)	0.0(1)	-0.02(1)	-0.12(4-I-1)	-0.01(4-I-1)
55	2	0.0(5-I-4)	-0.0(5-I-3)	0.0(5-I-3)	0.03(5-I-3)	0.26(1)	-0.07(4-II-1)
55	3	0.0(1)	-0.1(1)	-0.0(1)	-0.02(1)	-0.12(4-I-1)	0.01(4-II-4)
55	4	0.0(5-I-1)	-0.0(5-I-4)	-0.0(5-I-4)	0.03(5-I-4)	0.26(1)	0.07(4-II-1)
56	1	0.0(1)	-0.1(1)	0.0(4-I-4)	-0.02(1)	-0.14(1)	-0.02(1)
56	2	-0.0(1)	-0.0(4-I-3)	0.0(4-I-3)	0.05(5-I-4)	0.30(1)	-0.07(1)
56	3	0.0(1)	-0.1(1)	-0.0(4-II-4)	-0.02(1)	-0.14(1)	0.02(1)
56	4	-0.0(1)	-0.0(4-II-4)	-0.0(4-II-4)	0.05(5-II-3)	0.30(1)	0.07(1)

Verifiche stato limite ultimo

Verifica dei Muri in calcestruzzo

Scenario di calcolo: ScenarioNT_2018 A2_SLV_SLD_STR_GEO

Simbologia:

Muro	Indice del muro in verifica
Nodi	[n1-n2-n3-n4...] Indici dei nodi di attacco del muro
Pann.X	Numero di pannelli in direzione locale X del muro(per muri a pannelli)
Pann.Y	Numero di pannelli in direzione locale Y del muro(per muri a pannelli)
Pann	Numero totale di pannelli (per muri a mesh)
Spess [mm]	Spessore del muro
Criterio	Criterio di verifica adottato per la verifica
Pannello	Indice del pannello
Nx [kN]	Sforzo in direzione x locale per metro lineare (Nx=sxx*spessore)
Ny [kN]	Sforzo in direzione y locale per metro lineare (Ny=syy*spessore)
Nxy [kN]	Sforzo tagliante locale per metro lineare (Nxy=sxy*spessore)
Mx [kN*m]	Momento in direzione x locale per metro lineare
My [kN*m]	Momento in direzione y locale per metro lineare

Mxy [kN*m]	Momento torcente locale per metro lineare
Ax [cmq]	Armatura totale pannello in direzione x locale ⁽¹⁾
Ay [cmq]	Armatura totale pannello in direzione y locale ⁽¹⁾
εc	Deformazione nel cls ⁽²⁾
εf	Deformazione nell'acciaio ⁽²⁾
Massimi	Armature massime riscontrate nel muro
Massimo	massima sigma ideale riscontrata nel muro
σid+,σid- [MPa]	$(\sigma_x^2 + \sigma_y^2 - \sigma_x \sigma_y + 3 \tau_{xy}^2)^{1/2}$ Tensioni ideali ai lembi della lastra (Acciaio)
σid+,σid- [MPa]	$(\sigma_x^2 + \sigma_y^2 - \sigma_x \sigma_y + 3 \tau_{xy}^2)^{1/2}$ Tensioni ideali ai lembi della lastra (Legno)
Fatt.Ampl.Sisma	Fattore moltiplicativo di gruppo per le azioni sismiche (solo se diverso da 1.0)
Cs	Coefficiente di sicurezza definito dal rapporto Mr(N) / Md (Mr(N)=Momento resistente corrispondente allo sforzo normale N, Md=momento agente), quando richiesto dal criterio di verifica
ζ _s	Livello di sicurezza sismico definito come rapporto tra l'accelerazione sopportabile e l'accelerazione di progetto, quando richiesto dal criterio di verifica
Note Verifica muri:	
⁽¹⁾ : Le armature Ax ed Ay vanno intese come a metro lineare di pannello.	
⁽²⁾ :Le deformazioni sono stampate a meno del fattore 10 ⁻³ ; esse si riferiscono alla verifica considerando quali sollecitazioni di progetto Mx,d=Mx +/- Mxy , My,d=My +/- Mxy scegliendo il segno in modo tale da rendere massimo in valore assoluto il relativo momento flettente, le sollecitazioni stampate si riferiscono alle sollecitazioni in una data combinazione riferite al sistema locale del pannello	

POTENZIAMENTO DELL'IMPIANTO DEPURATIVO E DEL RECAPITO FINALE DEL COMUNE DI SQUINZANO (LE) PROGETTO DEFINITIVO

Tabulati di calcolo strutturale- Pre-Ispessitore dinamico

R.37.1

Maggio 2021

Pagina 37 di 81

Muro [Platea]: 1 - Nodi: [10-20-1-11]Pann=4Spess.=50 cm, Terreno=Terreno1, ,Criterio=CLS_Muri_ND,
Materiale=C35/45, $\zeta_e=97.378$ [(4+5)-VII-4] : **Verificato**

Armatura a maglia doppia

Pannello	Nx kN	Ny kN	Nxy kN	Mx kN*m	My kN*m	Mxy kN*m	Ax mmq	Ay mmq	C	Cs
1	-1.04	-1.76	2.79	-0.21	-0.23	0.13	3142	3142	(4+5)-VII-4	>100
2	0.90	-7.67	3.31	0.02	-0.58	0.24	3142	3142	(4+5)-VII-4	>100
3	6.05	-0.92	-3.73	0.51	-0.01	-0.34	3142	3142	(4+5)-VII-1	>100
4	9.58	6.01	8.01	0.97	0.54	0.75	3142	3142	(4+5)-VIII-4	>100
Massimi/minimi										
1							3142			
1								3142		
4										>100

Muro [Platea]: 2 - Nodi: [11-1-21-12]Pann=16Spess.=50 cm, Terreno=Terreno1, ,Criterio=CLS_Muri_ND,
Materiale=C35/45, $\zeta_e=36.034$ [(4+5)-I-2] : **Verificato**

Armatura a maglia doppia

Pannello	Nx kN	Ny kN	Nxy kN	Mx kN*m	My kN*m	Mxy kN*m	Ax mmq	Ay mmq	C	Cs
1	-0.16	11.36	-2.24	-0.00	1.24	0.16	3142	3142	(4+5)-III-1	>100
2	-2.00	-20.14	-4.72	0.00	-1.87	0.50	3142	3142	2	>100
3	-1.20	-28.23	-2.24	0.08	-2.54	0.33	3142	3142	2	92
4	-0.88	-34.16	0.19	0.04	-3.02	0.17	3142	3142	2	83
5	-0.61	-37.76	2.55	0.05	-3.31	0.02	3142	3142	2	80
6	-0.53	-38.73	4.71	0.03	-3.39	-0.17	3142	3142	2	74
7	-0.41	-36.86	7.07	0.04	-3.24	-0.33	3142	3142	2	74
8	0.26	-24.62	-5.60	-0.06	-2.46	-0.10	3142	3142	1	>100
9	1.35	18.96	-8.84	0.34	1.97	-1.18	3142	3142	(4+5)-III-2	80
10	-1.01	-21.35	-1.06	-0.30	-1.98	-1.04	3142	3142	2	86
11	-0.93	-29.27	0.47	-0.30	-2.63	-0.49	3142	3142	2	84
12	-1.28	-34.84	2.06	-0.27	-3.09	0.04	3142	3142	2	84
13	-1.27	-38.23	3.46	-0.25	-3.37	0.53	3142	3142	2	68
14	-1.24	-39.20	4.59	-0.23	-3.46	1.01	3142	3142	2	59
15	-1.23	-37.11	5.30	-0.22	-3.29	1.45	3142	3142	2	56
16	-1.31	-34.60	9.20	-0.12	-2.33	1.40	3142	3142	2	71
Massimi/minimi										
1							3142			
1								3142		
15										56

Muro [Platea]: 3 - Nodi: [12-21-2-13]Pann=8Spess.=50 cm, Terreno=Terreno1, ,Criterio=CLS_Muri_ND,
Materiale=C35/45, $\zeta_e=56.663$ [(4+5)-III-4] : **Verificato**

Armatura a maglia doppia

Pannello	Nx kN	Ny kN	Nxy kN	Mx kN*m	My kN*m	Mxy kN*m	Ax mmq	Ay mmq	C	Cs
1	-1.03	-19.86	8.71	-0.05	-2.52	-0.30	3142	3142	2	93
2	-1.81	-1.56	13.37	0.12	-0.35	-1.25	3142	3142	2	>100
3	-4.17	28.91	16.31	-0.12	2.08	-1.65	3142	3142	2	68
4	9.85	63.38	14.52	0.10	6.68	-0.62	3142	3142	2	33
5	0.23	-20.07	8.56	-0.23	-2.53	1.84	3142	3142	2	60
6	1.03	-2.47	4.64	-0.24	-0.42	2.87	3142	3142	2	78
7	-0.59	28.21	3.78	-0.35	2.02	3.53	3142	3142	2	45
8	9.39	67.58	14.49	1.85	7.06	3.07	3142	3142	2	24
Massimi/minimi										
1							3142			
1								3142		
8										24

Muro [Platea]: 4 - Nodi: [13-2-23-14]Pann=4Spess.=50 cm, Terreno=Terreno1, ,Criterio=CLS_Muri_ND,
Materiale=C35/45, $\zeta_e=44.305$ [(4+5)-I-2] : **Verificato**

Armatura a maglia doppia

Pannello	Nx kN	Ny kN	Nxy kN	Mx kN*m	My kN*m	Mxy kN*m	Ax mmq	Ay mmq	C	Cs
1	5.13	69.10	-5.56	-0.20	6.98	-0.03	3142	3142	2	35
2	1.02	72.29	-6.78	-0.53	4.64	0.29	3142	3142	2	49
3	19.95	81.44	-6.70	2.59	7.94	-1.39	3142	3142	2	26
4	1.23	68.16	-6.03	0.42	4.68	-0.79	3142	3142	2	45

**POTENZIAMENTO DELL'IMPIANTO DEPURATIVO E DEL
RECAPITO FINALE DEL COMUNE DI SQUINZANO (LE)
PROGETTO DEFINITIVO**

Tabulati di calcolo strutturale- Pre-Ispessitore dinamico

R.37.1

Maggio 2021

Pagina 38 di 81

Pannello	Nx	Ny	Nxy	Mx	My	Mxy	Ax	Ay	C	Cs
										Massimi/minimi
1							3142			
1								3142		
3										26

Muro [Platea]: 5 - Nodi: [14-23-3-15]Pann=20Spess.=50 cm, Terreno=Terrenol, ,Criterio=CLS_Muri_ND,
Materiale=C35/45, $\zeta_e=38.195$ [(4+5)-I-4] : **Verificato**


Armatura a maglia doppia

Pannello	Nx	Ny	Nxy	Mx	My	Mxy	Ax	Ay	C	Cs
	kN	kN	kN	kN*m	kN*m	kN*m	mmq	mmq		
1	-0.99	48.71	-5.17	0.11	4.62	0.23	3142	3142	2	51
2	-0.31	34.48	-5.46	0.01	2.64	0.59	3142	3142	2	78
3	0.08	29.25	-7.38	-0.06	2.35	0.30	3142	3142	1	95
4	0.19	26.07	-5.66	-0.07	2.10	0.28	3142	3142	1	>100
5	0.18	21.57	-3.97	-0.08	1.72	0.29	3142	3142	1	>100
6	0.17	15.76	-2.34	-0.09	1.23	0.28	3142	3142	1	>100
7	0.10	9.18	-0.71	-0.09	0.67	0.24	3142	3142	1	>100
8	0.34	9.60	3.12	-0.04	0.76	-0.12	3142	3142	(4+5)-I-3	>100
9	-1.14	12.43	4.97	-0.08	0.93	-0.26	3142	3142	(4+5)-III-4	>100
10	2.78	13.84	5.94	-0.02	1.48	0.07	3142	3142	(4+5)-I-4	>100
11	-1.06	46.85	-4.03	-0.14	4.45	-1.06	3142	3142	2	45
12	-0.80	31.11	-8.29	-0.08	2.42	-2.05	3142	3142	1	56
13	-0.61	28.54	-6.62	0.00	2.31	-1.58	3142	3142	1	65
14	-0.43	25.43	-4.39	0.04	2.07	-1.20	3142	3142	1	77
15	-0.32	20.96	-2.26	0.06	1.70	-0.85	3142	3142	1	99
16	-0.17	15.20	-0.26	0.07	1.21	-0.51	3142	3142	1	>100
17	0.22	8.98	4.04	0.07	0.73	0.80	3142	3142	(4+5)-I-4	>100
18	0.58	8.83	3.76	0.05	0.69	0.90	3142	3142	(4+5)-V-4	>100
19	0.41	-11.59	6.92	0.04	-0.99	1.09	3142	3142	(4+5)-V-2	>100
20	1.79	21.48	10.63	0.48	2.13	1.34	3142	3142	(4+5)-I-4	73
										Massimi/minimi
1							3142			
1								3142		
11										45

Muro [Platea]: 6 - Nodi: [1-26-27-21]Pann=16Spess.=50 cm, Terreno=Terrenol, ,Criterio=CLS_Muri_ND,
Materiale=C35/45, $\zeta_e=45.870$ [(4+5)-III-1] : **Verificato**

Armatura a maglia doppia

Pannello	Nx	Ny	Nxy	Mx	My	Mxy	Ax	Ay	C	Cs
	kN	kN	kN	kN*m	kN*m	kN*m	mmq	mmq		
1	-21.56	-9.20	-15.05	-1.64	-0.46	-1.09	3142	3142	(4+5)-VIII-4	96
2	-5.53	-19.22	-7.51	-0.34	-1.59	-0.49	3142	3142	(4+5)-VII-4	>100
3	-10.19	-27.42	-3.06	-0.14	-2.42	0.12	3142	3142	2	>100
4	-9.22	-32.61	1.91	-0.18	-2.95	0.41	3142	3142	2	79
5	-8.49	-36.00	6.75	-0.17	-3.28	0.63	3142	3142	2	68
6	-7.73	-37.29	11.24	-0.12	-3.40	0.79	3142	3142	2	63
7	-7.02	-36.50	15.01	-0.04	-3.18	0.93	3142	3142	2	64
8	1.99	-24.88	-16.12	0.01	-2.33	-1.27	3142	3142	1	73
9	-21.28	-9.18	-4.69	-2.25	-0.06	-0.46	3142	3142	2	97
10	-16.74	-16.48	-0.20	-2.37	-1.49	-0.63	3142	3142	2	87
11	-14.98	-23.20	3.71	-2.02	-2.25	-0.18	3142	3142	2	>100
12	-13.72	-28.64	6.96	-1.81	-2.77	0.29	3142	3142	2	86
13	-12.50	-32.44	9.72	-1.67	-3.12	0.77	3142	3142	2	68
14	-11.28	-34.38	11.85	-1.56	-3.31	1.20	3142	3142	2	59
15	-9.91	-34.03	13.75	-1.43	-3.13	1.55	3142	3142	2	56
16	5.05	-26.16	-18.10	0.51	-2.41	-1.53	3142	3142	1	67
										Massimi/minimi
1							3142			
1								3142		
15										56

	POTENZIAMENTO DELL'IMPIANTO DEPURATIVO E DEL RECAPITO FINALE DEL COMUNE DI SQUINZANO (LE) PROGETTO DEFINITIVO <u>Tabulati di calcolo strutturale- Pre-Ispessitore dinamico</u>	R.37.1
		Maggio 2021
		Pagina 39 di 81

Muro [Platea]: 7 - Nodi: [21-27-28-2]Pann=8Spess.=50 cm, Terreno=Terrenol, ,Criterio=CLS_Muri_ND,
Materiale=C35/45, $\zeta_e=69.122$ [(4+5)-II-3] : **Verificato**

Armatura a maglia doppia

Pannello	Nx kN	Ny kN	Nxy kN	Mx kN*m	My kN*m	Mxy kN*m	Ax mmq	Ay mmq	C	Cs
1	-5.66	-14.93	19.78	-0.34	-3.01	1.17	3142	3142	2	62
2	-1.06	-9.88	-16.29	-0.02	-1.25	-2.04	3142	3142	1	79
3	-9.07	23.11	26.04	0.48	2.27	0.79	3142	3142	2	82
4	-20.54	52.44	23.42	-0.61	6.70	0.58	3142	3142	2	34
5	-7.68	-15.13	12.83	-1.21	-3.05	1.86	3142	3142	2	53
6	-6.84	0.03	7.99	-1.39	-0.71	2.30	3142	3142	2	70
7	-8.35	20.47	5.58	-1.89	1.69	2.39	3142	3142	2	60
8	-16.26	41.05	6.50	-1.90	5.55	1.15	3142	3142	2	37
Massimi/minimi										
1							3142			
1								3142		
4										34

Muro [Platea]: 8 - Nodi: [2-28-29-23]Pann=4Spess.=50 cm, Terreno=Terrenol, ,Criterio=CLS_Muri_ND,
Materiale=C35/45, $\zeta_e=52.504$ [(4+5)-IV-1] : **Verificato**

Armatura a maglia doppia

Pannello	Nx kN	Ny kN	Nxy kN	Mx kN*m	My kN*m	Mxy kN*m	Ax mmq	Ay mmq	C	Cs
1	-22.16	67.61	-12.57	-1.34	6.13	-0.48	3142	3142	2	37
2	-11.32	61.74	-8.11	-0.49	4.77	-1.34	3142	3142	2	40
3	-20.71	57.34	-0.93	-2.16	4.81	0.35	3142	3142	2	48
4	-8.96	35.35	-25.29	-0.80	3.13	-2.17	3142	3142	1	47
Massimi/minimi										
1							3142			
1								3142		
1										37

Muro [Platea]: 9 - Nodi: [23-29-30-3]Pann=20Spess.=50 cm, Terreno=Terrenol, ,Criterio=CLS_Muri_ND,
Materiale=C35/45, $\zeta_e=51.590$ [(4+5)-VI-3] : **Verificato**

Armatura a maglia doppia

Pannello	Nx kN	Ny kN	Nxy kN	Mx kN*m	My kN*m	Mxy kN*m	Ax mmq	Ay mmq	C	Cs
1	-6.61	45.16	-9.81	-0.41	4.43	-0.82	3142	3142	2	47
2	2.45	32.49	-19.60	-1.08	2.63	-1.79	3142	3142	1	57
3	5.34	30.54	-15.66	-1.30	2.43	-1.28	3142	3142	1	68
4	7.10	27.54	-11.79	-1.43	2.15	-0.79	3142	3142	1	86
5	8.14	23.20	-7.97	-1.49	1.74	-0.34	3142	3142	1	>100
6	4.68	8.54	7.98	-0.94	0.44	0.83	3142	3142	3	>100
7	3.99	2.71	10.83	-0.91	-0.09	1.03	3142	3142	2	>100
8	8.59	5.68	2.73	-1.37	0.05	0.65	3142	3142	1	>100
9	3.94	-8.31	12.95	-0.70	-0.90	1.28	3142	3142	(4+5)-V-2	>100
10	-12.61	-4.06	18.15	-1.48	-0.41	1.70	3142	3142	(4+5)-VI-2	82
11	-5.10	37.47	-21.88	0.12	3.32	-2.24	3142	3142	1	45
12	-1.24	35.89	-18.05	1.21	3.25	-1.90	3142	3142	1	49
13	1.25	34.21	-13.45	1.87	3.19	-1.50	3142	3142	1	53
14	2.89	31.08	-8.26	2.29	2.96	-1.08	3142	3142	1	62
15	4.10	26.57	-3.25	2.53	2.57	-0.69	3142	3142	1	77
16	4.95	20.89	1.35	2.65	2.05	-0.31	3142	3142	1	86
17	5.67	14.50	5.30	2.68	1.44	0.07	3142	3142	1	93
18	6.59	8.13	8.06	2.60	0.79	0.43	3142	3142	1	84
19	7.13	2.78	8.37	2.30	0.20	0.68	3142	3142	1	86
20	13.97	-0.93	5.98	1.46	0.10	0.76	3142	3142	(4+5)-II-1	>100
Massimi/minimi										
1							3142			
1								3142		
11										45

Muro [Platea]: 10 - Nodi: [20-25-26-1]Pann=4Spess.=50 cm, Terreno=Terrenol, ,Criterio=CLS_Muri_ND,
Materiale=C35/45, $\zeta_e=41.955$ [(4+5)-IV-3] : **Verificato**

POTENZIAMENTO DELL'IMPIANTO DEPURATIVO E DEL RECAPITO FINALE DEL COMUNE DI SQUINZANO (LE) PROGETTO DEFINITIVO

Tabulati di calcolo strutturale- Pre-Ispessitore dinamico

R.37.1

Maggio 2021

Pagina 40 di 81

Armatura a maglia doppia

Pannello	Nx	Ny	Nxy	Mx	My	Mxy	Ax	Ay	C	Cs
	kN	kN	kN	kN*m	kN*m	kN*m	mmq	mmq		
1	-16.80	-0.46	1.97	-1.35	0.03	0.22	3142	3142	(4+5)-IV-2	>100
2	-25.11	0.20	6.53	-2.07	-0.04	0.49	3142	3142	(4+5)-IV-2	>100
3	-22.68	-2.39	-3.03	-2.33	-0.02	0.24	3142	3142	2	>100
4	-23.29	0.14	-1.93	-2.38	-0.28	-0.71	3142	3142	2	85
Massimi/minimi										
1							3142			
1								3142		
4										85

Muro [Platea]: 11 - Nodi: [26-33-34-27]Pann=16Spess.=50 cm, Terreno=Terreno1, ,Criterio=CLS_Muri_ND,
Materiale=C35/45,ζ_e=144.289 [(4+5)-VIII-1] : **Verificato**

Armatura a maglia doppia

Pannello	Nx	Ny	Nxy	Mx	My	Mxy	Ax	Ay	C	Cs
	kN	kN	kN	kN*m	kN*m	kN*m	mmq	mmq		
1	-30.74	-7.90	-1.69	-2.34	-0.16	0.05	3142	3142	2	>100
2	-28.63	-14.01	-0.15	-2.04	-1.03	0.23	3142	3142	2	>100
3	-25.89	-20.10	2.97	-1.88	-1.72	0.51	3142	3142	2	>100
4	-23.77	-25.21	6.92	-1.75	-2.21	0.80	3142	3142	2	87
5	-22.22	-29.13	11.13	-1.58	-2.58	1.11	3142	3142	2	71
6	-21.22	-31.85	14.95	-1.33	-2.82	1.41	3142	3142	2	62
7	-21.21	-33.36	17.50	-0.99	-2.91	1.57	3142	3142	2	59
8	13.21	-33.43	-18.93	0.87	-2.43	-1.55	3142	3142	1	66
9	-34.58	-6.27	3.88	-2.99	-0.11	0.28	3142	3142	2	81
10	-31.80	-11.24	7.00	-2.97	-0.90	0.27	3142	3142	2	81
11	-29.83	-16.37	9.55	-2.78	-1.46	0.47	3142	3142	2	81
12	-28.22	-20.79	12.36	-2.62	-1.89	0.78	3142	3142	2	77
13	-26.69	-24.45	15.46	-2.53	-2.22	1.16	3142	3142	2	71
14	-24.77	-27.75	18.62	-2.55	-2.51	1.59	3142	3142	2	63
15	-22.27	-31.31	20.83	-2.69	-2.88	2.00	3142	3142	2	54
16	-25.35	-36.67	21.44	-2.55	-3.00	1.71	3142	3142	2	56
Massimi/minimi										
1							3142			
1								3142		
15										54

Muro [Platea]: 12 - Nodi: [28-35-36-29]Pann=4Spess.=50 cm, Terreno=Terreno1, ,Criterio=CLS_Muri_ND,
Materiale=C35/45,ζ_e=87.931 [(4+5)-VIII-1] : **Verificato**

Armatura a maglia doppia

Pannello	Nx	Ny	Nxy	Mx	My	Mxy	Ax	Ay	C	Cs
	kN	kN	kN	kN*m	kN*m	kN*m	mmq	mmq		
1	0.57	40.70	-20.39	-0.89	2.09	-2.85	3142	3142	1	50
2	0.68	38.54	-24.00	-0.58	4.32	-1.35	3142	3142	1	44
3	3.62	56.76	11.63	0.78	4.56	0.35	3142	3142	2	50
4	2.03	54.59	12.85	0.77	4.85	1.77	3142	3142	2	37
Massimi/minimi										
1							3142			
1								3142		
4										37

Muro [Platea]: 13 - Nodi: [29-36-37-30]Pann=20Spess.=50 cm, Terreno=Terreno1, ,Criterio=CLS_Muri_ND,
Materiale=C35/45,ζ_e=67.530 [(4+5)-VI-3] : **Verificato**

Armatura a maglia doppia

Pannello	Nx	Ny	Nxy	Mx	My	Mxy	Ax	Ay	C	Cs
	kN	kN	kN	kN*m	kN*m	kN*m	mmq	mmq		
1	15.92	47.44	-10.87	-1.52	2.65	-2.50	3142	3142	1	48
2	34.73	45.38	-11.12	-2.65	3.35	-1.91	3142	3142	1	47
3	44.22	43.32	-9.41	-2.54	3.28	-1.33	3142	3142	1	54
4	49.89	40.59	-7.32	-2.48	2.95	-0.75	3142	3142	1	67
5	53.11	36.37	-4.68	-2.41	2.48	-0.23	3142	3142	1	92
6	54.68	30.85	-1.69	-2.33	1.93	0.25	3142	3142	1	95
7	55.00	24.46	1.47	-2.21	1.31	0.70	3142	3142	1	85
8	54.07	17.75	4.44	-1.97	0.66	1.10	3142	3142	1	80
9	51.54	11.60	6.11	-1.50	-0.03	1.36	3142	3142	1	86
10	26.30	1.91	6.49	1.14	-0.13	1.12	3142	3142	(4+5)-II-1	>100

**POTENZIAMENTO DELL'IMPIANTO DEPURATIVO E DEL
RECAPITO FINALE DEL COMUNE DI SQUINZANO (LE)
PROGETTO DEFINITIVO**

Tabulati di calcolo strutturale- Pre-Ispessitore dinamico

R.37.1

Maggio 2021

Pagina 41 di 81

Pannello	Nx	Ny	Nxy	Mx	My	Mxy	Ax	Ay	C	Cs
11	30.15	51.25	-0.89	5.09	3.41	-0.92	3142	3142	1	42
12	35.12	46.50	-8.70	8.55	4.98	-0.44	3142	3142	1	28
13	42.11	46.20	-7.72	9.85	5.15	-0.50	3142	3142	1	24
14	46.55	44.12	-3.98	10.62	4.94	-0.39	3142	3142	1	23
15	49.38	40.20	0.32	11.03	4.53	-0.22	3142	3142	1	22
16	50.91	34.75	4.59	11.18	3.99	-0.00	3142	3142	1	22
17	51.53	28.22	8.55	11.12	3.36	0.26	3142	3142	1	22
18	51.87	20.96	11.73	10.80	2.62	0.57	3142	3142	1	22
19	53.06	13.29	12.59	10.17	1.75	0.87	3142	3142	1	22
20	61.24	9.42	4.77	7.85	0.29	1.47	3142	3142	1	26
Massimi/minimi										
1							3142			
1								3142		
17										22

Muro [Platea]: 14 - Nodi: [27-34-35-28]Pann=8Spess.=50 cm, Terreno=Terrenol, ,Criterio=CLS_Muri_ND,
Materiale=C35/45,ζ_e=190.175 [(4+5)-VIII-1] : **Verificato**

Armatura a maglia doppia

Pannello	Nx	Ny	Nxy	Mx	My	Mxy	Ax	Ay	C	Cs
	kN	kN	kN	kN*m	kN*m	kN*m	mmq	mmq		
1	7.12	-18.85	-21.56	0.46	-3.79	-2.51	3142	3142	1	41
2	-0.46	-9.77	-18.67	0.06	-1.79	-3.68	3142	3142	1	47
3	-0.70	3.45	-16.74	-0.66	0.10	-4.14	3142	3142	1	54
4	-2.28	13.25	-23.28	-0.36	4.39	-3.12	3142	3142	1	34
5	11.70	-23.19	-26.83	0.53	-4.30	-2.28	3142	3142	1	40
6	-0.92	-14.22	-29.11	-0.42	-2.17	-1.26	3142	3142	1	76
7	-4.70	17.77	-3.97	0.51	1.71	1.04	3142	3142	2	92
8	3.50	16.98	-23.65	1.30	4.88	-1.85	3142	3142	1	38
Massimi/minimi										
1							3142			
1								3142		
4										34

Muro [Platea]: 15 - Nodi: [25-32-33-26]Pann=4Spess.=50 cm, Terreno=Terrenol, ,Criterio=CLS_Muri_ND,
Materiale=C35/45,ζ_e=120.883 [(4+5)-VIII-1] : **Verificato**


Armatura a maglia doppia

Pannello	Nx	Ny	Nxy	Mx	My	Mxy	Ax	Ay	C	Cs
	kN	kN	kN	kN*m	kN*m	kN*m	mmq	mmq		
1	-31.10	-0.55	-0.72	-2.52	0.09	0.03	3142	3142	2	>100
2	-31.59	-1.41	-0.73	-2.58	-0.23	-0.14	3142	3142	2	97
3	-35.27	-0.23	0.71	-2.99	0.01	0.14	3142	3142	2	84
4	-35.62	-1.56	2.62	-3.04	-0.18	0.14	3142	3142	2	83
Massimi/minimi										
1							3142			
1								3142		
4										83

Muro [Platea]: 16 - Nodi: [33-40-41-34]Pann=16Spess.=50 cm, Terreno=Terrenol, ,Criterio=CLS_Muri_ND,
Materiale=C35/45,ζ_e=253.443 [(4+5)-VIII-1] : **Verificato**

Armatura a maglia doppia

Pannello	Nx	Ny	Nxy	Mx	My	Mxy	Ax	Ay	C	Cs
	kN	kN	kN	kN*m	kN*m	kN*m	mmq	mmq		
1	-36.86	-5.03	6.12	-3.17	-0.18	0.57	3142	3142	2	71
2	-34.77	-9.23	7.36	-3.11	-0.77	0.80	3142	3142	2	68
3	-32.88	-13.58	9.53	-2.96	-1.20	0.95	3142	3142	2	67
4	-31.25	-17.17	12.34	-2.89	-1.53	1.14	3142	3142	2	65
5	-30.13	-19.88	15.82	-2.84	-1.76	1.39	3142	3142	2	62
6	-29.86	-21.79	20.01	-2.77	-1.91	1.73	3142	3142	2	59
7	-32.48	-23.18	24.82	-2.26	-1.99	2.34	3142	3142	2	57
8	-46.38	-23.83	30.34	-3.35	-1.86	2.77	3142	3142	2	44
9	-38.10	-4.29	9.24	-3.01	-0.11	0.65	3142	3142	2	72
10	-36.68	-8.08	11.46	-2.84	-0.62	0.77	3142	3142	2	73
11	-35.02	-11.55	13.10	-2.71	-0.99	0.88	3142	3142	2	74
12	-33.96	-14.26	15.02	-2.56	-1.23	1.08	3142	3142	2	73
13	-33.51	-15.81	17.42	-2.48	-1.36	1.34	3142	3142	2	69
14	-33.81	-15.85	20.34	-2.55	-1.35	1.67	3142	3142	2	63
15	-34.82	-13.02	22.67	-3.37	-1.16	2.17	3142	3142	2	48

	POTENZIAMENTO DELL'IMPIANTO DEPURATIVO E DEL RECAPITO FINALE DEL COMUNE DI SQUINZANO (LE) PROGETTO DEFINITIVO <u>Tabulati di calcolo strutturale- Pre-Ispessitore dinamico</u>								R.37.1	
									Maggio 2021	
									Pagina 42 di 81	

Pannello	Nx	Ny	Nxy	Mx	My	Mxy	Ax	Ay	C	Cs
16	-35.38	-1.95	14.15	-3.45	-0.19	1.35	3142	3142	2	55
Massimi/minimi										
1							3142			
1								3142		
8										44

Muro [Platea]: 17 - Nodi: [35-42-43-36]Pann=4Spess.=50 cm, Terreno=Terrenol, ,Criterio=CLS_Muri_ND,
Materiale=C35/45, $\zeta_e=162.220$ [(4+5)-VIII-1] : **Verificato**

Armatura a maglia doppia

Pannello	Nx	Ny	Nxy	Mx	My	Mxy	Ax	Ay	C	Cs
	kN	kN	kN	kN*m	kN*m	kN*m	mmq	mmq		
1	93.25	20.56	25.35	5.53	0.91	0.57	3142	3142	1	39
2	86.74	31.28	13.86	5.29	2.89	3.01	3142	3142	1	29
3	116.17	4.52	8.26	11.68	-0.69	-0.93	3142	3142	1	19
4	121.83	3.71	5.66	12.32	1.90	2.67	3142	3142	1	16
Massimi/minimi										
1							3142			
1								3142		
4										16

Muro [Platea]: 18 - Nodi: [36-43-44-37]Pann=20Spess.=50 cm, Terreno=Terrenol, ,Criterio=CLS_Muri_ND,
Materiale=C35/45, $\zeta_e=243.830$ [(4+5)-VI-3] : **Verificato**


Armatura a maglia doppia

Pannello	Nx	Ny	Nxy	Mx	My	Mxy	Ax	Ay	C	Cs
	kN	kN	kN	kN*m	kN*m	kN*m	mmq	mmq		
1	95.68	46.45	18.61	5.26	2.27	0.26	3142	3142	1	43
2	49.69	37.72	27.32	3.49	3.33	1.96	3142	3142	3	45
3	55.98	33.63	21.76	4.29	2.97	1.64	3142	3142	3	42
4	61.27	29.18	18.09	4.71	2.52	1.50	3142	3142	3	39
5	127.93	53.20	0.87	5.81	4.14	0.23	3142	3142	1	38
6	129.46	47.83	1.53	5.94	3.63	0.55	3142	3142	1	36
7	129.17	41.22	2.62	5.98	3.04	0.88	3142	3142	1	34
8	127.16	33.73	3.70	6.00	2.40	1.19	3142	3142	1	32
9	123.72	25.45	3.70	6.07	1.57	1.37	3142	3142	1	31
10	117.39	14.30	1.50	7.42	-0.05	1.43	3142	3142	1	26
11	121.12	36.71	14.13	12.48	2.04	0.95	3142	3142	1	17
12	115.61	49.88	3.13	14.57	5.15	1.26	3142	3142	1	15
13	120.58	55.98	1.40	14.88	5.79	0.67	3142	3142	1	15
14	124.43	56.71	2.47	15.28	5.77	0.37	3142	3142	1	15
15	127.11	53.99	4.37	15.52	5.45	0.20	3142	3142	1	15
16	128.30	48.97	6.44	15.60	4.96	0.13	3142	3142	1	15
17	127.98	42.42	8.51	15.51	4.36	0.11	3142	3142	1	15
18	126.51	34.66	10.41	15.19	3.69	0.12	3142	3142	1	15
19	125.09	25.40	11.50	14.68	2.78	0.19	3142	3142	1	16
20	127.73	17.80	5.20	12.74	0.58	0.73	3142	3142	1	17
Massimi/minimi										
1							3142			
1								3142		
16										15

Muro [Platea]: 19 - Nodi: [32-39-40-33]Pann=4Spess.=50 cm, Terreno=Terrenol, ,Criterio=CLS_Muri_ND,
Materiale=C35/45, $\zeta_e=235.513$ [(4+5)-VIII-1] : **Verificato**

Armatura a maglia doppia

Pannello	Nx	Ny	Nxy	Mx	My	Mxy	Ax	Ay	C	Cs
	kN	kN	kN	kN*m	kN*m	kN*m	mmq	mmq		
1	-36.92	-0.34	2.51	-3.27	0.00	0.04	3142	3142	2	80
2	-37.33	-0.83	3.30	-3.32	-0.15	0.51	3142	3142	2	69
3	-38.57	-0.40	3.05	-3.00	0.05	0.06	3142	3142	2	86
4	-38.93	-0.91	5.04	-3.05	-0.11	0.65	3142	3142	2	72
Massimi/minimi										
1							3142			
1								3142		
2										69

	POTENZIAMENTO DELL'IMPIANTO DEPURATIVO E DEL RECAPITO FINALE DEL COMUNE DI SQUINZANO (LE) PROGETTO DEFINITIVO <u>Tabulati di calcolo strutturale- Pre-Ispessitore dinamico</u>	R.37.1
		Maggio 2021
		Pagina 43 di 81

Muro [Platea]: 20 - Nodi: [40-47-48-41]Pann=16Spess.=50 cm, Terreno=Terrenol, ,Criterio=CLS_Muri_ND,
Materiale=C35/45, $\zeta_e=104.755$ [(4+5)-VII-1] : **Verificato**

Armatura a maglia doppia

Pannello	Nx kN	Ny kN	Nxy kN	Mx kN*m	My kN*m	Mxy kN*m	Ax mmq	Ay mmq	C	Cs
1	-35.92	-3.67	10.97	-3.31	-0.19	0.86	3142	3142	2	63
2	-33.65	-6.45	12.08	-3.39	-0.64	1.11	3142	3142	2	59
3	-32.20	-9.32	13.66	-3.25	-0.94	1.16	3142	3142	2	60
4	-30.81	-11.05	15.54	-3.20	-1.13	1.23	3142	3142	2	60
5	-30.05	-11.31	17.78	-3.19	-1.18	1.33	3142	3142	2	58
6	-30.74	-9.77	19.76	-3.16	-1.02	1.49	3142	3142	2	57
7	-33.47	-6.56	18.72	-2.81	-0.49	1.64	3142	3142	2	59
8	-33.90	-3.10	11.42	-2.56	0.09	1.05	3142	3142	2	73
9	-36.02	-3.38	13.64	-2.65	-0.11	1.00	3142	3142	2	72
10	-35.29	-6.22	15.18	-2.36	-0.47	1.20	3142	3142	2	74
11	-33.49	-8.36	15.95	-2.25	-0.73	1.26	3142	3142	2	75
12	-32.24	-9.56	16.40	-2.09	-0.85	1.35	3142	3142	2	77
13	-31.41	-9.29	16.80	-1.96	-0.81	1.48	3142	3142	2	77
14	-30.55	-7.32	16.76	-1.97	-0.60	1.62	3142	3142	2	73
15	-28.54	-3.82	14.81	-2.35	-0.28	1.69	3142	3142	2	65
16	-27.36	-1.08	8.96	-2.47	0.15	0.97	3142	3142	2	76
Massimi/minimi										
1							3142			
1								3142		
6										57

Muro [Platea]: 21 - Nodi: [42-49-50-43]Pann=4Spess.=50 cm, Terreno=Terrenol, ,Criterio=CLS_Muri_ND,
Materiale=C35/45, $\zeta_e=636.080$ [(4+5)-IV-3] : **Verificato**

Armatura a maglia doppia

Pannello	Nx kN	Ny kN	Nxy kN	Mx kN*m	My kN*m	Mxy kN*m	Ax mmq	Ay mmq	C	Cs
1	149.42	4.74	4.05	12.24	-0.57	0.10	3142	3142	1	18
2	152.02	8.04	7.11	12.68	1.61	0.55	3142	3142	1	17
3	146.83	4.15	-0.25	12.22	-0.49	0.02	3142	3142	1	19
4	148.88	10.70	-1.30	12.62	1.75	0.16	3142	3142	1	18
Massimi/minimi										
1							3142			
1								3142		
2										17

Muro [Platea]: 22 - Nodi: [43-50-51-44]Pann=20Spess.=50 cm, Terreno=Terrenol, ,Criterio=CLS_Muri_ND,
Materiale=C35/45, $\zeta_e=243.048$ [(4+5)-V-2] : **Verificato**

Armatura a maglia doppia

Pannello	Nx kN	Ny kN	Nxy kN	Mx kN*m	My kN*m	Mxy kN*m	Ax mmq	Ay mmq	C	Cs
1	150.62	35.59	11.75	12.49	1.76	0.72	3142	3142	1	17
2	148.62	49.84	12.49	12.62	4.48	0.41	3142	3142	1	17
3	149.33	57.93	9.42	13.00	5.41	0.35	3142	3142	1	17
4	151.77	59.60	6.59	13.34	5.50	0.46	3142	3142	1	16
5	153.70	57.21	4.40	13.58	5.22	0.56	3142	3142	1	16
6	154.35	52.35	2.73	13.66	4.76	0.66	3142	3142	1	16
7	153.47	45.92	1.36	13.59	4.19	0.75	3142	3142	1	16
8	151.05	38.23	0.11	13.36	3.54	0.85	3142	3142	1	16
9	147.74	29.31	-1.09	13.00	2.64	0.86	3142	3142	1	16
10	145.99	19.67	0.72	12.36	0.34	0.45	3142	3142	1	18
11	150.02	36.88	-0.32	12.27	1.96	0.52	3142	3142	1	18
12	147.48	50.94	2.39	12.12	4.46	1.09	3142	3142	1	17
13	149.48	57.92	5.53	12.03	5.26	1.03	3142	3142	1	17
14	152.33	59.13	7.25	12.11	5.28	0.77	3142	3142	1	18
15	154.39	56.58	7.95	12.19	4.98	0.50	3142	3142	1	18
16	155.06	51.69	8.09	12.20	4.51	0.25	3142	3142	1	18
17	154.14	45.30	7.99	12.11	3.95	0.01	3142	3142	1	19
18	151.73	37.69	7.84	11.94	3.30	-0.23	3142	3142	1	19
19	148.15	28.86	7.53	11.68	2.39	-0.39	3142	3142	1	19
20	144.78	19.27	5.54	11.54	0.26	-0.20	3142	3142	1	19
Massimi/minimi										
1							3142			
1								3142		
7										16

POTENZIAMENTO DELL'IMPIANTO DEPURATIVO E DEL RECAPITO FINALE DEL COMUNE DI SQUINZANO (LE) PROGETTO DEFINITIVO

Tabulati di calcolo strutturale- Pre-Ispessitore dinamico

R.37.1

Maggio 2021

Pagina 44 di 81

Muro [Platea]: 23 - Nodi: [46-53-54-47]Pann=4Spess.=50 cm, Terreno=Terreno1, ,Criterio=CLS_Muri_ND,
Materiale=C35/45, $\zeta_e=171.878$ [(4+5)-VI-2] : **Verificato**

Armatura a maglia doppia

Pannello	Nx kN	Ny kN	Nxy kN	Mx kN*m	My kN*m	Mxy kN*m	Ax mmq	Ay mmq	C	Cs
1	-31.60	0.02	5.61	-3.22	-0.04	0.09	3142	3142	2	80
2	-31.81	-0.42	8.40	-3.25	-0.14	1.19	3142	3142	2	59
3	-33.85	-0.41	5.76	-2.22	0.07	0.07	3142	3142	2	>100
4	-34.28	-0.83	9.63	-2.27	-0.03	1.29	3142	3142	2	74
Massimi/minimi										
1							3142			
1								3142		
2										59

Muro [Platea]: 24 - Nodi: [57-64-65-58]Pann=20Spess.=50 cm, Terreno=Terreno1, ,Criterio=CLS_Muri_ND,
Materiale=C35/45, $\zeta_e=220.209$ [(4+5)-II-4] : **Verificato**

Armatura a maglia doppia

Pannello	Nx kN	Ny kN	Nxy kN	Mx kN*m	My kN*m	Mxy kN*m	Ax mmq	Ay mmq	C	Cs
1	43.37	50.67	8.18	6.25	4.27	2.11	3142	3142	1	30
2	40.57	48.68	15.88	9.58	4.91	1.75	3142	3142	1	22
3	44.31	44.56	16.31	10.89	4.95	1.66	3142	3142	1	20
4	46.23	40.80	12.99	11.59	4.70	1.41	3142	3142	1	19
5	47.40	36.28	8.31	11.93	4.28	1.09	3142	3142	1	19
6	47.81	30.92	3.34	11.99	3.76	0.71	3142	3142	1	19
7	47.71	25.00	-1.33	11.81	3.17	0.31	3142	3142	1	20
8	47.69	18.79	-4.97	11.33	2.49	-0.12	3142	3142	1	22
9	49.09	12.49	-6.04	10.45	1.68	-0.56	3142	3142	1	22
10	60.42	8.77	1.86	7.93	0.22	-1.27	3142	3142	1	27
11	-56.42	13.11	40.29	-5.16	2.73	3.22	3142	3142	2	32
12	-56.16	1.16	41.66	-6.30	-0.23	2.98	3142	3142	2	29
13	-55.04	-9.48	38.09	-6.93	-1.50	2.74	3142	3142	2	28
14	-54.57	-17.09	31.87	-7.36	-2.16	2.32	3142	3142	2	28
15	-54.57	-21.89	24.48	-7.62	-2.55	1.80	3142	3142	2	28
16	-55.06	-24.15	16.82	-7.73	-2.72	1.25	3142	3142	2	30
17	-56.05	-24.03	9.51	-7.75	-2.69	0.74	3142	3142	2	32
18	-57.58	-21.64	3.24	-7.65	-2.46	0.31	3142	3142	2	34
19	-59.87	-17.29	-0.86	-7.43	-1.96	0.02	3142	3142	2	36
20	-65.63	-12.42	0.67	-6.53	-0.46	-0.27	3142	3142	2	40
Massimi/minimi										
1							3142			
1								3142		
5										19

Muro [Platea]: 25 - Nodi: [54-61-62-55]Pann=16Spess.=50 cm, Terreno=Terreno1, ,Criterio=CLS_Muri_ND,
Materiale=C35/45, $\zeta_e=67.263$ [(4+5)-V-2] : **Verificato**

POTENZIAMENTO DELL'IMPIANTO DEPURATIVO E DEL RECAPITO FINALE DEL COMUNE DI SQUINZANO (LE) PROGETTO DEFINITIVO

Tabulati di calcolo strutturale- Pre-Ispessitore dinamico

R.37.1

Maggio 2021

Pagina 45 di 81

Armatura a maglia doppia

Pannello	Nx kN	Ny kN	Nxy kN	Mx kN*m	My kN*m	Mxy kN*m	Ax mmq	Ay mmq	C	Cs
1	-27.57	-2.04	19.32	-2.80	-0.27	1.41	3142	3142	2	62
2	-24.16	-4.00	20.77	-2.94	-0.60	1.72	3142	3142	2	56
3	-22.44	-5.44	22.04	-2.70	-0.77	1.71	3142	3142	2	59
4	-20.26	-5.82	22.99	-2.46	-0.84	1.68	3142	3142	2	63
5	-17.97	-4.86	23.73	-2.19	-0.79	1.63	3142	3142	2	68
6	-15.57	-2.49	24.01	-1.82	-0.53	1.57	3142	3142	2	77
7	26.45	-23.90	14.02	2.85	-1.96	0.96	3142	3142	1	66
8	32.67	-27.89	22.67	3.10	-1.80	1.69	3142	3142	1	52
9	-26.77	-2.27	22.16	-1.74	-0.18	1.67	3142	3142	2	77
10	-26.08	-4.26	23.42	-1.28	-0.39	2.07	3142	3142	2	78
11	-22.86	-5.60	23.35	-1.13	-0.58	2.12	3142	3142	2	81
12	-20.07	-5.94	22.47	-0.96	-0.67	2.16	3142	3142	2	84
13	12.45	-17.17	17.48	0.44	-1.75	1.57	3142	3142	1	79
14	15.96	-20.53	18.66	0.61	-2.06	1.77	3142	3142	1	68
15	18.30	-24.08	22.36	0.86	-2.24	2.07	3142	3142	1	61
16	15.39	-27.80	29.66	1.04	-1.79	2.40	3142	3142	1	63
Massimi/minimi										
1							3142			
1								3142		
8										52

Muro [Platea]: 26 - Nodi: [56-63-64-57]Pann=4Spess.=50 cm, Terreno=Terrenol, ,Criterio=CLS_Muri_ND,
Materiale=C35/45,ζ_e=273.930 [(4+5)-IV-2] : **Verificato**

Armatura a maglia doppia

Pannello	Nx kN	Ny kN	Nxy kN	Mx kN*m	My kN*m	Mxy kN*m	Ax mmq	Ay mmq	C	Cs
1	-58.09	26.03	41.55	-4.85	1.79	3.61	3142	3142	2	32
2	-58.32	20.49	34.07	-4.83	2.09	2.82	3142	3142	2	35
3	-49.55	33.01	42.61	-4.13	3.06	3.57	3142	3142	2	35
4	-54.11	37.10	41.39	-4.53	2.78	3.47	3142	3142	2	34
Massimi/minimi										
1							3142			
1								3142		
1										32

Muro [Platea]: 27 - Nodi: [55-62-63-56]Pann=8Spess.=50 cm, Terreno=Terrenol, ,Criterio=CLS_Muri_ND,
Materiale=C35/45,ζ_e=66.446 [(4+5)-II-4] : **Verificato**

Armatura a maglia doppia

Pannello	Nx kN	Ny kN	Nxy kN	Mx kN*m	My kN*m	Mxy kN*m	Ax mmq	Ay mmq	C	Cs
1	17.45	-15.24	40.50	0.98	-4.00	3.68	3142	3142	1	34
2	0.17	-7.98	40.12	-0.33	-2.00	2.46	3142	3142	1	58
3	-9.12	20.11	33.13	0.03	2.20	2.79	3142	3142	2	51
4	10.21	17.42	31.26	1.85	5.56	2.57	3142	3142	1	31
5	9.51	-10.91	32.08	0.60	-3.52	3.27	3142	3142	1	38
6	2.76	-2.46	30.38	0.25	-1.47	4.52	3142	3142	1	43
7	-22.97	22.43	33.34	-2.60	2.20	3.48	3142	3142	2	43
8	2.77	14.99	34.58	0.23	5.10	4.02	3142	3142	1	28
Massimi/minimi										
1							3142			
1								3142		
8										28

Muro [Platea]: 28 - Nodi: [39-46-47-40]Pann=4Spess.=50 cm, Terreno=Terrenol, ,Criterio=CLS_Muri_ND,
Materiale=C35/45,ζ_e=388.869 [(4+5)-VII-1] : **Verificato**

POTENZIAMENTO DELL'IMPIANTO DEPURATIVO E DEL RECAPITO FINALE DEL COMUNE DI SQUINZANO (LE) PROGETTO DEFINITIVO

Tabulati di calcolo strutturale- Pre-Ispessitore dinamico

R.37.1

Maggio 2021

Pagina 46 di 81

Armatura a maglia doppia

Pannello	Nx	Ny	Nxy	Mx	My	Mxy	Ax	Ay	C	Cs
	kN	kN	kN	kN*m	kN*m	kN*m	mmq	mmq		
1	-36.04	-0.18	4.36	-3.36	-0.02	-0.02	3142	3142	2	78
2	-36.35	-0.65	5.51	-3.40	-0.14	0.93	3142	3142	2	61
3	-36.35	-0.44	5.14	-2.66	0.05	0.05	3142	3142	2	98
4	-36.65	-0.93	7.12	-2.69	-0.07	1.05	3142	3142	2	71
Massimi/minimi										
1							3142			
1								3142		
2										61

Muro [Platea]: 29 - Nodi: [49-56-57-50]Pann=4Spess.=50 cm, Terreno=Terrenol, ,Criterio=CLS_Muri_ND,
Materiale=C35/45,ζ_e=286.780 [(4+5)-VIII-4] : **Verificato**

Armatura a maglia doppia

Pannello	Nx	Ny	Nxy	Mx	My	Mxy	Ax	Ay	C	Cs
	kN	kN	kN	kN*m	kN*m	kN*m	mmq	mmq		
1	116.29	7.02	-6.10	11.73	-0.66	0.42	3142	3142	1	19
2	125.07	10.06	-5.01	12.47	2.59	-2.11	3142	3142	1	16
3	-70.04	1.37	17.38	-7.19	-0.84	2.06	3142	3142	2	29
4	97.39	40.18	-10.81	6.34	3.76	-1.98	3142	3142	1	29
Massimi/minimi										
1							3142			
1								3142		
2										16

Muro [Platea]: 30 - Nodi: [50-57-58-51]Pann=20Spess.=50 cm, Terreno=Terrenol, ,Criterio=CLS_Muri_ND,
Materiale=C35/45,ζ_e=72.150 [(4+5)-I-4] : **Verificato**

Armatura a maglia doppia

Pannello	Nx	Ny	Nxy	Mx	My	Mxy	Ax	Ay	C	Cs
	kN	kN	kN	kN*m	kN*m	kN*m	mmq	mmq		
1	123.08	40.46	-3.17	12.07	3.01	-0.23	3142	3142	1	19
2	117.55	51.04	8.34	13.45	4.89	0.10	3142	3142	1	17
3	119.51	55.86	10.61	13.63	5.38	0.62	3142	3142	1	16
4	121.80	55.65	9.48	13.98	5.35	0.82	3142	3142	1	16
5	123.35	52.38	7.00	14.19	5.04	0.85	3142	3142	1	15
6	123.84	47.20	4.13	14.25	4.57	0.81	3142	3142	1	15
7	123.16	40.76	1.28	14.16	4.01	0.74	3142	3142	1	16
8	121.66	33.20	-1.16	13.90	3.37	0.66	3142	3142	1	16
9	120.80	23.64	-2.90	13.67	2.53	0.61	3142	3142	1	16
10	121.42	15.23	0.85	12.16	0.74	0.04	3142	3142	1	19
11	104.83	49.70	-5.36	6.78	3.35	0.45	3142	3142	1	33
12	114.98	54.25	5.06	5.98	4.28	1.06	3142	3142	1	33
13	118.43	56.48	9.95	6.26	4.52	1.22	3142	3142	1	31
14	122.08	55.17	10.85	6.39	4.32	0.94	3142	3142	1	32
15	124.40	51.29	9.66	6.50	3.95	0.56	3142	3142	1	33
16	125.15	45.90	7.57	6.53	3.47	0.17	3142	3142	1	35
17	124.33	39.57	5.27	6.49	2.92	-0.20	3142	3142	1	35
18	122.13	32.51	3.36	6.45	2.33	-0.55	3142	3142	1	33
19	119.51	24.33	3.34	6.37	1.59	-0.64	3142	3142	1	33
20	117.11	12.17	3.67	7.54	0.13	-0.70	3142	3142	1	28
Massimi/minimi										
1							3142			
1								3142		
6										15

Muro [Platea]: 31 - Nodi: [47-54-55-48]Pann=16Spess.=50 cm, Terreno=Terrenol, ,Criterio=CLS_Muri_ND,
Materiale=C35/45,ζ_e=83.085 [(4+5)-VII-1] : **Verificato**

Armatura a maglia doppia

Pannello	Nx	Ny	Nxy	Mx	My	Mxy	Ax	Ay	C	Cs
	kN	kN	kN	kN*m	kN*m	kN*m	mmq	mmq		
1	-32.08	-2.89	14.94	-3.01	-0.23	1.22	3142	3142	2	62
2	-30.12	-5.11	16.66	-3.00	-0.55	1.45	3142	3142	2	59
3	-28.30	-7.47	17.70	-2.74	-0.76	1.41	3142	3142	2	63
4	-26.47	-8.22	18.55	-2.62	-0.85	1.36	3142	3142	2	66
5	-24.82	-7.30	19.34	-2.54	-0.80	1.28	3142	3142	2	69

POTENZIAMENTO DELL'IMPIANTO DEPURATIVO E DEL RECAPITO FINALE DEL COMUNE DI SQUINZANO (LE) PROGETTO DEFINITIVO

Tabulati di calcolo strutturale- Pre-Ispessitore dinamico

R.37.1

Maggio 2021

Pagina 47 di 81

Pannello	Nx	Ny	Nxy	Mx	My	Mxy	Ax	Ay	C	Cs
6	-23.35	-4.41	19.77	-2.48	-0.58	1.16	3142	3142	2	72
7	-21.97	-0.46	19.23	-2.23	-0.17	1.08	3142	3142	2	79
8	37.87	-5.11	1.19	2.32	0.41	-0.34	3142	3142	1	94
9	-32.43	-2.79	16.49	-2.36	-0.15	1.29	3142	3142	2	72
10	-30.94	-5.72	18.41	-2.11	-0.45	1.56	3142	3142	2	72
11	-28.65	-7.26	18.66	-2.02	-0.65	1.60	3142	3142	2	73
12	-26.63	-7.96	18.54	-1.83	-0.72	1.69	3142	3142	2	75
13	-24.73	-7.16	18.06	-1.62	-0.66	1.78	3142	3142	2	77
14	-22.76	-4.58	17.17	-1.39	-0.42	1.83	3142	3142	2	81
15	27.37	-16.83	0.25	2.76	-1.56	0.58	3142	3142	1	76
16	46.52	-12.84	-1.05	4.92	-0.24	-0.04	3142	3142	1	50
Massimi/minimi										
1							3142			
1								3142		
16										50

Muro [Platea]: 32 - Nodi: [53-60-61-54]Pann=4Spess.=50 cm, Terreno=Terreno1, ,Criterio=CLS_Muri_ND,
Materiale=C35/45, $\zeta_e=81.778$ [(4+5)-IV-2] : **Verificato**

Armatura a maglia doppia

Pannello	Nx	Ny	Nxy	Mx	My	Mxy	Ax	Ay	C	Cs
	kN	kN	kN	kN*m	kN*m	kN*m	mmq	mmq		
1	-28.34	0.02	7.52	-2.81	-0.04	-0.02	3142	3142	2	93
2	-28.44	-0.51	9.33	-2.82	-0.11	1.56	3142	3142	2	60
3	-27.56	-0.40	8.37	-1.84	0.05	0.05	3142	3142	2	>100
4	-27.76	-0.79	11.53	-1.86	-0.04	1.75	3142	3142	2	73
Massimi/minimi										
1							3142			
1								3142		
2										60

Muro [Platea]: 33 - Nodi: [64-71-72-65]Pann=20Spess.=50 cm, Terreno=Terreno1, ,Criterio=CLS_Muri_ND,
Materiale=C35/45, $\zeta_e=93.244$ [(4+5)-I-4] : **Verificato**

Armatura a maglia doppia

Pannello	Nx	Ny	Nxy	Mx	My	Mxy	Ax	Ay	C	Cs
	kN	kN	kN	kN*m	kN*m	kN*m	mmq	mmq		
1	-44.17	17.85	36.01	-4.55	2.94	3.29	3142	3142	2	34
2	-35.21	-0.20	29.78	-5.41	-0.22	3.73	3142	3142	2	29
3	-34.79	-13.33	26.52	-5.42	-1.80	3.41	3142	3142	2	30
4	-35.32	-22.61	23.07	-5.44	-2.63	2.81	3142	3142	2	32
5	-36.16	-28.25	18.70	-5.48	-3.06	2.10	3142	3142	2	35
6	-36.87	-30.56	13.76	-5.55	-3.23	1.35	3142	3142	2	38
7	-37.55	-29.79	8.85	-5.69	-3.14	0.62	3142	3142	2	42
8	-38.83	-25.95	4.55	-5.89	-2.77	0.01	3142	3142	2	45
9	-42.39	-18.77	1.63	-6.24	-1.97	-0.30	3142	3142	2	41
10	-52.67	-9.89	-2.99	-5.71	-0.39	0.09	3142	3142	2	46
11	-5.99	34.01	32.56	-1.16	3.12	3.01	3142	3142	1	41
12	0.89	29.28	29.91	-1.41	2.42	2.39	3142	3142	1	52
13	4.18	24.19	25.65	-1.46	1.86	1.85	3142	3142	1	68
14	-30.00	-27.33	30.55	-0.11	-2.43	1.79	3142	3142	2	62
15	-30.24	-33.66	22.62	-0.16	-2.94	1.42	3142	3142	2	61
16	-30.80	-36.10	14.42	-0.19	-3.11	1.01	3142	3142	2	64
17	-31.81	-34.83	6.38	-0.18	-2.96	0.58	3142	3142	2	75
18	-33.91	-29.85	-1.06	-0.24	-2.45	0.17	3142	3142	2	>100
19	3.07	-3.62	-2.02	-1.32	-0.71	-0.51	3142	3142	1	>100
20	-44.87	-7.50	-11.80	-2.26	0.15	-0.37	3142	3142	2	>100
Massimi/minimi										
1							3142			
1								3142		
2										29

Muro [Platea]: 34 - Nodi: [62-69-70-63]Pann=8Spess.=50 cm, Terreno=Terreno1, ,Criterio=CLS_Muri_ND,
Materiale=C35/45, $\zeta_e=75.495$ [(4+5)-II-4] : **Verificato**

Armatura a maglia doppia

Pannello	Nx	Ny	Nxy	Mx	My	Mxy	Ax	Ay	C	Cs
	kN	kN	kN	kN*m	kN*m	kN*m	mmq	mmq		
1	5.60	-13.75	32.47	0.40	-1.72	2.52	3142	3142	1	61
2	-14.12	20.28	24.90	-2.06	1.62	1.73	3142	3142	2	69

POTENZIAMENTO DELL'IMPIANTO DEPURATIVO E DEL RECAPITO FINALE DEL COMUNE DI SQUINZANO (LE) PROGETTO DEFINITIVO

Tabulati di calcolo strutturale- Pre-Ispessitore dinamico

R.37.1

Maggio 2021

Pagina 48 di 81

Pannello	Nx	Ny	Nxy	Mx	My	Mxy	Ax	Ay	C	Cs
3	-22.61	30.59	26.68	-3.29	2.66	1.94	3142	3142	2	50
4	-37.20	39.91	28.38	-3.93	3.22	2.64	3142	3142	2	40
5	2.21	-11.26	26.69	0.12	-1.48	2.48	3142	3142	1	66
6	-0.38	-2.53	27.55	-0.07	-0.58	2.96	3142	3142	1	73
7	-24.46	32.74	15.15	-0.56	3.16	1.13	3142	3142	2	58
8	-37.56	48.92	17.23	-2.29	4.29	1.57	3142	3142	2	42
Massimi/minimi										
1							3142			
1								3142		
4										40

Muro [Platea]: 35 - Nodi: [61-68-69-62]Pann=16Spess.=50 cm, Terreno=Terreno1, ,Criterio=CLS_Muri_ND,
Materiale=C35/45,ζ_e=57.971 [(4+5)-VIII-4] : **Verificato**

Armatura a maglia doppia

Pannello	Nx	Ny	Nxy	Mx	My	Mxy	Ax	Ay	C	Cs
	kN	kN	kN	kN*m	kN*m	kN*m	mmq	mmq		
1	-21.44	-1.95	24.96	-2.30	-0.11	1.98	3142	3142	2	61
2	-15.86	-4.72	27.03	-2.27	-0.49	2.48	3142	3142	2	55
3	-13.20	-6.66	26.97	-1.80	-0.72	2.38	3142	3142	2	62
4	-10.88	-6.83	26.20	-1.49	-0.78	2.23	3142	3142	2	70
5	-9.30	-5.67	25.53	-1.28	-0.68	2.08	3142	3142	2	77
6	6.85	-19.55	21.06	0.81	-1.74	2.03	3142	3142	1	69
7	6.97	-20.66	24.44	0.78	-1.88	2.18	3142	3142	1	64
8	6.91	-19.21	27.58	0.65	-1.72	2.29	3142	3142	1	65
9	-22.81	-2.02	29.06	-1.35	0.10	2.32	3142	3142	2	71
10	-15.29	-6.88	29.81	-0.46	-0.51	2.61	3142	3142	3	83
11	-11.44	-8.39	27.90	-0.28	-0.73	2.38	3142	3142	2	83
12	-9.19	-8.49	25.49	-0.22	-0.78	2.24	3142	3142	2	86
13	3.92	-15.48	21.72	0.08	-1.41	1.56	3142	3142	1	88
14	4.41	-17.61	22.95	0.10	-1.63	1.72	3142	3142	1	78
15	4.58	-18.24	24.23	0.14	-1.72	1.92	3142	3142	1	72
16	3.66	-17.31	25.54	0.20	-1.59	2.08	3142	3142	1	71
Massimi/minimi										
1							3142			
1								3142		
2										55

Muro [Platea]: 36 - Nodi: [63-70-71-64]Pann=4Spess.=50 cm, Terreno=Terreno1, ,Criterio=CLS_Muri_ND,
Materiale=C35/45,ζ_e=102.594 [(4+5)-IV-2] : **Verificato**


Armatura a maglia doppia

Pannello	Nx	Ny	Nxy	Mx	My	Mxy	Ax	Ay	C	Cs
	kN	kN	kN	kN*m	kN*m	kN*m	mmq	mmq		
1	-44.93	38.70	35.35	-4.16	3.68	2.54	3142	3142	2	40
2	-45.68	35.88	34.51	-4.38	2.41	3.52	3142	3142	2	34
3	-45.55	48.17	37.41	-3.23	4.74	2.57	3142	3142	2	34
4	-39.62	43.81	40.31	-2.88	3.05	3.80	3142	3142	2	36
Massimi/minimi										
1							3142			
1								3142		
2										34

Muro [Platea]: 37 - Nodi: [60-67-68-61]Pann=4Spess.=50 cm, Terreno=Terreno1, ,Criterio=CLS_Muri_ND,
Materiale=C35/45,ζ_e=49.253 [(4+5)-VIII-4] : **Verificato**

Armatura a maglia doppia

Pannello	Nx	Ny	Nxy	Mx	My	Mxy	Ax	Ay	C	Cs
	kN	kN	kN	kN*m	kN*m	kN*m	mmq	mmq		
1	-23.25	-0.01	9.42	-2.59	-0.06	0.09	3142	3142	2	98
2	-22.45	0.08	13.77	-2.53	-0.10	2.00	3142	3142	2	58
3	-26.67	0.37	8.57	-1.56	0.11	0.02	3142	3142	2	>100
4	-28.05	1.03	12.79	-1.68	0.17	1.90	3142	3142	2	73
Massimi/minimi										
1							3142			
1								3142		
2										58

	POTENZIAMENTO DELL'IMPIANTO DEPURATIVO E DEL RECAPITO FINALE DEL COMUNE DI SQUINZANO (LE) PROGETTO DEFINITIVO <u>Tabulati di calcolo strutturale- Pre-Ispessitore dinamico</u>	R.37.1
		Maggio 2021
		Pagina 49 di 81

Muro [Platea]: 38 - Nodi: [71-79-80-6-72]Pann=23Spess.=50 cm, Terreno=Terreno1, ,Criterio=CLS_Muri_ND,
Materiale=C35/45, $\zeta_e=27.708$ [(4+5)-V-3] : **Verificato**

Armatura a maglia doppia

Pannello	Nx kN	Ny kN	Nxy kN	Mx kN*m	My kN*m	Mxy kN*m	Ax mmq	Ay mmq	C	Cs
1	-4.17	-16.39	24.45	0.36	-1.82	-0.29	3142	3142	2	>100
2	-3.90	-28.23	18.88	0.37	-2.78	-0.14	3142	3142	2	90
3	-3.93	-35.10	13.49	0.36	-3.34	-0.00	3142	3142	2	79
4	-3.93	-37.50	8.02	0.38	-3.53	0.12	3142	3142	2	73
5	-4.10	-35.33	2.30	0.37	-3.36	0.24	3142	3142	2	73
6	-5.33	-26.73	-4.49	0.48	-2.81	0.34	3142	3142	2	84
7	-7.90	-12.96	-10.63	0.39	-2.03	0.74	3142	3142	2	94
8	-0.37	11.14	-5.77	0.31	1.50	0.36	3142	3142	(4+5)-V-4	>100
9	10.14	2.94	-26.55	1.67	3.60	-1.86	3142	3142	3	47
10	-35.48	1.78	-17.80	-2.37	2.97	-1.71	3142	3142	3	55
11	-29.19	-1.71	-9.76	-3.27	0.58	-2.18	3142	3142	2	48
12	-9.50	-16.16	-1.33	-2.29	-2.13	-1.84	3142	3142	2	63
13	-7.41	-28.17	1.94	-1.70	-3.09	-0.67	3142	3142	2	70
14	-7.29	-35.44	4.75	-1.43	-3.58	0.42	3142	3142	2	66
15	-6.76	-37.30	7.85	-1.39	-3.73	1.36	3142	3142	2	52
16	-6.51	-34.95	10.70	-1.36	-3.53	2.29	3142	3142	2	45
17	-6.38	-28.23	13.27	-1.36	-2.98	3.20	3142	3142	2	43
18	-6.75	-16.46	15.46	-1.41	-2.04	4.11	3142	3142	2	42
19	-7.14	0.29	18.34	-1.62	-0.51	5.01	3142	3142	2	39
20	-10.15	13.20	31.24	-1.16	3.83	4.47	3142	3142	2	31
21	-5.93	15.79	27.95	0.52	4.15	0.94	3142	3142	2	50
22	-0.52	26.24	19.18	-0.02	2.06	0.19	3142	3142	1	>100
23	-2.45	-22.92	-4.67	-0.08	-1.99	-0.48	3142	3142	(4+5)-I-1	>100
Massimi/minimi										
1							3142			
1								3142		
20										31

Muro [Platea]: 39 - Nodi: [70-5-78-79-71]Pann=9Spess.=50 cm, Terreno=Terreno1, ,Criterio=CLS_Muri_ND,
Materiale=C35/45, $\zeta_e=13.659$ [(4+5)-V-1] : **Verificato**


Armatura a maglia doppia

Pannello	Nx kN	Ny kN	Nxy kN	Mx kN*m	My kN*m	Mxy kN*m	Ax mmq	Ay mmq	C	Cs
1	-32.83	35.50	71.24	-1.26	10.21	5.02	3142	3142	2	16
2	7.22	47.41	31.31	1.04	6.77	1.69	3142	3142	2	29
3	-3.06	62.82	27.94	-0.04	2.16	1.97	3142	3142	2	59
4	-13.71	42.61	42.04	-2.31	-0.15	5.22	3142	3142	2	35
5	-47.52	62.72	44.15	-3.99	7.32	4.67	3142	3142	2	20
6	53.55	37.00	81.90	5.94	13.38	6.74	3142	3142	2	12
7	25.42	22.37	46.70	3.84	8.51	3.59	3142	3142	2	21
8	-28.52	50.62	45.56	-3.33	10.00	5.61	3142	3142	2	16
9	-78.01	67.24	69.50	-4.86	13.96	5.85	3142	3142	2	12
Massimi/minimi										
1							3142			
1								3142		
9										12

Muro [Platea]: 40 - Nodi: [67-75-76-4-68]Pann=9Spess.=50 cm, Terreno=Terreno1, ,Criterio=CLS_Muri_ND,
Materiale=C35/45, $\zeta_e=14.315$ [(4+5)-V-4] : **Verificato**

Armatura a maglia doppia

Pannello	Nx kN	Ny kN	Nxy kN	Mx kN*m	My kN*m	Mxy kN*m	Ax mmq	Ay mmq	C	Cs
1	20.46	24.29	-23.98	1.36	3.09	-1.02	3142	3142	3	61
2	4.37	1.42	14.62	0.21	1.19	0.96	3142	3142	(4+5)-VII-4	>100
3	-14.25	2.78	3.46	-1.19	-0.22	0.26	3142	3142	3	>100
4	0.12	4.97	2.37	0.15	-0.45	0.24	3142	3142	(4+5)-V-1	>100
5	2.82	6.32	2.67	-0.00	1.23	0.34	3142	3142	(4+5)-III-2	>100
6	13.07	53.03	20.57	1.23	7.21	1.98	3142	3142	(4+5)-VII-4	27
7	-3.05	22.91	0.20	0.72	4.50	1.46	3142	3142	(4+5)-VII-4	42
8	23.14	3.62	-3.97	1.73	1.29	-0.29	3142	3142	3	>100
9	44.18	2.47	-22.53	3.75	3.10	-2.35	3142	3142	3	41
Massimi/minimi										
1							3142			
1								3142		
6										27

	POTENZIAMENTO DELL'IMPIANTO DEPURATIVO E DEL RECAPITO FINALE DEL COMUNE DI SQUINZANO (LE) PROGETTO DEFINITIVO <u>Tabulati di calcolo strutturale- Pre-Ispessitore dinamico</u>	R.37.1
		Maggio 2021
		Pagina 50 di 81

Muro [Platea]: 41 - Nodi: [69-77-78-5-70] Pann=11 Spess.=50 cm, Terreno=Terrenol, , Criterio=CLS_Muri_ND,
Materiale=C35/45, $\zeta_e=35.019$ [(4+5)-V-4] : **Verificato**

Armatura a maglia doppia

Pannello	Nx kN	Ny kN	Nxy kN	Mx kN*m	My kN*m	Mxy kN*m	Ax mmq	Ay mmq	C	Cs
1	-0.62	14.38	10.67	-0.12	1.15	1.51	3142	3142	(4+5)-VI-2	96
2	0.65	-13.43	20.48	0.09	-0.68	2.08	3142	3142	1	94
3	-0.09	9.95	7.55	0.09	1.28	0.48	3142	3142	(4+5)-VI-2	>100
4	-2.74	26.30	3.78	0.37	1.82	0.67	3142	3142	2	>100
5	-6.88	44.39	-0.96	0.20	3.03	0.88	3142	3142	2	64
6	6.76	60.63	-7.96	0.74	5.92	0.69	3142	3142	2	37
7	24.45	68.41	-14.49	3.19	8.07	-0.87	3142	3142	2	27
8	-40.41	62.35	-7.57	-2.62	7.40	-0.66	3142	3142	2	30
9	-28.71	59.94	9.83	-3.41	5.47	-0.25	3142	3142	2	43
10	-6.85	38.56	12.84	-1.60	2.54	0.26	3142	3142	3	89
11	-8.23	49.09	5.44	-0.05	3.61	0.43	3142	3142	2	61
Massimi/minimi										
1							3142			
1								3142		
7										27

Muro [Platea]: 42 - Nodi: [68-4-76-77-69] Pann=19 Spess.=50 cm, Terreno=Terrenol, , Criterio=CLS_Muri_ND,
Materiale=C35/45, $\zeta_e=26.222$ [(4+5)-VII-1] : **Verificato**

Armatura a maglia doppia

Pannello	Nx kN	Ny kN	Nxy kN	Mx kN*m	My kN*m	Mxy kN*m	Ax mmq	Ay mmq	C	Cs
1	-2.09	-8.74	17.99	0.04	-1.02	0.32	3142	3142	2	>100
2	-1.34	-9.04	15.60	0.02	-0.93	0.35	3142	3142	2	>100
3	0.50	-15.06	13.37	-0.05	-1.29	0.08	3142	3142	1	>100
4	0.56	-16.84	13.74	-0.05	-1.47	0.16	3142	3142	1	>100
5	0.37	-16.90	13.69	-0.08	-1.59	0.30	3142	3142	1	>100
6	0.44	-13.56	11.90	-0.13	-2.05	0.70	3142	3142	1	95
7	1.24	-13.45	18.27	0.04	-2.03	2.07	3142	3142	1	63
8	1.00	-17.21	14.73	0.15	-1.60	2.37	3142	3142	1	66
9	1.20	-17.02	12.92	0.18	-1.47	2.34	3142	3142	1	68
10	1.07	-15.18	11.64	0.16	-1.27	2.27	3142	3142	1	73
11	-2.52	-9.09	16.30	-0.45	-0.98	2.64	3142	3142	2	72
12	-2.81	-9.51	17.39	-0.63	-1.09	3.05	3142	3142	2	63
13	-3.39	-8.97	19.86	-0.87	-0.99	3.51	3142	3142	2	58
14	-23.94	-3.46	28.66	-1.98	0.49	3.58	3142	3142	2	47
15	-26.86	-17.43	39.82	-1.31	1.52	3.79	3142	3142	2	49
16	8.98	25.37	21.72	1.04	4.48	1.79	3142	3142	(4+5)-VII-1	40
17	1.47	13.51	7.41	0.14	1.88	-0.22	3142	3142	(4+5)-VII-2	>100
18	-3.58	-6.39	18.95	-0.10	-1.50	-0.15	3142	3142	2	>100
19	-3.44	16.20	8.10	-0.20	1.72	0.96	3142	3142	(4+5)-VII-1	95
Massimi/minimi										
1							3142			
1								3142		
16										40

	POTENZIAMENTO DELL'IMPIANTO DEPURATIVO E DEL RECAPITO FINALE DEL COMUNE DI SQUINZANO (LE) PROGETTO DEFINITIVO <u>Tabulati di calcolo strutturale- Pre-Ispessitore dinamico</u>	R.37.1
		Maggio 2021
		Pagina 51 di 81

Muro [Platea]: 43 - Nodi: [72-6-80-81-73]Pann=9Spess.=50 cm, Terreno=Terrenol, ,Criterio=CLS_Muri_ND,
Materiale=C35/45, $\zeta_e=16.760$ [(4+5)-I-1] : **Verificato**

Armatura a maglia doppia

Pannello	Nx kN	Ny kN	Nxy kN	Mx kN*m	My kN*m	Mxy kN*m	Ax mmq	Ay mmq	C	Cs
1	5.91	31.40	-11.04	0.37	3.06	-1.35	3142	3142	(4+5)-V-2	57
2	0.58	-2.33	4.56	0.45	0.81	-0.02	3142	3142	2	>100
3	-6.47	6.19	2.29	-0.18	-0.53	0.28	3142	3142	(4+5)-I-1	>100
4	-19.45	-4.00	3.18	-2.19	-0.56	0.87	3142	3142	2	85
5	-39.99	9.81	8.14	-3.79	0.76	0.43	3142	3142	3	63
6	19.15	42.82	27.85	1.69	6.04	1.89	3142	3142	(4+5)-I-1	31
7	1.58	21.30	4.84	1.05	3.99	0.97	3142	3142	(4+5)-I-1	51
8	-33.39	1.40	14.45	-3.46	0.21	1.53	3142	3142	3	53
9	-60.91	6.53	30.57	-4.63	1.12	2.27	3142	3142	3	39
Massimi/minimi										
1							3142			
1								3142		
6										31

Muro [Platea]: 44 - Nodi: [65-72-73-66]Pann=4Spess.=50 cm, Terreno=Terrenol, ,Criterio=CLS_Muri_ND,
Materiale=C35/45, $\zeta_e=74.814$ [(4+5)-II-4] : **Verificato**

Armatura a maglia doppia

Pannello	Nx kN	Ny kN	Nxy kN	Mx kN*m	My kN*m	Mxy kN*m	Ax mmq	Ay mmq	C	Cs
1	-60.05	-1.14	0.72	-5.52	-0.26	-0.52	3142	3142	2	45
2	-61.56	-0.86	-2.89	-5.62	-0.03	0.34	3142	3142	2	45
3	-48.55	1.75	-0.13	-3.55	0.15	-0.59	3142	3142	2	65
4	-48.34	1.67	-2.12	-3.51	0.26	0.43	3142	3142	2	68
Massimi/minimi										
1							3142			
1								3142		
1										45

Muro [Platea]: 45 - Nodi: [58-65-66-59]Pann=4Spess.=50 cm, Terreno=Terrenol, ,Criterio=CLS_Muri_ND,
Materiale=C35/45, $\zeta_e=175.428$ [(4+5)-II-4] : **Verificato**

Armatura a maglia doppia

Pannello	Nx kN	Ny kN	Nxy kN	Mx kN*m	My kN*m	Mxy kN*m	Ax mmq	Ay mmq	C	Cs
1	69.97	0.91	-6.25	6.47	0.22	0.45	3142	3142	1	35
2	70.19	0.50	1.86	6.47	0.05	-0.91	3142	3142	1	33
3	-69.79	-1.79	-2.54	-6.10	-0.43	0.23	3142	3142	2	43
4	-69.81	-1.24	1.00	-6.04	0.12	-0.31	3142	3142	2	43
Massimi/minimi										
1							3142			
1								3142		
2										33

Muro [Platea]: 46 - Nodi: [51-58-59-52]Pann=4Spess.=50 cm, Terreno=Terrenol, ,Criterio=CLS_Muri_ND,
Materiale=C35/45, $\zeta_e=408.808$ [(4+5)-I-4] : **Verificato**

Armatura a maglia doppia

Pannello	Nx kN	Ny kN	Nxy kN	Mx kN*m	My kN*m	Mxy kN*m	Ax mmq	Ay mmq	C	Cs
1	125.86	1.45	-1.49	11.42	0.57	0.61	3142	3142	1	19
2	125.80	1.06	2.61	11.34	-0.13	-0.37	3142	3142	1	20
3	111.88	1.80	-1.79	8.47	0.32	0.44	3142	3142	1	26
4	114.41	1.48	2.38	8.60	-0.27	-0.59	3142	3142	1	25
Massimi/minimi										
1							3142			
1								3142		
1										19

	POTENZIAMENTO DELL'IMPIANTO DEPURATIVO E DEL RECAPITO FINALE DEL COMUNE DI SQUINZANO (LE) PROGETTO DEFINITIVO <u>Tabulati di calcolo strutturale- Pre-Ispessitore dinamico</u>	R.37.1
		Maggio 2021
		Pagina 52 di 81

Muro [Platea]: 47 - Nodi: [44-51-52-45]Pann=4Spess.=50 cm, Terreno=Terrenol, ,Criterio=CLS_Muri_ND,
Materiale=C35/45, $\zeta_e=377.940$ [(4+5)-V-3] : **Verificato**

Armatura a maglia doppia

Pannello	Nx kN	Ny kN	Nxy kN	Mx kN*m	My kN*m	Mxy kN*m	Ax mmq	Ay mmq	C	Cs
1	145.10	2.60	0.50	12.31	0.64	0.31	3142	3142	1	18
2	145.40	1.72	1.21	12.24	-0.24	-0.02	3142	3142	1	19
3	142.05	2.74	1.46	11.72	0.61	0.26	3142	3142	1	19
4	142.39	1.85	1.59	11.64	-0.27	-0.13	3142	3142	1	19
Massimi/minimi										
1							3142			
1								3142		
1										18

Muro [Platea]: 48 - Nodi: [37-44-45-38]Pann=4Spess.=50 cm, Terreno=Terrenol, ,Criterio=CLS_Muri_ND,
Materiale=C35/45, $\zeta_e=222.644$ [(4+5)-VI-3] : **Verificato**

Armatura a maglia doppia

Pannello	Nx kN	Ny kN	Nxy kN	Mx kN*m	My kN*m	Mxy kN*m	Ax mmq	Ay mmq	C	Cs
1	109.80	2.10	6.14	8.61	0.43	-0.00	3142	3142	1	27
2	110.94	1.41	-0.22	8.61	-0.29	0.72	3142	3142	1	25
3	132.51	1.80	6.03	11.68	0.60	-0.14	3142	3142	1	19
4	132.50	1.53	-0.48	11.59	-0.18	0.53	3142	3142	1	19
Massimi/minimi										
1							3142			
1								3142		
4										19

Muro [Platea]: 49 - Nodi: [30-37-38-31]Pann=4Spess.=50 cm, Terreno=Terrenol, ,Criterio=CLS_Muri_ND,
Materiale=C35/45, $\zeta_e=117.927$ [(4+5)-VI-3] : **Verificato**

Armatura a maglia doppia

Pannello	Nx kN	Ny kN	Nxy kN	Mx kN*m	My kN*m	Mxy kN*m	Ax mmq	Ay mmq	C	Cs
1	22.90	0.42	5.98	1.83	0.03	0.43	3142	3142	(4+5)-II-1	>100
2	32.43	0.31	-0.72	2.07	-0.12	0.82	3142	3142	1	87
3	69.32	0.83	8.43	6.41	0.26	-0.07	3142	3142	1	37
4	69.02	0.64	-0.10	6.36	0.02	0.87	3142	3142	1	34
Massimi/minimi										
1							3142			
1								3142		
4										34

Muro [Platea]: 50 - Nodi: [3-30-31-24]Pann=4Spess.=50 cm, Terreno=Terrenol, ,Criterio=CLS_Muri_ND,
Materiale=C35/45, $\zeta_e=40.512$ [(4+5)-II-1] : **Verificato**

Armatura a maglia doppia

Pannello	Nx kN	Ny kN	Nxy kN	Mx kN*m	My kN*m	Mxy kN*m	Ax mmq	Ay mmq	C	Cs
1	15.89	1.43	7.95	1.50	0.31	0.86	3142	3142	(4+5)-II-1	>100
2	11.04	1.74	3.74	1.06	-0.01	0.15	3142	3142	(4+5)-II-1	>100
3	15.79	0.32	4.06	1.18	-0.07	0.54	3142	3142	(4+5)-II-1	>100
4	15.14	0.73	1.45	1.20	-0.04	0.06	3142	3142	(4+5)-VI-3	>100
Massimi/minimi										
1							3142			
1								3142		
1										>100

Muro [Platea]: 51 - Nodi: [15-3-24-16]Pann=4Spess.=50 cm, Terreno=Terrenol, ,Criterio=CLS_Muri_ND,
Materiale=C35/45, $\zeta_e=99.851$ [(4+5)-V-2] : **Verificato**

Armatura a maglia doppia

Pannello	Nx kN	Ny kN	Nxy kN	Mx kN*m	My kN*m	Mxy kN*m	Ax mmq	Ay mmq	C	Cs
1	0.61	6.28	2.88	-0.08	0.56	0.20	3142	3142	(4+5)-V-3	>100
2	-0.88	-1.46	-2.78	-0.22	-0.23	-0.11	3142	3142	(4+5)-V-2	>100
3	9.89	7.29	-6.20	1.03	0.67	-0.62	3142	3142	(4+5)-VI-2	>100
4	6.32	-0.70	3.64	0.56	-0.01	0.34	3142	3142	(4+5)-V-3	>100

POTENZIAMENTO DELL'IMPIANTO DEPURATIVO E DEL RECAPITO FINALE DEL COMUNE DI SQUINZANO (LE) PROGETTO DEFINITIVO

Tabulati di calcolo strutturale- Pre-Ispessitore dinamico

R.37.1

Maggio 2021

Pagina 53 di 81

Pannello	Nx	Ny	Nxy	Mx	My	Mxy	Ax	Ay	C	Cs
										Massimi/minimi
1							3142			
1								3142		
3										>100

Muro [Platea]: 52 - Nodi: [0-0-0-0]Pann=4Spess.=40 cm, Terreno=Terreno1, ,Criterio=CLS_Muri_ND, Materiale=C35/45, $\zeta_e=305.508$ [(4+5)-V-1] : **Verificato**

Armatura a maglia doppia

Pannello	Nx	Ny	Nxy	Mx	My	Mxy	Ax	Ay	C	Cs
	kN	kN	kN	kN*m	kN*m	kN*m	mmq	mmq		
1	-10.65	-10.83	2.40	-0.71	-0.72	1.10	2011	2011	1	72
2	-10.65	-10.83	-2.40	-0.71	-0.72	-1.10	2011	2011	1	72
3	-10.65	-10.83	-2.40	-0.71	-0.72	-1.10	2011	2011	1	72
4	-10.65	-10.83	2.40	-0.71	-0.72	1.10	2011	2011	1	72
										Massimi/minimi
1							2011			
1								2011		
3										72

Muro : 53 - Nodi: [0-0-88-89]Pann=4Spess.=20 cm, Terreno=--,Criterio=CLS_Muri_ND, Materiale=C35/45, $\zeta_e=142.586$ [(4+5)-VI-1] : **Verificato**

Armatura a maglia doppia

Pannello	Nx	Ny	Nxy	Mx	My	Mxy	Ax	Ay	C	Cs
	kN	kN	kN	kN*m	kN*m	kN*m	mmq	mmq		
1	1.52	-16.42	3.99	-0.02	-0.14	-0.02	1131	1131	1	>100
2	-2.12	-3.08	2.73	0.05	0.30	-0.07	1131	1131	1	87
3	1.52	-16.42	-3.99	-0.02	-0.14	0.02	1131	1131	1	>100
4	-2.12	-3.08	-2.73	0.05	0.30	0.07	1131	1131	1	87
										Massimi/minimi
1							1131			
1								1131		
2										87

Muro : 54 - Nodi: [0-0-90-88]Pann=4Spess.=20 cm, Terreno=--,Criterio=CLS_Muri_ND, Materiale=C35/45, $\zeta_e=116.532$ [(4+5)-VII-1] : **Verificato**

Armatura a maglia doppia

Pannello	Nx	Ny	Nxy	Mx	My	Mxy	Ax	Ay	C	Cs
	kN	kN	kN	kN*m	kN*m	kN*m	mmq	mmq		
1	1.27	-9.42	2.25	-0.02	-0.12	-0.01	1131	1131	(4+5)-V-1	>100
2	0.34	-0.22	2.70	0.03	0.26	-0.06	1131	1131	1	>100
3	1.27	-9.42	-2.25	-0.02	-0.12	0.01	1131	1131	(4+5)-VII-1	>100
4	0.34	-0.22	-2.70	0.03	0.26	0.06	1131	1131	1	>100
										Massimi/minimi
1							1131			
1								1131		
2										>100

Muro : 55 - Nodi: [0-0-89-91]Pann=4Spess.=20 cm, Terreno=--,Criterio=CLS_Muri_ND, Materiale=C35/45, $\zeta_e=116.541$ [(4+5)-VII-4] : **Verificato**

Armatura a maglia doppia

Pannello	Nx	Ny	Nxy	Mx	My	Mxy	Ax	Ay	C	Cs
	kN	kN	kN	kN*m	kN*m	kN*m	mmq	mmq		
1	1.27	-9.42	2.25	-0.02	-0.12	-0.01	1131	1131	(4+5)-III-2	>100
2	0.34	-0.22	2.70	0.03	0.26	-0.06	1131	1131	1	>100
3	1.27	-9.42	-2.25	-0.02	-0.12	0.01	1131	1131	(4+5)-VII-4	>100
4	0.34	-0.22	-2.70	0.03	0.26	0.06	1131	1131	1	>100
										Massimi/minimi
1							1131			
1								1131		
4										>100

	POTENZIAMENTO DELL'IMPIANTO DEPURATIVO E DEL RECAPITO FINALE DEL COMUNE DI SQUINZANO (LE) PROGETTO DEFINITIVO <u>Tabulati di calcolo strutturale- Pre-Ispessitore dinamico</u>	R.37.1
		Maggio 2021
		Pagina 54 di 81

Muro : 56 - Nodi: [0-0-91-90]Pann=4Spess.=20 cm, Terreno=--,Criterio=CLS_Muri_ND, Materiale=C35/45, $\zeta_s=141.276$ [(4+5)-II-2] : **Verificato**

Armatura a maglia doppia

Pannello	Nx kN	Ny kN	Nxy kN	Mx kN*m	My kN*m	Mxy kN*m	Ax mmq	Ay mmq	C	Cs
1	1.52	-16.42	3.99	-0.02	-0.14	-0.02	1131	1131	1	>100
2	-2.12	-3.08	2.73	0.05	0.30	-0.07	1131	1131	1	87
3	1.52	-16.42	-3.99	-0.02	-0.14	0.02	1131	1131	1	>100
4	-2.12	-3.08	-2.73	0.05	0.30	0.07	1131	1131	1	87
Massimi/minimi										
1							1131			
1								1131		
4										87

Verifica Resistenza aste Metalliche

Scenario di calcolo: **ScenarioNT_ 2018 A2_SLV_SLD_STR_GEO**

Simbologia

L [mm]	Lunghezza teorica elemento (da nodo a nodo)
Sez. G	Sezione Generica (Sigla)
fyd [MPa]	Tensione di progetto snervamento acciaio
ft [MPa]	Tensione di rottura acciaio
γ_M	Coefficiente di sicurezza acciaio
X [mm]	Punto di verifica
N [kN]	Sforzo Normale
TY [kN]	Taglio dir Y
TZ [kN]	Taglio dir Z
MT [kN*m]	Momento torcente
MY [kN*m]	Momento flettente dir Y
MZ [kN*m]	Momento flettente dir Z
MY4 [kN*m]	Momento flettente dir Y + N* Δ_{ez} , per sezioni di classe 4
MZ4 [kN*m]	Momento flettente dir Z + N* Δ_{ey} , per sezioni di classe 4
cls	Classe della sezione per la sollecitazione della combinazione corrente
Comb.	Combinazione della sollecitazione
Nr [kN]	Sforzo Normale resistente
Vyr [kN]	Taglio resistente in dir Y
Vzr [kN]	Taglio resistente dir Z
Mry [kN*m]	Momento flettente resistente dir Y
Mrz [kN*m]	Momento flettente resistente dir Z
SF_V	Coefficiente di sicurezza taglio
SF_M	Coefficiente di sicurezza pressoflessione
SF	Coefficiente di sicurezza complessivo (asta verificata se ≥ 1) ⁽¹⁾
ζ_s	Livello di sicurezza sismico definito come rapporto tra l'accelerazione sopportabile e l'accelerazione di progetto, quando richiesto dal criterio di verifica

Gerarchia travi/pilastri (quando richiesto):

NEd [kN]	Sforzo Normale di verifica
Npl,Rd [kN]	Sforzo Normale resistente (NTC 4.2.4.1.2)
VEdY(*) [kN]	Taglio trave dir Y dovuto ai momenti ultimi Mpl,RdZ di estremità (cfr. NTC f.(7.5.6))
Vpl,RdY [kN]	Taglio resistente dir Y (NTC 4.2.4.1.2)
VEdZ(*) [kN]	Taglio trave dir Z dovuto ai momenti ultimi Mpl,RdY di estremità (cfr. NTC f.(7.5.6))
Vpl,RdZ [kN]	Taglio resistente dir Z (NTC 4.2.4.1.2)
MEdY [kN*m]	Momento flettente dir Y
Mpl,RdY [kN*m]	Momento resistente dir Y (NTC 4.2.4.1.2)
MEdZ [kN*m]	Momento flettente dir Z
Mpl,RdZ [kN*m]	Momento resistente dir Z (NTC 4.2.4.1.2)

Verifiche Incendio:

Ky	fy(T)/fy(20°) fattore riduzione resistenza alla temperatura T
KE	E(T)/E(20) fattore riduzione modulo elastico alla temperatura T

Ω^* Smplificazione sollecitazioni sismiche (solo per $q>1$)⁽³⁾

Fatt.Ampl.Sisma Fattore moltiplicativo di gruppo per le azioni sismiche (solo se diverso da 1.0)

Note:

⁽¹⁾: SF rappresenta il minimo tra SF_V ed SF_M dove:

- SF_V = VR/Vd con VR e Vd azione tagliante resistente ed agente
- SF_M = $1/[N/Nr + MY/Mry + MZ/Mrz]$, i valori di Mry ed Mrz sono ridotti opportunamente quando Vd > 0.5 Vr

⁽²⁾: SF rappresenta il minimo tra i seguenti rapporti:

- MEdY/Mpl,RdY (travi)
- MEdZ/Mpl,RdZ (travi)
- NEd/(0.15*Npl,Rd) (travi)
- VEdY(*)/(0.5*Vpl,RdY) (travi)
- VEdZ(*)/(0.5*Vpl,RdZ) (travi)
- VEdY/(0.5*Vpl,RdY) (pilastri)
- VEdZ/(0.5*Vpl,RdZ) (pilastri)

⁽³⁾: $\Omega^* = \min(q, 1.1 \cdot \gamma_{ov} \cdot \Omega)$, con Ω secondo NTC 7.5.4.2

POTENZIAMENTO DELL'IMPIANTO DEPURATIVO E DEL RECAPITO FINALE DEL COMUNE DI SQUINZANO (LE) PROGETTO DEFINITIVO

Tabulati di calcolo strutturale- Pre-Ispessitore dinamico

R.37.1

Maggio 2021

Pagina 55 di 81

Asta: 113 [107,117] Sez. G: IPE 300 L=300 mm Crit.: Acciaio_FlessTors $\gamma_M=1.05$ $f_{yk}/\gamma_M=338.1$ MPa $f_t=510.0$ MPa, $\zeta_E=185024.313$

[(4+5)-IV-4] :Verificato

X	cls	N	TY	TZ	MT	MY	MZ	My4	Mz4	Comb.
mm		kN	kN	kN	kN*m	kN*m	kN*m			
300	1	0.00	4.26	0.85	-0.00	0.23	-0.64	--	--	2

X	cls	Nr	Vyr	Vzr	Mry	Mrz	MTrd	SF V.	SF M	SF Mt	SF
mm		kN	kN	kN	kN*m	kN*m	kN*m				
300	1	1819.36	626.23	501.02	212.58	42.34	3.20	>100	62	>100	62

Asta: 113 [190,191] Sez. G: IPE 300 L=1354 mm Crit.: Acciaio_FlessTors $\gamma_M=1.05$ $f_{yk}/\gamma_M=338.1$ MPa $f_t=510.0$ MPa, $\zeta_E=58.828$

[(4+5)-III-1] :Verificato

X	cls	N	TY	TZ	MT	MY	MZ	My4	Mz4	Comb.
mm		kN	kN	kN	kN*m	kN*m	kN*m			
0	1	18.84	-0.13	5.28	-0.01	-20.39	-0.07	--	--	2

X	cls	Nr	Vyr	Vzr	Mry	Mrz	MTrd	SF V.	SF M	SF Mt	SF
mm		kN	kN	kN	kN*m	kN*m	kN*m				
0	1	1819.36	625.81	500.68	212.58	42.34	3.20	95	9.3	>100	9.3

Asta: 113 [191,0] Sez. G: IPE 300 L=1015 mm Crit.: Acciaio_FlessTors $\gamma_M=1.05$ $f_{yk}/\gamma_M=338.1$ MPa $f_t=510.0$ MPa, $\zeta_E=54.922$

[(4+5)-VIII-4] :Verificato

X	cls	N	TY	TZ	MT	MY	MZ	My4	Mz4	Comb.
mm		kN	kN	kN	kN*m	kN*m	kN*m			
0	1	19.00	0.16	11.05	-0.02	-12.78	-0.05	--	--	2

X	cls	Nr	Vyr	Vzr	Mry	Mrz	MTrd	SF V.	SF M	SF Mt	SF
mm		kN	kN	kN	kN*m	kN*m	kN*m				
0	1	1819.36	625.22	500.21	212.58	42.34	3.20	45	14	>100	14

Asta: 113 [204,282] Sez. G: IPE 300 L=400 mm Crit.: Acciaio_FlessTors $\gamma_M=1.05$ $f_{yk}/\gamma_M=338.1$ MPa $f_t=510.0$ MPa, $\zeta_E=12.828$

[(4+5)-V-4] :Verificato

X	cls	N	TY	TZ	MT	MY	MZ	My4	Mz4	Comb.
mm		kN	kN	kN	kN*m	kN*m	kN*m			
0	1	5.71	0.22	-1.51	0.26	-0.19	0.77	--	--	(4+5)-V-4

X	cls	Nr	Vyr	Vzr	Mry	Mrz	MTrd	SF V.	SF M	SF Mt	SF
mm		kN	kN	kN	kN*m	kN*m	kN*m				
0	1	1819.36	605.61	484.52	212.58	42.34	3.20	>100	45	12	12

Asta: 113 [0,204] Sez. G: IPE 300 L=891 mm Crit.: Acciaio_FlessTors $\gamma_M=1.05$ $f_{yk}/\gamma_M=338.1$ MPa $f_t=510.0$ MPa, $\zeta_E=31.484$

[(4+5)-V-4] :Verificato

X	cls	N	TY	TZ	MT	MY	MZ	My4	Mz4	Comb.
mm		kN	kN	kN	kN*m	kN*m	kN*m			
985	1	19.31	-0.30	16.16	-0.07	14.33	0.05	--	--	2

X	cls	Nr	Vyr	Vzr	Mry	Mrz	MTrd	SF V.	SF M	SF Mt	SF
mm		kN	kN	kN	kN*m	kN*m	kN*m				
985	1	1819.36	621.32	497.09	212.58	42.34	3.20	31	13	48	13

Asta: 113 [117,101] Sez. G: IPE 300 L=300 mm Crit.: Acciaio_FlessTors $\gamma_M=1.05$ $f_{yk}/\gamma_M=338.1$ MPa $f_t=510.0$ MPa, $\zeta_E=13.609$

[(4+5)-I-3] :Verificato

X	cls	N	TY	TZ	MT	MY	MZ	My4	Mz4	Comb.
mm		kN	kN	kN	kN*m	kN*m	kN*m			
0	1	5.76	-0.26	1.35	-0.25	-0.81	0.90	--	--	(4+5)-I-3

X	cls	Nr	Vyr	Vzr	Mry	Mrz	MTrd	SF V.	SF M	SF Mt	SF
mm		kN	kN	kN	kN*m	kN*m	kN*m				
0	1	1819.36	606.49	485.22	212.58	42.34	3.20	>100	35	13	13

Asta: 113 [101,188] Sez. G: IPE 300 L=1354 mm Crit.: Acciaio_FlessTors $\gamma_M=1.05$ $f_{yk}/\gamma_M=338.1$ MPa $f_t=510.0$ MPa, $\zeta_E=30.828$

[(4+5)-V-4] :Verificato

X	cls	N	TY	TZ	MT	MY	MZ	My4	Mz4	Comb.
mm		kN	kN	kN	kN*m	kN*m	kN*m			
1354	1	18.27	0.17	-12.82	0.06	-9.21	-0.07	--	--	2

X	cls	Nr	Vyr	Vzr	Mry	Mrz	MTrd	SF V.	SF M	SF Mt	SF
mm		kN	kN	kN	kN*m	kN*m	kN*m				
1354	1	1819.36	622.21	497.80	212.58	42.34	3.20	39	18	57	18

Asta: 113 [188,189] Sez. G: IPE 300 L=1354 mm Crit.: Acciaio_FlessTors $\gamma_M=1.05$ $f_{yk}/\gamma_M=338.1$ MPa $f_t=510.0$ MPa, $\zeta_E=54.984$

[(4+5)-VIII-3] :Verificato

X	cls	N	TY	TZ	MT	MY	MZ	My4	Mz4	Comb.
mm		kN	kN	kN	kN*m	kN*m	kN*m			
1354	1	18.56	-0.22	-6.93	0.01	-19.14	0.17	--	--	2

POTENZIAMENTO DELL'IMPIANTO DEPURATIVO E DEL RECAPITO FINALE DEL COMUNE DI SQUINZANO (LE) PROGETTO DEFINITIVO

Tabulati di calcolo strutturale- Pre-Ispessitore dinamico

R.37.1

Maggio 2021

Pagina 56 di 81

X	cls	Nr	Vyr	Vzr	Mry	Mrz	MTrd	SF_V.	SF_M	SF_Mt	SF
mm		kN	kN	kN	kN*m	kN*m	kN*m				
1354	1	1819.36	625.68	500.58	212.58	42.34	3.20	72	9.6	>100	9.6

Asta: 113 [189,190] Sez. G: IPE 300 L=1354 mm Crit.: Acciaio_FlessTors $\gamma_M=1.05$ $f_{yk}/\gamma_M=338.1$ MPa $f_t=510.0$ MPa, $\zeta_e=52.648$ [(4+5)-VII-2] :Verificato

X	cls	N	TY	TZ	MT	MY	MZ	My4	Mz4	Comb.
mm		kN	kN	kN	kN*m	kN*m	kN*m			
1354	1	18.73	-0.13	-0.48	0.00	-20.34	0.13	--	--	2

X	cls	Nr	Vyr	Vzr	Mry	Mrz	MTrd	SF_V.	SF_M	SF_Mt	SF
mm		kN	kN	kN	kN*m	kN*m	kN*m				
1354	1	1819.36	626.43	501.18	212.58	42.34	3.20	>100	9.2	>100	9.2

Asta: 113 [282,285] Sez. G: IPE 300 L=400 mm Crit.: Acciaio_FlessTors $\gamma_M=1.05$ $f_{yk}/\gamma_M=338.1$ MPa $f_t=510.0$ MPa, $\zeta_e=127472.000$ [(4+5)-IV-1] :Verificato

X	cls	N	TY	TZ	MT	MY	MZ	My4	Mz4	Comb.
mm		kN	kN	kN	kN*m	kN*m	kN*m			
0	1	0.00	-5.37	-1.09	0.01	0.39	-1.07	--	--	2

X	cls	Nr	Vyr	Vzr	Mry	Mrz	MTrd	SF_V.	SF_M	SF_Mt	SF
mm		kN	kN	kN	kN*m	kN*m	kN*m				
0	1	1819.36	625.93	500.78	212.58	42.34	3.20	>100	37	>100	37

Asta: 114 [108,118] Sez. G: IPE 300 L=300 mm Crit.: Acciaio_FlessTors $\gamma_M=1.05$ $f_{yk}/\gamma_M=338.1$ MPa $f_t=510.0$ MPa, $\zeta_e=134464.000$ [(4+5)-VI-2] :Verificato

X	cls	N	TY	TZ	MT	MY	MZ	My4	Mz4	Comb.
mm		kN	kN	kN	kN*m	kN*m	kN*m			
300	1	0.00	0.15	1.55	-0.00	0.44	-0.02	--	--	2

X	cls	Nr	Vyr	Vzr	Mry	Mrz	MTrd	SF_V.	SF_M	SF_Mt	SF
mm		kN	kN	kN	kN*m	kN*m	kN*m				
300	1	1819.36	626.58	501.30	212.58	42.34	3.20	>100	>100	>100	>100

Asta: 114 [194,195] Sez. G: IPE 300 L=1354 mm Crit.: Acciaio_FlessTors $\gamma_M=1.05$ $f_{yk}/\gamma_M=338.1$ MPa $f_t=510.0$ MPa, $\zeta_e=66.469$ [(4+5)-I-3] :Verificato

X	cls	N	TY	TZ	MT	MY	MZ	My4	Mz4	Comb.
mm		kN	kN	kN	kN*m	kN*m	kN*m			
0	1	-50.65	0.12	13.71	-0.00	-49.27	0.07	--	--	2

X	cls	Nr	Vyr	Vzr	Mry	Mrz	MTrd	SF_V.	SF_M	SF_Mt	SF
mm		kN	kN	kN	kN*m	kN*m	kN*m				
0	1	1819.36	626.56	501.28	212.58	42.34	3.20	37	3.8	>100	3.8

Asta: 114 [195,0] Sez. G: IPE 300 L=1015 mm Crit.: Acciaio_FlessTors $\gamma_M=1.05$ $f_{yk}/\gamma_M=338.1$ MPa $f_t=510.0$ MPa, $\zeta_e=54.453$ [(4+5)-II-3] :Verificato

X	cls	N	TY	TZ	MT	MY	MZ	My4	Mz4	Comb.
mm		kN	kN	kN	kN*m	kN*m	kN*m			
0	1	-50.12	0.16	29.40	-0.00	-30.35	0.04	--	--	2

X	cls	Nr	Vyr	Vzr	Mry	Mrz	MTrd	SF_V.	SF_M	SF_Mt	SF
mm		kN	kN	kN	kN*m	kN*m	kN*m				
0	1	1819.36	626.55	501.27	212.58	42.34	3.20	17	5.8	>100	5.8

Asta: 114 [274,283] Sez. G: IPE 300 L=400 mm Crit.: Acciaio_FlessTors $\gamma_M=1.05$ $f_{yk}/\gamma_M=338.1$ MPa $f_t=510.0$ MPa, $\zeta_e=12.758$ [(4+5)-V-1] :Verificato

X	cls	N	TY	TZ	MT	MY	MZ	My4	Mz4	Comb.
mm		kN	kN	kN	kN*m	kN*m	kN*m			
0	1	-45.17	0.17	-11.50	0.07	12.08	-0.05	--	--	2

X	cls	Nr	Vyr	Vzr	Mry	Mrz	MTrd	SF_V.	SF_M	SF_Mt	SF
mm		kN	kN	kN	kN*m	kN*m	kN*m				
0	1	1819.36	620.69	496.59	212.58	42.34	3.20	43	12	43	12

Asta: 114 [0,274] Sez. G: IPE 300 L=891 mm Crit.: Acciaio_FlessTors $\gamma_M=1.05$ $f_{yk}/\gamma_M=338.1$ MPa $f_t=510.0$ MPa, $\zeta_e=31.453$ [(4+5)-V-1] :Verificato

X	cls	N	TY	TZ	MT	MY	MZ	My4	Mz4	Comb.
mm		kN	kN	kN	kN*m	kN*m	kN*m			
985	1	-49.28	0.06	43.32	-0.03	42.00	-0.06	--	--	2

X	cls	Nr	Vyr	Vzr	Mry	Mrz	MTrd	SF_V.	SF_M	SF_Mt	SF
mm		kN	kN	kN	kN*m	kN*m	kN*m				
985	1	1819.36	624.16	499.36	212.58	42.34	3.20	12	4.4	>100	4.4

POTENZIAMENTO DELL'IMPIANTO DEPURATIVO E DEL RECAPITO FINALE DEL COMUNE DI SQUINZANO (LE) PROGETTO DEFINITIVO

Tabulati di calcolo strutturale- Pre-Ispessitore dinamico

R.37.1

Maggio 2021

Pagina 57 di 81

Asta: 114 [118,122] Sez. G: IPE 300 L=300 mm Crit.: Acciaio_FlessTors $\gamma_M=1.05$ $f_{yk}/\gamma_M=338.1$ MPa $f_t=510.0$ MPa, $\zeta_E=13.555$

[(4+5)-I-3] :Verificato

X	cls	N	TY	TZ	MT	MY	MZ	My4	Mz4	Comb.
mm		kN	kN	kN	kN*m	kN*m	kN*m			
395	1	-43.37	-0.10	12.02	-0.07	11.66	0.11	--	--	2

X	cls	Nr	Vyr	Vzr	Mry	Mrz	MTrd	SF V.	SF M	SF Mt	SF
mm		kN	kN	kN	kN*m	kN*m	kN*m				
395	1	1819.36	621.07	496.89	212.58	42.34	3.20	41	12	46	12

Asta: 114 [122,192] Sez. G: IPE 300 L=1354 mm Crit.: Acciaio_FlessTors $\gamma_M=1.05$ $f_{yk}/\gamma_M=338.1$ MPa $f_t=510.0$ MPa, $\zeta_E=30.281$

[(4+5)-VI-4] :Verificato

X	cls	N	TY	TZ	MT	MY	MZ	My4	Mz4	Comb.
mm		kN	kN	kN	kN*m	kN*m	kN*m			
0	1	-52.64	0.08	-37.77	0.02	34.29	0.10	--	--	2

X	cls	Nr	Vyr	Vzr	Mry	Mrz	MTrd	SF V.	SF M	SF Mt	SF
mm		kN	kN	kN	kN*m	kN*m	kN*m				
0	1	1819.36	624.94	499.99	212.58	42.34	3.20	13	5.2	>100	5.2

Asta: 114 [192,193] Sez. G: IPE 300 L=1354 mm Crit.: Acciaio_FlessTors $\gamma_M=1.05$ $f_{yk}/\gamma_M=338.1$ MPa $f_t=510.0$ MPa, $\zeta_E=47.438$

[(4+5)-V-1] :Verificato

X	cls	N	TY	TZ	MT	MY	MZ	My4	Mz4	Comb.
mm		kN	kN	kN	kN*m	kN*m	kN*m			
1354	1	-51.72	0.12	-20.35	0.00	-44.54	-0.05	--	--	2

X	cls	Nr	Vyr	Vzr	Mry	Mrz	MTrd	SF V.	SF M	SF Mt	SF
mm		kN	kN	kN	kN*m	kN*m	kN*m				
1354	1	1819.36	626.58	501.29	212.58	42.34	3.20	25	4.2	>100	4.2

Asta: 114 [193,194] Sez. G: IPE 300 L=1354 mm Crit.: Acciaio_FlessTors $\gamma_M=1.05$ $f_{yk}/\gamma_M=338.1$ MPa $f_t=510.0$ MPa, $\zeta_E=54.875$

[(4+5)-I-4] :Verificato

X	cls	N	TY	TZ	MT	MY	MZ	My4	Mz4	Comb.
mm		kN	kN	kN	kN*m	kN*m	kN*m			
1354	1	-51.15	0.13	-2.91	-0.00	-49.12	-0.08	--	--	2

X	cls	Nr	Vyr	Vzr	Mry	Mrz	MTrd	SF V.	SF M	SF Mt	SF
mm		kN	kN	kN	kN*m	kN*m	kN*m				
1354	1	1819.36	626.59	501.30	212.58	42.34	3.20	>100	3.8	>100	3.8

Asta: 114 [283,286] Sez. G: IPE 300 L=400 mm Crit.: Acciaio_FlessTors $\gamma_M=1.05$ $f_{yk}/\gamma_M=338.1$ MPa $f_t=510.0$

MPa, $\zeta_E=95840.000$ [(4+5)-VIII-3] :Verificato

X	cls	N	TY	TZ	MT	MY	MZ	My4	Mz4	Comb.
mm		kN	kN	kN	kN*m	kN*m	kN*m			
0	1	0.00	-0.19	-1.98	0.00	0.75	-0.04	--	--	2

X	cls	Nr	Vyr	Vzr	Mry	Mrz	MTrd	SF V.	SF M	SF Mt	SF
mm		kN	kN	kN	kN*m	kN*m	kN*m				
0	1	1819.36	626.57	501.29	212.58	42.34	3.20	>100	>100	>100	>100

Asta: 115 [191,195] Sez. G: IPE 200 L=5600 mm Crit.: Acciaio_FlessTors $\gamma_M=1.05$ $f_{yk}/\gamma_M=338.1$ MPa $f_t=510.0$ MPa, $\zeta_E=227.531$

[(4+5)-VI-2] :Verificato

X	cls	N	TY	TZ	MT	MY	MZ	My4	Mz4	Comb.
mm		kN	kN	kN	kN*m	kN*m	kN*m			
5600	1	0.30	-0.34	7.43	0.00	6.73	0.37	--	--	2

X	cls	Nr	Vyr	Vzr	Mry	Mrz	MTrd	SF V.	SF M	SF Mt	SF
mm		kN	kN	kN	kN*m	kN*m	kN*m				
5600	1	963.03	331.61	273.09	74.65	15.09	1.40	37	8.7	>100	8.7

Asta: 115 [195,199] Sez. G: IPE 200 L=5700 mm Crit.: Acciaio_FlessTors $\gamma_M=1.05$ $f_{yk}/\gamma_M=338.1$ MPa $f_t=510.0$ MPa, $\zeta_E=227.906$

[(4+5)-VI-2] :Verificato

X	cls	N	TY	TZ	MT	MY	MZ	My4	Mz4	Comb.
mm		kN	kN	kN	kN*m	kN*m	kN*m			
0	1	0.33	0.30	-7.52	-0.00	6.74	0.24	--	--	2

X	cls	Nr	Vyr	Vzr	Mry	Mrz	MTrd	SF V.	SF M	SF Mt	SF
mm		kN	kN	kN	kN*m	kN*m	kN*m				
0	1	963.03	331.63	273.11	74.65	15.09	1.40	36	9.4	>100	9.4

Asta: 116 [190,194] Sez. G: IPE 200 L=5600 mm Crit.: Acciaio_FlessTors $\gamma_M=1.05$ $f_{yk}/\gamma_M=338.1$ MPa $f_t=510.0$ MPa, $\zeta_E=97.813$

[(4+5)-V-4] :Verificato

X	cls	N	TY	TZ	MT	MY	MZ	My4	Mz4	Comb.
mm		kN	kN	kN	kN*m	kN*m	kN*m			
5600	1	-0.01	-0.39	8.25	0.00	7.00	0.41	--	--	2

POTENZIAMENTO DELL'IMPIANTO DEPURATIVO E DEL RECAPITO FINALE DEL COMUNE DI SQUINZANO (LE) PROGETTO DEFINITIVO

Tabulati di calcolo strutturale- Pre-Ispessitore dinamico

R.37.1

Maggio 2021

Pagina 58 di 81

X	cls	Nr	Vyr	Vzr	Mry	Mrz	MTrd	SF V.	SF M	SF Mt	SF
mm		kN	kN	kN	kN*m	kN*m	kN*m				
5600	1	963.03	331.78	273.23	74.65	15.09	1.40	33	8.3	>100	8.3

Asta: 116 [194,198] Sez. G: IPE 200 L=5700 mm Crit.: Acciaio_FlessTors $\gamma_M=1.05$ $f_{yk}/\gamma_M=338.1$ MPa $f_t=510.0$ MPa, $\zeta_E=100.094$
[(4+5)-V-1] :Verificato

X	cls	N	TY	TZ	MT	MY	MZ	My4	Mz4	Comb.
mm		kN	kN	kN	kN*m	kN*m	kN*m			
0	1	-0.01	0.34	-8.36	-0.00	7.01	0.27	--	--	2

X	cls	Nr	Vyr	Vzr	Mry	Mrz	MTrd	SF V.	SF M	SF Mt	SF
mm		kN	kN	kN	kN*m	kN*m	kN*m				
0	1	963.03	331.79	273.24	74.65	15.09	1.40	33	9.0	>100	9.0

Asta: 117 [189,193] Sez. G: IPE 200 L=5600 mm Crit.: Acciaio_FlessTors $\gamma_M=1.05$ $f_{yk}/\gamma_M=338.1$ MPa $f_t=510.0$ MPa, $\zeta_E=50.195$
[(4+5)-V-4] :Verificato

X	cls	N	TY	TZ	MT	MY	MZ	My4	Mz4	Comb.
mm		kN	kN	kN	kN*m	kN*m	kN*m			
5600	1	0.10	-0.38	8.29	-0.00	7.25	0.41	--	--	2

X	cls	Nr	Vyr	Vzr	Mry	Mrz	MTrd	SF V.	SF M	SF Mt	SF
mm		kN	kN	kN	kN*m	kN*m	kN*m				
5600	1	963.03	331.70	273.17	74.65	15.09	1.40	33	8.1	>100	8.1

Asta: 117 [193,197] Sez. G: IPE 200 L=5700 mm Crit.: Acciaio_FlessTors $\gamma_M=1.05$ $f_{yk}/\gamma_M=338.1$ MPa $f_t=510.0$ MPa, $\zeta_E=51.359$
[(4+5)-V-1] :Verificato

X	cls	N	TY	TZ	MT	MY	MZ	My4	Mz4	Comb.
mm		kN	kN	kN	kN*m	kN*m	kN*m			
0	1	0.11	0.34	-8.40	0.00	7.26	0.27	--	--	2

X	cls	Nr	Vyr	Vzr	Mry	Mrz	MTrd	SF V.	SF M	SF Mt	SF
mm		kN	kN	kN	kN*m	kN*m	kN*m				
0	1	963.03	331.70	273.17	74.65	15.09	1.40	33	8.7	>100	8.7

Asta: 118 [188,192] Sez. G: IPE 200 L=5600 mm Crit.: Acciaio_FlessTors $\gamma_M=1.05$ $f_{yk}/\gamma_M=338.1$ MPa $f_t=510.0$ MPa, $\zeta_E=40.086$
[(4+5)-V-1] :Verificato

X	cls	N	TY	TZ	MT	MY	MZ	My4	Mz4	Comb.
mm		kN	kN	kN	kN*m	kN*m	kN*m			
5600	1	-0.45	-0.21	7.92	-0.00	7.77	0.24	--	--	2

X	cls	Nr	Vyr	Vzr	Mry	Mrz	MTrd	SF V.	SF M	SF Mt	SF
mm		kN	kN	kN	kN*m	kN*m	kN*m				
5600	1	963.03	331.58	273.07	74.65	15.09	1.40	34	8.3	>100	8.3

Asta: 118 [192,196] Sez. G: IPE 200 L=5700 mm Crit.: Acciaio_FlessTors $\gamma_M=1.05$ $f_{yk}/\gamma_M=338.1$ MPa $f_t=510.0$ MPa, $\zeta_E=40.648$
[(4+5)-V-4] :Verificato

X	cls	N	TY	TZ	MT	MY	MZ	My4	Mz4	Comb.
mm		kN	kN	kN	kN*m	kN*m	kN*m			
0	1	-0.42	0.16	-8.03	0.00	7.80	0.12	--	--	2

X	cls	Nr	Vyr	Vzr	Mry	Mrz	MTrd	SF V.	SF M	SF Mt	SF
mm		kN	kN	kN	kN*m	kN*m	kN*m				
0	1	963.03	331.59	273.07	74.65	15.09	1.40	34	8.9	>100	8.9

Asta: 119 [109,119] Sez. G: IPE 300 L=300 mm Crit.: Acciaio_FlessTors $\gamma_M=1.05$ $f_{yk}/\gamma_M=338.1$ MPa $f_t=510.0$

MPa, $\zeta_E=177952.000$ [(4+5)-II-2] :Verificato

X	cls	N	TY	TZ	MT	MY	MZ	My4	Mz4	Comb.
mm		kN	kN	kN	kN*m	kN*m	kN*m			
300	1	0.00	-4.41	0.87	0.00	0.24	0.66	--	--	2

X	cls	Nr	Vyr	Vzr	Mry	Mrz	MTrd	SF V.	SF M	SF Mt	SF
mm		kN	kN	kN	kN*m	kN*m	kN*m				
300	1	1819.36	626.22	501.01	212.58	42.34	3.20	>100	60	>100	60

Asta: 119 [198,199] Sez. G: IPE 300 L=1354 mm Crit.: Acciaio_FlessTors $\gamma_M=1.05$ $f_{yk}/\gamma_M=338.1$ MPa $f_t=510.0$ MPa, $\zeta_E=58.703$
[(4+5)-I-3] :Verificato

X	cls	N	TY	TZ	MT	MY	MZ	My4	Mz4	Comb.
mm		kN	kN	kN	kN*m	kN*m	kN*m			
0	1	18.43	0.30	5.52	0.01	-20.76	0.14	--	--	2

X	cls	Nr	Vyr	Vzr	Mry	Mrz	MTrd	SF V.	SF M	SF Mt	SF
mm		kN	kN	kN	kN*m	kN*m	kN*m				
0	1	1819.36	625.82	500.69	212.58	42.34	3.20	91	9.0	>100	9.0

POTENZIAMENTO DELL'IMPIANTO DEPURATIVO E DEL RECAPITO FINALE DEL COMUNE DI SQUINZANO (LE) PROGETTO DEFINITIVO

Tabulati di calcolo strutturale- Pre-Ispessitore dinamico

R.37.1

Maggio 2021

Pagina 59 di 81

Asta: 119 [199,200] Sez. G: IPE 300 L=1015 mm Crit.: Acciaio_FlessTors $\gamma_M=1.05$ $f_{yk}/\gamma_M=338.1$ MPa $f_t=510.0$ MPa, $\zeta_E=53.813$

[(4+5)-VI-2] :Verificato

X	cls	N	TY	TZ	MT	MY	MZ	My4	Mz4	Comb.
mm		kN	kN	kN	kN*m	kN*m	kN*m			
0	1	18.54	-0.04	11.43	0.02	-12.82	0.05	--	--	2

X	cls	Nr	Vyr	Vzr	Mry	Mrz	MTrd	SF V.	SF M	SF Mt	SF
mm		kN	kN	kN	kN*m	kN*m	kN*m				
0	1	1819.36	625.24	500.23	212.58	42.34	3.20	44	14	>100	14

Asta: 119 [206,284] Sez. G: IPE 300 L=400 mm Crit.: Acciaio_FlessTors $\gamma_M=1.05$ $f_{yk}/\gamma_M=338.1$ MPa $f_t=510.0$ MPa, $\zeta_E=12.813$

[(4+5)-V-1] :Verificato

X	cls	N	TY	TZ	MT	MY	MZ	My4	Mz4	Comb.
mm		kN	kN	kN	kN*m	kN*m	kN*m			
0	1	6.00	-0.21	-1.55	-0.27	-0.21	-0.79	--	--	(4+5)-V-1

X	cls	Nr	Vyr	Vzr	Mry	Mrz	MTrd	SF V.	SF M	SF Mt	SF
mm		kN	kN	kN	kN*m	kN*m	kN*m				
0	1	1819.36	605.33	484.30	212.58	42.34	3.20	>100	44	12	12

Asta: 119 [200,206] Sez. G: IPE 300 L=891 mm Crit.: Acciaio_FlessTors $\gamma_M=1.05$ $f_{yk}/\gamma_M=338.1$ MPa $f_t=510.0$ MPa, $\zeta_E=31.469$

[(4+5)-V-1] :Verificato

X	cls	N	TY	TZ	MT	MY	MZ	My4	Mz4	Comb.
mm		kN	kN	kN	kN*m	kN*m	kN*m			
985	1	18.82	0.45	16.64	0.01	15.13	-0.19	--	--	2

X	cls	Nr	Vyr	Vzr	Mry	Mrz	MTrd	SF V.	SF M	SF Mt	SF
mm		kN	kN	kN	kN*m	kN*m	kN*m				
985	1	1819.36	625.85	500.71	212.58	42.34	3.20	30	12	>100	12

Asta: 119 [119,103] Sez. G: IPE 300 L=300 mm Crit.: Acciaio_FlessTors $\gamma_M=1.05$ $f_{yk}/\gamma_M=338.1$ MPa $f_t=510.0$ MPa, $\zeta_E=13.617$

[(4+5)-I-2] :Verificato

X	cls	N	TY	TZ	MT	MY	MZ	My4	Mz4	Comb.
mm		kN	kN	kN	kN*m	kN*m	kN*m			
0	1	5.98	0.26	1.39	0.25	-0.84	-0.89	--	--	(4+5)-I-2

X	cls	Nr	Vyr	Vzr	Mry	Mrz	MTrd	SF V.	SF M	SF Mt	SF
mm		kN	kN	kN	kN*m	kN*m	kN*m				
0	1	1819.36	606.49	485.22	212.58	42.34	3.20	>100	35	13	13

Asta: 119 [103,196] Sez. G: IPE 300 L=1354 mm Crit.: Acciaio_FlessTors $\gamma_M=1.05$ $f_{yk}/\gamma_M=338.1$ MPa $f_t=510.0$ MPa, $\zeta_E=30.859$

[(4+5)-VII-2] :Verificato

X	cls	N	TY	TZ	MT	MY	MZ	My4	Mz4	Comb.
mm		kN	kN	kN	kN*m	kN*m	kN*m			
1354	1	17.99	-0.09	-13.01	-0.02	-9.64	0.12	--	--	2

X	cls	Nr	Vyr	Vzr	Mry	Mrz	MTrd	SF V.	SF M	SF Mt	SF
mm		kN	kN	kN	kN*m	kN*m	kN*m				
1354	1	1819.36	625.16	500.16	212.58	42.34	3.20	38	17	>100	17

Asta: 119 [196,197] Sez. G: IPE 300 L=1354 mm Crit.: Acciaio_FlessTors $\gamma_M=1.05$ $f_{yk}/\gamma_M=338.1$ MPa $f_t=510.0$ MPa, $\zeta_E=53.891$

[(4+5)-VI-1] :Verificato

X	cls	N	TY	TZ	MT	MY	MZ	My4	Mz4	Comb.
mm		kN	kN	kN	kN*m	kN*m	kN*m			
1354	1	18.25	0.39	-6.98	-0.01	-19.65	-0.21	--	--	2

X	cls	Nr	Vyr	Vzr	Mry	Mrz	MTrd	SF V.	SF M	SF Mt	SF
mm		kN	kN	kN	kN*m	kN*m	kN*m				
1354	1	1819.36	625.69	500.58	212.58	42.34	3.20	72	9.3	>100	9.3

Asta: 119 [197,198] Sez. G: IPE 300 L=1354 mm Crit.: Acciaio_FlessTors $\gamma_M=1.05$ $f_{yk}/\gamma_M=338.1$ MPa $f_t=510.0$ MPa, $\zeta_E=52.664$

[(4+5)-I-4] :Verificato

X	cls	N	TY	TZ	MT	MY	MZ	My4	Mz4	Comb.
mm		kN	kN	kN	kN*m	kN*m	kN*m			
1354	1	18.36	0.28	-0.38	-0.00	-20.71	-0.23	--	--	2

X	cls	Nr	Vyr	Vzr	Mry	Mrz	MTrd	SF V.	SF M	SF Mt	SF
mm		kN	kN	kN	kN*m	kN*m	kN*m				
1354	1	1819.36	626.42	501.17	212.58	42.34	3.20	>100	8.9	>100	8.9

Asta: 119 [284,287] Sez. G: IPE 300 L=400 mm Crit.: Acciaio_FlessTors $\gamma_M=1.05$ $f_{yk}/\gamma_M=338.1$ MPa $f_t=510.0$

MPa, $\zeta_E=131744.000$ [(4+5)-VI-3] :Verificato

X	cls	N	TY	TZ	MT	MY	MZ	My4	Mz4	Comb.
mm		kN	kN	kN	kN*m	kN*m	kN*m			
0	1	0.00	5.56	-1.11	-0.01	0.40	1.11	--	--	2

POTENZIAMENTO DELL'IMPIANTO DEPURATIVO E DEL RECAPITO FINALE DEL COMUNE DI SQUINZANO (LE) PROGETTO DEFINITIVO

Tabulati di calcolo strutturale- Pre-Ispessitore dinamico

R.37.1

Maggio 2021

Pagina 60 di 81

X	cls	Nr	Vyr	Vzr	Mry	Mrz	MTrd	SF V.	SF M	SF Mt	SF
mm		kN	kN	kN	kN*m	kN*m	kN*m				
0	1	1819.36	625.90	500.76	212.58	42.34	3.20	>100	36	>100	36

Asta: 120 [0,0] Sez. G: IPE 200 L=5600 mm Crit.: Acciaio_FlessTors $\gamma_M=1.05$ $f_{yk}/\gamma_M=338.1$ MPa $f_t=510.0$ MPa, $\zeta_E=226.781$

[(4+5)-I-2] :Verificato

X	cls	N	TY	TZ	MT	MY	MZ	My4	Mz4	Comb.
mm		kN	kN	kN	kN*m	kN*m	kN*m			
5600	1	-0.43	-0.16	6.32	0.00	6.34	0.19	--	--	2

X	cls	Nr	Vyr	Vzr	Mry	Mrz	MTrd	SF V.	SF M	SF Mt	SF
mm		kN	kN	kN	kN*m	kN*m	kN*m				
5600	1	963.03	331.57	273.06	74.65	15.09	1.40	43	10	>100	10

Asta: 120 [0,200] Sez. G: IPE 200 L=5700 mm Crit.: Acciaio_FlessTors $\gamma_M=1.05$ $f_{yk}/\gamma_M=338.1$ MPa $f_t=510.0$ MPa, $\zeta_E=230.563$

[(4+5)-I-3] :Verificato

X	cls	N	TY	TZ	MT	MY	MZ	My4	Mz4	Comb.
mm		kN	kN	kN	kN*m	kN*m	kN*m			
0	1	-0.53	0.12	-6.41	-0.00	6.37	0.08	--	--	2

X	cls	Nr	Vyr	Vzr	Mry	Mrz	MTrd	SF V.	SF M	SF Mt	SF
mm		kN	kN	kN	kN*m	kN*m	kN*m				
0	1	963.03	331.58	273.07	74.65	15.09	1.40	43	11	>100	11

Asta: 121 [282,283] Sez. G: IPE 200 L=5600 mm Crit.: Acciaio_FlessTors $\gamma_M=1.05$ $f_{yk}/\gamma_M=338.1$ MPa $f_t=510.0$ MPa, $\zeta_E=358.938$

[(4+5)-I-2] :Verificato

X	cls	N	TY	TZ	MT	MY	MZ	My4	Mz4	Comb.
mm		kN	kN	kN	kN*m	kN*m	kN*m			
5600	1	0.02	-0.00	4.62	0.00	5.54	0.01	--	--	2

X	cls	Nr	Vyr	Vzr	Mry	Mrz	MTrd	SF V.	SF M	SF Mt	SF
mm		kN	kN	kN	kN*m	kN*m	kN*m				
5600	1	963.03	331.67	273.14	74.65	15.09	1.40	59	13	>100	13

Asta: 121 [283,284] Sez. G: IPE 200 L=5700 mm Crit.: Acciaio_FlessTors $\gamma_M=1.05$ $f_{yk}/\gamma_M=338.1$ MPa $f_t=510.0$ MPa, $\zeta_E=359.563$

[(4+5)-III-4] :Verificato

X	cls	N	TY	TZ	MT	MY	MZ	My4	Mz4	Comb.
mm		kN	kN	kN	kN*m	kN*m	kN*m			
0	1	-0.02	0.00	-4.68	-0.00	5.57	0.01	--	--	2

X	cls	Nr	Vyr	Vzr	Mry	Mrz	MTrd	SF V.	SF M	SF Mt	SF
mm		kN	kN	kN	kN*m	kN*m	kN*m				
0	1	963.03	331.68	273.15	74.65	15.09	1.40	58	13	>100	13

Asta: 122 [117,118] Sez. G: IPE 200 L=5600 mm Crit.: Acciaio_FlessTors $\gamma_M=1.05$ $f_{yk}/\gamma_M=338.1$ MPa $f_t=510.0$ MPa, $\zeta_E=384.063$

[(4+5)-V-1] :Verificato

X	cls	N	TY	TZ	MT	MY	MZ	My4	Mz4	Comb.
mm		kN	kN	kN	kN*m	kN*m	kN*m			
5600	1	-0.03	0.00	5.09	-0.00	5.96	-0.01	--	--	2

X	cls	Nr	Vyr	Vzr	Mry	Mrz	MTrd	SF V.	SF M	SF Mt	SF
mm		kN	kN	kN	kN*m	kN*m	kN*m				
5600	1	963.03	331.67	273.15	74.65	15.09	1.40	54	12	>100	12

Asta: 122 [118,119] Sez. G: IPE 200 L=5700 mm Crit.: Acciaio_FlessTors $\gamma_M=1.05$ $f_{yk}/\gamma_M=338.1$ MPa $f_t=510.0$ MPa, $\zeta_E=385.125$

[(4+5)-V-4] :Verificato

X	cls	N	TY	TZ	MT	MY	MZ	My4	Mz4	Comb.
mm		kN	kN	kN	kN*m	kN*m	kN*m			
0	1	0.02	-0.00	-5.16	0.00	5.99	-0.01	--	--	2

X	cls	Nr	Vyr	Vzr	Mry	Mrz	MTrd	SF V.	SF M	SF Mt	SF
mm		kN	kN	kN	kN*m	kN*m	kN*m				
0	1	963.03	331.68	273.15	74.65	15.09	1.40	53	12	>100	12

Asta: 123 [2,122] Sez. G: HE 200 A L=5000 mm Crit.: Acciaio_Pressflessione $\gamma_M=1.05$ $f_{yk}/\gamma_M=338.1$ MPa $f_t=510.0$

MPa, $\zeta_E=9.070$ [(4+5)-III-4] :Verificato

X	cls	N	TY	TZ	MT	MY	MZ	My4	Mz4	Comb.
mm		kN	kN	kN	kN*m	kN*m	kN*m			
5000	1	-53.57	-0.18	-6.34	0.00	-22.38	0.06	--	--	2

X	cls	Nr	Vyr	Vzr	Mry	Mrz	MTrd	SF V.	SF M	SF Mt	SF
mm		kN	kN	kN	kN*m	kN*m	kN*m				
5000	1	1820.01	780.79	352.94	145.32	68.92	3.51	56	5.4	>100	5.4

Asta: 124 [1,101] Sez. G: HE 200 A L=5000 mm Crit.: Acciaio_Pressflessione $\gamma_M=1.05$ $f_{yk}/\gamma_M=338.1$ MPa $f_t=510.0$

MPa, $\zeta_s=8.844$ [(4+5)-VII-4]

:Verificato

X	cls	N	TY	TZ	MT	MY	MZ	My4	Mz4	Comb.
mm		kN	kN	kN	kN*m	kN*m	kN*m			
0	1	-8.49	-1.33	-1.87	0.00	3.91	-6.57	--	--	(4+5)-VII-4

X	cls	Nr	Vyr	Vzr	Mry	Mrz	MTrd	SF V.	SF M	SF Mt	SF
mm		kN	kN	kN	kN*m	kN*m	kN*m				
0	1	1820.01	780.68	352.89	145.32	68.92	3.51	>100	7.9	>100	7.9

Asta: 125 [3,103] Sez. G: HE 200 A L=5000 mm Crit.: Acciaio_Pressflessione $\gamma_M=1.05$ $f_{yk}/\gamma_M=338.1$ MPa $f_t=510.0$

MPa, $\zeta_s=8.828$ [(4+5)-V-2]

:Verificato

X	cls	N	TY	TZ	MT	MY	MZ	My4	Mz4	Comb.
mm		kN	kN	kN	kN*m	kN*m	kN*m			
0	1	-8.61	1.33	-1.89	-0.00	3.99	6.54	--	--	(4+5)-V-2

X	cls	Nr	Vyr	Vzr	Mry	Mrz	MTrd	SF V.	SF M	SF Mt	SF
mm		kN	kN	kN	kN*m	kN*m	kN*m				
0	1	1820.01	780.68	352.89	145.32	68.92	3.51	>100	7.9	>100	7.9

Asta: 126 [4,204] Sez. G: HE 200 A L=5550 mm Crit.: Acciaio_Pressflessione $\gamma_M=1.05$ $f_{yk}/\gamma_M=338.1$ MPa $f_t=510.0$

MPa, $\zeta_s=9.039$ [(4+5)-VII-1]

:Verificato

X	cls	N	TY	TZ	MT	MY	MZ	My4	Mz4	Comb.
mm		kN	kN	kN	kN*m	kN*m	kN*m			
0	1	-9.91	1.22	1.75	0.00	-4.16	6.53	--	--	(4+5)-VII-1

X	cls	Nr	Vyr	Vzr	Mry	Mrz	MTrd	SF V.	SF M	SF Mt	SF
mm		kN	kN	kN	kN*m	kN*m	kN*m				
0	1	1820.01	780.76	352.93	145.32	68.92	3.51	>100	7.8	>100	7.8

Asta: 127 [5,274] Sez. G: HE 200 A L=5550 mm Crit.: Acciaio_Pressflessione $\gamma_M=1.05$ $f_{yk}/\gamma_M=338.1$ MPa $f_t=510.0$

MPa, $\zeta_s=9.172$ [(4+5)-V-1]

:Verificato

X	cls	N	TY	TZ	MT	MY	MZ	My4	Mz4	Comb.
mm		kN	kN	kN	kN*m	kN*m	kN*m			
5550	1	-50.94	-0.11	7.26	0.00	25.61	0.08	--	--	2

X	cls	Nr	Vyr	Vzr	Mry	Mrz	MTrd	SF V.	SF M	SF Mt	SF
mm		kN	kN	kN	kN*m	kN*m	kN*m				
5550	1	1820.01	780.79	352.94	145.32	68.92	3.51	49	4.9	>100	4.9

Asta: 128 [6,206] Sez. G: HE 200 A L=5550 mm Crit.: Acciaio_Pressflessione $\gamma_M=1.05$ $f_{yk}/\gamma_M=338.1$ MPa $f_t=510.0$

MPa, $\zeta_s=9.031$ [(4+5)-V-3]

:Verificato

X	cls	N	TY	TZ	MT	MY	MZ	My4	Mz4	Comb.
mm		kN	kN	kN	kN*m	kN*m	kN*m			
0	1	-10.05	-1.21	1.79	-0.00	-4.27	-6.49	--	--	(4+5)-V-3

X	cls	Nr	Vyr	Vzr	Mry	Mrz	MTrd	SF V.	SF M	SF Mt	SF
mm		kN	kN	kN	kN*m	kN*m	kN*m				
0	1	1820.01	780.76	352.93	145.32	68.92	3.51	>100	7.7	>100	7.7

Verifiche stato limite di esercizio

Verifica dei Muri (Stati limite esercizio)

Scenario di calcolo: **ScenarioNT_2018 A2_SLV_SLD_STR_GEO**

Simbologia

P.	Numero pannello
Nx [MPa]	Sforzo normale in direzione x
Ny [MPa]	Sforzo normale in direzione y
Nxy [MPa]	Sforzo tagliante in direzione xy
Mx [kN]	Momento flettente in direzione x
My [kN]	Momento flettente in direzione y
Mxy [kN]	Momento torcente
Afx [mmq/m]	Area acciaio in direzione x per metro lineare
Afy [mmq/m]	Area acciaio in direzione y per metro lineare
σ_c [MPa]	Tensione nel calcestruzzo compresso
σ_f [MPa]	Tensione nell'acciaio
σ_{ct} [MPa]	Tensione nel calcestruzzo teso
σ_{sct} [MPa]	Tensione nel calcestruzzo teso (quando richiesto dalla verifica)
σ_{sca} [MPa]	Tensione ammissibile nel calcestruzzo
σ_{sfa} [MPa]	Tensione ammissibile nell'acciaio
σ_{scta} [MPa]	Tensione ammissibile nel calcestruzzo teso

POTENZIAMENTO DELL'IMPIANTO DEPURATIVO E DEL RECAPITO FINALE DEL COMUNE DI SQUINZANO (LE) PROGETTO DEFINITIVO

Tabulati di calcolo strutturale- Pre-Ispessitore dinamico

R.37.1

Maggio 2021

Pagina 62 di 81

Cbc Combinazione generatore della tensione nel cls compresso
Cbct Combinazione generatore della tensione nel cls tesoro
Cbf Combinazione generatore della tensione nell'acciaio
Cb Combinazione
 σ_{fmed} [MPa] Tensione media dell'acciaio
Wd [mm] Apertura delle fessure
Wk [mm] Apertura caratteristica delle fessure
Wamm_Freq [mm] Apertura ammissibile delle fessure per combinazione Frequente
Wamm_Qp [mm] Apertura ammissibile delle fessure per combinazione Quasi Permanente
Wamm_Rara [mm] Apertura ammissibile delle fessure per combinazione Rara
Cs Coefficiente di sicurezza definito come minimo di σ_{Amm}/σ tra acciaio e calcestruzzo oppure Wamm/Wk

Muro [Platea]: 1 - Nodi: [10-20-1-11]Pann=4Spess.=50 cm, Terreno=Terreno1, ,Criterio=CLS_Muri_ND, Materiale=C35/45

Armatura a maglia doppia, Stampa elementi piu' gravosi

Combinazione Rara: σ_{ca} [MPa]=22.4 σ_{fa} [MPa]=360.0

P.	Afx	Afy	σ_c	σ_f	Cbc	Cbf	Ver	Cs
	mmq/m	mmq/m	MPa	MPa				
1	3142	3142	-0.0	0.2	6	7	Si	>100
4	3142	3142	0.0	2.6	6	6	Si	>100

Combinazione QP: σ_{ca} [MPa]=16.8 σ_{fa} [MPa]=360.0

P.	Afx	Afy	σ_c	σ_f	Cbc	Cbf	Ver	Cs
	mmq/m	mmq/m	MPa	MPa				
1	3142	3142	-0.0	0.1	9	9	Si	>100
4	3142	3142	0.0	1.6	9	9	Si	>100

Verifica aperture fessure:Wamm Freq[mm]=0.300 Wamm Qp[mm]=0.200

P.	Nx	Ny	Nxy	Mx	My	Mxy	σ_{fmed}	Wd	Wk	Cb	Ver	Cs
	MPa	MPa	MPa	kN	kN	kN	MPa	mm	mm			
4	0.0	0.0	0.0	0.36	0.21	0.12	1.6	0.002	0.002	9 (Qp)	Si	>100
4	0.0	0.0	0.0	0.36	0.21	0.12	1.6	0.002	0.002	8 (Fr)	Si	>100

Muro [Platea]: 2 - Nodi: [11-1-21-12]Pann=16Spess.=50 cm, Terreno=Terreno1, ,Criterio=CLS_Muri_ND, Materiale=C35/45

Armatura a maglia doppia, Stampa elementi piu' gravosi

Combinazione Rara: σ_{ca} [MPa]=22.4 σ_{fa} [MPa]=360.0

P.	Afx	Afy	σ_c	σ_f	Cbc	Cbf	Ver	Cs
	mmq/m	mmq/m	MPa	MPa				
13	3142	3142	-0.1	0.1	7	7	Si	>100
9	3142	3142	-0.0	0.5	6	7	Si	>100

Combinazione QP: σ_{ca} [MPa]=16.8 σ_{fa} [MPa]=360.0

P.	Afx	Afy	σ_c	σ_f	Cbc	Cbf	Ver	Cs
	mmq/m	mmq/m	MPa	MPa				
14	3142	3142	-0.1	0.0	9	9	Si	>100
9	3142	3142	-0.0	0.7	9	9	Si	>100

Verifica aperture fessure:Wamm Freq[mm]=0.300 Wamm Qp[mm]=0.200

P.	Nx	Ny	Nxy	Mx	My	Mxy	σ_{fmed}	Wd	Wk	Cb	Ver	Cs
	MPa	MPa	MPa	kN	kN	kN	MPa	mm	mm			
1	0.0	-0.0	-0.0	0.02	0.01	0.08	0.5	0.001	0.001	9 (Qp)	Si	>100
1	0.0	-0.0	-0.0	0.02	0.01	0.08	0.5	0.001	0.001	8 (Fr)	Si	>100

Muro [Platea]: 3 - Nodi: [12-21-2-13]Pann=8Spess.=50 cm, Terreno=Terreno1, ,Criterio=CLS_Muri_ND, Materiale=C35/45

Armatura a maglia doppia, Stampa elementi piu' gravosi

Combinazione Rara: σ_{ca} [MPa]=22.4 σ_{fa} [MPa]=360.0

P.	Afx	Afy	σ_c	σ_f	Cbc	Cbf	Ver	Cs
	mmq/m	mmq/m	MPa	MPa				
5	3142	3142	-0.0	0.6	7	7	Si	>100
8	3142	3142	-0.0	9.2	7	7	Si	39

Combinazione QP: σ_{ca} [MPa]=16.8 σ_{fa} [MPa]=360.0

P.	Afx	Afy	σ_c	σ_f	Cbc	Cbf	Ver	Cs
	mmq/m	mmq/m	MPa	MPa				
1	3142	3142	-0.1	0.0	9	9	Si	>100
8	3142	3142	-0.0	10.9	9	9	Si	33

Verifica aperture fessure:Wamm Freq[mm]=0.300 Wamm Qp[mm]=0.200

P.	Nx	Ny	Nxy	Mx	My	Mxy	σ_{fmed}	Wd	Wk	Cb	Ver	Cs
	MPa	MPa	MPa	kN	kN	kN	MPa	mm	mm			
8	0.0	0.0	0.0	0.64	2.44	1.20	10.9	0.013	0.013	9 (Qp)	Si	15
8	0.0	0.0	0.0	0.64	2.44	1.20	10.9	0.013	0.013	8 (Fr)	Si	23

Muro [Platea]: 4 - Nodi: [13-2-23-14]Pann=4Spess.=50 cm, Terreno=Terreno1, ,Criterio=CLS_Muri_ND, Materiale=C35/45

Armatura a maglia doppia, Stampa elementi piu' gravosi

Combinazione Rara: σ_{ca} [MPa]=22.4 σ_{fa} [MPa]=360.0

P.	Afx	Afy	σ_c	σ_f	Cbc	Cbf	Ver	Cs
	mmq/m	mmq/m	MPa	MPa				
2	3142	3142	-0.0	7.5	6	7	Si	48
3	3142	3142	0.0	11.5	6	7	Si	31

Combinazione QP: σ_{ca} [MPa]=16.8 σ_{fa} [MPa]=360.0

P.	Afx	Afy	σ_c	σ_f	Cbc	Cbf	Ver	Cs
	mmq/m	mmq/m	MPa	MPa				
4	3142	3142	-0.0	12.6	9	9	Si	29
3	3142	3142	0.0	15.3	9	9	Si	24

Verifica aperture fessure:Wamm Freq[mm]=0.300 Wamm Qp[mm]=0.200

P.	Nx	Ny	Nxy	Mx	My	Mxy	σ_{fmed}	Wd	Wk	Cb	Ver	Cs
	MPa	MPa	MPa	kN	kN	kN	MPa	mm	mm			
3	0.0	0.1	-0.0	0.87	3.02	-0.33	15.3	0.019	0.019	9 (Qp)	Si	10
3	0.0	0.1	-0.0	0.87	3.02	-0.33	15.3	0.019	0.019	8 (Fr)	Si	15

Muro [Platea]: 5 - Nodi: [14-23-3-15]Pann=20Spess.=50 cm, Terreno=Terreno1, ,Criterio=CLS_Muri_ND, Materiale=C35/45

Armatura a maglia doppia, Stampa elementi piu' gravosi

Combinazione Rara: σ_{ca} [MPa]=22.4 σ_{fa} [MPa]=360.0

P.	Afx	Afy	σ_c	σ_f	Cbc	Cbf	Ver	Cs
	mmq/m	mmq/m	MPa	MPa				
5	3142	3142	-0.0	2.5	7	6	Si	>100
3	3142	3142	-0.0	6.7	7	6	Si	54

Combinazione QP: σ_{ca} [MPa]=16.8 σ_{fa} [MPa]=360.0

P.	Afx	Afy	σ_c	σ_f	Cbc	Cbf	Ver	Cs
	mmq/m	mmq/m	MPa	MPa				
20	3142	3142	-0.0	1.1	9	9	Si	>100
1	3142	3142	-0.0	10.6	9	9	Si	34

Verifica aperture fessure:Wamm Freq[mm]=0.300 Wamm Qp[mm]=0.200

P.	Nx	Ny	Nxy	Mx	My	Mxy	σ_{fmed}	Wd	Wk	Cb	Ver	Cs
	MPa	MPa	MPa	kN	kN	kN	MPa	mm	mm			
1	-0.0	0.0	-0.0	0.01	2.03	0.07	10.6	0.014	0.014	9 (Qp)	Si	15
1	-0.0	0.0	-0.0	0.01	2.03	0.07	10.6	0.014	0.014	8 (Fr)	Si	22

Muro [Platea]: 6 - Nodi: [1-26-27-21]Pann=16Spess.=50 cm, Terreno=Terreno1, ,Criterio=CLS_Muri_ND, Materiale=C35/45

Armatura a maglia doppia, Stampa elementi piu' gravosi

Combinazione Rara: σ_{ca} [MPa]=22.4 σ_{fa} [MPa]=360.0

P.	Afx	Afy	σ_c	σ_f	Cbc	Cbf	Ver	Cs
	mmq/m	mmq/m	MPa	MPa				
10	3142	3142	-0.1	0.2	7	7	Si	>100

Combinazione QP: σ_{ca} [MPa]=16.8 σ_{fa} [MPa]=360.0

P.	Afx	Afy	σ_c	σ_f	Cbc	Cbf	Ver	Cs
	mmq/m	mmq/m	MPa	MPa				
7	3142	3142	-0.1	-0.1	9	9	Si	>100
10	3142	3142	-0.0	0.1	9	9	Si	>100

Verifica aperture fessure:Wamm Freq[mm]=0.300 Wamm Qp[mm]=0.200

P.	Nx	Ny	Nxy	Mx	My	Mxy	σ_{fmed}	Wd	Wk	Cb	Ver	Cs
	MPa	MPa	MPa	kN	kN	kN	MPa	mm	mm			
10	-0.0	-0.0	0.0	-0.92	-0.64	-0.20	0.1	0.000	0.000	9 (Qp)	Si	>100
10	-0.0	-0.0	0.0	-0.92	-0.64	-0.20	0.1	0.000	0.000	8 (Fr)	Si	>100

Muro [Platea]: 7 - Nodi: [21-27-28-2]Pann=8Spess.=50 cm, Terreno=Terreno1, ,Criterio=CLS_Muri_ND, Materiale=C35/45

Armatura a maglia doppia, Stampa elementi piu' gravosi

Combinazione Rara: σ_{ca} [MPa]=22.4 σ_{fa} [MPa]=360.0

P.	Afx	Afy	σ_c	σ_f	Cbc	Cbf	Ver	Cs
	mmq/m	mmq/m	MPa	MPa				
5	3142	3142	-0.0	1.1	7	7	Si	>100
4	3142	3142	-0.0	7.0	7	7	Si	52

Combinazione QP: σ_{ca} [MPa]=16.8 σ_{fa} [MPa]=360.0

P.	Afx	Afy	σ_c	σ_f	Cbc	Cbf	Ver	Cs
	mmq/m	mmq/m	MPa	MPa				
5	3142	3142	-0.1	0.3	9	9	Si	>100

POTENZIAMENTO DELL'IMPIANTO DEPURATIVO E DEL RECAPITO FINALE DEL COMUNE DI SQUINZANO (LE) PROGETTO DEFINITIVO

Tabulati di calcolo strutturale- Pre-Ispessitore dinamico

R.37.1

Maggio 2021

Pagina 64 di 81

P.	Afx	Afy	σ_c	σ_f	Cbc	Cbf	Ver	Cs
4	3142	3142	-0.0	9.5	9	9	Si	38

Verifica aperture fessure:Wamm Freq[mm]=0.300 Wamm Qp[mm]=0.200

P.	Nx	Ny	Nxy	Mx	My	Mxy	σ_{fmed}	Wd	Wk	Cb	Ver	Cs
	MPa	MPa	MPa	kN	kN	kN	MPa	mm	mm			
4	-0.0	0.0	0.0	-0.29	2.52	0.35	9.5	0.010	0.010	9 (Qp)	Si	19
4	-0.0	0.0	0.0	-0.29	2.52	0.35	9.5	0.010	0.010	8 (Fr)	Si	29

Muro [Platea]: 8 - Nodi: [2-28-29-23]Pann=4Spess.=50 cm, Terreno=Terreno1, ,Criterio=CLS_Muri_ND, Materiale=C35/45

Armatura a maglia doppia, Stampa elementi piu' gravosi

Combinazione Rara: σ_c [MPa]=22.4 σ_f [MPa]=360.0

P.	Afx	Afy	σ_c	σ_f	Cbc	Cbf	Ver	Cs
	mmq/m	mmq/m	MPa	MPa				
4	3142	3142	-0.0	3.3	7	7	Si	>100
1	3142	3142	-0.0	8.3	7	7	Si	43

Combinazione QP: σ_c [MPa]=16.8 σ_f [MPa]=360.0

P.	Afx	Afy	σ_c	σ_f	Cbc	Cbf	Ver	Cs
	mmq/m	mmq/m	MPa	MPa				
1	3142	3142	-0.0	12.8	9	9	Si	28

Verifica aperture fessure:Wamm Freq[mm]=0.300 Wamm Qp[mm]=0.200

P.	Nx	Ny	Nxy	Mx	My	Mxy	σ_{fmed}	Wd	Wk	Cb	Ver	Cs
	MPa	MPa	MPa	kN	kN	kN	MPa	mm	mm			
1	-0.0	0.1	-0.0	-0.53	2.39	0.03	12.8	0.017	0.017	9 (Qp)	Si	12
1	-0.0	0.1	-0.0	-0.53	2.39	0.03	12.8	0.017	0.017	8 (Fr)	Si	18

Muro [Platea]: 9 - Nodi: [23-29-30-3]Pann=20Spess.=50 cm, Terreno=Terreno1, ,Criterio=CLS_Muri_ND, Materiale=C35/45

Armatura a maglia doppia, Stampa elementi piu' gravosi

Combinazione Rara: σ_c [MPa]=22.4 σ_f [MPa]=360.0

P.	Afx	Afy	σ_c	σ_f	Cbc	Cbf	Ver	Cs
	mmq/m	mmq/m	MPa	MPa				
15	3142	3142	-0.0	3.9	7	6	Si	93
2	3142	3142	-0.0	9.8	7	6	Si	37

Combinazione QP: σ_c [MPa]=16.8 σ_f [MPa]=360.0

P.	Afx	Afy	σ_c	σ_f	Cbc	Cbf	Ver	Cs
	mmq/m	mmq/m	MPa	MPa				
16	3142	3142	-0.0	4.2	9	9	Si	87
11	3142	3142	-0.0	10.7	9	9	Si	34

Verifica aperture fessure:Wamm Freq[mm]=0.300 Wamm Qp[mm]=0.200

P.	Nx	Ny	Nxy	Mx	My	Mxy	σ_{fmed}	Wd	Wk	Cb	Ver	Cs
	MPa	MPa	MPa	kN	kN	kN	MPa	mm	mm			
11	-0.0	0.0	0.0	0.09	2.05	0.19	10.7	0.014	0.014	9 (Qp)	Si	15
11	-0.0	0.0	0.0	0.09	2.05	0.19	10.7	0.014	0.014	8 (Fr)	Si	22

Muro [Platea]: 10 - Nodi: [20-25-26-1]Pann=4Spess.=50 cm, Terreno=Terreno1, ,Criterio=CLS_Muri_ND, Materiale=C35/45

Armatura a maglia doppia, Stampa elementi piu' gravosi

Combinazione Rara: σ_c [MPa]=22.4 σ_f [MPa]=360.0

P.	Afx	Afy	σ_c	σ_f	Cbc	Cbf	Ver	Cs
	mmq/m	mmq/m	MPa	MPa				
4	3142	3142	-0.1	0.1	7	7	Si	>100
2	3142	3142	-0.0	0.3	7	7	Si	>100

Combinazione QP: σ_c [MPa]=16.8 σ_f [MPa]=360.0

P.	Afx	Afy	σ_c	σ_f	Cbc	Cbf	Ver	Cs
	mmq/m	mmq/m	MPa	MPa				
4	3142	3142	-0.0	0.1	9	9	Si	>100
2	3142	3142	-0.0	0.2	9	9	Si	>100

Verifica aperture fessure:Wamm Freq[mm]=0.300 Wamm Qp[mm]=0.200

P.	Nx	Ny	Nxy	Mx	My	Mxy	σ_{fmed}	Wd	Wk	Cb	Ver	Cs
	MPa	MPa	MPa	kN	kN	kN	MPa	mm	mm			
1	-0.0	0.0	-0.0	-0.31	0.03	0.13	0.2	0.000	0.000	9 (Qp)	Si	>100
1	-0.0	0.0	-0.0	-0.31	0.03	0.13	0.2	0.000	0.000	8 (Fr)	Si	>100

Muro [Platea]: 11 - Nodi: [26-33-34-27]Pann=16Spess.=50 cm, Terreno=Terreno1, ,Criterio=CLS_Muri_ND, Materiale=C35/45

POTENZIAMENTO DELL'IMPIANTO DEPURATIVO E DEL RECAPITO FINALE DEL COMUNE DI SQUINZANO (LE) PROGETTO DEFINITIVO

Tabulati di calcolo strutturale- Pre-Ispessitore dinamico

R.37.1

Maggio 2021

Pagina 65 di 81

Armatura a maglia doppia, Stampa elementi piu' gravosi

Combinazione Rara: $\sigma_{ca}[MPa]=22.4$ $\sigma_{fa}[MPa]=360.0$

P.	Afx	Afy	σ_c	σ_f	Cbc	Cbf	Ver	Cs
	mmq/m	mmq/m	MPa	MPa				
16	3142	3142	-0.1	0.0	7	7	Si	>100
15	3142	3142	-0.1	0.1	7	7	Si	>100

Combinazione QP: $\sigma_{ca}[MPa]=16.8$ $\sigma_{fa}[MPa]=360.0$

P.	Afx	Afy	σ_c	σ_f	Cbc	Cbf	Ver	Cs
	mmq/m	mmq/m	MPa	MPa				
16	3142	3142	-0.1	-0.0	9	9	Si	>100
15	3142	3142	-0.1	0.0	9	9	Si	>100

Verifica aperture fessure:Wamm Freq[mm]=0.300 Wamm Qp[mm]=0.200

P.	Nx	Ny	Nxy	Mx	My	Mxy	σ_{fmed}	Wd	Wk	Cb	Ver	Cs
	MPa	MPa	MPa	kN	kN	kN	MPa	mm	mm			
15	-0.0	-0.0	0.0	-0.66	-1.61	1.00	0.0	0.000	0.000	9 (Qp)	Si	>100
15	-0.0	-0.0	0.0	-0.66	-1.61	1.00	0.0	0.000	0.000	8 (Fr)	Si	>100

Muro [Platea]: 12 - Nodi: [28-35-36-29]Pann=4Spess.=50 cm, Terreno=Terrenol, ,Criterio=CLS_Muri_ND, Materiale=C35/45

Armatura a maglia doppia, Stampa elementi piu' gravosi

Combinazione Rara: $\sigma_{ca}[MPa]=22.4$ $\sigma_{fa}[MPa]=360.0$

P.	Afx	Afy	σ_c	σ_f	Cbc	Cbf	Ver	Cs
	mmq/m	mmq/m	MPa	MPa				
4	3142	3142	-0.1	2.1	7	7	Si	>100
1	3142	3142	-0.0	2.9	7	7	Si	>100

Combinazione QP: $\sigma_{ca}[MPa]=16.8$ $\sigma_{fa}[MPa]=360.0$

P.	Afx	Afy	σ_c	σ_f	Cbc	Cbf	Ver	Cs
	mmq/m	mmq/m	MPa	MPa				
1	3142	3142	0.0	11.2	9	9	Si	32
4	3142	3142	0.0	14.1	9	9	Si	26

Verifica aperture fessure:Wamm Freq[mm]=0.300 Wamm Qp[mm]=0.200

P.	Nx	Ny	Nxy	Mx	My	Mxy	σ_{fmed}	Wd	Wk	Cb	Ver	Cs
	MPa	MPa	MPa	kN	kN	kN	MPa	mm	mm			
3	0.0	0.1	0.0	1.56	2.45	0.43	13.9	0.018	0.018	9 (Qp)	Si	11
3	0.0	0.1	0.0	1.56	2.45	0.43	13.9	0.018	0.018	8 (Fr)	Si	16

Muro [Platea]: 13 - Nodi: [29-36-37-30]Pann=20Spess.=50 cm, Terreno=Terrenol, ,Criterio=CLS_Muri_ND, Materiale=C35/45

Armatura a maglia doppia, Stampa elementi piu' gravosi

Combinazione Rara: $\sigma_{ca}[MPa]=22.4$ $\sigma_{fa}[MPa]=360.0$

P.	Afx	Afy	σ_c	σ_f	Cbc	Cbf	Ver	Cs
	mmq/m	mmq/m	MPa	MPa				
15	3142	3142	-0.1	11.8	7	6	Si	30
11	3142	3142	-0.1	14.4	7	6	Si	25

Combinazione QP: $\sigma_{ca}[MPa]=16.8$ $\sigma_{fa}[MPa]=360.0$

P.	Afx	Afy	σ_c	σ_f	Cbc	Cbf	Ver	Cs
	mmq/m	mmq/m	MPa	MPa				
12	3142	3142	-0.1	11.6	9	9	Si	31
16	3142	3142	-0.1	16.2	9	9	Si	22

Verifica aperture fessure:Wamm Freq[mm]=0.300 Wamm Qp[mm]=0.200

P.	Nx	Ny	Nxy	Mx	My	Mxy	σ_{fmed}	Wd	Wk	Cb	Ver	Cs
	MPa	MPa	MPa	kN	kN	kN	MPa	mm	mm			
20	0.1	0.0	0.0	3.50	0.15	1.18	14.7	0.017	0.017	9 (Qp)	Si	12
20	0.1	0.0	0.0	3.50	0.15	1.18	14.7	0.017	0.017	8 (Fr)	Si	17

Muro [Platea]: 14 - Nodi: [27-34-35-28]Pann=8Spess.=50 cm, Terreno=Terrenol, ,Criterio=CLS_Muri_ND, Materiale=C35/45

Armatura a maglia doppia, Stampa elementi piu' gravosi

Combinazione Rara: $\sigma_{ca}[MPa]=22.4$ $\sigma_{fa}[MPa]=360.0$

P.	Afx	Afy	σ_c	σ_f	Cbc	Cbf	Ver	Cs
	mmq/m	mmq/m	MPa	MPa				
5	3142	3142	-0.1	0.4	7	6	Si	>100
8	3142	3142	-0.0	4.5	7	7	Si	79

Combinazione QP: $\sigma_{ca}[MPa]=16.8$ $\sigma_{fa}[MPa]=360.0$

P.	Afx	Afy	σ_c	σ_f	Cbc	Cbf	Ver	Cs
	mmq/m	mmq/m	MPa	MPa				
5	3142	3142	-0.1	0.3	9	9	Si	>100
8	3142	3142	-0.0	12.0	9	9	Si	30

Verifica aperture fessure:Wamm Freq[mm]=0.300 Wamm Qp[mm]=0.200

P.	Nx	Ny	Nxy	Mx	My	Mxy	σ_{fmed}	Wd	Wk	Cb	Ver	Cs
	MPa	MPa	MPa	kN	kN	kN	MPa	mm	mm			
8	0.0	0.0	0.0	1.17	3.34	0.60	12.0	0.013	0.013	9 (Qp)	Si	16
8	0.0	0.0	0.0	1.17	3.34	0.60	12.0	0.013	0.013	8 (Fr)	Si	23

Muro [Platea]: 15 - Nodi: [25-32-33-26]Pann=4Spess.=50 cm, Terreno=Terreno1, ,Criterio=CLS_Muri_ND, Materiale=C35/45

Armatura a maglia doppia, Stampa elementi piu' gravosi

Combinazione Rara: σ_{ca} [MPa]=22.4 σ_{fa} [MPa]=360.0

P.	Afx	Afy	σ_c	σ_f	Cbc	Cbf	Ver	Cs
	mmq/m	mmq/m	MPa	MPa				
4	3142	3142	-0.1	-0.0	7	7	Si	>100
2	3142	3142	-0.1	0.0	7	7	Si	>100

Combinazione QP: σ_{ca} [MPa]=16.8 σ_{fa} [MPa]=360.0

P.	Afx	Afy	σ_c	σ_f	Cbc	Cbf	Ver	Cs
	mmq/m	mmq/m	MPa	MPa				
4	3142	3142	-0.0	0.0	9	9	Si	>100
2	3142	3142	-0.0	0.0	9	9	Si	>100

Verifica aperture fessure:Wamm Freq[mm]=0.300 Wamm Qp[mm]=0.200

P.	Nx	Ny	Nxy	Mx	My	Mxy	σ_{fmed}	Wd	Wk	Cb	Ver	Cs
	MPa	MPa	MPa	kN	kN	kN	MPa	mm	mm			
2	-0.0	-0.0	0.0	-1.06	-0.11	0.08	0.0	0.000	0.000	9 (Qp)	Si	>100
2	-0.0	-0.0	0.0	-1.06	-0.11	0.08	0.0	0.000	0.000	8 (Fr)	Si	>100

Muro [Platea]: 16 - Nodi: [33-40-41-34]Pann=16Spess.=50 cm, Terreno=Terreno1, ,Criterio=CLS_Muri_ND, Materiale=C35/45

Armatura a maglia doppia, Stampa elementi piu' gravosi

Combinazione Rara: σ_{ca} [MPa]=22.4 σ_{fa} [MPa]=360.0

P.	Afx	Afy	σ_c	σ_f	Cbc	Cbf	Ver	Cs
	mmq/m	mmq/m	MPa	MPa				
8	3142	3142	-0.2	0.1	7	7	Si	>100
16	3142	3142	-0.1	1.1	7	7	Si	>100

Combinazione QP: σ_{ca} [MPa]=16.8 σ_{fa} [MPa]=360.0

P.	Afx	Afy	σ_c	σ_f	Cbc	Cbf	Ver	Cs
	mmq/m	mmq/m	MPa	MPa				
7	3142	3142	-0.0	-0.1	9	9	Si	>100
5	3142	3142	-0.0	0.1	9	9	Si	>100

Verifica aperture fessure:Wamm Freq[mm]=0.300 Wamm Qp[mm]=0.200

P.	Nx	Ny	Nxy	Mx	My	Mxy	σ_{fmed}	Wd	Wk	Cb	Ver	Cs
	MPa	MPa	MPa	kN	kN	kN	MPa	mm	mm			
5	-0.0	-0.0	0.0	-1.00	-0.95	0.77	0.1	0.000	0.000	9 (Qp)	Si	>100
5	-0.0	-0.0	0.0	-1.00	-0.95	0.77	0.1	0.000	0.000	8 (Fr)	Si	>100

Muro [Platea]: 17 - Nodi: [35-42-43-36]Pann=4Spess.=50 cm, Terreno=Terreno1, ,Criterio=CLS_Muri_ND, Materiale=C35/45

Armatura a maglia doppia, Stampa elementi piu' gravosi

Combinazione Rara: σ_{ca} [MPa]=22.4 σ_{fa} [MPa]=360.0

P.	Afx	Afy	σ_c	σ_f	Cbc	Cbf	Ver	Cs
	mmq/m	mmq/m	MPa	MPa				
3	3142	3142	-0.2	13.1	7	6	Si	28
4	3142	3142	-0.2	15.4	7	6	Si	23

Combinazione QP: σ_{ca} [MPa]=16.8 σ_{fa} [MPa]=360.0

P.	Afx	Afy	σ_c	σ_f	Cbc	Cbf	Ver	Cs
	mmq/m	mmq/m	MPa	MPa				
4	3142	3142	-0.0	22.5	9	9	Si	16

Verifica aperture fessure:Wamm Freq[mm]=0.300 Wamm Qp[mm]=0.200

P.	Nx	Ny	Nxy	Mx	My	Mxy	σ_{fmed}	Wd	Wk	Cb	Ver	Cs
	MPa	MPa	MPa	kN	kN	kN	MPa	mm	mm			
1	0.1	0.0	0.1	3.24	1.24	1.41	21.6	0.030	0.030	9 (Qp)	Si	6.7
1	0.1	0.0	0.1	3.24	1.24	1.41	21.6	0.030	0.030	8 (Fr)	Si	10

Muro [Platea]: 18 - Nodi: [36-43-44-37]Pann=20Spess.=50 cm, Terreno=Terreno1, ,Criterio=CLS_Muri_ND, Materiale=C35/45

Armatura a maglia doppia, Stampa elementi piu' gravosi

Combinazione Rara: σ_{ca} [MPa]=22.4 σ_{fa} [MPa]=360.0

P.	Afx	Afy	σ_c	σ_f	Cbc	Cbf	Ver	Cs
	mmq/m	mmq/m	MPa	MPa				
14	3142	3142	-0.2	18.7	7	6	Si	19

POTENZIAMENTO DELL'IMPIANTO DEPURATIVO E DEL RECAPITO FINALE DEL COMUNE DI SQUINZANO (LE) PROGETTO DEFINITIVO

Tabulati di calcolo strutturale- Pre-Ispessitore dinamico

R.37.1

Maggio 2021

Pagina 67 di 81

P.	Afx	Afy	σ_c	σ_f	Cbc	Cbf	Ver	Cs
16	3142	3142	-0.2	19.9	7	6	Si	18

Combinazione QP: σ_{ca} [MPa]=16.8 σ_{fa} [MPa]=360.0

P.	Afx	Afy	σ_c	σ_f	Cbc	Cbf	Ver	Cs
	mmq/m	mmq/m	MPa	MPa				
1	3142	3142	0.0	17.4	9	9	Si	21
16	3142	3142	0.0	24.9	9	9	Si	14

Verifica aperture fessure:Wamm Freq[mm]=0.300 Wamm Qp[mm]=0.200

P.	Nx	Ny	Nxy	Mx	My	Mxy	σ_{fmed}	Wd	Wk	Cb	Ver	Cs
	MPa	MPa	MPa	kN	kN	kN	MPa	mm	mm			
16	0.1	0.0	0.0	4.96	1.29	0.89	24.9	0.031	0.031	9 (Qp)	Si	6.3
16	0.1	0.0	0.0	4.96	1.29	0.89	24.9	0.031	0.031	8 (Fr)	Si	9.5

Muro [Platea]: 19 - Nodi: [32-39-40-33]Pann=4Spess.=50 cm, Terreno=Terrenol, ,Criterio=CLS_Muri_ND, Materiale=C35/45

Armatura a maglia doppia, Stampa elementi piu' gravosi

Combinazione Rara: σ_{ca} [MPa]=22.4 σ_{fa} [MPa]=360.0

P.	Afx	Afy	σ_c	σ_f	Cbc	Cbf	Ver	Cs
	mmq/m	mmq/m	MPa	MPa				
4	3142	3142	-0.1	-0.0	7	7	Si	>100
2	3142	3142	-0.1	0.0	7	7	Si	>100

Combinazione QP: σ_{ca} [MPa]=16.8 σ_{fa} [MPa]=360.0

P.	Afx	Afy	σ_c	σ_f	Cbc	Cbf	Ver	Cs
	mmq/m	mmq/m	MPa	MPa				
2	3142	3142	-0.0	0.0	9	9	Si	>100

Verifica aperture fessure:Wamm Freq[mm]=0.300 Wamm Qp[mm]=0.200

P.	Nx	Ny	Nxy	Mx	My	Mxy	σ_{fmed}	Wd	Wk	Cb	Ver	Cs
	MPa	MPa	MPa	kN	kN	kN	MPa	mm	mm			
2	-0.0	-0.0	0.0	-1.19	-0.08	0.39	0.0	0.000	0.000	9 (Qp)	Si	>100
2	-0.0	-0.0	0.0	-1.19	-0.08	0.39	0.0	0.000	0.000	8 (Fr)	Si	>100

Muro [Platea]: 20 - Nodi: [40-47-48-41]Pann=16Spess.=50 cm, Terreno=Terrenol, ,Criterio=CLS_Muri_ND, Materiale=C35/45

Armatura a maglia doppia, Stampa elementi piu' gravosi

Combinazione Rara: σ_{ca} [MPa]=22.4 σ_{fa} [MPa]=360.0

P.	Afx	Afy	σ_c	σ_f	Cbc	Cbf	Ver	Cs
	mmq/m	mmq/m	MPa	MPa				
16	3142	3142	-0.1	0.6	7	7	Si	>100
14	3142	3142	-0.1	1.5	7	7	Si	>100

Combinazione QP: σ_{ca} [MPa]=16.8 σ_{fa} [MPa]=360.0

P.	Afx	Afy	σ_c	σ_f	Cbc	Cbf	Ver	Cs
	mmq/m	mmq/m	MPa	MPa				
2	3142	3142	-0.0	0.1	9	9	Si	>100
5	3142	3142	-0.0	0.2	9	9	Si	>100

Verifica aperture fessure:Wamm Freq[mm]=0.300 Wamm Qp[mm]=0.200

P.	Nx	Ny	Nxy	Mx	My	Mxy	σ_{fmed}	Wd	Wk	Cb	Ver	Cs
	MPa	MPa	MPa	kN	kN	kN	MPa	mm	mm			
5	-0.0	-0.0	0.0	-0.99	-0.60	0.78	0.2	0.000	0.000	9 (Qp)	Si	>100
5	-0.0	-0.0	0.0	-0.99	-0.60	0.78	0.2	0.000	0.000	8 (Fr)	Si	>100

Muro [Platea]: 21 - Nodi: [42-49-50-43]Pann=4Spess.=50 cm, Terreno=Terrenol, ,Criterio=CLS_Muri_ND, Materiale=C35/45

Armatura a maglia doppia, Stampa elementi piu' gravosi

Combinazione Rara: σ_{ca} [MPa]=22.4 σ_{fa} [MPa]=360.0

P.	Afx	Afy	σ_c	σ_f	Cbc	Cbf	Ver	Cs
	mmq/m	mmq/m	MPa	MPa				
4	3142	3142	-0.3	5.6	7	6	Si	64
2	3142	3142	-0.3	13.0	7	6	Si	28

Combinazione QP: σ_{ca} [MPa]=16.8 σ_{fa} [MPa]=360.0

P.	Afx	Afy	σ_c	σ_f	Cbc	Cbf	Ver	Cs
	mmq/m	mmq/m	MPa	MPa				
4	3142	3142	-0.0	13.1	9	9	Si	27
2	3142	3142	0.0	20.2	9	9	Si	18

Verifica aperture fessure:Wamm Freq[mm]=0.300 Wamm Qp[mm]=0.200

P.	Nx	Ny	Nxy	Mx	My	Mxy	σ_{fmed}	Wd	Wk	Cb	Ver	Cs
	MPa	MPa	MPa	kN	kN	kN	MPa	mm	mm			
2	0.1	0.0	0.0	3.72	0.62	1.56	20.2	0.026	0.026	9 (Qp)	Si	7.6

POTENZIAMENTO DELL'IMPIANTO DEPURATIVO E DEL RECAPITO FINALE DEL COMUNE DI SQUINZANO (LE) PROGETTO DEFINITIVO

Tabulati di calcolo strutturale- Pre-Ispessitore dinamico

R.37.1

Maggio 2021

Pagina 68 di 81

P.	Nx	Ny	Nxy	Mx	My	Mxy	σ_{fmed}	Wd	Wk	Cb	Ver	Cs
2	0.1	0.0	0.0	3.72	0.62	1.56	20.2	0.026	0.026	8 (Fr)	Si	11

Muro [Platea]: 22 - Nodi: [43-50-51-44]Pann=20Spess.=50 cm, Terreno=Terrenol, ,Criterio=CLS_Muri_ND, Materiale=C35/45

Armatura a maglia doppia, Stampa elementi piu' gravosi

Combinazione Rara: $\sigma_{ca}[MPa]=22.4$ $\sigma_{fa}[MPa]=360.0$

P.	Afx	Afy	σ_c	σ_f	Cbc	Cbf	Ver	Cs
	mmq/m	mmq/m	MPa	MPa				
16	3142	3142	-0.3	10.0	7	6	Si	36
6	3142	3142	-0.2	16.0	7	6	Si	23

Combinazione QP: $\sigma_{ca}[MPa]=16.8$ $\sigma_{fa}[MPa]=360.0$

P.	Afx	Afy	σ_c	σ_f	Cbc	Cbf	Ver	Cs
	mmq/m	mmq/m	MPa	MPa				
1	3142	3142	0.0	20.1	9	9	Si	18
6	3142	3142	0.0	21.3	9	9	Si	17

Verifica aperture fessure:Wamm Freq[mm]=0.300 Wamm Qp[mm]=0.200

P.	Nx	Ny	Nxy	Mx	My	Mxy	σ_{fmed}	Wd	Wk	Cb	Ver	Cs
	MPa	MPa	MPa	kN	kN	kN	MPa	mm	mm			
1	0.1	0.0	0.0	4.40	0.84	2.37	20.1	0.024	0.024	9 (Qp)	Si	8.2
1	0.1	0.0	0.0	4.40	0.84	2.37	20.1	0.024	0.024	8 (Fr)	Si	12

Muro [Platea]: 23 - Nodi: [46-53-54-47]Pann=4Spess.=50 cm, Terreno=Terrenol, ,Criterio=CLS_Muri_ND, Materiale=C35/45

Armatura a maglia doppia, Stampa elementi piu' gravosi

Combinazione Rara: $\sigma_{ca}[MPa]=22.4$ $\sigma_{fa}[MPa]=360.0$

P.	Afx	Afy	σ_c	σ_f	Cbc	Cbf	Ver	Cs
	mmq/m	mmq/m	MPa	MPa				
1	3142	3142	-0.1	0.1	7	7	Si	>100

Combinazione QP: $\sigma_{ca}[MPa]=16.8$ $\sigma_{fa}[MPa]=360.0$

P.	Afx	Afy	σ_c	σ_f	Cbc	Cbf	Ver	Cs
	mmq/m	mmq/m	MPa	MPa				
2	3142	3142	-0.0	0.1	9	9	Si	>100

Verifica aperture fessure:Wamm Freq[mm]=0.300 Wamm Qp[mm]=0.200

P.	Nx	Ny	Nxy	Mx	My	Mxy	σ_{fmed}	Wd	Wk	Cb	Ver	Cs
	MPa	MPa	MPa	kN	kN	kN	MPa	mm	mm			
2	-0.0	-0.0	0.0	-0.88	-0.07	0.70	0.1	0.000	0.000	9 (Qp)	Si	>100
2	-0.0	-0.0	0.0	-0.88	-0.07	0.70	0.1	0.000	0.000	8 (Fr)	Si	>100

Muro [Platea]: 24 - Nodi: [57-64-65-58]Pann=20Spess.=50 cm, Terreno=Terrenol, ,Criterio=CLS_Muri_ND, Materiale=C35/45

Armatura a maglia doppia, Stampa elementi piu' gravosi

Combinazione Rara: $\sigma_{ca}[MPa]=22.4$ $\sigma_{fa}[MPa]=360.0$

P.	Afx	Afy	σ_c	σ_f	Cbc	Cbf	Ver	Cs
	mmq/m	mmq/m	MPa	MPa				
6	3142	3142	-0.3	0.6	7	7	Si	66
11	3142	3142	-0.1	5.4	7	6	Si	67

Combinazione QP: $\sigma_{ca}[MPa]=16.8$ $\sigma_{fa}[MPa]=360.0$

P.	Afx	Afy	σ_c	σ_f	Cbc	Cbf	Ver	Cs
	mmq/m	mmq/m	MPa	MPa				
16	3142	3142	-0.2	1.0	9	9	Si	>100
11	3142	3142	-0.1	4.1	9	9	Si	88

Verifica aperture fessure:Wamm Freq[mm]=0.300 Wamm Qp[mm]=0.200

P.	Nx	Ny	Nxy	Mx	My	Mxy	σ_{fmed}	Wd	Wk	Cb	Ver	Cs
	MPa	MPa	MPa	kN	kN	kN	MPa	mm	mm			
1	-0.0	0.0	0.0	-1.20	1.44	2.20	3.9	0.004	0.004	9 (Qp)	Si	50
1	-0.0	0.0	0.0	-1.20	1.44	2.20	3.9	0.004	0.004	8 (Fr)	Si	74

Muro [Platea]: 25 - Nodi: [54-61-62-55]Pann=16Spess.=50 cm, Terreno=Terrenol, ,Criterio=CLS_Muri_ND, Materiale=C35/45

Armatura a maglia doppia, Stampa elementi piu' gravosi

Combinazione Rara: $\sigma_{ca}[MPa]=22.4$ $\sigma_{fa}[MPa]=360.0$

P.	Afx	Afy	σ_c	σ_f	Cbc	Cbf	Ver	Cs
	mmq/m	mmq/m	MPa	MPa				
7	3142	3142	-0.1	6.5	7	7	Si	55
8	3142	3142	-0.1	9.0	7	7	Si	40

POTENZIAMENTO DELL'IMPIANTO DEPURATIVO E DEL RECAPITO FINALE DEL COMUNE DI SQUINZANO (LE) PROGETTO DEFINITIVO

Tabulati di calcolo strutturale- Pre-Ispessitore dinamico

R.37.1

Maggio 2021

Pagina 69 di 81

Combinazione QP: σ_{ca} [MPa]=16.8 σ_{fa} [MPa]=360.0

P.	Afx	Afy	σ_c	σ_f	Cbc	Cbf	Ver	Cs
	mmq/m	mmq/m	MPa	MPa				
2	3142	3142	-0.0	0.3	9	9	Si	>100
8	3142	3142	-0.0	4.4	9	9	Si	83

Verifica aperture fessure:Wamm Freq[mm]=0.300 Wamm Qp[mm]=0.200

P.	Nx	Ny	Nxy	Mx	My	Mxy	σ_{fmed}	Wd	Wk	Cb	Ver	Cs
	MPa	MPa	MPa	kN	kN	kN	MPa	mm	mm			
8	0.0	0.0	0.0	0.92	1.10	1.32	4.4	0.005	0.005	9 (Qp)	Si	37
8	0.0	0.0	0.0	0.92	1.10	1.32	4.4	0.005	0.005	8 (Fr)	Si	56

Muro [Platea]: 26 - Nodi: [56-63-64-57]Pann=4Spess.=50 cm, Terreno=Terrenol, ,Criterio=CLS_Muri_ND, Materiale=C35/45

Armatura a maglia doppia, Stampa elementi piu' gravosi

Combinazione Rara: σ_{ca} [MPa]=22.4 σ_{fa} [MPa]=360.0

P.	Afx	Afy	σ_c	σ_f	Cbc	Cbf	Ver	Cs
	mmq/m	mmq/m	MPa	MPa				
2	3142	3142	-0.2	0.2	7	7	Si	94
1	3142	3142	-0.2	7.1	7	6	Si	50

Combinazione QP: σ_{ca} [MPa]=16.8 σ_{fa} [MPa]=360.0

P.	Afx	Afy	σ_c	σ_f	Cbc	Cbf	Ver	Cs
	mmq/m	mmq/m	MPa	MPa				
1	3142	3142	-0.1	5.8	9	9	Si	63
4	3142	3142	-0.1	8.4	9	9	Si	43

Verifica aperture fessure:Wamm Freq[mm]=0.300 Wamm Qp[mm]=0.200

P.	Nx	Ny	Nxy	Mx	My	Mxy	σ_{fmed}	Wd	Wk	Cb	Ver	Cs
	MPa	MPa	MPa	kN	kN	kN	MPa	mm	mm			
4	-0.0	0.0	0.0	-1.98	1.46	2.04	8.4	0.011	0.011	9 (Qp)	Si	18
4	-0.0	0.0	0.0	-1.98	1.46	2.04	8.4	0.011	0.011	8 (Fr)	Si	27

Muro [Platea]: 27 - Nodi: [55-62-63-56]Pann=8Spess.=50 cm, Terreno=Terrenol, ,Criterio=CLS_Muri_ND, Materiale=C35/45

Armatura a maglia doppia, Stampa elementi piu' gravosi

Combinazione Rara: σ_{ca} [MPa]=22.4 σ_{fa} [MPa]=360.0

P.	Afx	Afy	σ_c	σ_f	Cbc	Cbf	Ver	Cs
	mmq/m	mmq/m	MPa	MPa				
4	3142	3142	-0.1	2.6	7	7	Si	>100
1	3142	3142	-0.0	10.3	7	7	Si	35

Combinazione QP: σ_{ca} [MPa]=16.8 σ_{fa} [MPa]=360.0

P.	Afx	Afy	σ_c	σ_f	Cbc	Cbf	Ver	Cs
	mmq/m	mmq/m	MPa	MPa				
8	3142	3142	-0.1	7.4	9	9	Si	48

Verifica aperture fessure:Wamm Freq[mm]=0.300 Wamm Qp[mm]=0.200

P.	Nx	Ny	Nxy	Mx	My	Mxy	σ_{fmed}	Wd	Wk	Cb	Ver	Cs
	MPa	MPa	MPa	kN	kN	kN	MPa	mm	mm			
8	-0.0	0.0	0.1	-1.36	1.91	2.29	7.4	0.008	0.008	9 (Qp)	Si	24
8	-0.0	0.0	0.1	-1.36	1.91	2.29	7.4	0.008	0.008	8 (Fr)	Si	36

Muro [Platea]: 28 - Nodi: [39-46-47-40]Pann=4Spess.=50 cm, Terreno=Terrenol, ,Criterio=CLS_Muri_ND, Materiale=C35/45

Armatura a maglia doppia, Stampa elementi piu' gravosi

Combinazione Rara: σ_{ca} [MPa]=22.4 σ_{fa} [MPa]=360.0

P.	Afx	Afy	σ_c	σ_f	Cbc	Cbf	Ver	Cs
	mmq/m	mmq/m	MPa	MPa				
2	3142	3142	-0.1	0.0	7	7	Si	>100
1	3142	3142	-0.1	0.0	7	7	Si	>100

Combinazione QP: σ_{ca} [MPa]=16.8 σ_{fa} [MPa]=360.0

P.	Afx	Afy	σ_c	σ_f	Cbc	Cbf	Ver	Cs
	mmq/m	mmq/m	MPa	MPa				
2	3142	3142	-0.0	0.0	9	9	Si	>100

Verifica aperture fessure:Wamm Freq[mm]=0.300 Wamm Qp[mm]=0.200

P.	Nx	Ny	Nxy	Mx	My	Mxy	σ_{fmed}	Wd	Wk	Cb	Ver	Cs
	MPa	MPa	MPa	kN	kN	kN	MPa	mm	mm			
2	-0.0	-0.0	0.0	-1.06	-0.07	0.59	0.0	0.000	0.000	9 (Qp)	Si	>100
2	-0.0	-0.0	0.0	-1.06	-0.07	0.59	0.0	0.000	0.000	8 (Fr)	Si	>100

POTENZIAMENTO DELL'IMPIANTO DEPURATIVO E DEL RECAPITO FINALE DEL COMUNE DI SQUINZANO (LE) PROGETTO DEFINITIVO

Tabulati di calcolo strutturale- Pre-Ispessitore dinamico

R.37.1

Maggio 2021

Pagina 70 di 81

Muro [Platea]: 29 - Nodi: [49-56-57-50]Pann=4Spess.=50 cm, Terreno=Terreno1, ,Criterio=CLS_Muri_ND, Materiale=C35/45

Armatura a maglia doppia, Stampa elementi piu' gravosi

Combinazione Rara: σ_{ca} [MPa]=22.4 σ_{fa} [MPa]=360.0

P.	Afx	Afy	σ_c	σ_f	Cbc	Cbf	Ver	Cs
	mmq/m	mmq/m	MPa	MPa				
3	3142	3142	-0.4	1.1	7	6	Si	54
4	3142	3142	-0.3	3.0	7	6	Si	72

Combinazione QP: σ_{ca} [MPa]=16.8 σ_{fa} [MPa]=360.0

P.	Afx	Afy	σ_c	σ_f	Cbc	Cbf	Ver	Cs
	mmq/m	mmq/m	MPa	MPa				
3	3142	3142	-0.1	1.1	9	9	Si	>100
2	3142	3142	-0.0	4.3	9	9	Si	84

Verifica aperture fessure:Wamm Freq[mm]=0.300 Wamm Qp[mm]=0.200

P.	Nx	Ny	Nxy	Mx	My	Mxy	σ_{fmed}	Wd	Wk	Cb	Ver	Cs
	MPa	MPa	MPa	kN	kN	kN	MPa	mm	mm			
1	0.0	0.0	0.0	0.94	-0.36	0.77	2.5	0.003	0.003	9 (Qp)	Si	76
1	0.0	0.0	0.0	0.94	-0.36	0.77	2.5	0.003	0.003	8 (Fr)	Si	>100

Muro [Platea]: 30 - Nodi: [50-57-58-51]Pann=20Spess.=50 cm, Terreno=Terreno1, ,Criterio=CLS_Muri_ND, Materiale=C35/45

Armatura a maglia doppia, Stampa elementi piu' gravosi

Combinazione Rara: σ_{ca} [MPa]=22.4 σ_{fa} [MPa]=360.0

P.	Afx	Afy	σ_c	σ_f	Cbc	Cbf	Ver	Cs
	mmq/m	mmq/m	MPa	MPa				
1	3142	3142	-0.3	3.2	7	6	Si	69
16	3142	3142	-0.3	3.6	7	6	Si	70

Combinazione QP: σ_{ca} [MPa]=16.8 σ_{fa} [MPa]=360.0

P.	Afx	Afy	σ_c	σ_f	Cbc	Cbf	Ver	Cs
	mmq/m	mmq/m	MPa	MPa				
6	3142	3142	-0.1	6.9	9	9	Si	53
4	3142	3142	-0.1	7.0	9	9	Si	51

Verifica aperture fessure:Wamm Freq[mm]=0.300 Wamm Qp[mm]=0.200

P.	Nx	Ny	Nxy	Mx	My	Mxy	σ_{fmed}	Wd	Wk	Cb	Ver	Cs
	MPa	MPa	MPa	kN	kN	kN	MPa	mm	mm			
4	0.0	0.0	0.0	3.27	0.62	1.62	7.0	0.007	0.007	9 (Qp)	Si	27
4	0.0	0.0	0.0	3.27	0.62	1.62	7.0	0.007	0.007	8 (Fr)	Si	41

Muro [Platea]: 31 - Nodi: [47-54-55-48]Pann=16Spess.=50 cm, Terreno=Terreno1, ,Criterio=CLS_Muri_ND, Materiale=C35/45

Armatura a maglia doppia, Stampa elementi piu' gravosi

Combinazione Rara: σ_{ca} [MPa]=22.4 σ_{fa} [MPa]=360.0

P.	Afx	Afy	σ_c	σ_f	Cbc	Cbf	Ver	Cs
	mmq/m	mmq/m	MPa	MPa				
16	3142	3142	-0.1	4.6	7	7	Si	79
15	3142	3142	-0.1	4.6	7	7	Si	78

Combinazione QP: σ_{ca} [MPa]=16.8 σ_{fa} [MPa]=360.0

P.	Afx	Afy	σ_c	σ_f	Cbc	Cbf	Ver	Cs
	mmq/m	mmq/m	MPa	MPa				
1	3142	3142	-0.0	0.0	9	9	Si	>100
16	3142	3142	0.0	6.2	9	9	Si	58

Verifica aperture fessure:Wamm Freq[mm]=0.300 Wamm Qp[mm]=0.200

P.	Nx	Ny	Nxy	Mx	My	Mxy	σ_{fmed}	Wd	Wk	Cb	Ver	Cs
	MPa	MPa	MPa	kN	kN	kN	MPa	mm	mm			
16	0.0	0.0	0.0	1.42	0.89	1.22	6.2	0.007	0.007	9 (Qp)	Si	27
16	0.0	0.0	0.0	1.42	0.89	1.22	6.2	0.007	0.007	8 (Fr)	Si	41

Muro [Platea]: 32 - Nodi: [53-60-61-54]Pann=4Spess.=50 cm, Terreno=Terreno1, ,Criterio=CLS_Muri_ND, Materiale=C35/45

Armatura a maglia doppia, Stampa elementi piu' gravosi

Combinazione Rara: σ_{ca} [MPa]=22.4 σ_{fa} [MPa]=360.0

P.	Afx	Afy	σ_c	σ_f	Cbc	Cbf	Ver	Cs
	mmq/m	mmq/m	MPa	MPa				
1	3142	3142	-0.1	0.1	7	7	Si	>100

Combinazione QP: σ_{ca} [MPa]=16.8 σ_{fa} [MPa]=360.0

P.	Afx	Afy	σ_c	σ_f	Cbc	Cbf	Ver	Cs
	mmq/m	mmq/m	MPa	MPa				
2	3142	3142	-0.0	0.0	9	9	Si	>100

POTENZIAMENTO DELL'IMPIANTO DEPURATIVO E DEL RECAPITO FINALE DEL COMUNE DI SQUINZANO (LE) PROGETTO DEFINITIVO

Tabulati di calcolo strutturale- Pre-Ispessitore dinamico

R.37.1

Maggio 2021

Pagina 71 di 81

Verifica aperture fessure:Wamm Freq[mm]=0.300 Wamm Qp[mm]=0.200

P.	Nx	Ny	Nxy	Mx	My	Mxy	σ_{fmed}	Wd	Wk	Cb	Ver	Cs
	MPa	MPa	MPa	kN	kN	kN	MPa	mm	mm			
1	-0.0	0.0	0.0	-0.63	-0.02	0.01	0.0	0.000	0.000	9 (Qp)	Si	>100
1	-0.0	0.0	0.0	-0.63	-0.02	0.01	0.0	0.000	0.000	8 (Fr)	Si	>100

Muro [Platea]: 33 - Nodi: [64-71-72-65]Pann=20Spess.=50 cm, Terreno=Terreno1, ,Criterio=CLS_Muri_ND, Materiale=C35/45

Armatura a maglia doppia, Stampa elementi piu' gravosi

Combinazione Rara: σ_{ca} [MPa]=22.4 σ_{fa} [MPa]=360.0

P.	Afx	Afy	σ_c	σ_f	Cbc	Cbf	Ver	Cs
	mmq/m	mmq/m	MPa	MPa				
9	3142	3142	-0.2	1.3	7	7	Si	>100
11	3142	3142	-0.1	6.3	6	6	Si	57

Combinazione QP: σ_{ca} [MPa]=16.8 σ_{fa} [MPa]=360.0

P.	Afx	Afy	σ_c	σ_f	Cbc	Cbf	Ver	Cs
	mmq/m	mmq/m	MPa	MPa				
9	3142	3142	-0.1	0.5	9	9	Si	>100
1	3142	3142	-0.1	4.6	9	9	Si	79

Verifica aperture fessure:Wamm Freq[mm]=0.300 Wamm Qp[mm]=0.200

P.	Nx	Ny	Nxy	Mx	My	Mxy	σ_{fmed}	Wd	Wk	Cb	Ver	Cs
	MPa	MPa	MPa	kN	kN	kN	MPa	mm	mm			
11	-0.0	0.0	0.0	-0.47	1.50	1.45	4.1	0.004	0.004	9 (Qp)	Si	46
11	-0.0	0.0	0.0	-0.47	1.50	1.45	4.1	0.004	0.004	8 (Fr)	Si	70

Muro [Platea]: 34 - Nodi: [62-69-70-63]Pann=8Spess.=50 cm, Terreno=Terreno1, ,Criterio=CLS_Muri_ND, Materiale=C35/45

Armatura a maglia doppia, Stampa elementi piu' gravosi

Combinazione Rara: σ_{ca} [MPa]=22.4 σ_{fa} [MPa]=360.0

P.	Afx	Afy	σ_c	σ_f	Cbc	Cbf	Ver	Cs
	mmq/m	mmq/m	MPa	MPa				
4	3142	3142	-0.1	2.3	7	7	Si	>100
1	3142	3142	-0.0	6.7	7	7	Si	54

Combinazione QP: σ_{ca} [MPa]=16.8 σ_{fa} [MPa]=360.0

P.	Afx	Afy	σ_c	σ_f	Cbc	Cbf	Ver	Cs
	mmq/m	mmq/m	MPa	MPa				
4	3142	3142	-0.1	8.4	9	9	Si	43
8	3142	3142	-0.0	9.5	9	9	Si	38

Verifica aperture fessure:Wamm Freq[mm]=0.300 Wamm Qp[mm]=0.200

P.	Nx	Ny	Nxy	Mx	My	Mxy	σ_{fmed}	Wd	Wk	Cb	Ver	Cs
	MPa	MPa	MPa	kN	kN	kN	MPa	mm	mm			
8	-0.0	0.0	0.0	-0.77	1.69	1.28	9.5	0.012	0.012	9 (Qp)	Si	16
8	-0.0	0.0	0.0	-0.77	1.69	1.28	9.5	0.012	0.012	8 (Fr)	Si	24

Muro [Platea]: 35 - Nodi: [61-68-69-62]Pann=16Spess.=50 cm, Terreno=Terreno1, ,Criterio=CLS_Muri_ND, Materiale=C35/45

Armatura a maglia doppia, Stampa elementi piu' gravosi

Combinazione Rara: σ_{ca} [MPa]=22.4 σ_{fa} [MPa]=360.0

P.	Afx	Afy	σ_c	σ_f	Cbc	Cbf	Ver	Cs
	mmq/m	mmq/m	MPa	MPa				
2	3142	3142	-0.1	0.5	7	7	Si	>100
8	3142	3142	-0.0	6.3	7	7	Si	58

Combinazione QP: σ_{ca} [MPa]=16.8 σ_{fa} [MPa]=360.0

P.	Afx	Afy	σ_c	σ_f	Cbc	Cbf	Ver	Cs
	mmq/m	mmq/m	MPa	MPa				
2	3142	3142	-0.0	0.3	9	9	Si	>100
16	3142	3142	-0.0	3.1	9	9	Si	>100

Verifica aperture fessure:Wamm Freq[mm]=0.300 Wamm Qp[mm]=0.200

P.	Nx	Ny	Nxy	Mx	My	Mxy	σ_{fmed}	Wd	Wk	Cb	Ver	Cs
	MPa	MPa	MPa	kN	kN	kN	MPa	mm	mm			
16	-0.0	0.0	0.0	-0.02	0.63	1.33	3.1	0.004	0.004	9 (Qp)	Si	50
16	-0.0	0.0	0.0	-0.02	0.63	1.33	3.1	0.004	0.004	8 (Fr)	Si	75

Muro [Platea]: 36 - Nodi: [63-70-71-64]Pann=4Spess.=50 cm, Terreno=Terreno1, ,Criterio=CLS_Muri_ND, Materiale=C35/45

Armatura a maglia doppia, Stampa elementi piu' gravosi

Combinazione Rara: σ_{ca} [MPa]=22.4 σ_{fa} [MPa]=360.0

P.	Afx	Afy	σ_c	σ_f	Cbc	Cbf	Ver	Cs
	mmq/m	mmq/m	MPa	MPa				

POTENZIAMENTO DELL'IMPIANTO DEPURATIVO E DEL RECAPITO FINALE DEL COMUNE DI SQUINZANO (LE) PROGETTO DEFINITIVO

Tabulati di calcolo strutturale- Pre-Ispessitore dinamico

R.37.1

Maggio 2021

Pagina 72 di 81

P.	Afx	Afy	σ_c	σ_f	Cbc	Cbf	Ver	Cs
2	3142	3142	-0.1	0.3	7	7	Si	>100
3	3142	3142	-0.1	2.5	7	7	Si	>100

Combinazione QP: σ_{ca} [MPa]=16.8 σ_{fa} [MPa]=360.0

P.	Afx	Afy	σ_c	σ_f	Cbc	Cbf	Ver	Cs
	mmq/m	mmq/m	MPa	MPa				
2	3142	3142	-0.1	7.1	9	9	Si	51
3	3142	3142	-0.1	9.4	9	9	Si	38

Verifica aperture fessure:Wamm Freq[mm]=0.300 Wamm Qp[mm]=0.200

P.	Nx	Ny	Nxy	Mx	My	Mxy	σ_{fmed}	Wd	Wk	Cb	Ver	Cs
	MPa	MPa	MPa	kN	kN	kN	MPa	mm	mm			
3	-0.0	0.0	0.0	-1.06	2.03	1.46	9.4	0.012	0.012	9 (Qp)	Si	17
3	-0.0	0.0	0.0	-1.06	2.03	1.46	9.4	0.012	0.012	8 (Fr)	Si	26

Muro [Platea]: 37 - Nodi: [60-67-68-61]Pann=4Spess.=50 cm, Terreno=Terrenol, ,Criterio=CLS_Muri_ND, Materiale=C35/45

Armatura a maglia doppia, Stampa elementi piu' gravosi

Combinazione Rara: σ_{ca} [MPa]=22.4 σ_{fa} [MPa]=360.0

P.	Afx	Afy	σ_c	σ_f	Cbc	Cbf	Ver	Cs
	mmq/m	mmq/m	MPa	MPa				
1	3142	3142	-0.1	0.1	7	7	Si	>100
4	3142	3142	-0.0	0.4	7	7	Si	>100

Combinazione QP: σ_{ca} [MPa]=16.8 σ_{fa} [MPa]=360.0

P.	Afx	Afy	σ_c	σ_f	Cbc	Cbf	Ver	Cs
	mmq/m	mmq/m	MPa	MPa				
1	3142	3142	-0.0	0.1	9	9	Si	>100
4	3142	3142	-0.0	0.5	9	9	Si	>100

Verifica aperture fessure:Wamm Freq[mm]=0.300 Wamm Qp[mm]=0.200

P.	Nx	Ny	Nxy	Mx	My	Mxy	σ_{fmed}	Wd	Wk	Cb	Ver	Cs
	MPa	MPa	MPa	kN	kN	kN	MPa	mm	mm			
4	-0.0	0.0	0.0	-0.22	0.13	0.80	0.5	0.000	0.000	9 (Qp)	Si	>100
4	-0.0	0.0	0.0	-0.22	0.13	0.80	0.5	0.000	0.000	8 (Fr)	Si	>100

Muro [Platea]: 38 - Nodi: [71-79-80-6-72]Pann=23Spess.=50 cm, Terreno=Terrenol, ,Criterio=CLS_Muri_ND, Materiale=C35/45

Armatura a maglia doppia, Stampa elementi piu' gravosi

Combinazione Rara: σ_{ca} [MPa]=22.4 σ_{fa} [MPa]=360.0

P.	Afx	Afy	σ_c	σ_f	Cbc	Cbf	Ver	Cs
	mmq/m	mmq/m	MPa	MPa				
16	3142	3142	-0.1	0.5	7	7	Si	>100
9	3142	3142	-0.0	1.9	7	7	Si	>100

Combinazione QP: σ_{ca} [MPa]=16.8 σ_{fa} [MPa]=360.0

P.	Afx	Afy	σ_c	σ_f	Cbc	Cbf	Ver	Cs
	mmq/m	mmq/m	MPa	MPa				
15	3142	3142	-0.1	0.3	9	9	Si	>100
21	3142	3142	-0.0	4.6	9	9	Si	79

Verifica aperture fessure:Wamm Freq[mm]=0.300 Wamm Qp[mm]=0.200

P.	Nx	Ny	Nxy	Mx	My	Mxy	σ_{fmed}	Wd	Wk	Cb	Ver	Cs
	MPa	MPa	MPa	kN	kN	kN	MPa	mm	mm			
21	-0.0	0.0	0.0	0.24	1.82	0.45	4.6	0.005	0.005	9 (Qp)	Si	42
21	-0.0	0.0	0.0	0.24	1.82	0.45	4.6	0.005	0.005	8 (Fr)	Si	63

Muro [Platea]: 39 - Nodi: [70-5-78-79-71]Pann=9Spess.=50 cm, Terreno=Terrenol, ,Criterio=CLS_Muri_ND, Materiale=C35/45

Armatura a maglia doppia, Stampa elementi piu' gravosi

Combinazione Rara: σ_{ca} [MPa]=22.4 σ_{fa} [MPa]=360.0

P.	Afx	Afy	σ_c	σ_f	Cbc	Cbf	Ver	Cs
	mmq/m	mmq/m	MPa	MPa				
6	3142	3142	-0.1	23.5	7	6	Si	15

Combinazione QP: σ_{ca} [MPa]=16.8 σ_{fa} [MPa]=360.0

P.	Afx	Afy	σ_c	σ_f	Cbc	Cbf	Ver	Cs
	mmq/m	mmq/m	MPa	MPa				
6	3142	3142	-0.1	16.0	9	9	Si	23
9	3142	3142	-0.1	18.1	9	9	Si	20

POTENZIAMENTO DELL'IMPIANTO DEPURATIVO E DEL RECAPITO FINALE DEL COMUNE DI SQUINZANO (LE) PROGETTO DEFINITIVO

Tabulati di calcolo strutturale- Pre-Ispessitore dinamico

R.37.1

Maggio 2021

Pagina 73 di 81

Verifica aperture fessure:Wamm Freq[mm]=0.300 Wamm Qp[mm]=0.200

P.	Nx	Ny	Nxy	Mx	My	Mxy	σ_{fmed}	Wd	Wk	Cb	Ver	Cs
	MPa	MPa	MPa	kN	kN	kN	MPa	mm	mm			
6	0.0	0.0	0.1	1.85	6.06	2.23	16.0	0.017	0.017	9(Qp)	Si	12
6	0.0	0.0	0.1	1.85	6.06	2.23	16.0	0.017	0.017	8(Fr)	Si	18

Muro [Platea]: 40 - Nodi: [67-75-76-4-68]Pann=9Spess.=50 cm, Terreno=Terrenol, ,Criterio=CLS_Muri_ND, Materiale=C35/45

Armatura a maglia doppia, Stampa elementi piu' gravosi

Combinazione Rara: σ_{ca} [MPa]=22.4 σ_{fa} [MPa]=360.0

P.	Afx	Afy	σ_c	σ_f	Cbc	Cbf	Ver	Cs
	mmq/m	mmq/m	MPa	MPa				
6	3142	3142	-0.1	3.4	6	7	Si	>100
1	3142	3142	-0.0	5.9	7	6	Si	61

Combinazione QP: σ_{ca} [MPa]=16.8 σ_{fa} [MPa]=360.0

P.	Afx	Afy	σ_c	σ_f	Cbc	Cbf	Ver	Cs
	mmq/m	mmq/m	MPa	MPa				
9	3142	3142	-0.0	5.6	9	9	Si	65

Verifica aperture fessure:Wamm Freq[mm]=0.300 Wamm Qp[mm]=0.200

P.	Nx	Ny	Nxy	Mx	My	Mxy	σ_{fmed}	Wd	Wk	Cb	Ver	Cs
	MPa	MPa	MPa	kN	kN	kN	MPa	mm	mm			
9	0.0	-0.0	-0.0	1.07	1.00	-0.36	5.6	0.007	0.007	9(Qp)	Si	28
9	0.0	-0.0	-0.0	1.07	1.00	-0.36	5.6	0.007	0.007	8(Fr)	Si	42

Muro [Platea]: 41 - Nodi: [69-77-78-5-70]Pann=11Spess.=50 cm, Terreno=Terrenol, ,Criterio=CLS_Muri_ND, Materiale=C35/45

Armatura a maglia doppia, Stampa elementi piu' gravosi

Combinazione Rara: σ_{ca} [MPa]=22.4 σ_{fa} [MPa]=360.0

P.	Afx	Afy	σ_c	σ_f	Cbc	Cbf	Ver	Cs
	mmq/m	mmq/m	MPa	MPa				
9	3142	3142	-0.0	6.5	7	7	Si	56
7	3142	3142	-0.0	7.9	7	7	Si	46

Combinazione QP: σ_{ca} [MPa]=16.8 σ_{fa} [MPa]=360.0

P.	Afx	Afy	σ_c	σ_f	Cbc	Cbf	Ver	Cs
	mmq/m	mmq/m	MPa	MPa				
9	3142	3142	-0.0	10.7	9	9	Si	34
7	3142	3142	0.0	11.9	9	9	Si	30

Verifica aperture fessure:Wamm Freq[mm]=0.300 Wamm Qp[mm]=0.200

P.	Nx	Ny	Nxy	Mx	My	Mxy	σ_{fmed}	Wd	Wk	Cb	Ver	Cs
	MPa	MPa	MPa	kN	kN	kN	MPa	mm	mm			
7	0.0	0.1	0.0	0.87	2.05	0.44	11.9	0.016	0.016	9(Qp)	Si	13
7	0.0	0.1	0.0	0.87	2.05	0.44	11.9	0.016	0.016	8(Fr)	Si	19

Muro [Platea]: 42 - Nodi: [68-4-76-77-69]Pann=19Spess.=50 cm, Terreno=Terrenol, ,Criterio=CLS_Muri_ND, Materiale=C35/45

Armatura a maglia doppia, Stampa elementi piu' gravosi

Combinazione Rara: σ_{ca} [MPa]=22.4 σ_{fa} [MPa]=360.0

P.	Afx	Afy	σ_c	σ_f	Cbc	Cbf	Ver	Cs
	mmq/m	mmq/m	MPa	MPa				
15	3142	3142	-0.0	0.9	6	7	Si	>100
6	3142	3142	-0.0	5.0	7	7	Si	73

Combinazione QP: σ_{ca} [MPa]=16.8 σ_{fa} [MPa]=360.0

P.	Afx	Afy	σ_c	σ_f	Cbc	Cbf	Ver	Cs
	mmq/m	mmq/m	MPa	MPa				
16	3142	3142	-0.1	3.1	9	9	Si	>100
6	3142	3142	-0.0	3.2	9	9	Si	>100

Verifica aperture fessure:Wamm Freq[mm]=0.300 Wamm Qp[mm]=0.200

P.	Nx	Ny	Nxy	Mx	My	Mxy	σ_{fmed}	Wd	Wk	Cb	Ver	Cs
	MPa	MPa	MPa	kN	kN	kN	MPa	mm	mm			
6	-0.0	0.0	0.0	-0.06	0.26	0.45	3.2	0.005	0.005	9(Qp)	Si	39
6	-0.0	0.0	0.0	-0.06	0.26	0.45	3.2	0.005	0.005	8(Fr)	Si	59

Muro [Platea]: 43 - Nodi: [72-6-80-81-73]Pann=9Spess.=50 cm, Terreno=Terrenol, ,Criterio=CLS_Muri_ND, Materiale=C35/45

Armatura a maglia doppia, Stampa elementi piu' gravosi

Combinazione Rara: σ_{ca} [MPa]=22.4 σ_{fa} [MPa]=360.0

P.	Afx	Afy	σ_c	σ_f	Cbc	Cbf	Ver	Cs
	mmq/m	mmq/m	MPa	MPa				

POTENZIAMENTO DELL'IMPIANTO DEPURATIVO E DEL RECAPITO FINALE DEL COMUNE DI SQUINZANO (LE) PROGETTO DEFINITIVO

Tabulati di calcolo strutturale- Pre-Ispessitore dinamico

R.37.1

Maggio 2021

Pagina 74 di 81

P.	Afx	Afy	σ_c	σ_f	Cbc	Cbf	Ver	Cs
5	3142	3142	-0.1	1.3	7	7	Si	>100
6	3142	3142	-0.0	4.3	7	7	Si	83

Combinazione QP: σ_{ca} [MPa]=16.8 σ_{fa} [MPa]=360.0

P.	Afx	Afy	σ_c	σ_f	Cbc	Cbf	Ver	Cs
	mmq/m	mmq/m	MPa	MPa				
5	3142	3142	-0.0	0.9	9	9	Si	>100
6	3142	3142	-0.0	3.8	9	9	Si	94

Verifica aperture fessure:Wamm Freq[mm]=0.300 Wamm Qp[mm]=0.200

P.	Nx	Ny	Nxy	Mx	My	Mxy	σ_{fmed}	Wd	Wk	Cb	Ver	Cs
	MPa	MPa	MPa	kN	kN	kN	MPa	mm	mm			
6	0.0	0.0	0.0	0.82	1.03	0.56	3.8	0.005	0.005	9 (Qp)	Si	43
6	0.0	0.0	0.0	0.82	1.03	0.56	3.8	0.005	0.005	8 (Fr)	Si	64

Muro [Platea]: 44 - Nodi: [65-72-73-66]Pann=4Spess.=50 cm, Terreno=Terreno1, ,Criterio=CLS_Muri_ND, Materiale=C35/45

Armatura a maglia doppia, Stampa elementi piu' gravosi

Combinazione Rara: σ_{ca} [MPa]=22.4 σ_{fa} [MPa]=360.0

P.	Afx	Afy	σ_c	σ_f	Cbc	Cbf	Ver	Cs
	mmq/m	mmq/m	MPa	MPa				
1	3142	3142	-0.1	0.2	7	7	Si	>100
4	3142	3142	-0.1	0.3	7	7	Si	>100

Combinazione QP: σ_{ca} [MPa]=16.8 σ_{fa} [MPa]=360.0

P.	Afx	Afy	σ_c	σ_f	Cbc	Cbf	Ver	Cs
	mmq/m	mmq/m	MPa	MPa				
2	3142	3142	-0.1	-0.0	9	9	Si	>100
4	3142	3142	-0.1	0.2	9	9	Si	>100

Verifica aperture fessure:Wamm Freq[mm]=0.300 Wamm Qp[mm]=0.200

P.	Nx	Ny	Nxy	Mx	My	Mxy	σ_{fmed}	Wd	Wk	Cb	Ver	Cs
	MPa	MPa	MPa	kN	kN	kN	MPa	mm	mm			
4	-0.0	0.0	-0.0	-1.33	0.10	0.24	0.2	0.000	0.000	9 (Qp)	Si	>100
4	-0.0	0.0	-0.0	-1.33	0.10	0.24	0.2	0.000	0.000	8 (Fr)	Si	>100

Muro [Platea]: 45 - Nodi: [58-65-66-59]Pann=4Spess.=50 cm, Terreno=Terreno1, ,Criterio=CLS_Muri_ND, Materiale=C35/45

Armatura a maglia doppia, Stampa elementi piu' gravosi

Combinazione Rara: σ_{ca} [MPa]=22.4 σ_{fa} [MPa]=360.0

P.	Afx	Afy	σ_c	σ_f	Cbc	Cbf	Ver	Cs
	mmq/m	mmq/m	MPa	MPa				
1	3142	3142	-0.3	0.1	7	7	Si	74

Combinazione QP: σ_{ca} [MPa]=16.8 σ_{fa} [MPa]=360.0

P.	Afx	Afy	σ_c	σ_f	Cbc	Cbf	Ver	Cs
	mmq/m	mmq/m	MPa	MPa				
3	3142	3142	-0.1	0.1	9	9	Si	>100

Verifica aperture fessure:Wamm Freq[mm]=0.300 Wamm Qp[mm]=0.200

P.	Nx	Ny	Nxy	Mx	My	Mxy	σ_{fmed}	Wd	Wk	Cb	Ver	Cs
	MPa	MPa	MPa	kN	kN	kN	MPa	mm	mm			
3	-0.1	-0.0	-0.0	-3.05	-0.27	0.35	0.1	0.000	0.000	9 (Qp)	Si	>100
3	-0.1	-0.0	-0.0	-3.05	-0.27	0.35	0.1	0.000	0.000	8 (Fr)	Si	>100

Muro [Platea]: 46 - Nodi: [51-58-59-52]Pann=4Spess.=50 cm, Terreno=Terreno1, ,Criterio=CLS_Muri_ND, Materiale=C35/45

Armatura a maglia doppia, Stampa elementi piu' gravosi

Combinazione Rara: σ_{ca} [MPa]=22.4 σ_{fa} [MPa]=360.0

P.	Afx	Afy	σ_c	σ_f	Cbc	Cbf	Ver	Cs
	mmq/m	mmq/m	MPa	MPa				
4	3142	3142	-0.3	0.2	7	6	Si	68

Combinazione QP: σ_{ca} [MPa]=16.8 σ_{fa} [MPa]=360.0

P.	Afx	Afy	σ_c	σ_f	Cbc	Cbf	Ver	Cs
	mmq/m	mmq/m	MPa	MPa				
3	3142	3142	-0.0	0.9	9	9	Si	>100
1	3142	3142	-0.0	4.7	9	9	Si	76

Verifica aperture fessure:Wamm Freq[mm]=0.300 Wamm Qp[mm]=0.200

P.	Nx	Ny	Nxy	Mx	My	Mxy	σ_{fmed}	Wd	Wk	Cb	Ver	Cs
	MPa	MPa	MPa	kN	kN	kN	MPa	mm	mm			
1	0.0	-0.0	0.0	1.41	0.10	0.63	2.6	0.002	0.002	9 (Qp)	Si	95
1	0.0	-0.0	0.0	1.41	0.10	0.63	2.6	0.002	0.002	8 (Fr)	Si	>100

POTENZIAMENTO DELL'IMPIANTO DEPURATIVO E DEL RECAPITO FINALE DEL COMUNE DI SQUINZANO (LE) PROGETTO DEFINITIVO

Tabulati di calcolo strutturale- Pre-Ispessitore dinamico

R.37.1

Maggio 2021

Pagina 75 di 81

Muro [Platea]: 47 - Nodi: [44-51-52-45]Pann=4Spess.=50 cm, Terreno=Terrenol, ,Criterio=CLS_Muri_ND, Materiale=C35/45

Armatura a maglia doppia, Stampa elementi piu' gravosi

Combinazione Rara: σ_{ca} [MPa]=22.4 σ_{fa} [MPa]=360.0

P.	Afx	Afy	σ_c	σ_f	Cbc	Cbf	Ver	Cs
	mmq/m	mmq/m	MPa	MPa				
3	3142	3142	-0.3	5.4	7	6	Si	67
2	3142	3142	-0.3	13.2	7	6	Si	27

Combinazione QP: σ_{ca} [MPa]=16.8 σ_{fa} [MPa]=360.0

P.	Afx	Afy	σ_c	σ_f	Cbc	Cbf	Ver	Cs
	mmq/m	mmq/m	MPa	MPa				
1	3142	3142	-0.0	18.6	9	9	Si	19
2	3142	3142	0.0	18.6	9	9	Si	19

Verifica aperture fessure:Wamm Freq[mm]=0.300 Wamm Qp[mm]=0.200

P.	Nx	Ny	Nxy	Mx	My	Mxy	σ_{fmed}	Wd	Wk	Cb	Ver	Cs
	MPa	MPa	MPa	kN	kN	kN	MPa	mm	mm			
2	0.1	0.0	0.0	3.81	-0.01	-0.32	18.6	0.023	0.023	9(Qp)	Si	8.6
2	0.1	0.0	0.0	3.81	-0.01	-0.32	18.6	0.023	0.023	8(Fr)	Si	13

Muro [Platea]: 48 - Nodi: [37-44-45-38]Pann=4Spess.=50 cm, Terreno=Terrenol, ,Criterio=CLS_Muri_ND, Materiale=C35/45

Armatura a maglia doppia, Stampa elementi piu' gravosi

Combinazione Rara: σ_{ca} [MPa]=22.4 σ_{fa} [MPa]=360.0

P.	Afx	Afy	σ_c	σ_f	Cbc	Cbf	Ver	Cs
	mmq/m	mmq/m	MPa	MPa				
3	3142	3142	-0.2	16.8	7	6	Si	21
4	3142	3142	-0.2	16.9	7	6	Si	21

Combinazione QP: σ_{ca} [MPa]=16.8 σ_{fa} [MPa]=360.0

P.	Afx	Afy	σ_c	σ_f	Cbc	Cbf	Ver	Cs
	mmq/m	mmq/m	MPa	MPa				
1	3142	3142	-0.0	20.6	9	9	Si	17
4	3142	3142	-0.0	22.0	9	9	Si	16

Verifica aperture fessure:Wamm Freq[mm]=0.300 Wamm Qp[mm]=0.200

P.	Nx	Ny	Nxy	Mx	My	Mxy	σ_{fmed}	Wd	Wk	Cb	Ver	Cs
	MPa	MPa	MPa	kN	kN	kN	MPa	mm	mm			
4	0.1	0.0	0.0	3.98	-0.14	0.04	22.0	0.029	0.029	9(Qp)	Si	6.9
4	0.1	0.0	0.0	3.98	-0.14	0.04	22.0	0.029	0.029	8(Fr)	Si	10

Muro [Platea]: 49 - Nodi: [30-37-38-31]Pann=4Spess.=50 cm, Terreno=Terrenol, ,Criterio=CLS_Muri_ND, Materiale=C35/45

Armatura a maglia doppia, Stampa elementi piu' gravosi

Combinazione Rara: σ_{ca} [MPa]=22.4 σ_{fa} [MPa]=360.0

P.	Afx	Afy	σ_c	σ_f	Cbc	Cbf	Ver	Cs
	mmq/m	mmq/m	MPa	MPa				
3	3142	3142	-0.1	10.7	7	6	Si	33

Combinazione QP: σ_{ca} [MPa]=16.8 σ_{fa} [MPa]=360.0

P.	Afx	Afy	σ_c	σ_f	Cbc	Cbf	Ver	Cs
	mmq/m	mmq/m	MPa	MPa				
3	3142	3142	-0.0	15.0	9	9	Si	24

Verifica aperture fessure:Wamm Freq[mm]=0.300 Wamm Qp[mm]=0.200

P.	Nx	Ny	Nxy	Mx	My	Mxy	σ_{fmed}	Wd	Wk	Cb	Ver	Cs
	MPa	MPa	MPa	kN	kN	kN	MPa	mm	mm			
3	0.1	0.0	0.0	2.87	0.12	0.49	15.0	0.019	0.019	9(Qp)	Si	10
3	0.1	0.0	0.0	2.87	0.12	0.49	15.0	0.019	0.019	8(Fr)	Si	16

Muro [Platea]: 50 - Nodi: [3-30-31-24]Pann=4Spess.=50 cm, Terreno=Terrenol, ,Criterio=CLS_Muri_ND, Materiale=C35/45

Armatura a maglia doppia, Stampa elementi piu' gravosi

Combinazione Rara: σ_{ca} [MPa]=22.4 σ_{fa} [MPa]=360.0

P.	Afx	Afy	σ_c	σ_f	Cbc	Cbf	Ver	Cs
	mmq/m	mmq/m	MPa	MPa				
4	3142	3142	-0.0	0.0	7	7	Si	>100
1	3142	3142	-0.0	0.6	7	7	Si	>100

Combinazione QP: σ_{ca} [MPa]=16.8 σ_{fa} [MPa]=360.0

P.	Afx	Afy	σ_c	σ_f	Cbc	Cbf	Ver	Cs
	mmq/m	mmq/m	MPa	MPa				
1	3142	3142	-0.0	0.7	9	9	Si	>100

POTENZIAMENTO DELL'IMPIANTO DEPURATIVO E DEL RECAPITO FINALE DEL COMUNE DI SQUINZANO (LE) PROGETTO DEFINITIVO

Tabulati di calcolo strutturale- Pre-Ispessitore dinamico

R.37.1

Maggio 2021

Pagina 76 di 81

P.	Afx	Afy	σ_c	σ_f	Cbc	Cbf	Ver	Cs
3	3142	3142	0.0	2.2	9	9	Si	>100

Verifica aperture fessure:Wamm Freq[mm]=0.300 Wamm Qp[mm]=0.200

P.	Nx	Ny	Nxy	Mx	My	Mxy	σ_{fmed}	Wd	Wk	Cb	Ver	Cs
	MPa	MPa	MPa	kN	kN	kN	MPa	mm	mm			
3	0.0	0.0	0.0	0.37	0.07	0.49	2.2	0.003	0.003	9 (Qp)	Si	68
3	0.0	0.0	0.0	0.37	0.07	0.49	2.2	0.003	0.003	8 (Fr)	Si	>100

Muro [Platea]: 51 - Nodi: [15-3-24-16]Pann=4Spess.=50 cm, Terreno=Terrenol, ,Criterio=CLS_Muri_ND, Materiale=C35/45

Armatura a maglia doppia, Stampa elementi piu' gravosi

Combinazione Rara: σ_{ca} [MPa]=22.4 σ_{fa} [MPa]=360.0

P.	Afx	Afy	σ_c	σ_f	Cbc	Cbf	Ver	Cs
	mmq/m	mmq/m	MPa	MPa				
1	3142	3142	-0.0	0.4	7	6	Si	>100
3	3142	3142	0.0	2.1	6	7	Si	>100

Combinazione QP: σ_{ca} [MPa]=16.8 σ_{fa} [MPa]=360.0

P.	Afx	Afy	σ_c	σ_f	Cbc	Cbf	Ver	Cs
	mmq/m	mmq/m	MPa	MPa				
4	3142	3142	-0.0	0.1	9	9	Si	>100
3	3142	3142	0.0	2.2	9	9	Si	>100

Verifica aperture fessure:Wamm Freq[mm]=0.300 Wamm Qp[mm]=0.200

P.	Nx	Ny	Nxy	Mx	My	Mxy	σ_{fmed}	Wd	Wk	Cb	Ver	Cs
	MPa	MPa	MPa	kN	kN	kN	MPa	mm	mm			
3	0.0	0.0	0.0	0.49	0.34	-0.02	2.2	0.003	0.003	9 (Qp)	Si	77
3	0.0	0.0	0.0	0.49	0.34	-0.02	2.2	0.003	0.003	8 (Fr)	Si	>100

Muro [Platea]: 52 - Nodi: [0-0-0-0]Pann=4Spess.=40 cm, Terreno=Terrenol, ,Criterio=CLS_Muri_ND, Materiale=C35/45

Armatura a maglia doppia, Stampa elementi piu' gravosi

Combinazione Rara: σ_{ca} [MPa]=22.4 σ_{fa} [MPa]=360.0

P.	Afx	Afy	σ_c	σ_f	Cbc	Cbf	Ver	Cs
	mmq/m	mmq/m	MPa	MPa				
1	2011	2011	-0.0	-0.0	6	7	Si	>100

Combinazione QP: σ_{ca} [MPa]=16.8 σ_{fa} [MPa]=360.0

P.	Afx	Afy	σ_c	σ_f	Cbc	Cbf	Ver	Cs
	mmq/m	mmq/m	MPa	MPa				
1	2011	2011	-0.0	-0.1	9	9	Si	>100

Verifica aperture fessure:Wamm Freq[mm]=0.300 Wamm Qp[mm]=0.200

P.	Nx	Ny	Nxy	Mx	My	Mxy	σ_{fmed}	Wd	Wk	Cb	Ver	Cs
	MPa	MPa	MPa	kN	kN	kN	MPa	mm	mm			
1	-0.0	-0.0	0.0	-0.52	-0.53	0.80	0.0	0.000	0.000	9 (Qp)	Si	>100
1	-0.0	-0.0	0.0	-0.52	-0.53	0.80	0.0	0.000	0.000	8 (Fr)	Si	>100

Muro : 53 - Nodi: [0-0-88-89]Pann=4Spess.=20 cm, Terreno=--,Criterio=CLS_Muri_ND, Materiale=C35/45

Armatura a maglia doppia, Stampa elementi piu' gravosi

Combinazione Rara: σ_{ca} [MPa]=22.4 σ_{fa} [MPa]=360.0


P.	Afx	Afy	σ_c	σ_f	Cbc	Cbf	Ver	Cs
	mmq/m	mmq/m	MPa	MPa				
2	1131	1131	-0.1	0.4	6	7	Si	>100
3	1131	1131	-0.0	0.9	7	7	Si	>100

Combinazione QP: σ_{ca} [MPa]=16.8 σ_{fa} [MPa]=360.0

P.	Afx	Afy	σ_c	σ_f	Cbc	Cbf	Ver	Cs
	mmq/m	mmq/m	MPa	MPa				
1	1131	1131	-0.1	1.2	9	9	Si	>100
3	1131	1131	-0.1	1.2	9	9	Si	>100

Verifica aperture fessure:Wamm Freq[mm]=0.300 Wamm Qp[mm]=0.200

P.	Nx	Ny	Nxy	Mx	My	Mxy	σ_{fmed}	Wd	Wk	Cb	Ver	Cs
	MPa	MPa	MPa	kN	kN	kN	MPa	mm	mm			
3	0.0	-0.1	-0.0	-0.01	-0.10	0.01	1.2	0.002	0.002	9 (Qp)	Si	88
3	0.0	-0.1	-0.0	-0.01	-0.10	0.01	1.2	0.002	0.002	8 (Fr)	Si	>100

	POTENZIAMENTO DELL'IMPIANTO DEPURATIVO E DEL RECAPITO FINALE DEL COMUNE DI SQUINZANO (LE) PROGETTO DEFINITIVO <u>Tabulati di calcolo strutturale- Pre-Ispessitore dinamico</u>	R.37.1
		Maggio 2021
		Pagina 77 di 81

Muro : 54 - Nodi: [0-0-90-88]Pann=4Spess.=20 cm, Terreno=--,Criterio=CLS_Muri_ND, Materiale=C35/45

Armatura a maglia doppia, Stampa elementi piu' gravosi

Combinazione Rara: σ_{ca} [MPa]=22.4 σ_{fa} [MPa]=360.0

P.	Afx	Afy	σ_c	σ_f	Cbc	Cbf	Ver	Cs
	mmq/m	mmq/m	MPa	MPa				
1	1131	1131	-0.0	1.0	7	7	Si	>100
3	1131	1131	-0.0	1.0	7	7	Si	>100

Combinazione QP: σ_{ca} [MPa]=16.8 σ_{fa} [MPa]=360.0

P.	Afx	Afy	σ_c	σ_f	Cbc	Cbf	Ver	Cs
	mmq/m	mmq/m	MPa	MPa				
1	1131	1131	-0.1	1.5	9	9	Si	>100
2	1131	1131	-0.1	1.8	9	9	Si	>100

Verifica aperture fessure:Wamm Freq[mm]=0.300 Wamm Qp[mm]=0.200

P.	Nx	Ny	Nxy	Mx	My	Mxy	σ_{fmed}	Wd	Wk	Cb	Ver	Cs
	MPa	MPa	MPa	kN	kN	kN	MPa	mm	mm			
3	0.0	-0.1	-0.0	-0.01	-0.08	0.00	1.5	0.003	0.003	9 (Qp)	Si	65
3	0.0	-0.1	-0.0	-0.01	-0.08	0.00	1.5	0.003	0.003	8 (Fr)	Si	98

Muro : 55 - Nodi: [0-0-89-91]Pann=4Spess.=20 cm, Terreno=--,Criterio=CLS_Muri_ND, Materiale=C35/45

Armatura a maglia doppia, Stampa elementi piu' gravosi

Combinazione Rara: σ_{ca} [MPa]=22.4 σ_{fa} [MPa]=360.0

P.	Afx	Afy	σ_c	σ_f	Cbc	Cbf	Ver	Cs
	mmq/m	mmq/m	MPa	MPa				
3	1131	1131	-0.0	1.0	7	7	Si	>100
1	1131	1131	-0.0	1.0	7	7	Si	>100

Combinazione QP: σ_{ca} [MPa]=16.8 σ_{fa} [MPa]=360.0

P.	Afx	Afy	σ_c	σ_f	Cbc	Cbf	Ver	Cs
	mmq/m	mmq/m	MPa	MPa				
3	1131	1131	-0.1	1.5	9	9	Si	>100
4	1131	1131	-0.1	1.8	9	9	Si	>100

Verifica aperture fessure:Wamm Freq[mm]=0.300 Wamm Qp[mm]=0.200

P.	Nx	Ny	Nxy	Mx	My	Mxy	σ_{fmed}	Wd	Wk	Cb	Ver	Cs
	MPa	MPa	MPa	kN	kN	kN	MPa	mm	mm			
1	0.0	-0.1	0.0	-0.01	-0.08	-0.00	1.5	0.003	0.003	9 (Qp)	Si	65
1	0.0	-0.1	0.0	-0.01	-0.08	-0.00	1.5	0.003	0.003	8 (Fr)	Si	98

Muro : 56 - Nodi: [0-0-91-90]Pann=4Spess.=20 cm, Terreno=--,Criterio=CLS_Muri_ND, Materiale=C35/45

Armatura a maglia doppia, Stampa elementi piu' gravosi

Combinazione Rara: σ_{ca} [MPa]=22.4 σ_{fa} [MPa]=360.0

P.	Afx	Afy	σ_c	σ_f	Cbc	Cbf	Ver	Cs
	mmq/m	mmq/m	MPa	MPa				
4	1131	1131	-0.1	0.4	6	7	Si	>100
1	1131	1131	-0.0	0.9	7	7	Si	>100

Combinazione QP: σ_{ca} [MPa]=16.8 σ_{fa} [MPa]=360.0

P.	Afx	Afy	σ_c	σ_f	Cbc	Cbf	Ver	Cs
	mmq/m	mmq/m	MPa	MPa				
3	1131	1131	-0.1	1.2	9	9	Si	>100
1	1131	1131	-0.1	1.2	9	9	Si	>100

Verifica aperture fessure:Wamm Freq[mm]=0.300 Wamm Qp[mm]=0.200

P.	Nx	Ny	Nxy	Mx	My	Mxy	σ_{fmed}	Wd	Wk	Cb	Ver	Cs
	MPa	MPa	MPa	kN	kN	kN	MPa	mm	mm			
1	0.0	-0.1	0.0	-0.01	-0.10	-0.01	1.2	0.002	0.002	9 (Qp)	Si	88
1	0.0	-0.1	0.0	-0.01	-0.10	-0.01	1.2	0.002	0.002	8 (Fr)	Si	>100

Verifica spostamenti verticali delle aste in Acciaio secondo NTC 2018

Scenario di calcolo: **ScenarioNT_2018 A2_SLV_SLD_STR_GEO**

Simbologia:

L Luce della trave a cui appartiene l'asta

δ_c Monta iniziale della trave

x Ascissa, nel sistema locale dell'asta, corrispondente allo spostamento massimo

Comb. Combinazione/i di carico Rara/e

δ_{max} Spostamento nello stato finale depurato della monta iniziale (positivo se diretto verso il basso)

δ_2 Spostamento elastico dovuto ai soli carichi variabili (positivo se diretto verso il basso)

L/k: Valore limite

N.b. La verifica è soddisfatta se il valore assoluto degli spostamenti è inferiore al limite

Travata: 113 [107,101]: L=695 mm, Modello =Sbalzo, Crit.Prog: Acciaio_FlessTors, $\delta_c = 0$ mm: **Verificato**

Verifica spostamento nello stato finale (§4.2.4.2.1 - NTC)

x	Comb.	δ_{max}	L/125.00	Cs
mm		mm	mm	
0	6	-0.0	5.6	>100

Verifica spostamento elastico dovuto ai soli carichi variabili (§4.2.4.2.1 - NTC)

x	Comb.	δ_2	L/150.00	Cs
mm		mm	mm	
0	6	-0.0	4.6	>100

Travata: 114 [108,122]: L=695 mm, Modello =Sbalzo, Crit.Prog: Acciaio_FlessTors, $\delta_c = 0$ mm: **Verificato**

Verifica spostamento nello stato finale (§4.2.4.2.1 - NTC)

x	Comb.	δ_{max}	L/125.00	Cs
mm		mm	mm	
0	6	0.0	5.6	>100

Verifica spostamento elastico dovuto ai soli carichi variabili (§4.2.4.2.1 - NTC)

x	Comb.	δ_2	L/150.00	Cs
mm		mm	mm	
0	6	0.0	4.6	>100

Travata: 119 [109,103]: L=695 mm, Modello =Sbalzo, Crit.Prog: Acciaio_FlessTors, $\delta_c = 0$ mm: **Verificato**

Verifica spostamento nello stato finale (§4.2.4.2.1 - NTC)

x	Comb.	δ_{max}	L/125.00	Cs
mm		mm	mm	
0	6	-0.0	5.6	>100

Verifica spostamento elastico dovuto ai soli carichi variabili (§4.2.4.2.1 - NTC)

x	Comb.	δ_2	L/150.00	Cs
mm		mm	mm	
0	6	-0.0	4.6	>100

Travata: 113 [101,204]: L=7415 mm, Modello =Appoggiata, Crit.Prog: Acciaio_FlessTors, $\delta_c = 0$ mm: **Verificato**

Verifica spostamento nello stato finale (§4.2.4.2.1 - NTC)

x	Comb.	δ_{max}	L/250.00	Cs
mm		mm	mm	
3655	6	3.6	29.7	8.2

Verifica spostamento elastico dovuto ai soli carichi variabili (§4.2.4.2.1 - NTC)

x	Comb.	δ_2	L/300.00	Cs
mm		mm	mm	
3655	6	0.3	24.7	82

Travata: 114 [122,274]: L=7415 mm, Modello =Appoggiata, Crit.Prog: Acciaio_FlessTors, $\delta_c = 0$ mm: **Verificato**

Verifica spostamento nello stato finale (§4.2.4.2.1 - NTC)

x	Comb.	δ_{max}	L/250.00	Cs
mm		mm	mm	
3655	6	8.2	29.7	3.6

Verifica spostamento elastico dovuto ai soli carichi variabili (§4.2.4.2.1 - NTC)

x	Comb.	δ_2	L/300.00	Cs
mm		mm	mm	
3655	6	0.7	24.7	34


Travata: 115 [191,199]: L=11300 mm, Modello =Appoggiata, Crit.Prog: Acciaio_FlessTors, $\delta_c = 0$ mm: **Verificato**

Verifica spostamento nello stato finale (§4.2.4.2.1 - NTC)

x	Comb.	δ_{max}	L/250.00	Cs
mm		mm	mm	
7880	6	4.2	45.2	11

Verifica spostamento elastico dovuto ai soli carichi variabili (§4.2.4.2.1 - NTC)

x	Comb.	δ_2	L/300.00	Cs
mm		mm	mm	
7880	6	0.4	37.7	91

	POTENZIAMENTO DELL'IMPIANTO DEPURATIVO E DEL RECAPITO FINALE DEL COMUNE DI SQUINZANO (LE) PROGETTO DEFINITIVO <u>Tabulati di calcolo strutturale- Pre-Ispessitore dinamico</u>	R.37.1 Maggio 2021 Pagina 79 di 81
---	---	---

Travata: 119 [103,206]: L=7415 mm, Modello =Appoggiata, Crit.Prog: Acciaio_FlessTors, $\delta c = 0$ mm: **Verificato**

Verifica spostamento nello stato finale (§4.2.4.2.1 - NTC)

x	Comb.	δ_{max}	L/250.00	Cs
mm		mm	mm	
3655	6	3.7	29.7	8.0

Verifica spostamento elastico dovuto ai soli carichi variabili (§4.2.4.2.1 - NTC)

x	Comb.	δ_2	L/300.00	Cs
mm		mm	mm	
3520	6	0.3	24.7	82

Travata: 119 [206,287]: L=800 mm, Modello =Sbalzo, Crit.Prog: Acciaio_FlessTors, $\delta c = 0$ mm: **Verificato**

Verifica spostamento nello stato finale (§4.2.4.2.1 - NTC)

x	Comb.	δ_{max}	L/125.00	Cs
mm		mm	mm	
800	6	-0.0	6.4	>100

Verifica spostamento elastico dovuto ai soli carichi variabili (§4.2.4.2.1 - NTC)

x	Comb.	δ_2	L/150.00	Cs
mm		mm	mm	
800	6	-0.0	5.3	>100

Travata: 114 [274,286]: L=800 mm, Modello =Sbalzo, Crit.Prog: Acciaio_FlessTors, $\delta c = 0$ mm: **Verificato**

Verifica spostamento nello stato finale (§4.2.4.2.1 - NTC)

x	Comb.	δ_{max}	L/125.00	Cs
mm		mm	mm	
800	6	0.1	6.4	>100

Verifica spostamento elastico dovuto ai soli carichi variabili (§4.2.4.2.1 - NTC)

x	Comb.	δ_2	L/150.00	Cs
mm		mm	mm	
800	6	0.0	5.3	>100

Travata: 113 [204,285]: L=800 mm, Modello =Sbalzo, Crit.Prog: Acciaio_FlessTors, $\delta c = 0$ mm: **Verificato**

Verifica spostamento nello stato finale (§4.2.4.2.1 - NTC)

x	Comb.	δ_{max}	L/125.00	Cs
mm		mm	mm	
800	6	-0.0	6.4	>100

Verifica spostamento elastico dovuto ai soli carichi variabili (§4.2.4.2.1 - NTC)

x	Comb.	δ_2	L/150.00	Cs
mm		mm	mm	
800	6	-0.0	5.3	>100

Travata: 120 [0,200]: L=11300 mm, Modello =Appoggiata, Crit.Prog: Acciaio_FlessTors, $\delta c = 0$ mm: **Verificato**

Verifica spostamento nello stato finale (§4.2.4.2.1 - NTC)

x	Comb.	δ_{max}	L/250.00	Cs
mm		mm	mm	
8450	6	2.8	45.2	16

Verifica spostamento elastico dovuto ai soli carichi variabili (§4.2.4.2.1 - NTC)

x	Comb.	δ_2	L/300.00	Cs
mm		mm	mm	
7880	6	0.2	37.7	>100

Travata: 121 [282,284]: L=11296 mm, Modello =Appoggiata, Crit.Prog: Acciaio_FlessTors, $\delta c = 0$ mm: **Verificato**

Verifica spostamento nello stato finale (§4.2.4.2.1 - NTC)

x	Comb.	δ_{max}	L/250.00	Cs
mm		mm	mm	
9018	6	1.3	45.2	35

Verifica spostamento elastico dovuto ai soli carichi variabili (§4.2.4.2.1 - NTC)

x	Comb.	δ_2	L/300.00	Cs
mm		mm	mm	
5600	6	-0.0	37.7	>100

	POTENZIAMENTO DELL'IMPIANTO DEPURATIVO E DEL RECAPITO FINALE DEL COMUNE DI SQUINZANO (LE) PROGETTO DEFINITIVO <u>Tabulati di calcolo strutturale- Pre-Ispessitore dinamico</u>	R.37.1
		Maggio 2021
		Pagina 80 di 81

Travata: 122 [117,119]: L=11296 mm, Modello =Appoggiata, Crit.Prog: Acciaio_FlessTors, $\delta_c = 0$ mm: **Verificato**

Verifica spostamento nello stato finale (§4.2.4.2.1 - NTC)

x	Comb.	δ_{max}	L/250.00	Cs
mm		mm	mm	
9018	6	1.5	45.2	30

Verifica spostamento elastico dovuto ai soli carichi variabili (§4.2.4.2.1 - NTC)

x	Comb.	δ_2	L/300.00	Cs
mm		mm	mm	
9018	6	0.0	37.7	>100

Travata: 118 [188,196]: L=11300 mm, Modello =Appoggiata, Crit.Prog: Acciaio_FlessTors, $\delta_c = 0$ mm: **Verificato**

Verifica spostamento nello stato finale (§4.2.4.2.1 - NTC)

x	Comb.	δ_{max}	L/250.00	Cs
mm		mm	mm	
8450	6	3.8	45.2	12

Verifica spostamento elastico dovuto ai soli carichi variabili (§4.2.4.2.1 - NTC)

x	Comb.	δ_2	L/300.00	Cs
mm		mm	mm	
7880	6	0.3	37.7	>100

Travata: 117 [189,197]: L=11300 mm, Modello =Appoggiata, Crit.Prog: Acciaio_FlessTors, $\delta_c = 0$ mm: **Verificato**

Verifica spostamento nello stato finale (§4.2.4.2.1 - NTC)

x	Comb.	δ_{max}	L/250.00	Cs
mm		mm	mm	
7880	6	5.1	45.2	8.9

Verifica spostamento elastico dovuto ai soli carichi variabili (§4.2.4.2.1 - NTC)

x	Comb.	δ_2	L/300.00	Cs
mm		mm	mm	
7880	6	0.5	37.7	75

Travata: 116 [190,198]: L=11300 mm, Modello =Appoggiata, Crit.Prog: Acciaio_FlessTors, $\delta_c = 0$ mm: **Verificato**

Verifica spostamento nello stato finale (§4.2.4.2.1 - NTC)

x	Comb.	δ_{max}	L/250.00	Cs
mm		mm	mm	
7880	6	5.4	45.2	8.4

Verifica spostamento elastico dovuto ai soli carichi variabili (§4.2.4.2.1 - NTC)

x	Comb.	δ_2	L/300.00	Cs
mm		mm	mm	
7880	6	0.5	37.7	71

Verifica spostamenti laterali delle colonne in acciaio secondo NTC 2018

Scenario di calcolo: **ScenarioNT_2018 A2_SLV_SLD_STR_GEO**

Simbologia:

Interp. Interpiano
NS e NI Nodi giacenti sulla stessa verticale, appartenenti all'impalcato j e i, rispettivamente, dell'interpiano i-j
Nodo Nodo/i dell'ultimo impalcato
Comb Combinazione/i di carico Rara/e più gravosa/e
SpostX sup. Spostamento lungo x del nodo superiore per la combinazione Comb.
SpostY sup. Spostamento lungo y del nodo superiore per la combinazione Comb.
SpostX inf. Spostamento lungo x del nodo inferiore per la combinazione Comb.
SpostY inf. Spostamento lungo y del nodo inferiore per la combinazione Comb.
 δ Spostamento/i orizzontale/i relativo/i di piano
 Δ Spostamento/i orizzontale/i totale/i
L/k Limite di deformabilità (Tab. 4.2.XIII, §4.2.4.2.2 - NTC 2018)

Verifica spostamenti orizzontali relativi di piano (§4.2.4.2.2 - NTC)

Interp.	NS	NI.	Comb.	SpostX sup.	SpostY sup.	SpostX inf.	SpostY inf.	δ	h/300	Verifica
				mm	mm	mm	mm	mm	mm	
0-1	122	2	6	-2.2	0.8	0.0	0.0	2.3	16.7	Si
0-1	101	1	6	-2.0	0.8	0.0	0.0	2.2	16.7	Si
0-1	103	3	6	-2.3	0.8	0.0	0.0	2.5	16.7	Si
0-2	204	4	6	-2.8	1.2	0.0	0.0	3.1	18.5	Si
0-2	274	5	6	-3.0	1.3	0.0	0.0	3.2	18.5	Si
0-2	206	6	6	-3.1	1.2	0.0	0.0	3.3	18.5	Si

Verifica spostamenti orizzontali in sommità (§4.2.4.2.2 - NTC)

Nodo	Comb.	SpostX mm	SpostY mm	Δ mm	H/500 mm	Verifica
204	6	-2.8	1.2	3.1	11.1	Si
274	6	-3.0	1.3	3.2	11.1	Si
206	6	-3.1	1.2	3.3	11.1	Si